坂出市再編新校(前期)整備事業に伴う 地質調査業務

報告書

令和7年10月

坂出市教育委員会教育総務課株 式 会 社 ナ イ バ

まえがき

本報告書は、坂出市教育委員会教育総務課の発注による「坂出市再編新校(前期)整備事業に伴う地質調査業務」の結果をとりまとめたものであります。

本業務は、坂出市東部小学校敷地内(香川県坂出市室町)で計画されている坂出市再編新校整備事業の設計ならびに施工に必要となる地質情報などを得ることを目的としたものであり、ボーリング、標準貫入試験、室内土質試験による地質調査を実施しました。

ここに、それらの結果がまとまりましたので、報告致します。

本業務の実施にあたり、種々の御指導・御援助を賜りました坂出市教育委員会教育総務課ならびに坂出市立東部小学校の関係者の方々に、厚く御礼申し上げます。

令和7年10月

株式会社

[目 次]

1. 美	業務	既要	1
2. 彰	周査	地の地形地質概要	5
2.	1	香川県の地形地質概要	5
2.	2	坂出平野の地形概要	8
2.	3	坂出平野の地盤概要	9
3. 彰	周査	方法	12
3.	1	ボーリング	12
3.	2	標準貫入試験	14
3.	3	室内土質試験	16
4. 彰	周査	結果	19
4.	1	ボーリング調査、標準貫入試験	19
4.	2	孔内水位	21
4.	3	室内土質試験	21
5.耄	考察		23
5.	1	調査地の地質	23
5.	2	地盤物性値の推定	26
5.	3	地盤の液状化判定	30
5.	4	支持層と基礎形式	39
5.	5	設計・施工上の留意点	41

《巻末添付資料》

- 1. ボーリング柱状図
- 2. 室内土質試験データシート
- 3. 液状化検討計算書
- 4. 調查·試験等状況写真
- 5. 調査前報告
- 6. テクリス登録内容確認書

【使用する主な図書、基準書】

- ・坂出市教育委員会教育総務課:「地質調査業務(特記仕様書)(再編新校地質調査)」 (令和7年5月)
- ・国土交通省大臣官房官庁営繕部整備課:「敷地調査工事共通仕様書」(令和4年3月14日)
- ・(公社)地盤工学会:「地盤調査の方法と解説」(平成25年3月)
- ・(公社)地盤工学会:「地盤材料試験の方法と解説」(令和2年12月)
- · J I S規格(日本産業規格)
- ・(一社)日本建築学会:「建築基礎設計のための地盤調査計画指針」(平成21年11月)
- (一社)日本建築学会:「建築基礎構造設計指針」(令和元年11月)
- ・財団法人日本建設情報総合センター:「ボーリング柱状図作要領(案)・解説書(改訂版)」 (平成 27 年 5 月)

1. 業務概要

本業務の概要は、以下に示すとおりである。

1) 業務名: 坂出市再編新校(前期)整備事業に伴う地質調査業務

2) 業務場所: 香川県坂出市室町(図-1.1~図-1.2 参照)

3) 現地作業: 自)令和7年6月5日

至) 令和 7 年 10 月 31 日

4) 業務目的: 本業務は、坂出市東部小学校敷地内(香川県坂出市室町)で計画されている坂出市再編新校整備事業の設計ならびに施工に必要となる地質情報などを得ることを目的としたものである。

計画建物概要

校舎棟 約10,400㎡ (サブアリーナを含む) 屋内運動場 約 1,900㎡ (仲よし教室、武道場を含む) (詳細は坂出市再編新校 (前期) 建設基本計画による)

5) 業務内容: 業務内容と数量の概要を以下に示し、詳細を表-1.1に示す。

機械ボーリング(ϕ 66mm) 45m×1 箇所

標準貫入試験(JIS A 1219) 45 回×1 箇所

室内土質試験(物理試験) 18 試料

調査孔閉塞 1孔

環境保全 1 箇所

平坦地足場 1箇所

資料整理とりまとめ 1業務

(調査内容と数量の詳細を表-1.1に示す)

6) 発 注 者: 坂出市教育委員会教育総務課

〒762-0003 香川県坂出市久米町1丁目18-20

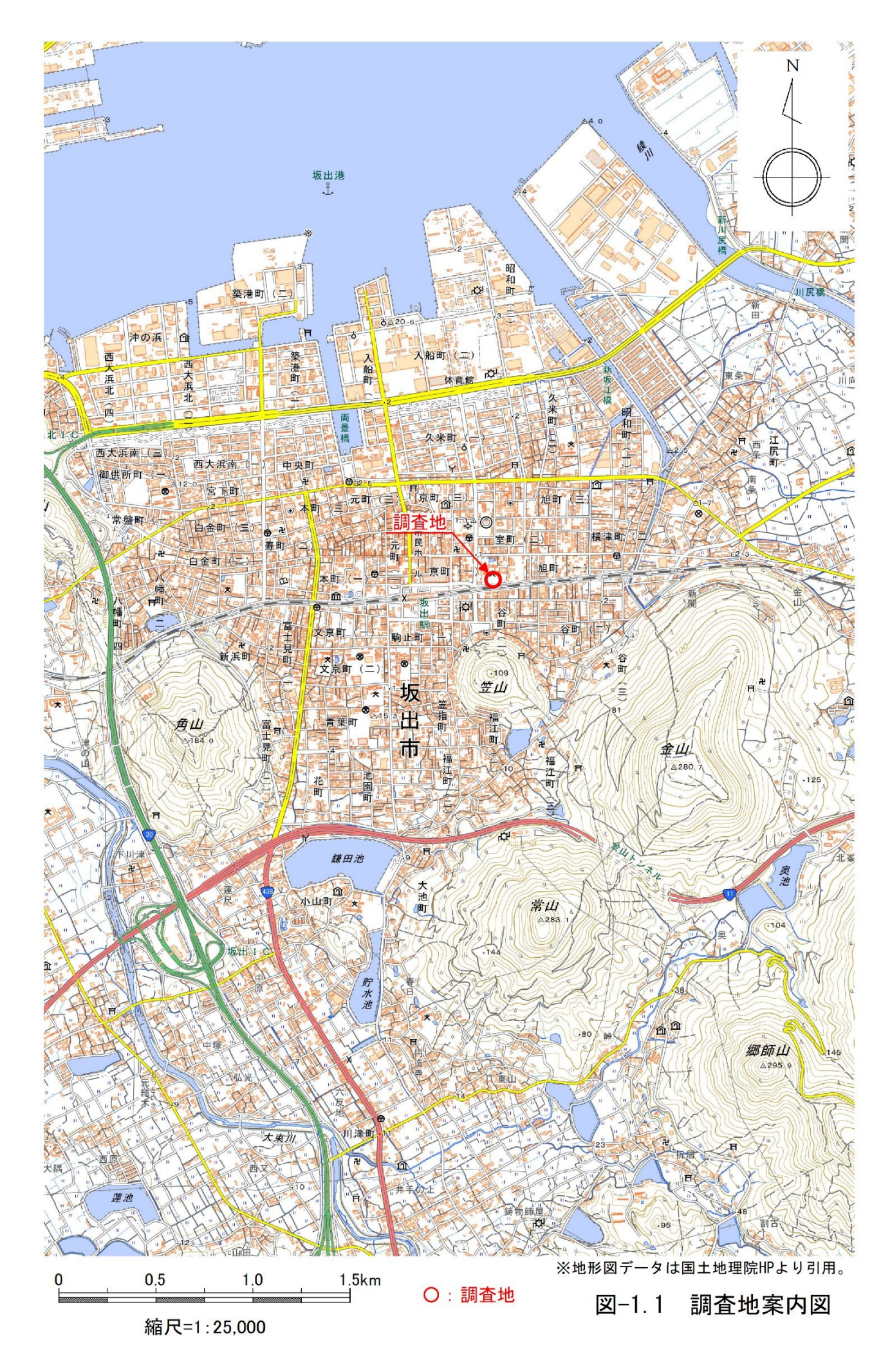
TEL. 0877-44-5026 (代表) FAX. 0877-44-4566

7) 受 注 者: 株式会社 ナイバ

〒760-0062 香川県高松市鹿角町 489 番 2

TEL. 087-862-5121 FAX. 087-862-5120

管理技術者: 菅 秀哉



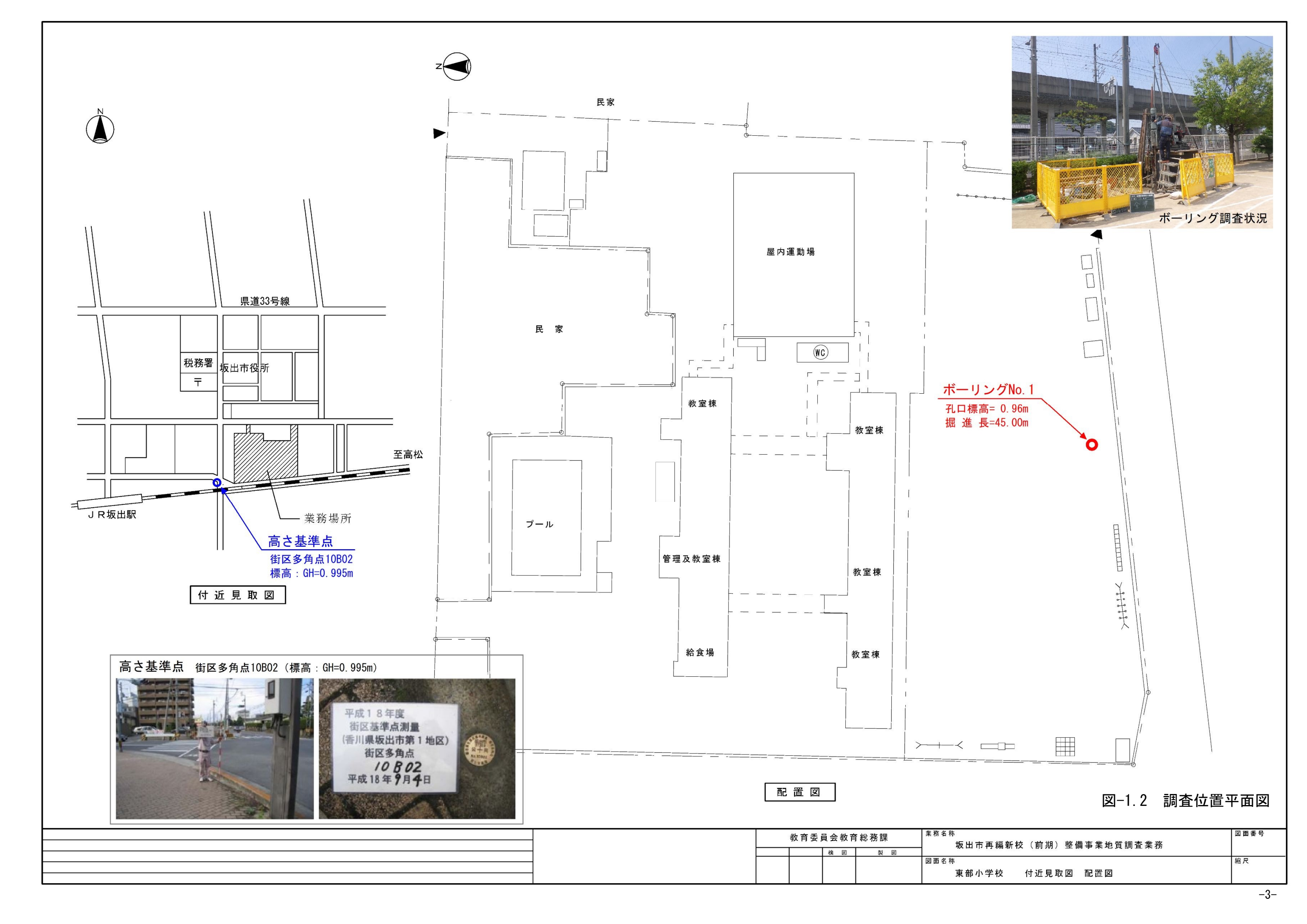


表-1.1 調査内容と数量の一覧

名 称	種別	仕様	設計		変更設	計	摘要
71 1/h	1里刀1	11. 138	数量	単位	数量	単位	100 安
一般調査業務費							
直接調査費							
	土質ボーリング	(深度50m以下)					
		粘土・シルト	35. 0	m	23. 65	m	
		φ 66mm ノンコア 砂・砂質土	10.0	m	13.5	m	
		φ 66mm ノンコア 礫混じり土砂	5. 0	m	3. 55	m	
		φ 66mm ノンコア 軟岩	0.0	m	4.3	m	
	標準貫入試験	φ 66mm オールコア 粘土・シルト	35. 0	□	23. 0	□	
	1X X / V V W	砂・砂質土	10. 0	回	14. 0	回	
		礫混じり土砂	5. 0	回			
					3.0		
		軟岩	0.0	回	5. 0	□	
	不攪乱試験		3.0	本	0.0	本	
	室内土質試験						
		密度試験	6.0	試料	18.0	試料	
		含水比試験	6.0	試料	18.0	試料	
		沈降分析	3.0	試料	10.0	試料	
		粒度試験 (ふるい分析)	3.0	試料	8.0	試料	
		液性限界試験	3. 0	試料	10.0	試料	
		塑性限界試験	3.0	試料	10.0	試料	
	解析調査業務 (労務費)						
	(333,97	資料整理とりまとめ	1.0	業務	1. 0	業務	
		断面図等作成	1.0	業務	1. 0	業務	
	電子成果品作成費						
		電子成果品作成費	1. 0	式	1. 0	式	
間接調査費							
1,432,432	運搬費	クレーン付トラック運搬3	2. 0	日	2. 0	日	
	準備費	~3.5 t 積2.9 t 吊 準備後片付け	1. 0	業務	1. 0	業務	
		調査孔閉塞	1. 0	箇所	1. 0	箇所	
	/r= =n, =th	環境保全 平坦足場	1.0	箇所	1.0	笛所	
	仮設費	(0.3m以下)	1.0	箇所	1. 0	箇所	
	施工管理費		1.0	式	1.0	式	
解析等調査業務費							
	直接原価	直接人件費	1.0	式	1.0	式	
		直接労務費	1.0	式	1. 0	式	

2. 調査地の地形地質概要

2.1 香川県の地形地質概要

香川県の地形は、大きく次の4地帯に区分される。

- 1) 讃岐山脈地帯 (標高 700m~1,100m)
- 2) 讃岐山脈の前山丘陵地帯および各種溶岩類を載せた独立丘群 (標高 300m~500m)
- 3) 讃岐山脈北麓の丘陵地および各種溶岩類を載せた山塊群間に発達する洪積台地 (標高 60m~300m)
- 4) 高松平野、丸亀坂出平野、三豊平野などの扇状地性沖積平野および瀬戸内海沿岸 に発達する海岸平野 (標高 0m~80m)



(国土地理院,50mメッシュ数値地図(日本-3)を基図とし、標高50mコンター表示に加筆)

図-2.1 香川県の地形区分図

これらの4地帯は地質構造とよく一致した配置を示している。すなわち図-2.1~図-2.2 に示すように、南部の讃岐山脈は中生代白亜紀の砂岩・頁岩互層よりなる和泉層群が分布し、そのすぐ北側に一段低い前山丘陵地帯があり領家花崗岩類が広く分布している。この前山丘陵やその北側に続く新第三紀中新世中期に噴出した溶岩類を載せる山塊群の間に三豊層群および段丘堆積物が台地を形成している。三豊層群は第四紀更新世前期(約200万年~100万年前)の瀬戸内累層群に属する湖沼成の堆積物で、密実度の高いアルコーズ砂や礫、固結質の青色シルト等の互層を主とする。また丘陵地の周辺には、段丘地形(高位、中位、低位)が発達し、いわゆる洪積台地を形成している。

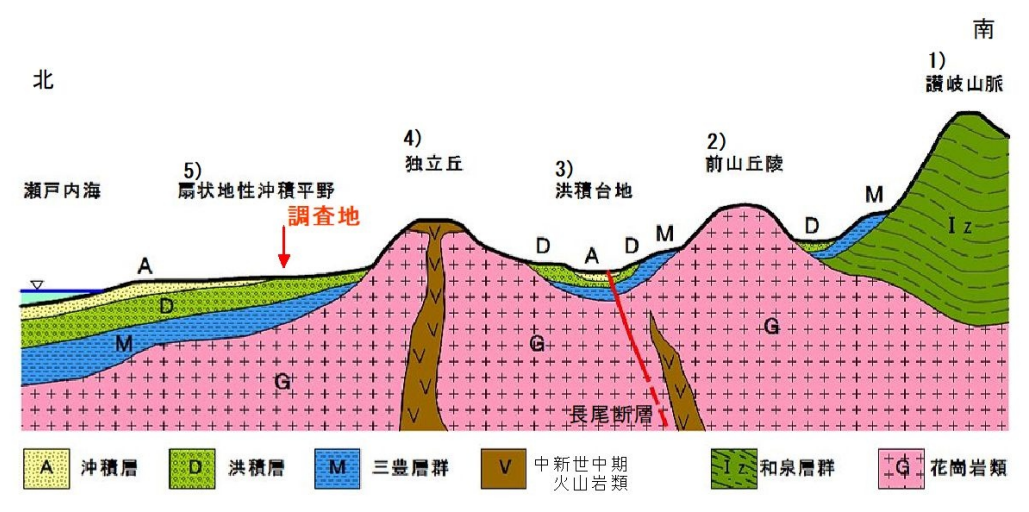
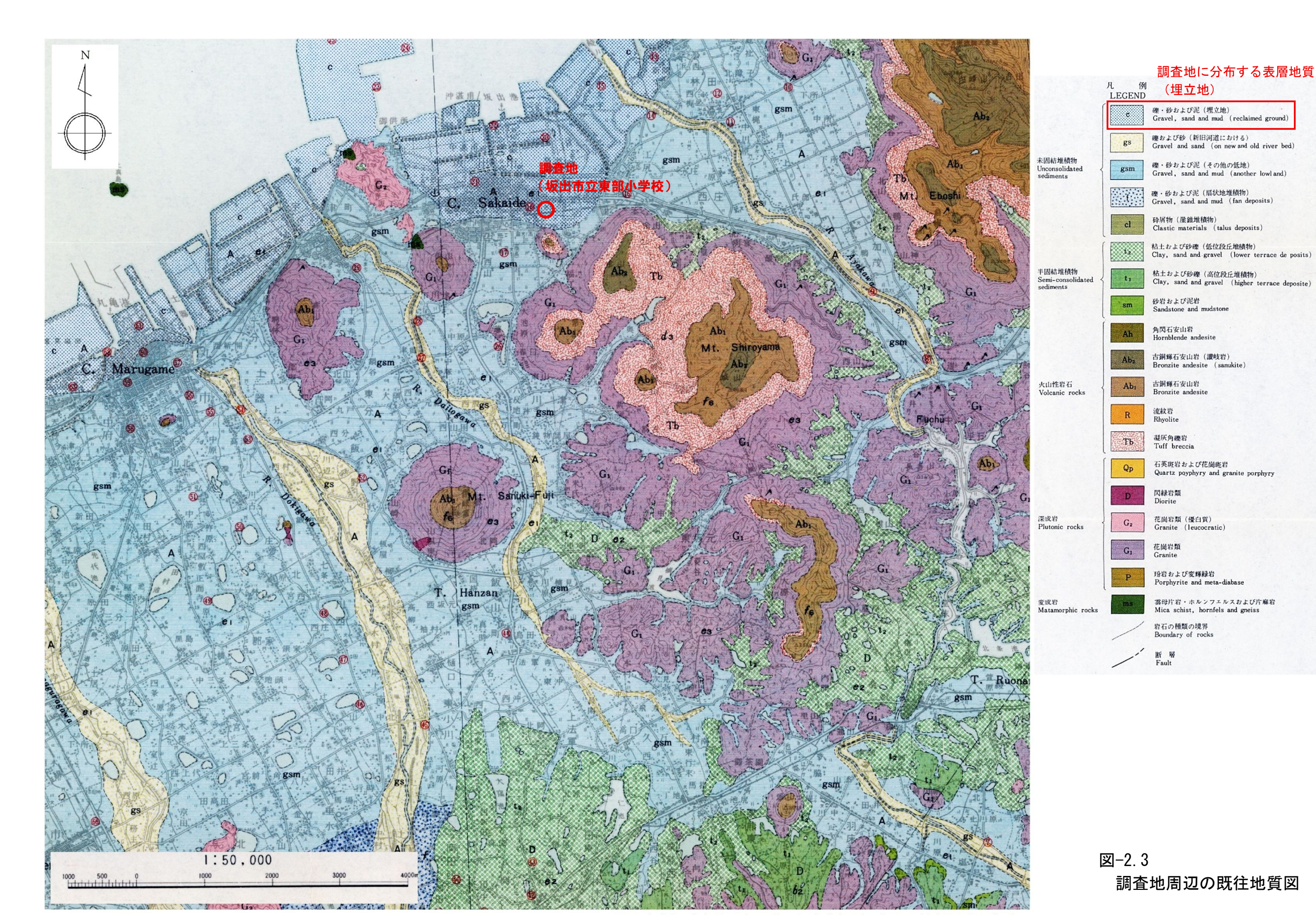


図-2.2 香川県の地質構造模式断面図 (土質工学会四国支部:30年のあゆみ、P-19に加筆)

香川県内の平野は、背後の讃岐山脈およびその前山丘陵に源を発する河川により形成されたもので、主要なものとしては東より高松平野、丸亀・坂出平野、三豊平野があり、それぞれ香東川、綾川、土器川、財田川などの主要河川の氾濫によって形成された扇状地性平野を主体としている。このような平野には和泉層群起源の砂岩礫、花崗岩起源の砂よりなる砂礫質土が多くまた、海岸付近に至ると三角洲性や海浜性の砂質土が多く分布している。

調査地は、瀬戸内海沿岸に発達する海岸平野(上記した地形の区分(4))のうちの坂出平野)に属し、綾川下流部に開けた低地平野に位置している。

次項の図-2.3 に調査地周辺の既往地質図を添付する。



引用:経済企画庁(昭和44年3月)土地分類基本調査図(国土調査)表層地質図「丸亀」

-7-

2.2 坂出平野の地形概要

坂出平野は、瀬戸内沿岸に位置する東西約7km、南北約5kmの海側に開けた低地である。平野の中部〜東部地域は南方の讃岐山脈に源を発する綾川の最下流部にあたり、綾川沿いに開けた低地平野広がっている。本業務の調査地である坂出市立東部小学校は、綾川下流部の低地平野に隣接してその南西側に坂出の市街地を中心とする坂出低地内にある。坂出低地は、南側に金山(△280.7m)、常山(△283.1m)城山(△462.1m)、西に角山(△184.0m)、聖通寺山(△117m)などの丘陵地群が連なり、直接的に大きな河川による土砂供給が少ない環境にある。地盤標高は1m前後と低く、軟弱な地盤が広く堆積している(図-2.3参照)。

また、坂出平野は、江戸時代から塩田開発による干拓が盛んに行われたところで、旧市街地を含む北側臨海部にかけては、埋立地が広がっている。(図-2.4 参照)



図-2.4 坂出平野周辺の地形概要図

|2.3 坂出平野の地盤概要

坂出平野を構成する地盤(未固結堆積物)について、1962 年~1990 年頃までは、地層中の火山灰の出所判定や地層の年代測定がまだ一般的でなかった時代でもあり、地層の層相や土質分類、標準貫入試験結果 (N値) などをもとに工学的評価を加味した地層区分がなされてきた。

すなわち、花崗岩の基盤岩上に下位より三豊層、洪積層、沖積層が順次堆積したとされ、大まかな地層区分がなされてきたが、坂出平野の沿岸部では深度約 10m~15m 付近までが砂質土主体 (N値〈20)の沖積層、それ以深や市街地中心部に至ると、部分的に砂礫質土を介在するものの、全体的には細粒分に富む泥質主体の土層が厚く堆積しており、上述した三豊層、洪積層、沖積層という「地層区分」の境界が判然としない点が指摘されてきていた。

その後、1998 年~2000 年頃に至ると、川村による生層序学的研究があり、広域火山灰の同定や降下年代、貝化石と 14C 年代測定などによる地層の堆積年代や古環境が次第に明らかにされ、「讃岐平野中部における上部更新統および完新統の層序と更新世後期以降の地形発達史」(川村教一、2001)としてその成果がとりまとめられた。以下、参考までに川村による研究成果を示す(図-2.5~図-2.6 参照)。

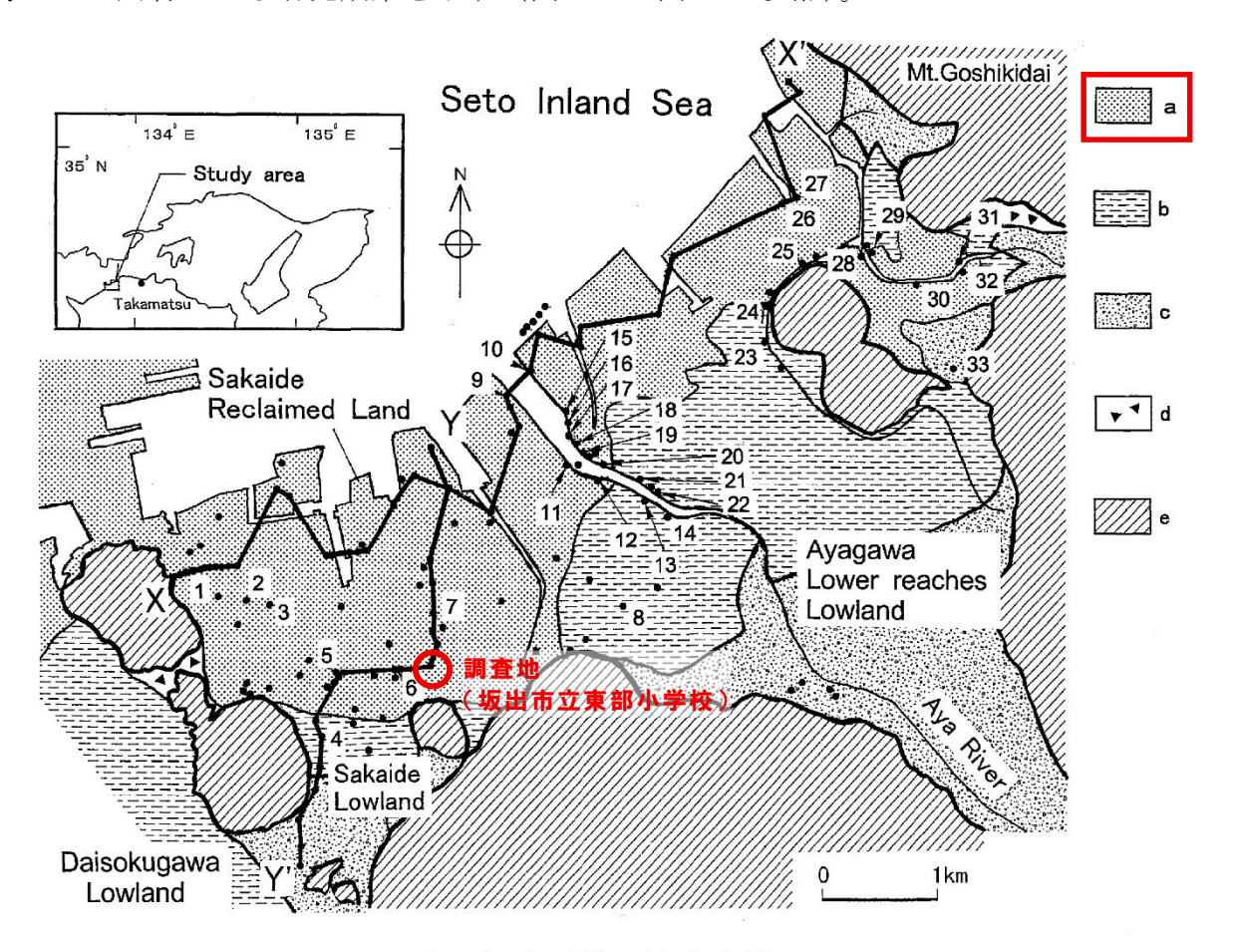


図1 坂出平野の地形分類図

a:埋立地 b:三角州および海岸平野 c:氾濫原 d:崖錐および沖積錐 e:丘陵山地, X-X', Y-Y'は図3の地質断面の基線,数字は観察地点,・はボーリング地点. 国土地理院(1986)に加筆.

図-2.5 坂出平野の地形分類図

本報告に従うと、坂出平野を構成する「沖積層」の分布深度は臨海部でも 10m~15m 程度で、坂出市役所付近では沖積層の厚さは数 m 程度、鎌田池付近至ると表層部を飾る程度とされている。また、洪積層の分布は平野下 GL-50m~-60mの深さにまで及ぶことが明らかにされている。

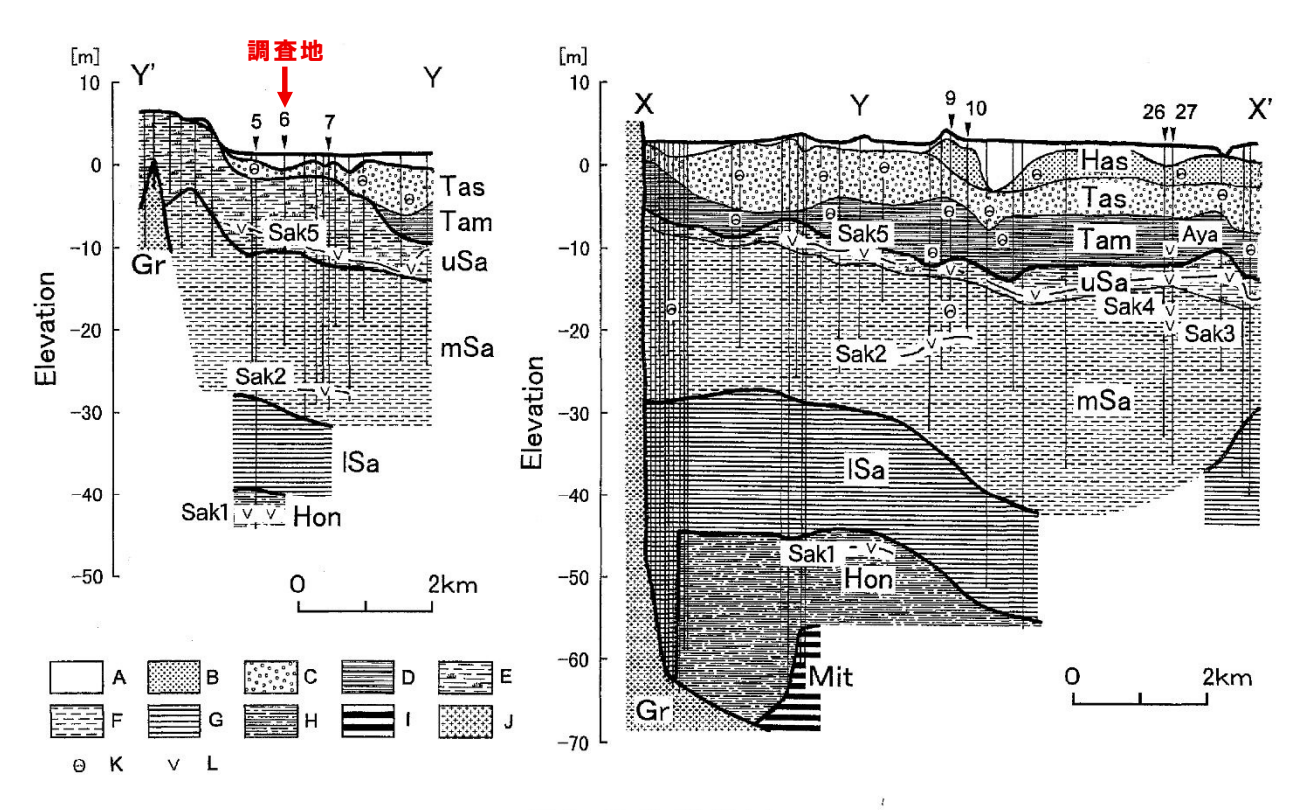


図3 地質断面図

A:埋土 B:林田町砂部層(Has) C:高屋町砂部層(Tas) D:高屋町泥部層(Tam) E:坂出層上部層(uSa) F:坂出層中部層(mSa) G:坂出層下部層(ISa) H:本町層(Hon) I:三豊層群(Mit) J:花崗岩(Gr) K:貝殼 L:火山灰

図-2.6 坂出低地臨海部の地質断面図

「川村」による坂出低地臨海部の地質断面図を参照すると、当地点付近の地下地質 (地盤) は以下のようである。

沖積層に該当する綾川層の「高屋町砂層 (Tas)」や「高屋町泥層 (Tam)」が地表下約10m付近にまで分布し、その下位には不整合関係にて最終氷河期頃の洪積層最末期に該当する「坂出層上部層 (uSa)」が分布しているようである。この坂出層上部層 (uSa)の下端部に相当する深度付近には、連続性の良い白色の火山灰層 (Sak5:姶良丹沢火山灰 (At)に対比、約28,000前に鹿児島湾奥の姶良市の姶良カルデラから噴出した火山灰)が含まれてくることが知られている。火山灰層 (Sak5)の下位には「坂出層中部層 (mSa)」が厚く堆積しており、固結度の良い青灰色粘土や砂の互層が特徴として挙げられている。次頁、表-3.1に図-2.6における地質断面図凡例の地層説明を示す。

表-2.1 図-2.6における地質断面図凡例の地層説明

封	也質時代	t	地層名		記号	地層の特徴	
					埋土		坂出の旧市街〜沿岸部にかけて坂出埋め立て層が分布する。
	完	沖			林田町砂層	Has	黄灰~茶褐色の礫混り砂~砂礫、花崗質な砂や礫を多量に混在、N値≒5~22程度。
	新 世	積層		綾川屋	高屋町砂層	Tas	暗灰~灰色砂層が主体、シルト粘土薄層を挟在、海成貝類が散在UN値=2~20 程度。
				層	高屋町泥層	Tam	主に暗灰色粘土シルト(N値≒5以下)で腐植物や褐色火山灰(Aya:K-Ahに対比) や貝殻片を混入、上位で粗粒化する傾向あり、局所的に砂礫(N値≒20)を含む。
新生代					坂出層上部層	uSa	主に青灰〜緑灰色粘土(N値≒10以下)、シルト主体、しばしば暗褐の腐植質層を伴う。坂出低地では最上部に砂礫層(N値≒20)を伴う。連続性の良い白色火山灰(Sak5: Atに対比)が存在し鍵層として有効、最終氷期頃(洪積層末期)の堆積物。
第四紀	更新世	洪		坂出層	坂出層中部層	mSa	主に青灰色の泥層と砂層の互層、一部は砂層に富む。連続性がよくN値は泥層で2~25、砂層で5~30程度、泥層は既往資料で「固結質」、「固結粘土」と表現されることが多い。標高-20m~-30m付近に火山灰が数層(Sak2~4)、他が確認されるが、その特徴や連続性はよく分かっていない。
	後 期	八 積 層			坂出層下部層	ISa	主に青灰色の泥層〜砂質層、連続性がよい。N値は下位より50弱〜10程度と上方へ漸減し、概ね20〜30程度。
					本 町 層	Hon	主に泥質~砂質層、標高-70m~-45m付近に広く分布、N値は20~50程度で主にN≒50を示す。本町の地下-45m付近で厚さ1.6mの火山灰層(Sak1)が見つかっている。
	前期 更新世				三豊層群	Mit	固結した青色シルト層、砂層、礫層からなる100万~200万年前の湖沼性堆積物、 讃岐平野の丘陵周辺の台地や平野下、瀬戸内海の海底下に広く分布、層厚100m を超す。
	生代 亜紀	基盤岩	****	花崗岩類		Gr	領家花崗岩に属し、讃岐平野の基盤岩をなし県下に広く分布している。新鮮なものは極めて硬質であるが、低山地を構成し地表に露出しているものなどは全般に風化が進行し、マサ化(砂質土化)していることが多い。
			Θ		貝殼		綾川層、及び坂出層上部中に浅海生の貝類の遺骸として混在
			٧		火山灰		坂出層からSak1〜Sak5、他2層、綾川層からAyaの火山灰層が見つかっている。 Sak1は誓願時-栂火山灰(Sg-Tg):約60万年前に、Sak5は姶良-丹沢火山灰 (At):約2万8千年前に、Ayaはアカホヤ火山灰(K-Ah):約7千年前に対比される。

3. 調査方法

3.1 ボーリング

1) 調査方法

①:搬入·仮設作業

調査箇所へのボーリング機械等の搬入・搬出は、弊社資材倉庫~調査地まで小型クレーン付き3tトラックで行った。また、機材の搬入(搬出)路は、関係者の了解を得た搬路を使用した。また、給水は関係者の了解を得た給水地点より行った。

②:削孔

東邦 D-18 型 (掘進能力 100m) のボーリングマシンを用い、孔径 ϕ 66mm にて掘進を行った。 削孔にあたっては、 ϕ 40.5mm のボーリングロッドを回転軸とするロータリー削孔を行い、先端にメタルクラウンを装着したシングルコアチューブにより無水掘りを行った。

③: 孔壁の保護

削孔中は、孔壁の崩壊防止の目的として、ケーシングパイプ (φ90mm) の挿入を行った。

④:地質状況の把握

掘進中の給圧の変化、循環水の排水量及び排水色、スライムなどに細心の注意を払い地質 状況の把握に努めた。

⑤: 孔内水位の測定

削孔途中で孔内水位が認められた時、孔内水位の深度を測定した。また、毎朝作業開始前 に孔内水位を測定し、とりまとめの際、適切な地下水位の判断に用いた。

⑥:地質標本の作成

ボーリングにより採取した土質試料(標準貫入試験試料)は、それぞれ土質試料瓶に詰め、 土質標本箱に収納・整理した(写真-3.1.1及び3.1.2参照)。

⑦: 検尺および撤去

検尺はボーリング完了後、発注元の担当者の指示に従って行った。撤去にあたっては、関係者の承認を受けて実施した。



写真-3.1.1 地質標本ビン



図-2.4.3 土質標本箱の例(20m)

2) 仮設図および使用機械

図-3.1.1 に標準足場組立図を示す。また、表-3.1.1 にボーリング作業に使用した資機材の一覧表を示す。

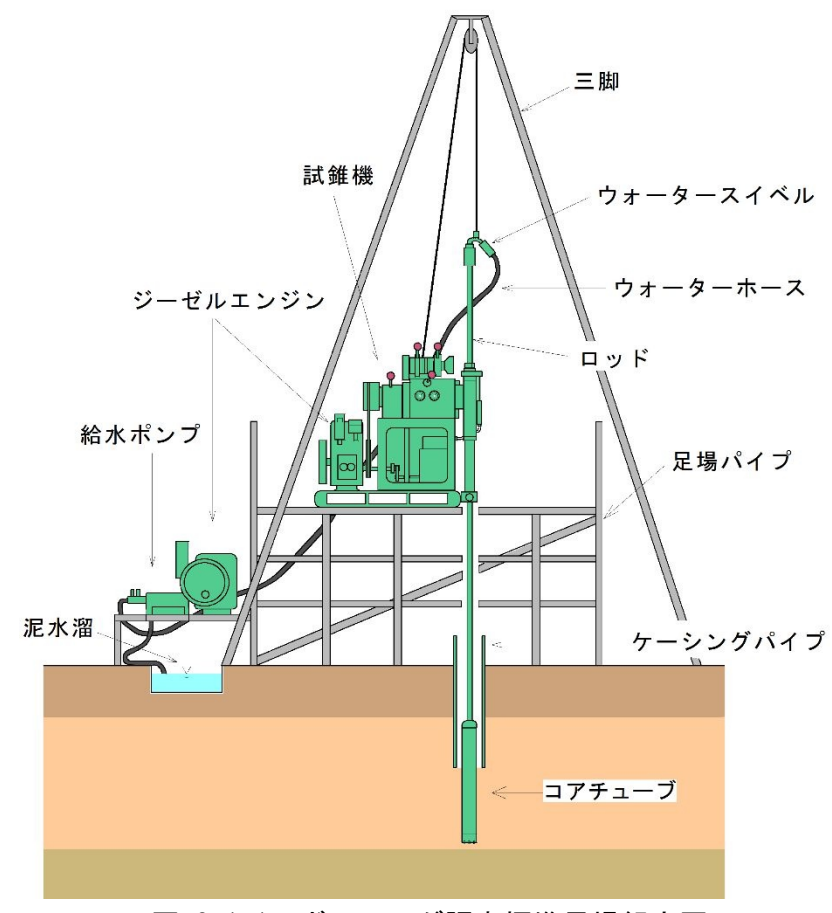


図-3.1.1 ボーリング調査標準足場組立図

表-3.1.1 ボーリング使用機材一覧表

名 称	仕 様	数量
ボーリングマシン	東邦地下工機 D-1B型(能力 100m)	1台
試錐ポンプ	東邦地下工機 BG-3C 型(351/分/20kg/cm)	1台
原動機	ヤンマーTF120M型(ディーゼルエンジン)	1台
ケーシングパイプ	φ 90mm (L=1.00m)	必要量
ボーリングロッド	東邦地下工機φ40.5mm(L=0.5m、1.0m、3.0m)	必要量
シングルコアチューブ	ベルマシン φ 66mm (L=1.0m)	1組
ダブルコアチューブ	ノートンφ66mm(L=1.5m)	1組
メタルクラウン	東邦地下工機コアチューブ用、ケーシング用	必要量
標準貫入試験器	東邦地下工機 SPT サンプラー、ハンマー(重錐)	1 式
1示 华 貝 八 八 秋 俗	アンビル、ガイドロッド	1 17.
その他機材	ホース類、ウォータースイベル、三脚、足場材、工具等	1式

3.2 標準貫入試験

1) 目的

標準貫入試験(JIS A 1219)は、地盤の締まり具合を定量的に把握することを目的として実施した。

2) 試験方法、実施頻度および試験上限

試験方法は、質量 63.5kg のハンマーを 76 ± 1 cm の高さより自由落下させ、外径 51 ± 1 mm(内径 35 ± 1 mm)のSPTサンプラーを 30cm 打ち込むのに要する打撃回数 (N値)を数えた。

試験深度は、原則として深度 1m 毎に実施し、15cm の予備打ち、30cm の本打ちを行った。本打ちに要する打撃回数は、貫入量 10cm 毎に記録した。最大打撃回数(N値の上限)は 50 回とし、貫入量が 30cm に達しないものについては「50(回)/貫入量(cm)」として記載した。

図-3.2.1 に標準貫入試験装置、図-3.2.2 にSPTサンプラーの概略図を示す。

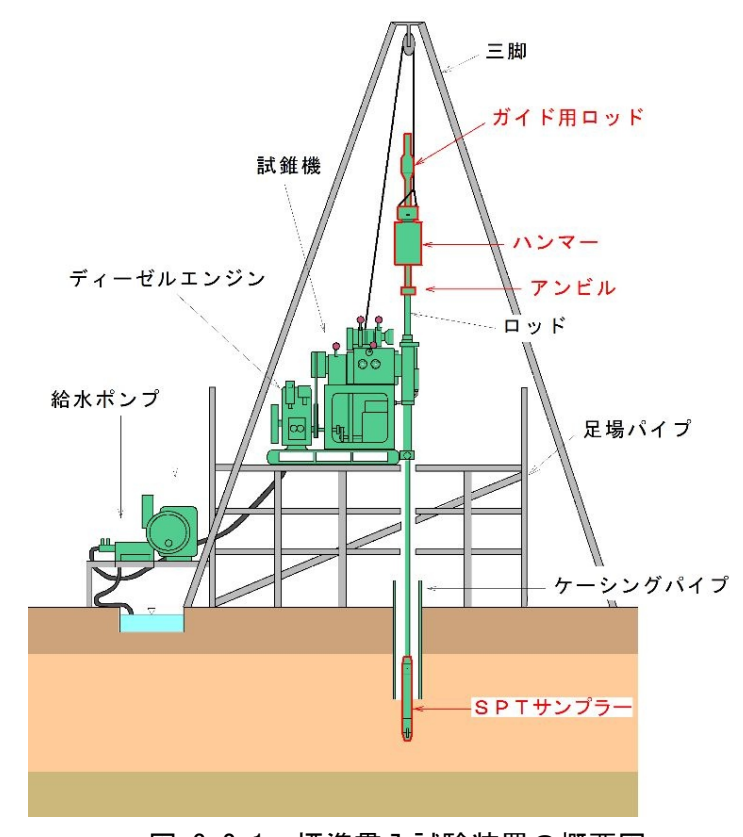


図-3.2.1 標準貫入試験装置の概要図

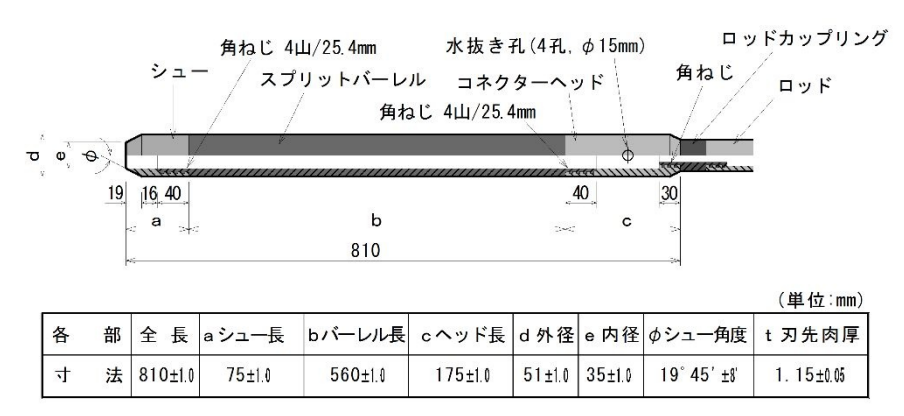


図-3.2.2 SPTサンプラー

3) N値による地盤評価基準

砂質土におけるN値と相対密度との関係を表-3.2.1 に示し、粘性土におけるN値とコンシステンシーとの関係を表-3.2.2 に示す。

表-3.2.1 N値と砂の相対密度の関係(Terzaghi and Peck)

N 値	相対密度(Terzaghi and Peck)	現場判定法
0~4 4~10 10~30	非常に緩い(very loose) 緩 い(loose) 中位の(medium)	鉄筋が容易に手で貫入 ショベル (スコップ) で掘削可能 鉄筋を 5 ポンドハンマで打込み可能
30~50 >50	密な (dense) 非常に密な (very dense)	同上、30cm 程度貫入 同上、5~6cmcm 程度貫入、掘削につるはし 必要、打込み時金属音

注) 鉄筋は φ 13mm

公益社団法人地盤工学会:地盤調査の方法と解説, p305, 2013

表-3.2.2 N値と粘土のコンシステンシー、一軸圧縮強さの関係

N値	一軸圧縮強さ qu(KN/m2)	コンシステンシー
0~2	$0.0\sim24.5 \text{ kN/m}^2$	非常に柔らかい
2~4	$24.5\sim49.1~\text{kN/m}^2$	柔らかい
4∼ 8	49.1 \sim 98.1 kN/m ²	中位の
8 ~ 15	98.1 \sim 196.2 kN/m ²	硬い
15~30	$196.2\sim392.4~\mathrm{kN/m^2}$	非常に硬い
30~	$392.4~\mathrm{kN/m^2}$	固結した

公益社団法人地盤工学会:地盤調査の方法と解説, p308, 2013

3.3 室内土質試験

(1) 目的

土質試験は、確認された各土層における物理的特性や粒度分布などの把握のため、各土層の 代表箇所で行った。

(2) 試験箇所

土質試験箇所および試験項目実施一覧表を表-3.3.1に示す。

表-3.3.1 土質試験箇所および試験項目実施一覧表

		12 0.0.1	工具叫歌画別			J (//)	見仪		
孔番	試料	% 中 ()	上所豆八	A.7/d 古			土質試験項		ı
11.00	番号	深度(m)	土質区分	N値	土粒子の密度	土の	土の粒度	土の粒度	土の液性
					の密度	含水比	(フルイ)	(沈降)	塑性限界
	1P-1	1. 15~1. 45	礫混り砂	2	0	0	0		
	1P-3	3. 15~3. 45	砂礫	14	0	0	0		
	1P-4	4. 15~4. 45	礫混り砂	9	0	0	0		
	1P-5	5. 15~5. 45	礫混り砂	6	0	0	0		
	1P-7	7. 15~7. 45	砂礫	25	0	0	0		
	1P-8	8. 15~8. 45	礫混り砂	24	0	0	0		
	1P-13	13. 15~13. 45	腐植土	7	0	0		0	0
	1P-14	14. 15~14. 42	シルト質砂	50/27	0	0	0		
N 4	1P-17	17. 15~17. 45	砂質シルト	9	0	0		0	0
No. 1	1P-18	18. 15~18. 45	シルト	5	0	0		0	0
	1P-19	19. 15~19. 45	砂質シルト	20	0	0		0	0
	1P-22	22. 15~22. 45	砂質シルト	14	0	0		0	0
	1P-27	27. 15~27. 45	砂混りシルト	5	0	0		0	0
	1P-30	30. 15~30. 45	粘土	11	0	0		0	0
	1P-31	31. 15~31. 45	砂	24	0	0	0		
	1P-32	32. 15~32. 45	シルト	10	0	0		0	0
	1P-34	34. 15~34. 45	シルト質砂	22	0	0	0		
	1P-38	38. 15~38. 45	砂質シルト	15	0	0		0	0
		合計数量			18	18	9	9	9

(3) 各試験の概要

①土粒子の密度試験

土の固体部分(図-3.3.1 における土粒子実質部 m_s の部分)の単位体積当たりの質量を求める試験である。土粒子の密度は、構成されている鉱物の種類や含有の程度によって異なるが、一般

の土は 2.65g/cm³ 前後を示すものが多く、有機物多く含む土ほど小さい値を示す。

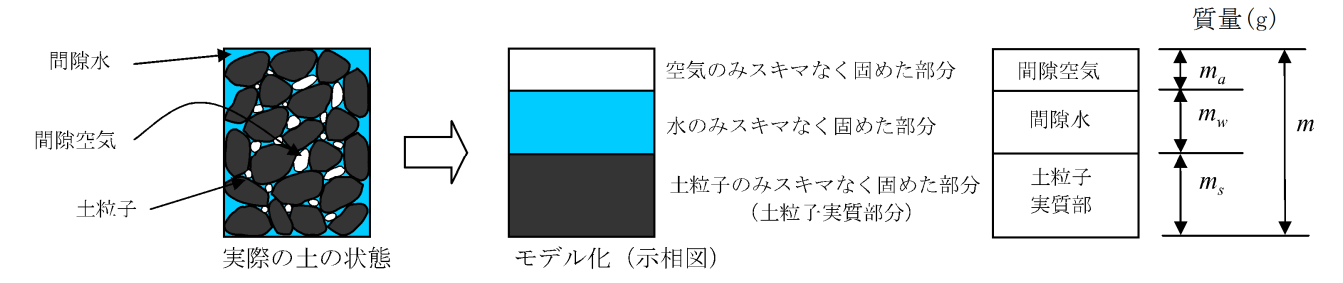


図-3.3.1 土の状態を示す示相図による土のモデル図

②土の含水比試験

土の土粒子実質部分に対する水の割合(図-3.3.1 における $m_{\rm S}/m_{\rm W} \times 100$ の部分)を質量百分率で表わす試験である。一般に土の間隙率が高い粘性土は、間隙率が低い砂質土や礫質土に比べて、高い値を示す。密実に締まった土(高いN値の土や洪積層の土)は、緩い土に比べて、含水比は低い値を示す。

③土の粒度試験

土粒子径の分布状態を質量百分率で表わす試験である。地盤工学では、土粒子の大きさ(粒径)を図-3.3.2のように分類している。



図-3.3.2 土粒子の大きさ(粒径)による分類

粒度試験は、粒径 0.075mm 以上のものに対してふるい分析、0.075mm 未満のものに対して沈降分析(浮ひょうによる比重測定)が行われる。一般に土は、種々の粒径の土粒子の混合体で、礫・砂・シルト・粘土の重量百分率を出して、その混合状態を示すが、一見するときには、粒径加積曲線(図-3.3.3)が便利である。

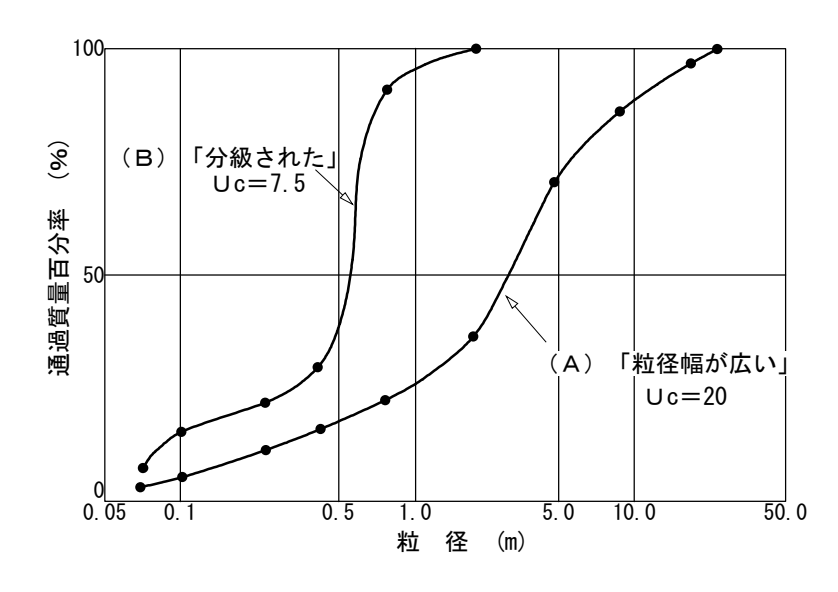


図-3.3.3 粒径加積曲線の例

粒径加積曲線が図-3.3.3(A)のように傾いている土は、大小様々な粒径のものが混り合っていることを示し、(B)のように急に立ち上がっている土は、粒径が比較的よく揃っていることを示している。このような混合状態を示す目安として、加積通過率 60%に対する粒径(D_{60})、30%に対する粒径(D_{30})、10%に対する粒径(D_{10})との比が用いられ、これを均等係数 U_{c} および曲率係数 U_{c} と呼んでいる。

\bigcirc $U_c = D_{60}/D_{10}$

$\bigcirc U_c'=(D_{30})^2/(D_{10}\times D_{60})$

図-3.3.3(B)のような粒径のそろった土の均等係数は小さく、(A)のような様々な粒子からなる土のそれは大きい。この様子は、以下の式に与えられている。

◎ *Uc*≥10: 粒径幅の広い土

◎ *U_c*<10:分級された土

④土の液性限界試験・土の塑性限界試験

土が塑性状態から液体に移る時の含水比(図-3.3.4 の \mathbf{w}_L)および土が塑性状態から半固体の状態に移る時の含水比(図-3.3.4 の \mathbf{w}_P)を求める試験である。また、液性限界と塑性限界の差を塑性指数 I_P といい、この値が大きいほど粘性土特有の塑性状態を示す含水量範囲が広いことを示す。

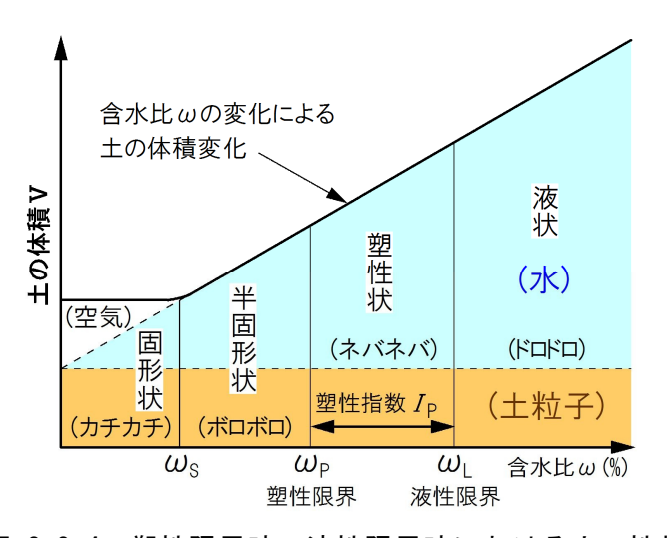


図-3.3.4 塑性限界時、液性限界時における土の性状

4. 調査結果

4.1 ボーリング調査、標準貫入試験

標準貫入試験併用のボーリング調査は、図-1.2 に示す 1 箇所で実施した。ボーリング調査 位置の孔口標高、掘進長および標準貫入試験の実施数量を表-4.1.1 に示す。

71	孔口標高	孔径	掘進長	標準貫入試験
孔番	(KBM±m)	(mm)	(m)	(回)
No. 1	0.96	66	45.00	45

表-4.1.1 ボーリング、標準貫入試験の数量一覧表

ボーリング結果の概要を次頁、図-4.1.1 に示し、詳細は巻末のボーリング柱状図(日本建設情報総合センター:「ボーリング柱状図作成要領(案)、解説書」に準拠し作成(JACIC版))に示す。

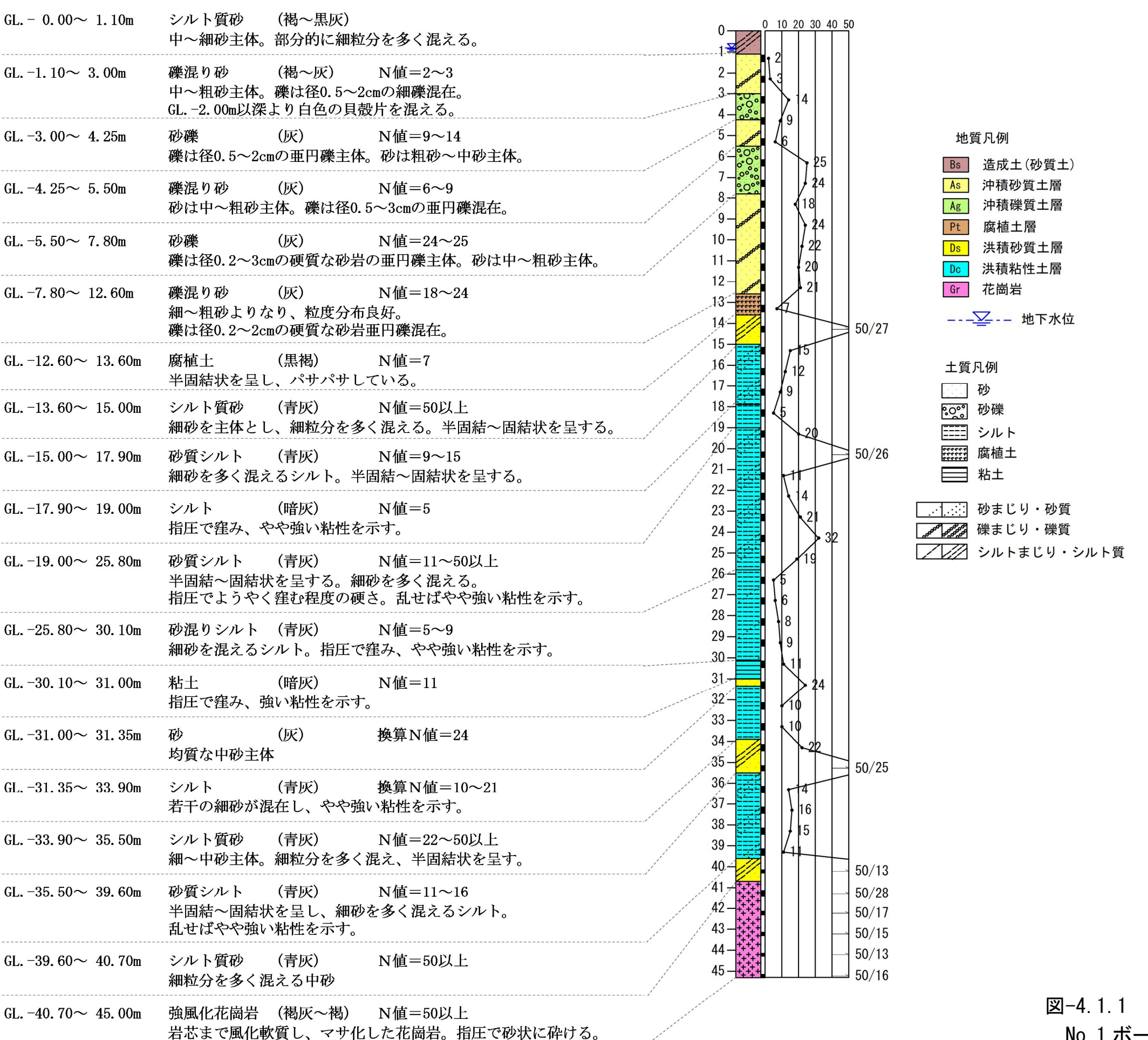
なお、ボーリング孔口の高さは、調査地点近傍の公共基準点(街区多角点 10B02、標高 GH= 0.995m) より、水準測量により求めた(写真-4.1.1 参照)。



平成 1 8 年度 街区基準点測量 (香川県坂出市第 1 地区) 街区多角点 /0 8 02 平成 18 年 9月 4日

写真-4.1.1 公共基準点 (街区多角点 10B02、標高 GH=0.995m)

No. 1 孔口標高: 0.96m 掘進長: 45.00m



No.1ボーリング調査の結果

4.2 孔内水位

ボーリング完了時における孔内水位を表-4.2.1に示す。

表-4.2.1 孔内水位一覧表

孔番	孔口標高	孔内	測定月日		
11街	(GH.)	(GL m)	(GH. m)	(共)人(二) 口	
No. 1	No. 1 0. 96		0. 16	7月24日	

孔内水位は、GL-0.80mに確認された。調査地点の地盤標高がGH=0.959mであることから、 孔内水位の深度は妥当なものであると判断される。ただし、降雨等の気象条件や観測時期によっては多少の変動があるものと推測される。

4.3 室内土質試験

土質試験は、ボーリング調査で確認された各土層の代表試料を用いて実施した。土質試験の項目と数量を表-4.3.1に示す。

表-4.3.1 土質試験項目と数量

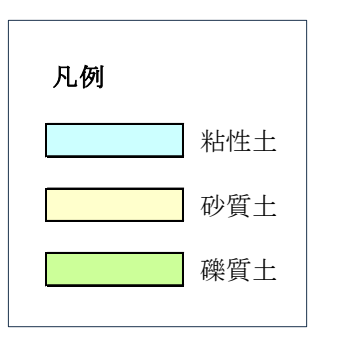
	試験数量(試料)
試験項目	No. 1
土粒子の密度試験	18
土の含水比試験	18
土の粒度試験(フルイ)	8
土の粒度試験(沈降分析)	12
土の液性限界・塑性限界試験	12

土質試験の結果は、巻末のデータシートに整理し、その一覧表を表-4.3.2に示す。

表-4.3.2 土質試験結果一覧

				ボーリング No.1										
	試 料 番 号		1P-1	1P-3	1P-4	1P-5	1P-7	1P-8	1P-13	1P-14	1P-17	1P-18	1P-19	1P-22
	深 さ (m)		1.15~1.45	3. 15~3. 45	4.15~4.45	5. 15~5. 45	7. 15~7. 45	8.15~8.45	13. 15~13. 45	14. 15~14. 42	17.15~17.45	18. 15~18. 45	19. 15~19. 45	22. 15~22. 45
	湿潤密度 ρ t	$\rm g/cm^3$												
_	乾燥密度ρd	g/cm^3												
	土粒子の密度 ρs	$\mathrm{g/cm}^3$	2.643	2. 639	2. 643	2. 635	2. 653	2.640	2. 053	2. 640	2. 667	2. 662	2. 671	2.657
	自然含水比 ωπ	%	11.9	11.5	18. 2	10. 3	6. 0	13.5	114. 5	15. 0	40. 6	53. 7	20. 4	22. 9
般	間 隙 比 e													
	飽和度 Sr	%												
	礫 分(2~75mm)	%	6. 7	57. 3	27.8	45. 4	74. 2	36. 9	19.8	3. 2	0.0	0.0	3. 5	2. 9
	砂 分(75μ~2mm)	%	74. 7	37. 1	64.8	46.0	20. 4	57. 7	6. 2	60. 3	0.6	5. 2	32. 9	29. 6
	シルト分(5~75μ)	%	18. 6	5. 6	7. 4	8. 6	5. 4	5. 4	25. 0	36. 5	45. 8	40. 7	37. 0	30. 7
粒	粘土分(5μ未満)	%	10.0	5. 0	7.4	0.0	0.4	5.4	49. 0	30. 3	53. 6	54. 1	26. 6	36. 8
	最大粒径	mm	9.5	38	26. 5	37. 50	37. 5	37. 5	19	9. 5	0. 250	2	4. 75	4. 75
	均等係数 Uc		-	23. 6	6. 42	49. 50	73. 1	6. 9	-	-	-	-	-	-
	曲率係数 Uc'													
度	50%粒径 D50	mm	0.610	3. 06	0. 567	1. 42	13. 5	0.769	0.00524	0. 169	0. 00445	0.00395	0.0384	0.0130
	20%粒径 D20	mm	0.0829	0. 438	0. 239	0. 423	1.09	0. 336	-	-	0.00106	-	0.00224	-
	10%粒径 D10	mm	-	0. 214	0. 126	0. 125	0. 242	0. 198	-	-	-	-	-	-
	細粒分含有率 FC	%	18. 6	5. 6	7.4	8.6	5. 4	5. 4	74. 0	36. 5	99. 4	94. 8	63. 6	67. 5
特テコ性ンン	液性限界 ωL	%							258. 7	35. 7	80. 7	71. 6	48. 0	55. 0
シシ	塑性限界 ωρ	%							133. 7	14. 6	26. 2	29. 0	18. 6	18. 6
ートス	塑性指数 Ip								125. 0	21. 1	54. 5	42. 6	29. 4	36. 4
分類	地盤材料の分類名		礫まじり 細粒分質砂	細粒分まじり 砂質礫	細粒分まじり 礫質砂	細粒分まじり 礫質砂	細粒分まじり 砂質礫	細粒分まじり 礫質砂	砂まじり礫質 有機質粘土 (高液性限界)	細粒分質砂	粘土 (高液性限界)	砂まじり粘土 (高液性限界)	砂質粘土 (低液性限界)	砂質粘土 (高液性限界)
	分類記号		SF-G	GS-F	SG-F	SG-F	GS-F	SG-F	OHG-S	SF	СН	CH-S	CLS	CHS
40			礫まじり		礫まじり	礫まじり		礫まじり		シルト質	砂質		砂質	砂質
参考	柱状図上の区分		砂	砂礫	砂	砂	砂礫	砂	腐植土	砂	シルト	シルト	シルト	シルト
5	分類記号		SM	GS	S-G	S-G	GS	S-G	Pt	SM	MS	M	MS	MS

			ボーリング No. 1							
	試 料 番 号	1P-27	1P-30	1P-31	1P-32	1P-34	1P-38			
	深 さ (m)	27. 15~27. 45	30. 15~30. 45	31. 15~31. 45	32. 15~32. 45	34. 15~34. 45	38. 15~38. 45			
	湿潤密度 ρ t g/cm³									
_	乾燥密度ρd g/cm³									
	土粒子の密度 ρs g/cm³	2. 686	2. 653	2. 607	2. 633	2.676	2. 650			
	自然含水比 ω π %	29. 1	32. 4	22. 3	29. 7	24. 9	29.8			
般	間 隙 比 e									
	飽和度 Sr %									
	礫 分(2~75mm) %	11.6	0.3	10. 7	0.0	0.0	1.7			
	砂 分(75μ~2mm) %	29. 3	12. 1	49. 1	6. 1	51. 0	13.3			
	シルト分(5~75μ) %	47. 1	39. 6	32. 2	61. 2	40.0	65. 5			
粒	粘土分(5μ未満) %	12.0	48. 0	7.9	32. 7	49. 0	19.5			
	最大粒径 mm	19	4. 75	9.5	2	0.850	9. 5			
	均等係数 Uc	25. 7	-	47.8	-	_	34.4			
	曲率係数 Uc'									
度	50%粒径 D50 mm	0. 0565	0. 00575	0. 224	0.0161	0.0765	0. 0262			
	20%粒径 D20 mm	0.0132	-	0.0192	-	_	0.00524			
	10%粒径 D10 mm	0. 00309	-	0.00852	-	_	0.00102			
	細粒分含有率 FC %	59. 1	87.6	40. 1	93. 9	49. 0	85.0			
特 テ コ 性 ン ン	液性限界ωμ %	46.8	64. 4	36. 4	45. 9	44. 5	49.7			
性シンシシ	塑性限界ωρ %	22. 4	21.7	24. 4	24. 8	19. 9	21.8			
ートス	塑性指数 Ip	24. 4	42. 7	12. 0	21. 1	24. 6	27.9			
分類	地盤材料の分類名	礫まじり 砂質粘土 (低液性限界)	砂まじり粘土 (高液性限界)	礫まじり 細粒分質砂	砂まじり粘土 (低液性限界)	細粒分質砂	砂まじり粘土 (低液性限界)			
	分類記号	CLS-G	CH-S	SF-G	CL-S	SF	CL-S			
45	サル図 Lの区八	砂まじり				シルト質	砂質			
参考	柱状図上の区分	シルト	粘土	砂	シルト	砂	シルト			
. ,	分類記号	M-S	C	S	M	SM	MS			



5. 考 察

_____ 5.1 調査地の地質

本調査孔 No. 1 のボーリング結果を用いて地質断面図を作成し、図-5.1.1 に示した。表-5.1.1 に地質断面図に示す地層区分を行った。

表-5.1.1 本調査地に分布する地層状況一覧表

地層区分	地層名	記号	<i>N</i> 値 (平均 <i>N</i> 値)	層厚 (m)	色調	土質・地質
現世層	造成土(砂質土)	Bs	_	1. 10	褐~黒灰	シルト質砂
	沖積砂質土1層	As1	2~ 3 (2)	1.90	褐~灰	礫混り砂
	沖積礫質土1層	Ag1	14	1. 25	灰	砂礫
沖積層	沖積砂質土2層	As2	6~ 9 (7)	1. 25	灰	礫混り砂
	沖積礫質土2層	Ag2	15~25 (22)	2.30	灰	砂礫
	沖積砂質土3層	As3	20~24 (21)	4.80	灰	礫混り砂
	洪積腐植土層	Dp	7	1.00	黒褐	腐植土 (シルト状)
	洪積砂質土1層	Ds1	62	1.40	青灰	シルト質砂
	洪積粘性土1層	Dc1	9~15 (12)	4.00	青灰~暗灰	砂質シルト シルト
	洪積粘性土2層	Dc2	11~32 (19)	6.80	青灰	砂質シルト
洪積層	洪積粘性土3層	Dc3	5~ 9 (7)	5. 20	青灰~暗灰	砂混りシルト 粘土
	洪積砂質土2層	Ds2	24	0.35	灰	砂
	洪積粘性土4層	Dc4	10~10 (10)	2. 55	青灰	シルト
	洪積砂質土3層	Ds3	22	1.60	青灰	シルト質砂
	洪積粘性土5層	Dc5	11~16 (14)	4. 10	青灰	砂質シルト
三豊層	三豊層(砂質土)	Ms	115	1. 10	青灰	シルト質砂
基盤岩	花崗岩	Gr	54~115 (90)	4.61 以上	褐灰~褐	強風化花崗岩

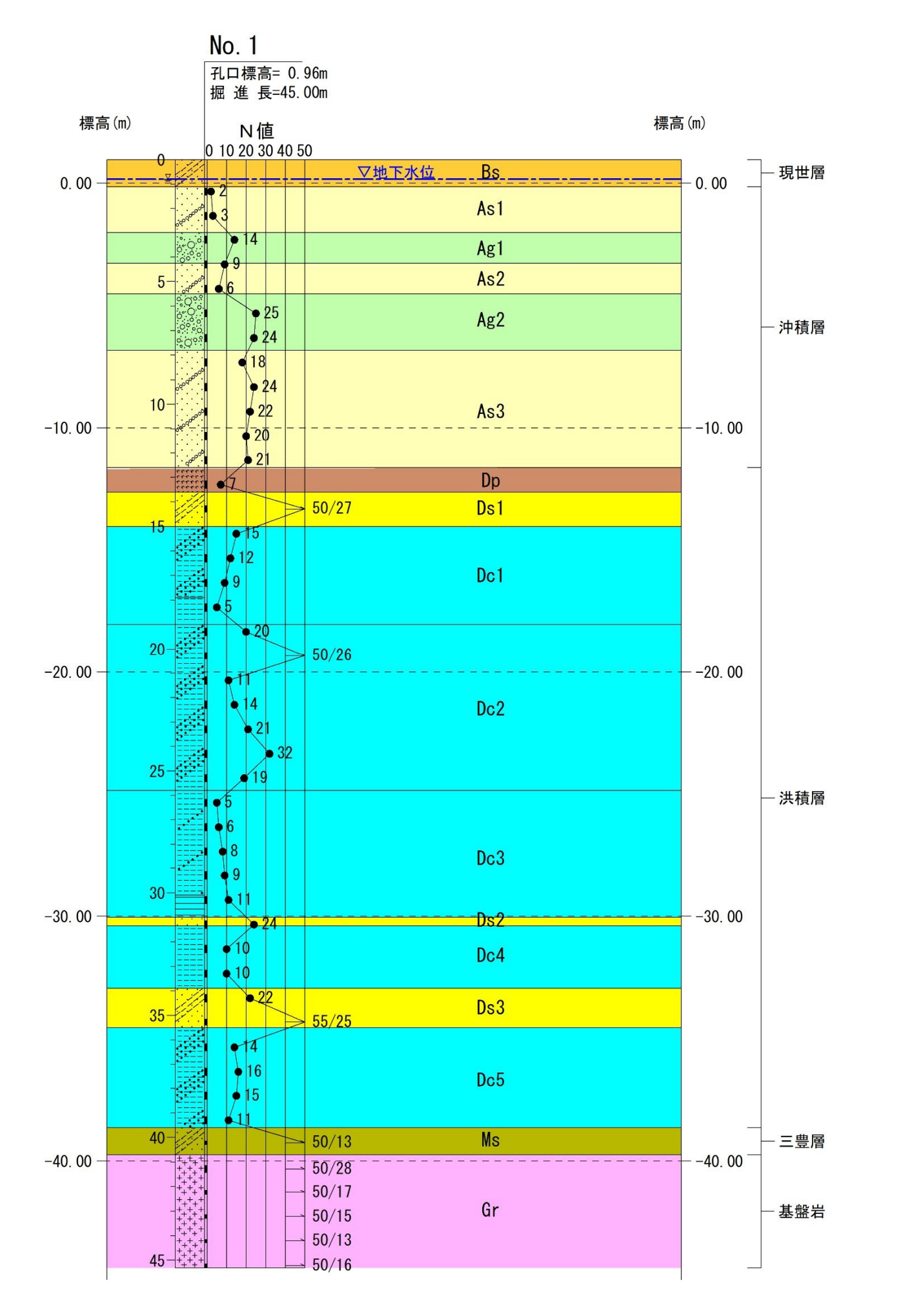
本調査地点の地質状況を以下に示す。

- ・本調査地の地表より深度 1.1m まで、造成土 (Bs) の分布が確認された。
- ・深度 $1.1m\sim12.6m$ の区間(層厚 11.5m)は、沖積層と判断した。沖積層は、砂質土と礫混り土で構成され、粘性土の分布は認められなかった。上層より砂質土層(As1)、礫質土層(As1)、砂質土層(As2)、砂質土層(As3)の 5 層で構成され、N値は深度が増すにつれ上昇傾向、かつ、砂質土より礫質土が大きな値となる傾向にあり、N値 $2\sim25$ の範囲であった。
- ・深度 12.6m~39.6m の区間(層厚 27.0m)は、洪積層と判断した。洪積層の最上部は、香川県内の沿岸部で多く確認されているシルト状を示す腐植土層が確認された。この腐植土層は、年代同定が可能な火山灰層を伴うこともあるが、本調査では確認されていない。これ以深の大半は粘性土層で構成され、砂質土層の分布は僅かである。ただし、粘性土層の大半は砂が多量混じる砂質シルトからなり、砂質土においてはシルトが多量混じるシルト質砂が大半を占めることから、構成される土粒子の大きさの変化に差異は少ない土質変化である。各層のN値は、一部、特異な値が計測されることもあるが、粘性土層でN値 5~32(平均 7~19)、砂質土層でN値 22~24と極端なバラツキはみられなかった。ただし、洪積砂質土1層のN位 62 は、分布深度と構成土粒子より、過剰な値が測定された可能が推定されるが、層厚が 1.40m と薄く、N位は 1点のみの計測であるため、参考値として取り扱うことが望まれる。
- ・深度 39.6m~40.7m(層厚 1.1m)は、三豊層と判断した。三豊層群は、香川県西部の讃岐平野周辺に分布する新第三紀から第四紀初期(約 100 万年~200 万年前)の湖沼性堆積物であり、固結した青色シルト層、砂層、礫層からなる。讃岐平野丘陵地周辺の台地や平野の地下深部、瀬戸内海の海底下に広く分布する地層で、それらの内の砂層であると判断される。体積念買いが古いため、いずれも硬く締まっており、高い N値を示す。
- ・深度 40.7m 以深(層厚 4.61m 以上)は、基盤岩である花崗岩の強風化部(強風化花崗岩)と判断した。本調査で確認された花崗岩は、岩芯まで風化軟質化し、マサ化した状態であり、採取試料は指圧で砂状に砕けるものの、硬く締まっており、N値はいずれも 50 以上(N値 $54\sim115$; 平均 90)を示す状態であった。内陸部で見られる風化花崗岩の表層付近では、N値 30 以下のものがある程度の層厚で確認されることが多いが、本調査地点においては、これらは削剥されたものと推定される。

調査中の地下水位は、深度 0.80m(標高 0.16m)と浅くに認められている。

地質断面図

S=1:200 (A3)





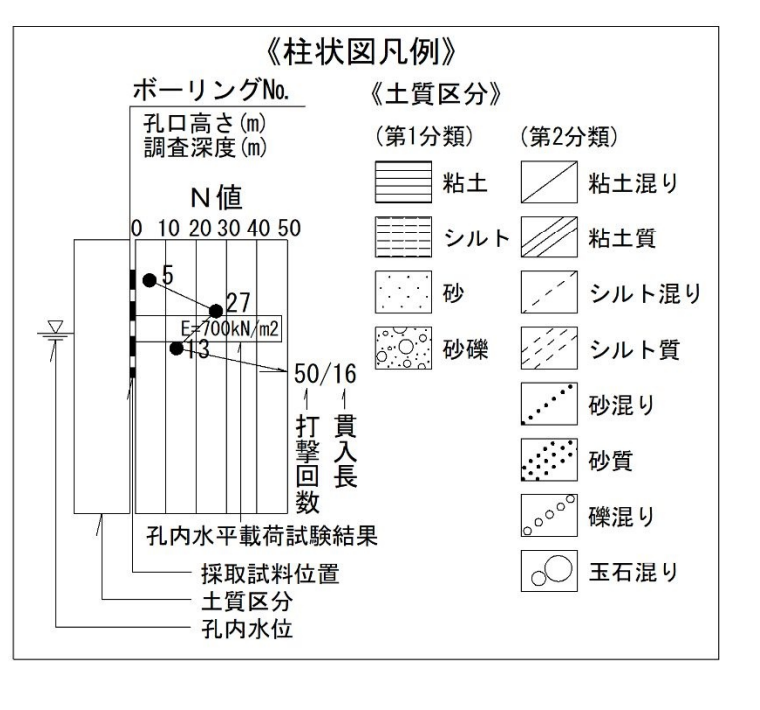


図-5.1.1 地質断面図

5.2 地盤物性値の推定

ここでは、各地層における物性値(粘着力 c、内部摩擦角 ϕ 、変形係数 E、)を土質区分や N 値等から推定した。

表-5.2.1 に各地層における地盤物性値を示す。

表-5.2.1 各地層における地盤物性値の提案値

地層区分	地層名	記号	N値	粘着力 c(kN/m²)	内部摩擦角 φ(°)	変形係数 E(kN/m²)
現世層	造成土(砂質土)	Bs	2	0.0	21.3	1, 400
	沖積砂質土1層	As1	2	0.0	21.3	1, 400
	沖積礫質土1層	Ag1	14	0.0	31. 7	9,800
沖積層	沖積砂質土2層	As2	7	0.0	26.8	4, 900
	沖積礫質土2層	Ag2	22	0.0	36.0	15, 400
	沖積砂質土3層	As3	21	0.0	35. 5	14, 700
	洪積腐植土層	Dp	7	43.8	0.0	4, 900
	洪積砂質土1層	Ds1	62	0.0	50. 2	43, 400
	洪積粘性土1層	Dc1	12	75. 0	0.0	8, 400
	洪積粘性土2層	Dc2	19	118.8	0.0	13, 300
洪積層	洪積粘性土3層	Dc3	7	43.8	0.0	4, 900
	洪積砂質土2層	Ds2	24	0.0	36. 9	16, 800
	洪積粘性土4層	Dc4	10	62. 5	0.0	7,000
	洪積砂質土3層	Ds3	22	0.0	36.0	15, 400
	洪積粘性土5層	Dc5	14	87. 5	0.0	9,800
三豊層	三豊層(砂質土)	Ms	115	0.0	63. 0	80, 500
基盤岩	花崗岩	Gr	90	562. 5	57. 4	63,000

標準貫入試験未実施のため推定値を記載

地盤物性値の推定根拠を以下に示す。

1)平均 N値

1m 毎に測定されたN値を地層毎に加重平均計算することによって求めた。 $\mathbf{表}$ -5. 2. 2 に、平均N値の計算結果を示す。

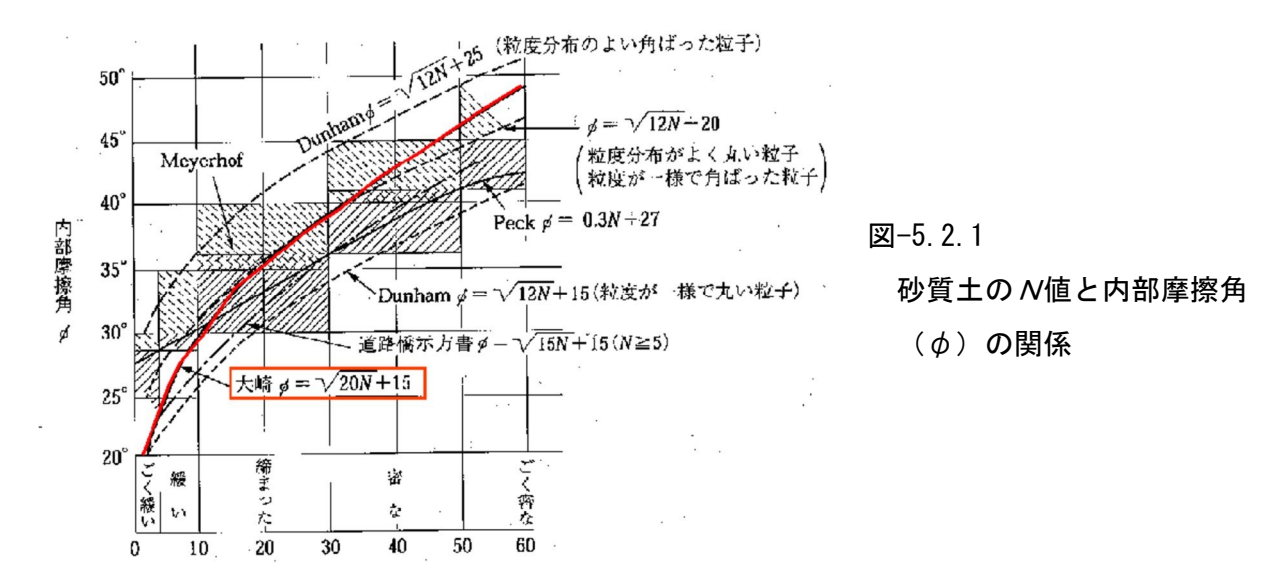
表-5.2.2 土層毎の平均 N値計算結果表

試験区間深度(m)		打撃回数	貫入長				地層	N値			
開始	完了	中央	(回)	(cm)	N値	土質区分	地層名	記号	最小値	最大値	平均値
1.15 ~	1.45	1. 30	2	30	2	礫混り砂	油 套小房 [.1 园	A = 1	0	0	0
2.15 ~	2.45	2.30	3	30	3	傑促り砂	沖積砂質土1層	As1	2	3	2
3.15 ∼	3.45	3. 30	14	30	14	砂礫	沖積礫質土1層	Ag1	14	14	14
4. 15 ~	4.45	4.30	9	30	9	礫混り砂	沖積砂質土2層	As2	6	9	7
5.15 ~		5. 30	6	30	6	MIN M THE MAN AND				Ů	
6.15 ~		6. 30	25	30	25	砂礫 沖積礫質土2層					
7.15 ~		7. 30	24	30	24			Ag2	18	25	22
8.15 ~		8. 30	18	30	18						
9.15 ~		9. 30	24	30	24						
10.15 ~		10.30	22	30	22	礫混り砂	沖積砂質土3層	As3	20	24	21
$11.15 \sim 12.15 \sim$		11. 30 12. 30	20 21	30	20						
13. 15 ~		13. 30	7	30	7	腐植土	上 洪積腐植土層	Dp	7	7	7
14. 15 ~		14. 29	56	27	62	シルト質砂	洪積砂質土1層	Ds1	62	62	62
15. 15 ~		15. 30	15	30	15	. 25.77				_	_
16.15 ~		16. 30	12	30	12	砂質シルト		Dc1	9	15	12
17. 15 ~	17.45	17. 30	9	30	9		洪積粘性土1層				
18.15 ~	18.45	18. 30	5	30	5	シルト					
19.15 ~	19.45	19.30	20	30	20		洪積粘性土2層				
20.15 ~	20.41	20. 28	50	26	58						
21.15 ~	21.45	21.30	11	30	11						
22.15 ~	22.45	22. 30	14	30	14	砂質シルト		Dc2	11	32	19
23.15 ~		23. 30	21	30	21						
24. 15 ~		24. 30	32	30	32						
25. 15 ~		25. 30	19	30	19						
26. 15 ~		26. 30	5	30	5						
$27.15 \sim 28.15 \sim$		27. 30 28. 30	6 8	30	6 8	砂混りシルト	洪積粘性土3層	Dc3	5	9	7
$29.15 \sim$		29. 30	9	30	9		1六個作工工3個	DGS	9	9	1
$30.15 \sim$		30, 30	11	30	11	粘土					
31. 15 ~		31. 30	24	30	24	砂	洪積砂質土2層	Ds2	24	24	24
32. 15 ~		32. 30	10	30	10						
33. 15 ~		33. 30	10	30	10	シルト	洪積粘性土4層	Dc4	10	10	10
34. 15 ~	34. 45	34. 30	22	30	22	ミノロ・1 原産工庫	洲 辖孙所 Lod	Dog	00	0.0	00
35.15 ~	35. 40	35. 28	50	25	60	シルト質砂	洪積砂質土3層	Ds3	22	22	22
36.15 ∼	36. 45	36. 30	14	30	14						
37.15 ~	37. 45	37. 30	16	30	16	砂質シルト	洪積粘性土5層	Dc5	11	16	14
38. 15 ∼	38. 45	38. 30	15	30	15	n/ 90 V /* 1	探偵和压工初	500	11		11
39. 15 ∼		39. 30	11	30	11						
40.15 ~		40. 22	50	13	115	シルト質砂	三豊層(砂質土)	Ms	115	115	115
41.15 ~		41. 29	50	28	54						
42. 15 ~		42. 24	50	17	88		## ## ##	0-	E 4	115	00
43.15 ~		43. 23	50	15	100	強風化花崗岩	花崗岩	岩 Gr	54	115	90
44. 15 ~ 45. 15 ~		44. 22	50 50	13	115 94						
45.15 ∼	40.31	45. 23	50	16			異党値と判断]	44.31	(======================================	Modern A. A.	

※ 上記N値の赤太字は、異常値と判断し、統計処理から削除した。

2) 砂質土・礫質土の内部摩擦角

N値から砂質土の内部摩擦角 (ϕ) を推定する関係式は、数多く提案されている (図-5.2.1)。本調査では、日本建築学会:建築基礎構造設計指針 (2019 年 11 月) に掲載されている大崎の式 ($\phi = \sqrt{20N} + 15$) により算出した。



3) 粘性土の粘着力

粘性土の粘着力(c)は、以下の文献によるN値との関係式を用いた算出式によって求めた。

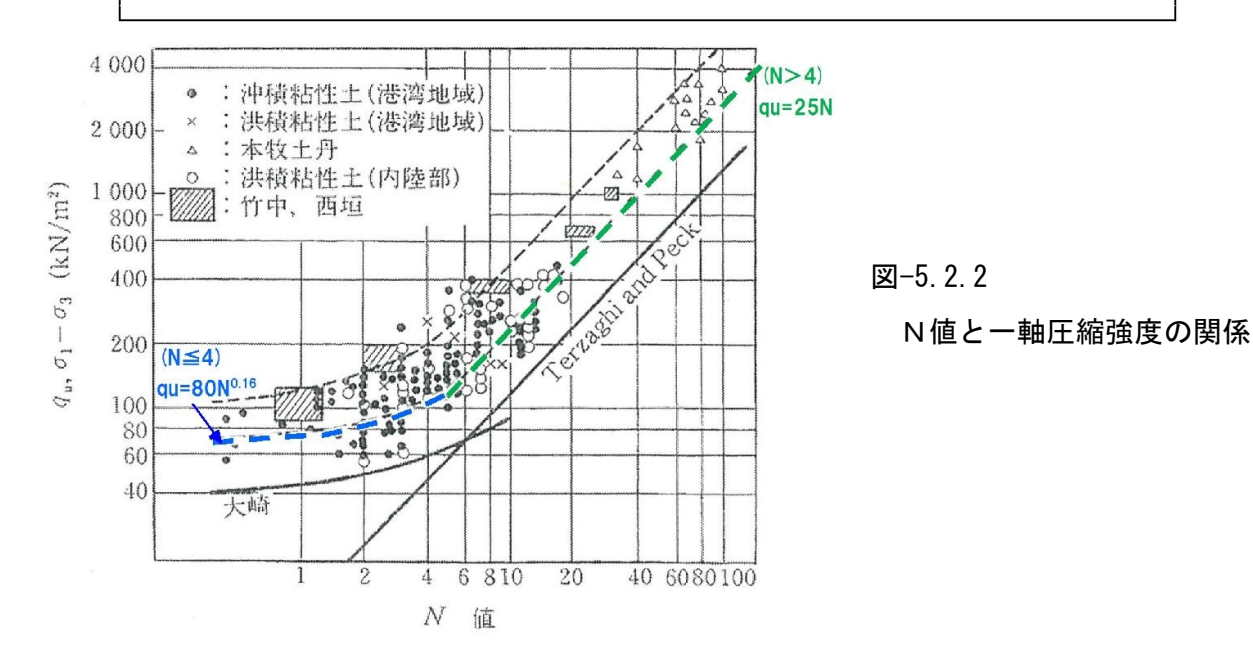
粘着力 c $(kNm^2) = 1/2 \times -$ 軸圧縮強度qu (kNm^2)

N値1~4 の範囲: qu=80 N °· 16 (kNm²) 《文献から求めた近似式》

N値5~100の範囲: qu=25~50N(kNm²) 《竹中・西垣、奥村の式》

安全側を考慮し、qu=25N を採用する

(地盤工学会:地盤調査の方法と解説、P-308~309)



4) 変形係数

孔内水平載荷試験から得られた変形係数 (E) とN値の関係については、地盤材料に関わらず、 「E=700N (kN/m^2)」という関係が近似的に成立している(公益社団法人 地盤工学会:地盤調査の方法と解説 P-687)。本業務においては孔内水平載荷試験を実施していないことから、この関係式を用いて平均N値より変形係数を算出した。

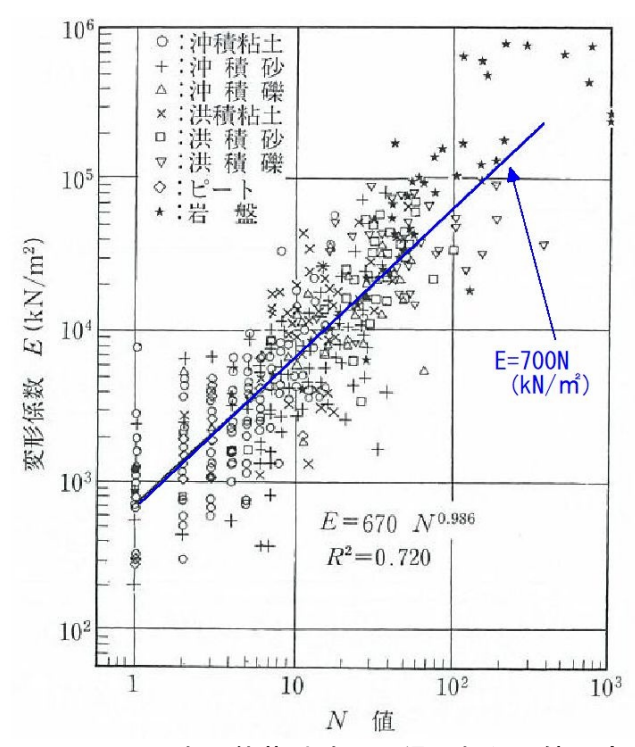


図-5.2.3 孔内水平載荷試験より得られた N値と変形係数の関係

(公益社団法人地盤工学会:地盤調査の方法と解説 P687 に加筆)

5.3 地盤の液状化判定

液状化した地盤は支持力の完全消失や見掛けの剛性の低下が生じ、直接基礎の沈下と傾斜を引き起こす。また、液状化や側方流動地盤で生じる動的及び残留水平変位と沈下は、杭基礎の被害につながることもある。擁壁や地下構造物では、液状化により土圧が増加し、これに伴う被害が発生することもある。さらに、液状化した土は、水の約2倍の単位体積重量を持つ液体の様に振る舞うため、これより単位体積重量が小さい地中構造物は、浮力の増加と摩擦力の減少により浮き上がる被害が発生する。

このような被害を防止するために、液状化地盤の基礎設計においては、液状化発生の可能性 予測に加え、それに伴う地盤剛性や地盤反力の低下、地盤変形の増加、土圧、浮力、摩擦力の 変化などを把握し、その影響を適切に考慮し、必要に応じて適切な対策が必要となる。

ここではボーリング調査等によって得られた地盤情報より、ボーリング地点における地盤の 液状化判定を行う。

(1) 液状化判定の対象とすべき土層

社団法人日本建築学会:建築基礎構造設計指針(2019 年度版)によると、液状化判定の対象と すべき土層を以下のように定めている。

液状化の判定を行う必要がある飽和土層は、原則的に地表面から 20m 程度以深の土層で、考慮すべき土の種類は、細粒分含有率が 35%以下の土とする。ただし、埋立地盤等の造成地盤で地表面から 20m 程度以深まで連続している場合には、造成地盤の下端まで液状化判定を行う必要がある。また、埋立地盤等など造成地盤では、細粒分含有率が 35%以上の低塑性シルト、液性限界に近い含水比を持ったシルトなどが液状化した事例も報告されているので、粘土分(0.005mm 以下の粒径を持つ土粒子)含有率が 10%以下、または塑性指数が 15%以下の埋立あるいは盛土地盤については液状化の判定を行う。細粒土を含む礫や透水性の低い土層に囲まれた礫、洪積層でも N値が小さい土層では液状化の可能性が否定できないので、そのような場合でも液状化の判定を行う。

本業務での液状化判定は、上記の基準に該当する土層を対象に行う。

また、液状化判定の計算に用いる設計用水平加速度は、計画建物の規模よりレベル 1 荷重検討用の $1.5~\text{m/s}^2$ 、 $2.0~\text{m/s}^2$ 、 3.5m/s^2 (150gal, 200gal, 350gal)の 3 ケースで行い、マグニチュードは 7.5~とした。

(2) 液状化判定のための土質定数の推定

液状化判定にはN値、各地層の単位体積質量、土の細粒分含有率が必要となる。各地層の単位体積重量は、日本建築学会:建築基礎構造設計指針,p30,2019 で提案されている値を参考とし、N値は、ボーリングによる標準貫入試験で得られた値、土の細粒分含有率は、各地層の代表で実施した土質試験結果の値を使用した。

以下の表-5.3.1 に土の単位体積重量(kN/m3)(引用:日本建築学会:建築基礎構造設計指針, p30, 2019)、表-5.3.2 に液状化判定に用いる深度毎の単位体積重量と細粒分含有率の一覧表を示す。

表-5.3.1 土の単位体積重量(kN/m³)

土質	湿潤単位 (地下水	体積重量 位以浅)	飽和単位 (地下水	体積重量 位以深)	水中単位体積重量 (地下水位以深)		
工具	ゆる い (やわらかい)	密な (かたい)	ゆる い (やわらかい)	密な (かたい)	ゆる い (やわらかい)	密な (かたい)	
礫	18	20	19	21	9	11	
砂	16	18	17	19	7	9	
シルト	14	16	15	17	5	7	
粘土	13	15	14	16	4	6	
関東ローム	12	14	13	15	3	5	
高有機質土	9	12	10	13	0	3	

日本建築学会:建築基礎構造設計指針, p30, 2019

表-5.3.2 液状化判定に用いる深度毎の単位体積重量と細粒分含有率

孔番	深度	N値	分類名	単位体積重	量 (kN/m³)	細粒分含有率	液状化判定
11.街	(GLm)	山山	刀規石	湿潤状態	飽和状態	Fc %	を行う地層
	1.300	2	礫混り砂	16	17	18. 6	0
	2.300	3	礫混り砂	16	17	18. 6	0
	3.300	14	砂礫	19	20	5. 6	0
	4.300	9	礫混り砂	16	17	7. 4	0
	5.300	6	礫混り砂	16	17	8.6	0
	6.300	25	砂礫	19	20	5. 4	0
	7.300	24	砂礫	19	20	5. 4	0
	8.300	18	礫混り砂	17	18	5. 4	0
	9.300	24	礫混り砂	17	18	5. 4	0
No. 1	10.300	22	礫混り砂	17	18	5. 4	0
	11. 300	20	礫混り砂	17	18	5. 4	0
	12.300	21	礫混り砂	17	18	5. 4	0
	13. 300	7	腐植土	14	15	74. 0	×(粘性土)
	14. 300	56	シルト質砂	18	19	36. 5	0
	15. 300	15	砂質シルト	16	17	99. 4	
	16. 300	12	砂質シルト	16	17	99. 4	
	17. 300	9	砂質シルト	16	17	99. 4	×(粘性土)
	18. 300	5	シルト	15	16	94. 8	
	19. 300	20	砂質シルト	16	17	63. 6	

※青字は土質試験による実測値

(3) 液状化判定の算定式(建築基礎構造設計指針 2019)

1) 液状化発生に対する安全率 F_L 値を式-5.3.1 により算出する。液状化の判定を行う土層に対しては、 F_L 値を算出し、この値が 1.0 以下の土層については液状化するとみなすものとする。

$$FL = \frac{\tau 1 / \sigma' z}{\tau d / \sigma' z} = \frac{\tau 1}{\tau d} \qquad (\sharp -5.3.1)$$

ここに、 τ_1/σ_z : 補正N値と飽和土層の液状化抵抗比(τ_1) τ_3/σ_z : 各深さに発生する等価な繰返しせん断抵抗比(τ_3)

2) 検討地点の地盤内の各深さに発生する等価な繰返しせん断応力比を次式によって計算する。

$$\frac{\tau d}{\sigma' Z} = \gamma n \frac{\alpha \max \sigma z}{g \sigma' z} \gamma d \qquad (\vec{x} - 5.3.2)$$

ここに、τα:水平面に生じる等価な一定繰返しせん断応力振幅 (kN/m²)

 σ_z : 検討深さにおける有効土被り圧(鉛直有効応力) (kN/m²)

 γ n: 等価な繰返し回数に関する補正係数で、 γ _n=0.1(M-1)。 ただし、M は地震のマグニチュード。M=7.5 とする。

α_{max}: 地表面における設計用水平加速度(Gal)=150(gal)、200(gal)、350(gal)

g: 重力加速度=980(Gal)とする。

σ_z:検討深さにおける全土被り圧(鉛直全応力)(kN/m²)

 γ_d : 地盤が剛体でないことによる低減係数で(1-0.015z)。

z はメートル単位で表わした地表面からの検討深さ。

3) 各深さにおける補正N値(Na)を以下の式および図-5.3.1 の細粒土含有率と補正N値増分 \triangle Nf の関係を用いて計算する。

$$CN = \sqrt{10/\sigma'z} \cdots (\vec{z}-5.3.5)$$

ここに Na:補正N値

Ni:換算*N*値

/Nf:細粒土含有率に応じた補正N値増分で、図-5.2.1を参照

CN:換算 N値係数

N:自動落下法による実測 N値

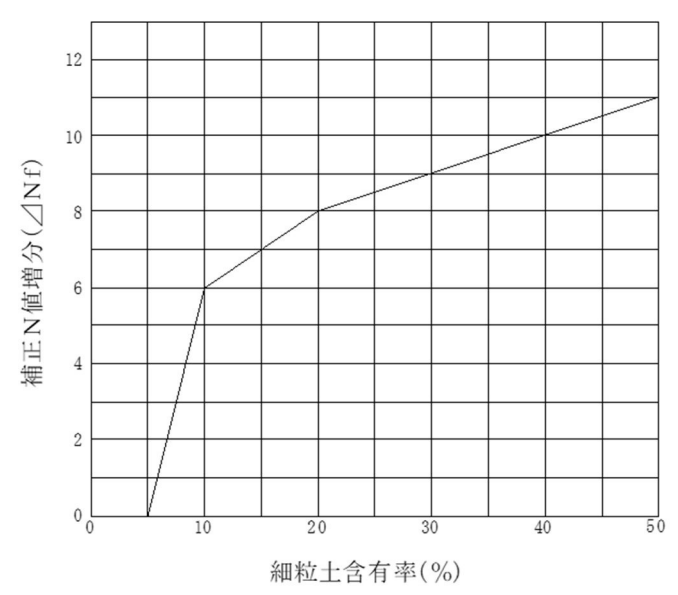


図-5.3.1 細粒土含有率と補正 N値増分 Nfの関係 (日本建築学会「建築基礎構造設計指針」2019、P.52)

4) 図-5.3.2 の補正N値と飽和土層の液状化抵抗比 τ_1/σ_z の関係の中のせん断ひずみ振幅を用いて、補正N値(Na)に対応する飽和土層の液状化抵抗比 τ_1/σ_z を求める。

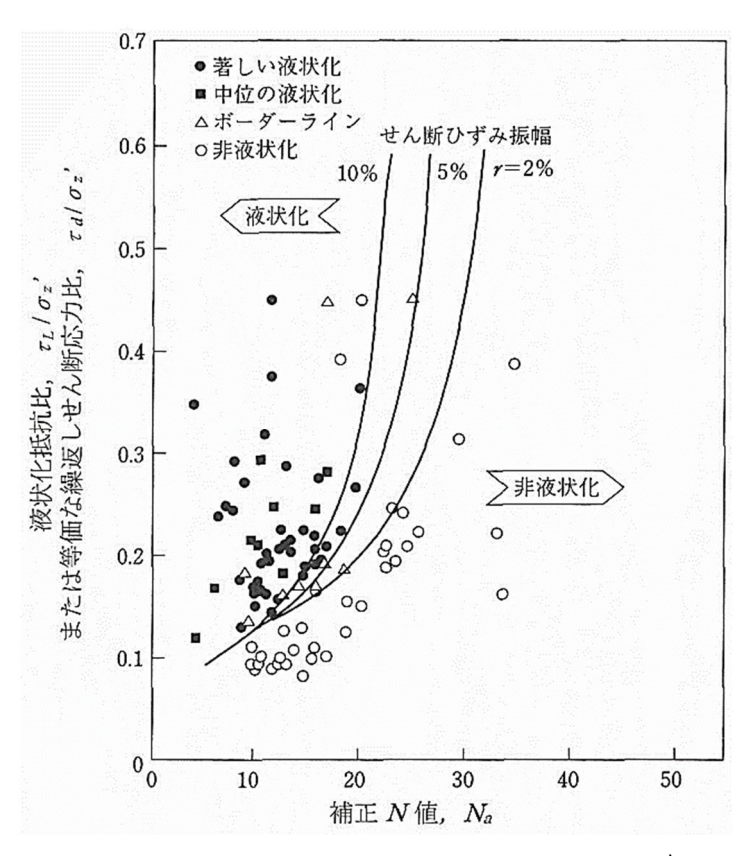


図-5.3.2 補正 N値と飽和土層の液状化抵抗比 τ_1/σ_2 の関係 (日本建築学会「建築基礎構造設計指針」2019、P.51)

5) 液状化の危険度は、液状化指数 (P_L値)によって判定する。液状化指数 P_L値は、地盤の液状 化の激しさの程度を表す指数で、岩崎・龍岡 (1980) により次式のように定義されている。

$$P_L = \int_0^{20} (1 - F_L) W(x) dx$$
 (式-5.3.6)

ただし、 $F_L>1.0$ のときは、 $F_L=0$ とする。

ここに、 P_L : 液状化指数

W(x): 深さ方向重み関数 W(x)=10-0.5x

x:地表面からの深さ(m)

PL値による液状化危険度判定区分(岩崎・龍岡 1980) は表-5.3.3 に示すとおりである。

 PL値
 液状化危険度

 PL=0
 液状化の危険度はかなり低い。詳細な調査は不要。

 0<PL≦5</td>
 液状化の危険度は低い。特に重要な構造物では、詳細な調査が必要。

 5<PL≦15</td>
 液状化の危険度が高い。重要な構造物に対して、詳細な調査と液状化対策が必要。

 PL>15
 液状化の危険度が極めて高い。詳細な調査と液状化対策は不可避。

表-5.3.3 凡値と液状化危険度の関係

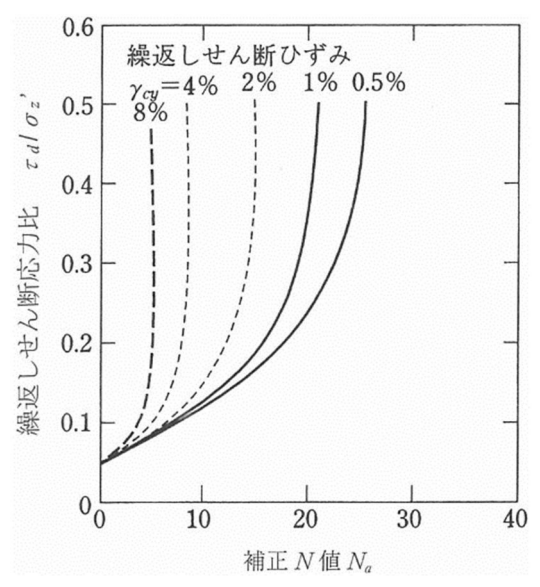
岩崎敏男, 龍岡文夫, 常田賢一, 安田 進:地震時地盤液状化の程度の予測について 土と基礎, Vol. 28, No. 4, p23~29, 1980

6) 地表変位 Dcy 値による液状化程度の判定

建築基礎構造設計指針では液状化に伴う地盤変位の予測として、以下の手法を提示している。

- ① 図-5.3.3 から補正 N 値 (N_a)、繰返しせん断応力比 τ_a/σ_a^2 に対応する各層の繰返しせん断ひずみ γ_{cy} を推定する。
- ②各層のせん断ひずみγcyが同一方向に発生すると仮定して、これを鉛直方向に積分して(液状化層厚を乗じる)振動中の最大水平変位分布とする。
- ③地表変位 D_{cy} とし、液状化程度の指標とする。液状化の程度は D_{cy} の値により表-5. 3.4 のように評価する。

なお、沈下量は、図-5.3.3の γ_{cy} を体積ひずみに読み替えて求めてよいとしているので、 D_{cy} が地表面沈下量にもなる。また、 D_{cy} と液状化の程度の関係について、表-5.3.4が示されている。



日本建築学会:建築基礎構造設計指針, p55, 2019

図-5.3.3 補正N値と繰返しせん断ひずみの関係

表-5.3.4 Dcy と液状化の程度の関係

D _{Cy} (m)	液状化の程度
0.00	なし
0.00~0.05	軽微
0.05~0.1	小
0.1~0.2	中
0.2~0.4	大
0.4~	甚大

日本建築学会:建築基礎構造設計指針, p55, 2019

(4) 液状化の判定結果

液状化の判定は、「FUJITSU 建設業ソリューション:LIQUEUR 液状化判定システム(地震応答解析対応)Version17.1D」の計算ソフトを使用した。液状化の判定結果を表-5.3.5、図-5.3.4 に示すとともに、検討結果の詳細な計算表を巻末に添付している。

これらによると、

加速度 150gal の地震動では、下記の箇所で液状化発生の可能性が高い。

・ボーリング No.1 孔 深度 2.0~3.0m 礫混り砂 N値:3

深度 5.0~5.6m 礫混り砂 N値:6

加速度 200gal の地震動では、下記の箇所で液状化発生の可能性が高い。

・ボーリング No.1 孔 深度 1.1~3.0m 礫混り砂 N値:2~3

深度 3.0~4.25m 砂礫 N値:9~14

深度 4.25~5.5m 礫混り砂 N値:6~9

深度 5.5~7.8m 砂礫 N値:24~25

加速度 350gal の地震動では、下記の箇所で液状化発生の可能性が高い。

・ボーリング No.1 孔 深度 1.1~3.0m 礫混り砂 N値:2~3

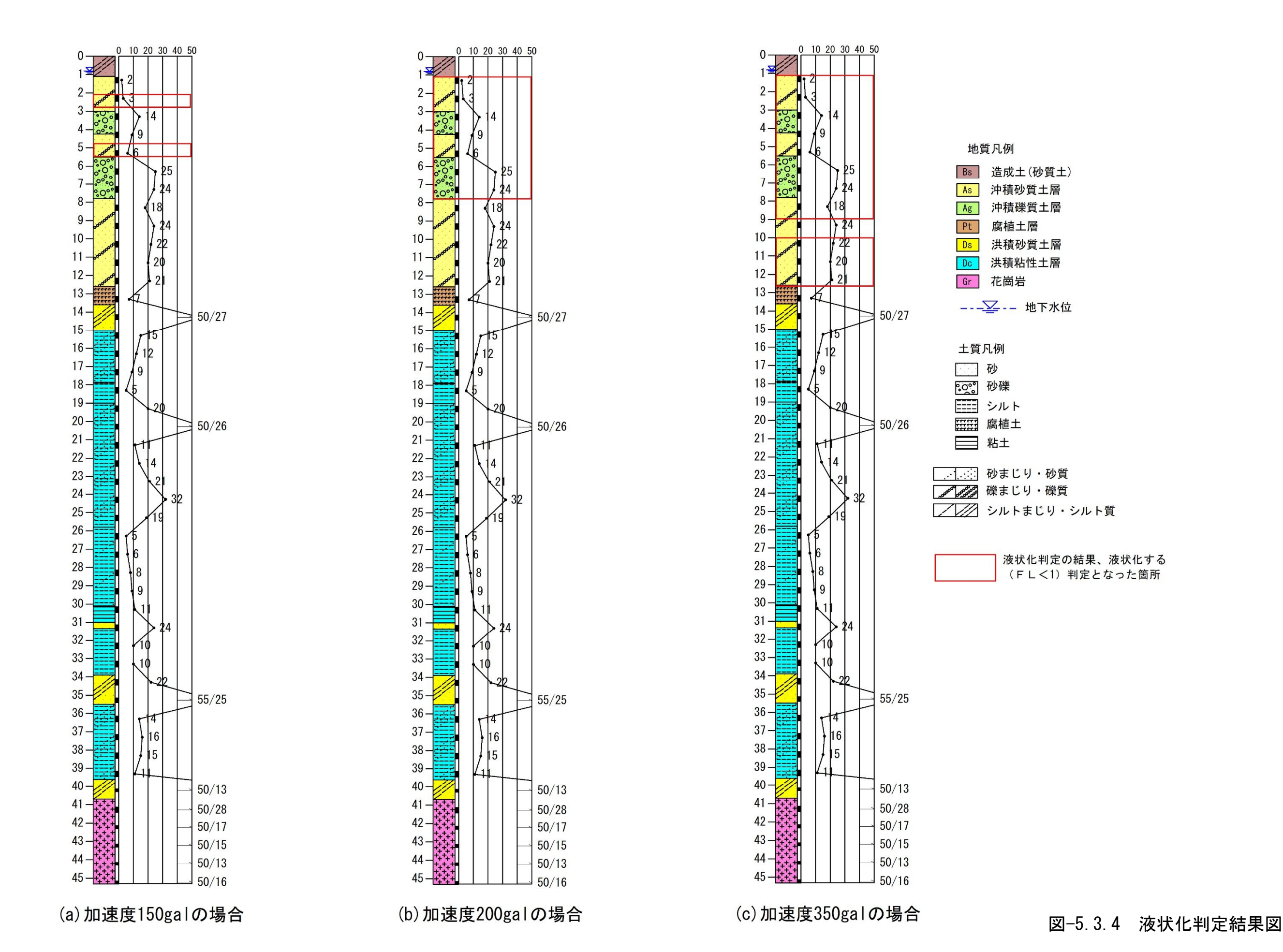
深度 3.0~4.25m 砂礫 N値:9~14

深度 5.5~7.8m 砂礫 N値:24~25

深度 10.0~12.6m 礫混り砂 N値:20~22

表-5.3.5 液状化判定結果

ボーリング 孔番	No. 1		液状化剂	発生に対する安全	È率 FL		
地下水位 (深度.m)	0.80m		赤字:FL<10)箇所(液状化が	生じると判定		
計算深度 (深度.m)	分類名	N値	加速度 150gal	加速度 200gal	加速度 350gal		
1.30	礫混り砂	2	1. 163	0.873	0.499		
2.30	礫混り砂	3	0. 997	0.748	0. 427		
3.30	砂礫	14	1. 181	0.886	0.506		
4. 30	礫混り砂	9	1. 076	0.807	0.461		
5. 30	礫混り砂	6	0.845	0.633	0.362		
6. 45	砂礫	25	1. 150	0.862	0. 493		
7.30	砂礫	24	1. 015	0. 761	0. 435		
8. 30	礫混り砂	18	1. 556	1. 167	0.667		
9.30	礫混り砂	24	3. 469	2.602	1. 487		
10.30	礫混り砂	22	2. 129	1. 597	0. 913		
11.30	礫混り砂	20	1. 477	1. 108	0.633		
12.30	礫混り砂	21	1. 527	1. 145	0.654		
13. 30	腐植土	7	液状化判	定対象外 (料	5性土層)		
14. 30	シルト質砂	56	3.634	2.725	1. 557		
15. 30	砂質シルト	15					
16. 30	砂質シルト	12	ý.	夜状化判定対象タ	L		
17. 30	砂質シルト	9	f		ı·		
18. 30	シルト	5		(粘性土層)			
19. 30	砂質シルト	20					
液状化指数	PL値		1. 160	11.040	35. 150		
PLから推定	ごされる液状化危	険度	険度 低い 高い 極めて高い				
地表変位(I	Осу) (m)		0.020	0.081	0. 154		
Dcyから推定	定される液状化の	り程度	軽微	小	中		



-38-

5.4 支持層と基礎形式

調査地の地質構成より、支持層および基礎形式を検討する。

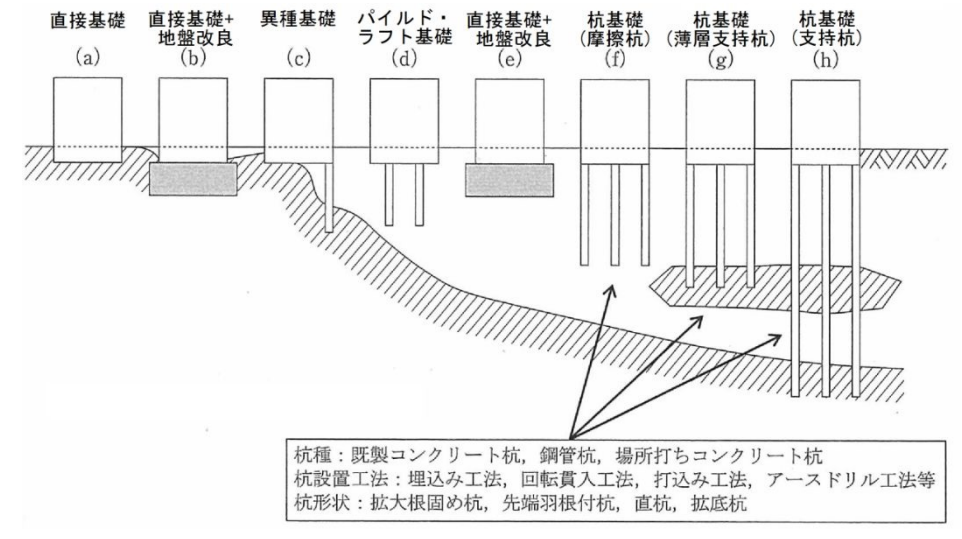
建築物の支持層について「建築基礎構造設計指針」(日本建築学会、2019年11月)P.34では、 支持地盤ならびに構造物基礎形式の選定について次のように定めている。

- ① 支持地盤と基礎形式の選定にあたっては、その構造性能や施工性、経済性等に関する比較 検討を行ったうえで、支持層までの深さを考慮し要求性能を満足する組合せを選定する。
- ② 支持層が傾斜している地盤では、基礎の沈下剛性や地震等の杭応力などが基礎の位置により異なることに留意する。
- ③ 敷地内に既存基礎がある場合は、それらが新設の基礎構造に与える影響を検討する。

支持層選定の原則は、上部構造の特性、想定を考慮した基礎の形式、敷地の状況および地盤の条件等からみて、建物そのものならびにその機能に有害な障害を生じないように建物を確実に支持できる地盤を選ぶことである。よく締まった砂層や砂礫層、硬質な粘性土層、あるいは岩盤等のいわゆる基盤層を支持層とするのは、確実な選定の代表例である。

よく締まった砂層や砂礫層、硬質な粘性土層について「建築基礎構造設計指針」(日本建築学会、2019 年 11 月)においては明確な記載はなされてはいない。一方、「道路橋示方書・同解説 IV下部構造編」(日本道路協会、平成 29 年 11 月、P. 177)では、一般構造物の良質な支持層は、基礎の荷重によって異なるが、粘性土層においてはN値が 20 程度以上(一軸圧縮強度 q_u =400k N/m^2)、砂層、砂礫層においてはN値が 30 程度以上あればよいとされている。

また、基礎構造を選択する段階で、与えられた条件に対して、技術的見地からは最適と思われる支持層や基礎構造の形式が1つだけでない場合もあり、施工に要する時間と経費の多少等がそれを決定する場合もある。図-5.4.1に支持地盤の深度と適応可能な基礎形式を示す。



日本建築学会:建築基礎構造設計指針, p35, 2019

図-5.4.1 支持地盤の深度と適応可能な基礎形式

本調査地における支持層と基礎形式について、以下のように考えられる。

①花崗岩(Gr)を支持層とする杭基礎

深度 40.7m 以深より分布が確認された花崗岩 (Gr) は、N値が 5 回連続で 50 以上確認された 地盤である。計画建物の規模より、先端支持の杭基礎を選定する場合は、基盤岩である花崗岩 を支持地盤とすることが適切であると判断される。ただし、計画建物の規模によっては、これ 以浅の洪積粘性土層との摩擦力を期待する周面摩擦基礎杭の選定も可能であると考えられるが、前述の地盤の液状化判定では、深度 20m 以浅の砂質土層の大半が地震時に液状化する判定となっていることから、これを考慮した設計を行う必要があり、花崗岩を基礎地盤とする先端支持 杭との経済性の比較検討が望まれる。

なお、基礎形式の選定や深度等については、計画建物の規模や工事費等を考慮したうえで総合的に検討されることが望まれる。

5.5 設計・施工上の留意点

今回のボーリング調査において確認された混入する礫(玉石)の最大径は、沖積礫質土2層(Ag2)の深度7.8m~12.6m間で確認された径3cm程度であった。一般に調査地に分布する礫径がボーリングによって確認された礫径の3倍(図-5.5.1参照)と言われていることから、本礫質土層に分布する礫の最大は径9cm程度と推定されるため、これを考慮した工法選定の選定が望まれる。

社団法人全国地質調査業協会連合会 ボーリング野帳記入マニュアル(土質編)

図-5.5.1 ボーリングと礫径

以上

《巻末資料》

- ・ボーリング柱状図
- ・土質試験結果データシート
- 液状化検討計算書
- ·調查·試験等状況写真
- ▪調査前報告
- ・テクリス登録内容確認書



ボーリング柱状図

香川県坂出市室町一丁目地内

坂出市再編新校(前期)整備事業に伴う地質調査業務 調査名

ボーリングNo. 1

事業・工事名

調査位置

坂出市教育委員会

No. 1

ボーリング名

発注機関

緯 33° 18' 49.88" 北 調査期間 令和 7年 7月 23日 ~ 7年 8月 1日 東 経 133° 51' 39.43"

È 	注	幾)美						巾 教 肎 妥 貝 会 ———————————————————————————————————				調査期回		和 7年	7月 23		年 8月	1 日		3 5	0.1	39.	4.
司	業	者 名			087-		2 -	5121)	·	秀哉		1 -	揚 人	菅 秀	哉 鑑	ア 定 者 ^井		佑	ボーリング 責 任 者	濵 🤊	松	洋月	成
4	口模	票高	0.96m	角 	180° 上上	<u>\</u> 9		方 北 0° 地 270° 270° 盤 2	_{蚣 水平}	₹0°	使用	試 錐 村	幾	東邦地	下工機工	1-C型	ハンマ 落下月		半:	自動	型		
	掘近	進 長	45. 31m	度	下↓ 0°	0	0	西 東 勾 i	鉛水平 直 / 20° (0°	機 種	エンジン	/	ヤンマ	— T F 1	20M型	ポン	プ	東邦地下二	工機	B G -	3 C	型
	標	層	深 柱	土	色	相	相	記		孔内			標	準 貫	入試	験		原	位置 試験	試米	 斗採:	取	室内
				質		対	対			水位	深		撃		M	估		深	試 験 名 および結果	深	試力	採 詞	試験
	高	厚	度 状							(m)	ı de	打撃回数 0 10 20	数		<u>N</u>	値 		#	わよい h 木 /	i de	料Ⅱ	取	火 (
				区		密	稠			測定	度	\ \ \ \ \ \ \ \ \ \ \ \ \ \ \ \ \ \ \	/ 貫 入					度		度	番	方	
1	(m)	(m)	(m) 図	分	調	度	度	事	- Vda	月月	(m)	10 20 30	量	0 1	10 20	30	40 50	(m)		(m)	号》	法	_
1	-0. 14	1.10	1. 10	シルト質砂	褐~ 黒灰			中〜細砂主体部分的に細粒分を多く混える中〜粗砂主体	成土	0.80	1.15 1.45	$\frac{1}{20}$	$\begin{bmatrix} 2 \\ 30 \end{bmatrix}_2$							- 1.15 1.45	1P-1 (一地	重比
2			3.00	。 礫混り 砂	褐~灰	非常に緩い		中〜和砂土14 礫は、径0.2〜0.5cmの細礫混在 GL-2.00m以深より白色の貝殻片を 混える			2.15 2.45		3 30 3							- 2.15 2.45	l I		
3	-2. 04		;··:Q:	· · · 砂礫	灰灰	中ぐらい		礫は、径0.5~2cmの亜円礫主体 砂は、中~粗砂			3.15 3.45	3 3 3	30 14	4						3.15	l I	一大地	
4 5	-3. 29 -4. 54			・ 礫混り	灰	緩い		中〜粗砂 礫は、径0.5〜3cmの亜円礫混在			4.15 4.45 5.15 5.45	121212	30 9) <u>*</u>						- 4.15 4.45 - 5.15 5.45	l I	上水度比水度比水度	
6	4. 54	1.20				中ぐ		礫は、径0.2~3cmの硬質な砂岩の	沖		6.15 6.45	7 6 12	30 2	5		•				- 6.15 6.45			石市
7	-6. 84	2.30	7.80	· · · · · ·	灰	らい		亜円礫主体 砂は、中〜粗砂	積 _ 層		7.15 7.45	161616	30 24 18 24	4		•				- 7.15 7.45		一大地	
3 a				· •							8.15 8.45 9.15 9.45	8 8 8	30 24 30 18 30 18 30 24 30 24	8	•					- 8.15 8.45 - 9.15	l I	一族族	重化
0			0000	. 礫 混	灰	中ぐ		細〜粗砂よりなり、粒度分布良好 礫は、径0.2〜2cmの硬質な砂岩亜			9.45 10.1 10.4	7 7 8	$\begin{array}{c c} 30 & 24 \\ \hline 22 & \\ \hline 30 & 21 \\ \end{array}$			7				- 9.15 9.45 - 10.15 10.45	l I	9 9	
1				砂砂		らい		円礫混在			11.1 11.4	7 7 6	$\begin{bmatrix} 20 \\ 30 \end{bmatrix}_{20}$								1P-11 (~	
2	-11. 64		12.60		1			- 半固結状を呈し、パサパサしてい			12.1 12.4	3 2 2	30 2	1							1P-12 (雷
3 4	-12. 64	1.00	13. 60	☆ 閼憴工	+ .	+	中位	る。一つのでは、一つのでは、これが、これが、これが、これが、これが、これが、これが、これが、これが、これが			13.1 13.4 14.1	$\begin{bmatrix} 4 & 7 & 39 \\ 7 & 7 \end{bmatrix}$	30 7 50 27 5	•						14.15	1P-13 (11生	
5	-14. 04	1.40	15. 00	質砂	灰	な		半固結~固結状を呈する			15.1 15.4	3 6 6	30 11	5	•			_		- 15.15 15.45	1P-14 (北
6				質シ	青灰		硬い	細砂を多く混えるシルト 半固結~固結状を呈する			16.1 16.4	3 3 3	30 1	2	•					- 16.15 16.45	1P-16 (9	
7 Q	-16. 94	2.90	17. 90	ト							17.1 17.4	1 2 2	9 30 5 30 5	•						- 17.15 17.45 - 18.15	l I	一性性	重北液
9	-18. 04	1.10	19. 00 = ==	シルト	暗灰		中位	指圧で窪み、やや強い粘性を示す	-		18.1 18.4 19.1 19.4	5 7 8	30 5 20 30 20	5						- 18.15 18.45 - 19.15 19.45			重比
0							硬				20.1 20.4	$\begin{bmatrix} 10 & 23 & 17 \\ 6 & & 6 \end{bmatrix}$	$\frac{50}{26}$					>			1P-20 (344-	雷
1			===	砂質			5	半固結~固結状を呈す			21.1 21.4	131516	30 14	1	•					- 21.1 <u>5</u> 21.45	l I	→	番
2 3				シル	青灰		非常	細砂を多く混える 指圧でようやく窪む程度の硬さ 乱せばやや強い粘性を示す			22.1 22.4 23.1 23.4	14 6 11								- 22.15 22.45 - 23.15 23.45	l I	一世本度性	北液
4				 -			に硬い				23.4 24.1 24.4	9 11 12	30 3		•	•				- 24.15 24.45) 	
5	-24. 84	6.80	25. 80 =				,				25.1 25.4	111212	30 19	9						- 25.15 25.45	l I	9	
6 7			 	砂混					洪積		26.1 26.4 27.1	2 2 2	30 5 6	5						- 26.15 26.45 - 27.15		一 此道	重
8				-	青灰			 細砂を混えるシルト 指圧で窪み、やや強い粘性を示す	層		27.1 27.4 28.1 28.4	121313	30 8 30 8							- 27.15 27.45 - 28.15 28.45			花液
9			===,	ルト							29.1 29.4	2 3 4	$\frac{9}{30}$ 9							- 29.1 <u>5</u> 29.45	l l '	9	
•	-29. 14 -30. 04	0.90		料土	暗灰	:	硬い	指圧で窪み、強い粘性を示す			30.1	10 7 7	30 1	1						30.15	l I	一性	重比液
1 2	-30. 39	0.35	31. 35	· 砂	灰	中ぐらい	,	均質な中砂主体]		31.1 31.4 32.1 32.4	3 3 4	10			•				- 31.15 31.45 - 32.15 32.45		一、水度比水度	重
3				シルト	青灰		硬い	若干の細砂が混在し、やや強い粘性を示す			33.1 33.4	3 3 4	10	0						- 33.15 33.45		一性	液
4	-32. 94	2.55	33. 90 ===	シルト	青	中ぐ		 細~中砂主体 細粒分を多く混え、半固結状を呈			34.1	14 17 19	30 10 22 30 22 50 22	2	•					- 34.15 34.45	1 1	一大地	重比
5 6	-34. 54	1.60	35. 50	質砂	灰	らい	\ 	7			35.1 35.4 36.1 36.4	5 5 4 4 6	25 60					>		- 35.15 35.40 - 36.15	`	9	
7				砂質	青		硬	半固結~固結状を呈し、細砂を多			36.4 37.1 37.4	5 6 5		6						- 36.15 36.45 - 37.15 37.45	l I) 	
8				シルト	灰		い	く混えるシルト 乱せばやや強い粘性を示す			38.1 38.4	4 5 6 5 3 3 5	$\begin{bmatrix} 15 \\ 30 \end{bmatrix}_{1}$	5	•			-		- 38.15 38.45	1P-38 (比地大度性	重比液
9	-38. 64	4. 10	39. 60	シルト		非世	:	(mile ()), () No. 1			39.1 39.4 40.1	36 14	39 1							- 39.15 39.45 - 40.15		9	
0	-39. 74	1.10	40. 70	. 質砂	青灰	非常に密		細粒分を多く混える中砂			40.13 40.28 41.11 41.4	3 15 17 18 8 8						>		40.28	1P-40 (1P-41 (9	
2			+ + + + + + + + + + + + + + +	+ + 強 + 風	褐	非常		単共まで風ル動所! 一北ル 1よ	基		42.1	5 20 24	17 50 17 50 88				_	>		- 42.15	1P-41 (1P-42 (
3			+++++++++++++++++++++++++++++++++++++++	+ 花 崗	灰~	に密		岩芯まで風化軟質し、マサ化した 花崗岩 指圧で砂状に砕ける	盤岩		42.32 43.13 43.30	37 13	28 50 17 80 15 50 15 10 13 11 16 90	00			_	>		45.50	1P-43 (
4.5		4 2-	45. 31+++	+ 岩	褐	な					44.1 44.2 45.1	5 3 8 31 19	13 11	.5				>		- 44.15 44.28 - 45.15	1P-44 () E	
U.	-44. 35	4.61	_ 40. 0∐⊤ __ T	-1		1	1	I.	<u></u>	- 1		- 16 l	1 10 a	4	1 -			الد	1 1		1D-45 (_ \ I	

・土質試験結果データシート

土質試験結果一覧表(基礎地盤)

調査件名 坂出市再編新校(前期)整備事業に伴う地質調査業務

整理年月日

2025年 9月 29日

整理担当者 井坂 圭佑

結		1P-1	1P-3	1P-4	1P-5	1P-7	1P-8
	(深さ)	$(1.15 \sim 1.45 \text{m})$	$(3.15 \sim 3.45 \text{m})$	$(4.15 \sim 4.45 \text{m})$	$(5.15\sim5.45\text{m})$	$(7.15 \sim 7.45 \text{m})$	$(8.15 \sim 8.45 \text{m})$
	湿 潤 密 度 ρ _t g/cm ³						
_	乾燥密度ρ。 g/cm³						
	土粒子の密度 ρ _s g/cm³	2.643	2. 639	2. 643	2. 635	2. 653	2.640
	自然含水比 w %	11. 9	11.5	18. 2	10.3	6.0	13. 5
般	間 隙 比 e						
	飽 和 度 S _r %						
	石 分 (75mm以上) %						
	礫 分 ¹⁾ (2~75mm) %	6. 7	57.3	27.8	45. 4	74. 2	36. 9
粒	砂 分¹¹(0.075~2mm)%	74. 7	37. 1	64.8	46. 0	20. 4	57. 7
	シルト分 ¹) (0.005~0.075mm) %	10.4		- ·	0.0	_ ,	- 4
	粘土分100.005mm糒 %	18.6	5. 6	7.4	8.6	5. 4	5. 4
	最大粒径 mm	9. 5	37. 5	26. 5	37. 5	37. 5	37. 5
度	均 等 係 数 <i>U</i> 。	-	23. 6	6. 42	49. 5	73. 1	6.87
~	20%粒径D ₂₀ mm	0. 0829	0. 438	0. 239	0. 423	1.09	0. 336
コン	液性限界 🐠 . %						
シスニ	塑性限界 // %						
ソ ン シ	塑性指数 //。						
コンシステンシー特性							
性 分	地盤材料の	礫まじり	細粒分まじり	細粒分まじり	細粒分まじり	細粒分まじり	細粒分まじり
)]	分類名	細粒分質砂	砂質礫	礫質砂	礫質砂	砂質礫	礫質砂
類	分類記号	(SF-G)	(GS-F)	(SG-F)	(SG-F)	(GS-F)	(SG-F)
	試験方法	(== = /	(/	(=== - /	(=== /	(/	(2 2 2)
圧	E 縮 指 数 C。						
	h			L			
enter	上光発降伏応刀 カ。 kN/m²						
密	圧密降伏応力 p。 kN/m²						
	注密降伏心刀 p。 kN/m²						
_	上番降休心刀 P。 kN/m* - 軸圧縮強さ q 。 kN/m*						
— 軸							
一 軸 圧							
一 軸 圧	一軸圧縮強さ q w kN/m²						
一軸圧縮	一軸圧縮強さ q 。 kN/m² 計 験 条 件						
一軸圧縮	 一軸圧縮強さ q kN/m² 試験条件 全応力 c kN/m² 						
一軸圧縮 せ	一軸圧縮強さ q ω kN/m² 試験条件 全応力 - c kN/m² ・ φ						
一軸圧縮しせん	 一軸圧縮強さ q kN/m² 試験条件 全応力 c kN/m² 有効応力 c' kN/m² 						
一軸圧縮 せん	 一軸圧縮強さ q kN/m² 試験条件 全応力 c kN/m² φ c kN/m² 						
一軸圧縮 せん	 一軸圧縮強さ q kN/m² 試験条件 全応力 c kN/m² 有効応力 c' kN/m² 						
一軸圧縮 せん	 一軸圧縮強さ q kN/m² 試験条件 全応力 c kN/m² 有効応力 c' kN/m² 						
一軸圧縮	 一軸圧縮強さ q kN/m² 試験条件 全応力 c kN/m² 有効応力 c' kN/m² 						
一軸圧縮 せん	 一軸圧縮強さ q kN/m² 試験条件 全応力 c kN/m² 有効応力 c' kN/m² 						

¹⁾ 石分を除いた75mm未満の土質材料 に対する百分率で表す。

土質試験結果一覧表(基礎地盤)

調査件名 坂出市再編新校(前期)整備事業に伴う地質調査業務

整理年月日

2025年 9月 29日

整理担当者 井坂 圭佑

試		号	1P-13	1P-14	1P-17	1P-18	1P-19	1P-22
((深 さ)	$(13.15 \sim 13.45 \text{m})$	$(14.15 \sim 14.42 \text{m})$	$(17.15 \sim 17.45 \text{m})$	$(18.15 \sim 18.45 \text{m})$	$(19.15 \sim 19.45 \text{m})$	$(22.15 \sim 22.45 \text{m})$
	湿潤密度介土							
_	乾燥密度ρ。							
	土粒子の密度 ρs	g/cm^3	2.053	2. 640	2. 667	2. 662	2. 671	2. 657
	自然含水比 w。	%	114.5	15. 0	40.6	53. 7	20.4	22. 9
般	間 隙 比 e							
	飽 和 度 S _r	%						
	石 分 (75mm	以上) %						
	礫 分10(2~75	mm) %	19.8	3. 2	0.0	0.0	3. 5	2. 9
粒	砂 分100.075	~2mm) %	6. 2	60. 3	0.6	5. 2	32. 9	29.6
	シルト分 ¹¹ (0.005~0.	075mm) %	25. 0	200	45.8	40. 7	37. 0	30. 7
	粘土分10.005r	nm未満)%	49.0	36. 5	53.6	54. 1	26.6	36.8
	最大粒径	mm	19	9. 5	0. 250	2	4. 75	4. 75
度	均 等 係 数 U。		<u> </u>	-	-	-	-	-
	20%粒径 D2	0 mm	-	-	0.00106	-	0.00224	-
コン	液性限界水	%	258.7	35. 7	80.7	71.6	48. 0	55. 0
システ	塑性限界。	%	133. 7	14.6	26. 2	29. 0	18. 6	18.6
シーシー	塑性指数 I。		125. 0	21. 1	54. 5	42.6	29. 4	36. 4
コンシステンシー特性								
分	地盤材料の		砂まじり礫質有機質粘土	細粒分質砂	粘土	砂まじり粘土	砂質粘土	砂質粘土
	分類名		(高液性限界)		(高液性限界)	(高液性限界)	(低液性限界)	(高液性限界)
類	分類記号		(OHG-S)	(SF)	(CH)	(CH-S)	(CLS)	(CHS)
							(CLS)	
	試験方法		(6116-5)	(31)	(/	(en e)	(CLS)	(CHO)
圧							(CLO)	(CHO)
王	試 験 方 法 圧 縮 指 数 C。		(one b)			(01. 3)	(CLU)	
	試 験 方 法		(6110-0)	(81)		(611 8)	(CLO)	(end)
	試 験 方 法 圧 縮 指 数 C。						(CLO)	(CIIO)
密	試 験 方 法 圧 縮 指 数 C。 圧密降伏応力 p。	kN/m²				(611 8)	(CLO)	(CHO)
密	試 験 方 法 圧 縮 指 数 C。	kN/m²				(61. 5)	(CLO)	(cito)
密一一軸圧	試 験 方 法 圧 縮 指 数 C。 圧密降伏応力 p。	kN/m²					(CLO)	(CIIC)
圧 密 一軸圧縮	試 験 方 法 圧 縮 指 数 C。 圧密降伏応力 p。	kN/m²					(CLO)	(CITC)
密一軸圧	試験方法 圧縮指数 C。 圧密降伏応力 p。 一軸圧縮強さ q。	kN/m²					(CLO)	(CHO)
密 一軸王縮	試験方法 圧縮指数 C。 圧密降伏応力 p。 一軸圧縮強さ q。 試験条件	kN/m ²					CLO	(CHO)
密 一軸王縮	試験方法 圧縮指数 C。 圧密降伏応力 p。 一軸圧縮強さ q。 試験条件	kN/m²					(CLO)	(CHO)
・ ・ ・ ・ ・ ・ ・ ・ ・ ・ ・ ・ ・ ・ ・ ・ ・ ・ ・	試験方法 圧縮指数 C。 圧密降伏応力 p。 一軸圧縮強さ q。 試験条件 全応力 - c-	kN/m ² kN/m ² kN/m ² κN/m ² φ ο					(CLO)	
密一軸圧縮せん	試験方法 圧縮指数 C。 圧密降伏応力 p。 一軸圧縮強さ q。 試験条件 全応力 を対応力	kN/m ² kN/m ² kN/m ² kN/m ² kN/m ²					(CLO)	(CIIC)
密一軸王縮しても	試験方法 圧縮指数 C。 圧密降伏応力 p。 一軸圧縮強さ q。 試験条件 全応力 を対応力	kN/m ² kN/m ² kN/m ² κN/m ² φ ο					(CLO)	
密一一軸圧	試験方法 圧縮指数 C。 圧密降伏応力 p。 一軸圧縮強さ q。 試験条件 全応力 を対応力	kN/m ² kN/m ² kN/m ² kN/m ² kN/m ²					CED	
密一軸圧縮せん	試験方法 圧縮指数 C。 圧密降伏応力 p。 一軸圧縮強さ q。 試験条件 全応力 を対応力	kN/m ² kN/m ² kN/m ² kN/m ² kN/m ²					(CLO)	
密一軸圧縮せん	試験方法 圧縮指数 C。 圧密降伏応力 p。 一軸圧縮強さ q。 試験条件 全応力 を対応力	kN/m ² kN/m ² kN/m ² kN/m ² kN/m ²					CLO	
密一軸圧縮せん	試験方法 圧縮指数 C。 圧密降伏応力 p。 一軸圧縮強さ q。 試験条件 全応力 を対応力	kN/m ² kN/m ² kN/m ² kN/m ² kN/m ²					(CLO)	COLON

¹⁾ 石分を除いた75mm未満の土質材料 に対する百分率で表す。

土質試験結果一覧表(基礎地盤)

調査件名 坂出市再編新校(前期)整備事業に伴う地質調査業務

整理年月日

2025年 9月 29日

整理担当者 井坂 圭佑

							登 /年担日有		1
試		番	号	1P-27	1P-30	1P-31	1P-32	1P-34	1P-38
(深	さ)	$(27.15\sim27.45\text{m})$	$(30.15\sim30.45\text{m})$	$(31.15 \sim 31.45 \text{m})$	$(32.15\sim32.45\text{m})$	$(34.15 \sim 34.45 \text{m})$	$(38.15\sim38.45\text{m})$
	湿潤密	度 ρ _t	g/cm ³						
_	乾燥密	度 ρα	g/cm ³						
	土粒子の智	密度 ρ。	g/cm ³	2.686	2.653	2.607	2.633	2.676	2. 650
	自然含水	:比 w n	%	29. 1	32. 4	22.3	29. 7	24. 9	29.8
般	間隙	比 <i>e</i>							
	飽和	度 S _r	%						
	石 分	(75mm	以上) %						
	礫 分1	$(2 \sim 7.5)$	mm) %	11.6	0.3	10.8	0.0	0.0	1. 7
粒	砂 分1	(0.075~	2mm) %	29. 3	12. 1	49. 1	6. 1	51.0	13.3
	シルト分立	(0.005~0.	075mm) %	47. 1	39. 6	32. 2	61. 2	40.0	65. 5
	粘土分"	(0.005m	m未満)%	12.0	48. 0	7.9	32. 7	49.0	19. 5
	最大粒	径	mm	19	4. 75	9. 5	2	0.850	9. 5
度	均等係	数 <i>U</i> 。		25. 7	_	47.8	_	-	34. 4
~	20%粒	径 D 20	mm	0.0132	_	0.0192	-	-	0.00524
				1			1		
コン	液性限	界 w l	%	46.8	64. 4	36. 4	45. 9	44.5	49. 7
コンシステンシー特性	塑性限	界 w _p	%	+	21. 7	24. 4	24. 8	19. 9	21. 8
ンシ	塑性指			24. 4	42. 7	12.0	21. 1	24.6	27. 9
特				1					
分	地盤材料			礫まじり砂質粘土	砂まじり粘土	礫まじり	砂まじり粘土	細粒分質砂	砂まじり粘土
	分類	名		(低液性限界)	(高液性限界)	細粒分質砂	(低液性限界)		(低液性限界)
類	分類記			(CLS-G)	(CH-S)	(SF-G)	(CL-S)	(SF)	(CL-S)
	試 験 方	法							
圧	圧縮指	数 C。		1			1		
	圧密降伏属	达力 p 。	kN/m²	1			1		
密				1			1		
ш				<u> </u>			1		
	一軸圧縮弛	館さ gu	kN/m²						
軸				<u> </u>					
圧							1		
縮				1			1		
	試 験 条	件							
せ		c	kN/m²	 			<u> </u>		
	全応力	J	b °				1		
ん	L	c'	kN/m²				†		
Mart.	有効応力								
断		'	r 				1		
				1			1		
				1			1		
				1			1		
-				+	1	L	4		L

¹⁾ 石分を除いた75mm未満の土質材料 に対する百分率で表す。

地盤材料の工学的分類

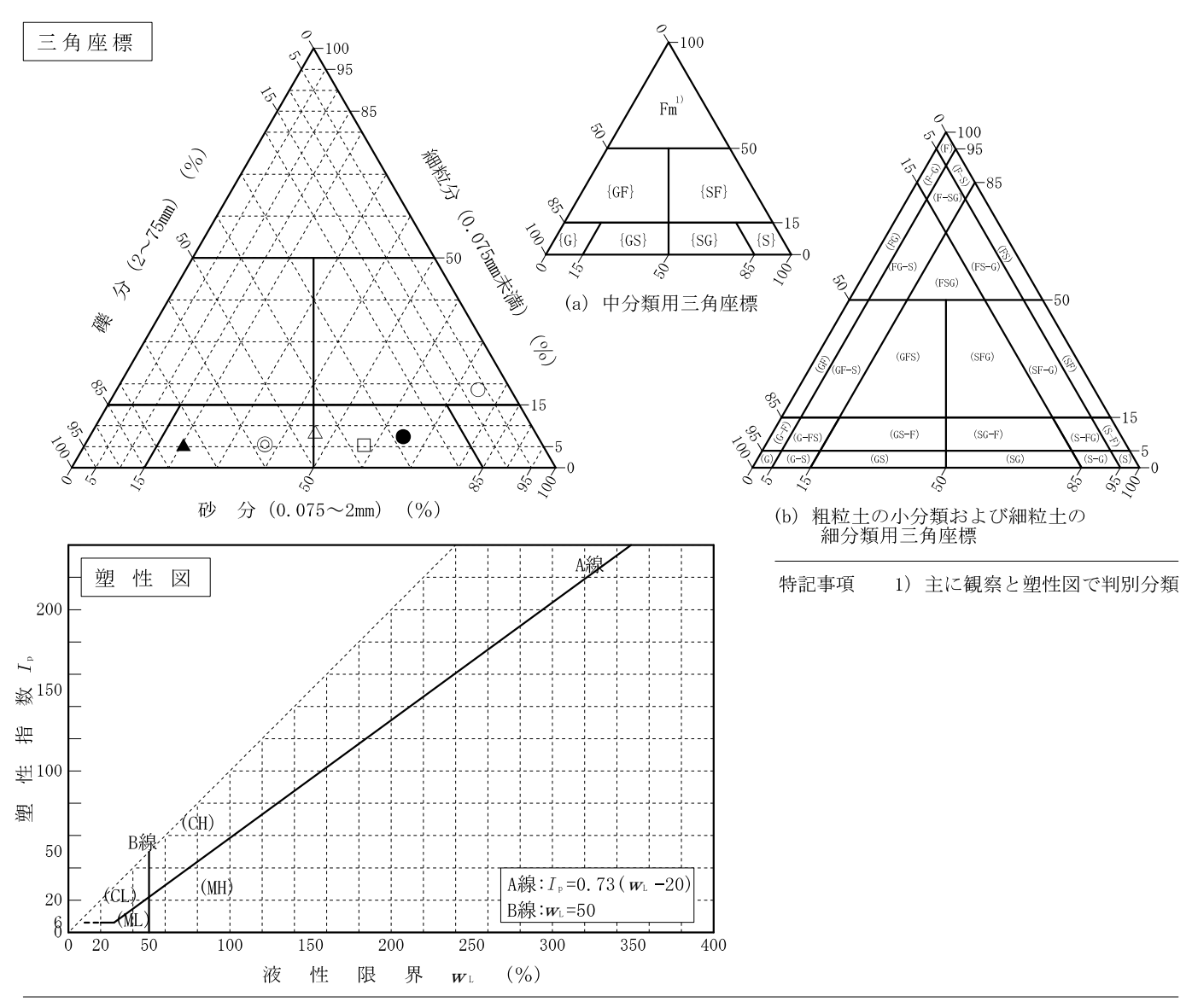
調査件名 坂出市再編新校(前期)整備事業に伴う地質調査業務

試験年月日

2025年 9月 29日

試 験 者 井坂 圭佑

	試	料	番	号		1P-1	1P - 3	1P - 4	1P - 5	1P - 7	1P - 8
	(深	さ)		$(1.15 \sim 1.45 \text{m})$	$(3.15 \sim 3.45 \text{m})$	(4.15~4.45m)	$(5.15\sim5.45\text{m})$	$(7.15 \sim 7.45 \text{m})$	$(8.15 \sim 8.45 \text{m})$
石	分	(75mm	以上)	%						
礫	分	(2~7	5mm)		%	6. 7	57. 3	27.8	45. 4	74. 2	36. 9
砂	分	(0.07	$5\sim2$	mm)	%	74. 7	37. 1	64. 8	46. 0	20. 4	57. 7
細	粒 分	(0.07	5mm≯	:満)	%	18.6	5. 6	7.4	8.6	5. 4	5. 4
シル	ト分	(0.00	5 ~ 0	. 075m	m)%	10.6	F. C	7 4	0.6	F 4	F 4
粘	土 分	(0.00	5mm≯	÷満)	%	18.6	5.6	7.4	8. 6	5. 4	5. 4
最	大	粒	径		mm	9. 5	37. 5	26. 5	37. 5	37. 5	37. 5
均	等	係	数	U_{c}		-	23. 6	6. 42	49. 5	73. 1	6. 87
液	性	限	界	W ⊥	%						
塑	性	限	界	W p	%						
塑	性	指	数	$I_{\scriptscriptstyle m p}$							
			lows to			礫まじり	細粒分まじり	細粒分まじり	細粒分まじり	細粒分まじり	細粒分まじり
地盤		の分	 镇名			細粒分質砂	砂質礫	礫質砂	礫質砂	砂質礫	礫質砂
分	類	記	号			(SF-G)	(GS-F)	(SG-F)	(SG-F)	(GS-F)	(SG-F)
凡	例	記	号			0	©	•	Δ	A	



地盤材料の工学的分類

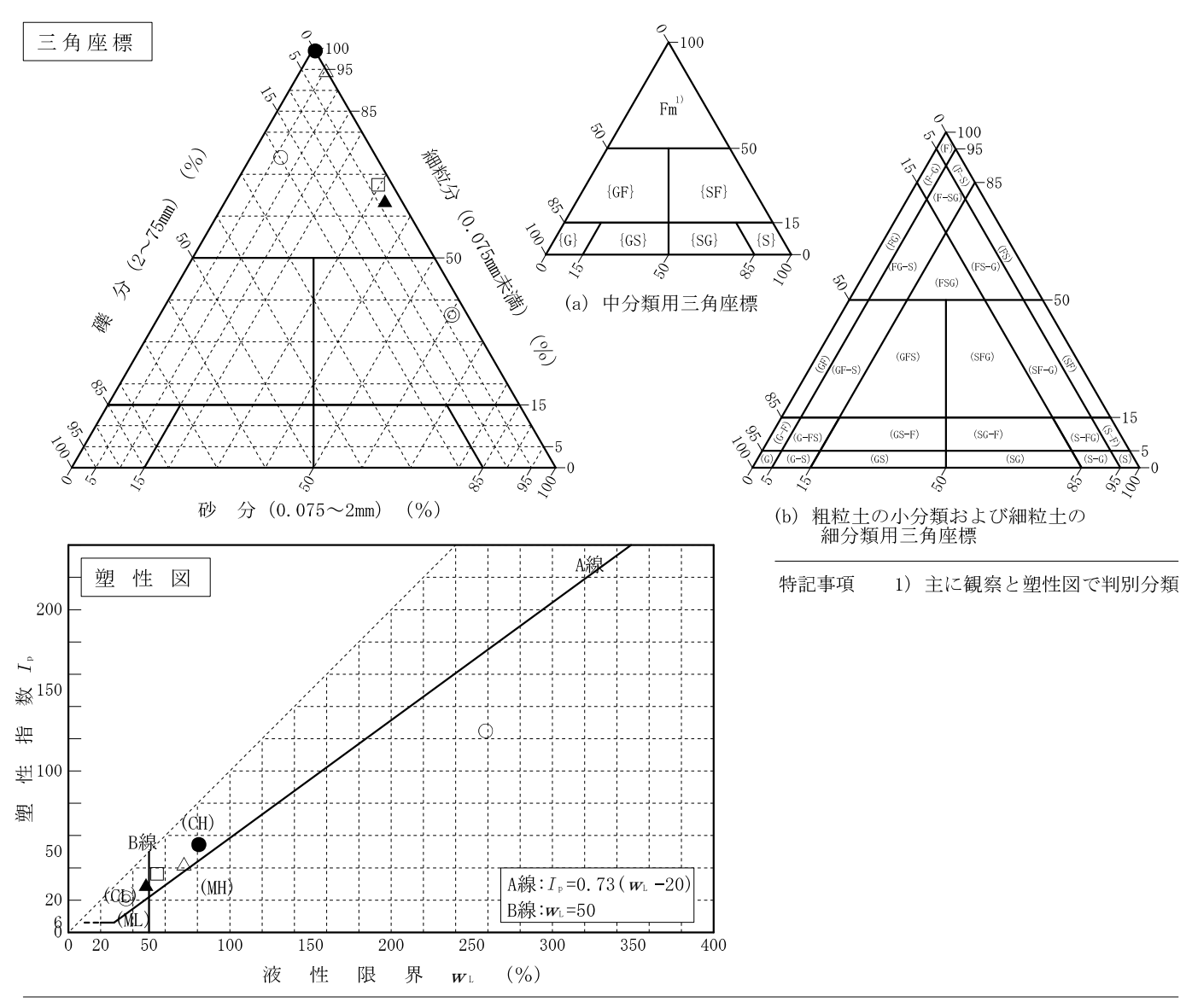
調査件名 坂出市再編新校(前期)整備事業に伴う地質調査業務

試験年月日

2025年 9月 29日

試 験 者 井坂 圭佑

	試	料	番	号		1P-13	1P-14	1P-17	1P-18	1P-19	1P - 22
	(深	さ)		(13.15~13.45m)	(14.15~14.42m)	$(17.15\sim17.45\text{m})$	$(18.15 \sim 18.45 \text{m})$	(19.15~19.45m)	(22. 15~22. 45m)
石	分	(75mm	以上)	%						
礫	分	(2~7	5mm)		%	19.8	3. 2	0.0	0.0	3. 5	2. 9
砂	分	(0.07	5~2	mm)	%	6. 2	60. 3	0. 6	5. 2	32. 9	29. 6
細	粒 分	(0.07	5mm≯	ト満)	%	74. 0	36. 5	99. 4	94.8	63. 6	67. 5
シル	ト分	(0.00	5~0	.075m	m)%	25. 0	20 5	45.8	40. 7	37. 0	30. 7
粘	土 分	(0.00	5mm≯	 卡満)	%	49. 0	36. 5	53. 6	54. 1	26. 6	36. 8
最	大	粒	径		mm	19	9. 5	0. 250	2	4. 75	4. 75
均	等	係	数	U_{c}		-	-	-	-		-
液	性	限	界	W l	%	258. 7	35. 7	80. 7	71. 6	48. 0	55. 0
塑	性	限	界	W p	%	133. 7	14. 6	26. 2	29. 0	18. 6	18. 6
塑	性	指	数	$I_{\scriptscriptstyle m p}$		125. 0	21. 1	54. 5	42.6	29. 4	36. 4
Left when	r. I. I. dal	- 4	W 4			砂まじり礫質有機質粘土	細粒分質砂	粘土	砂まじり粘土	砂質粘土	砂質粘土
地盤	建材料	の分	類名			(高液性限界)		(高液性限界)	(高液性限界)	(低液性限界)	(高液性限界)
分	類	記	号			(OHG-S)	(SF)	(CH)	(CH-S)	(CLS)	(CHS)
凡	例	記	号			0	©	•	Δ	A	



地盤材料の工学的分類

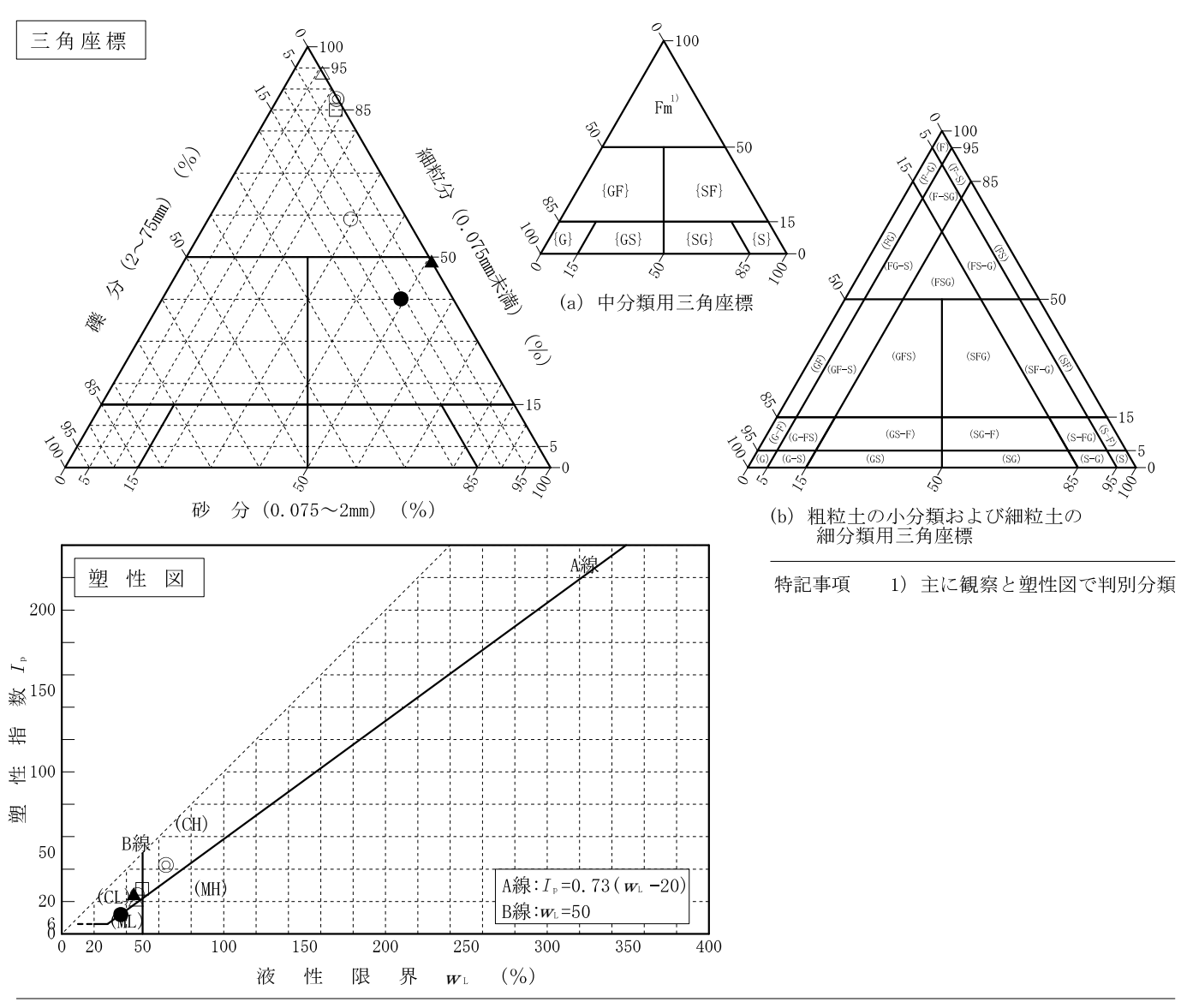
調査件名 坂出市再編新校(前期)整備事業に伴う地質調査業務

試験年月日

2025年 9月 29日

試	験	者	井坂	圭佑
D-7	ツス	11	71.7%	

	試	料	番	号		1P - 27	1P - 30	1P - 31	1P - 32	1P - 34	1P - 38
	(深	さ)		$(27.15\sim27.45\text{m})$	$(30.15 \sim 30.45 \text{m})$	(31.15~31.45m)	$(32.15\sim 32.45 \text{m})$	(34.15∼34.45m)	(38.15∼38.45m)
石	分	(75mm	以上)	%						
礫	分	(2 ~ 7	5mm)		%	11.6	0.3	10.8	0.0	0.0	1. 7
砂	分	(0.07	5 ~ 2	mm)	%	29. 3	12. 1	49. 1	6. 1	51.0	13. 3
細米	並 分	(0.07	5mm∄	ト満)	%	59. 1	87.6	40. 1	93. 9	49. 0	85. 0
シル	ト分	(0.00	5~0	.075m	m)%	47. 1	39. 6	32. 2	61. 2	40.0	65. 5
粘	土 分	(0.00	5mm≯	た満)	%	12.0	48. 0	7. 9	32. 7	49. 0	19. 5
最	大	粒	径		mm	19	4. 75	9. 5	2	0. 850	9. 5
均	等	係	数	U_{c}		25. 7	-	47.8	-	-	34. 4
液	性	限	界	W ⊥	%	46.8	64. 4	36. 4	45. 9	44. 5	49. 7
塑	性	限	界	W p	%	22. 4	21. 7	24. 4	24.8	19. 9	21.8
塑	性	指	数	$I_{\scriptscriptstyle m p}$		24. 4	42. 7	12.0	21. 1	24. 6	27. 9
Left where	r. I. I. dal	- 4)	lor 6			礫まじり砂質粘土	砂まじり粘土	礫まじり	砂まじり粘土	細粒分質砂	砂まじり粘土
地盤	材料	の分	镇名			(低液性限界)	(高液性限界)	細粒分質砂	(低液性限界)		(低液性限界)
分	類	記	号			(CLS-G)	(CH-S)	(SF-G)	(CL-S)	(SF)	(CL-S)
凡	例	記				0	©	•	Δ	A	



JIS A 1202 JGS 0 1 1 1

試 土粒子の密度 験 (測定)

調査件名 坂出市再編新校(前期)整備事業に伴う地質調査業務

試験年月日 2025年 9月 19日

試 験 者 井坂 圭佑

			江	陳 有 廾	·坂 主汨			
試 料 番 号 (深 さ)	1P-1 (1.15	$5 \sim 1.45 \text{m}$		1P−3 (3.15∼3.45m)				
ピクノメーターNo.	52	53	60	69	71	73		
(試料+蒸留水+ピクノメーター)の質量 m ь g	96. 539	95. 932	99. 304	99. 904	100.857	99. 097		
$m{m}$.をはかったときの内容物の温度 T $^{\circ}$ C	22	22	22	22	22	22		
T℃における蒸留水の密度 ρ _w (T)g/cm³	0. 99777	0. 99777	0. 99777	0. 99777	0. 99777	0. 99777		
温度T℃の蒸留水を満たしたときの ¹⁾ (蒸留水+ピクノメーター)質量 m _a g	91. 403	90. 918	92. 933	92. 352	91. 531	92. 100		
容 器 No.	28	37	9	56	159	39		
試 料 の (炉乾燥試料+容器)質量g	109. 564	93. 906	111. 520	98. 611	116. 533	102. 965		
炉乾燥質量 容 器 質 量 g	101. 312	85. 855	101. 285	86. 463	101. 544	91. 712		
$m_{\scriptscriptstyle 8}$ g	8. 252	8. 051	10. 235	12. 148	14. 989	11. 253		
土 粒 子 の 密 度 ρ _s g/cm³	2. 642	2. 645	2. 643	2. 637	2. 641	2. 638		
平 均 値 ρ _s g/cm³		2. 643			2. 639			
試料番号(深さ)	1P-4 (4.15	$5\sim 4.45 \text{m}$		1P - 5 (5.15	\sim 5.45m)			
ピクノメーターNo.	75	77	80	83	84	88		
(試料+蒸留水+ピクノメーター)の質量 m ь g	98. 084	96. 215	98. 714	101.770	101. 752	103. 081		
$m{m}$ 。をはかったときの内容物の温度 T $^{\circ}$ C	22	22	22	22	22	22		
T℃における蒸留水の密度 ρ _w (T)g/cm³	0. 99777	0. 99777	0. 99777	0. 99777	0. 99777	0. 99777		
温度T℃の蒸留水を満たしたときの 1) g (蒸留水+ピクノメーター)質量 m 。 g	90. 837	89. 202	91. 029	89. 525	91. 306	90. 879		
容 器 No.	61	153	144	142	2	32		
試 料 の (炉乾燥試料+容器)質量g	97. 148	110. 730	111. 609	106. 753	116. 883	116. 884		
炉乾燥質量 容 器 質 量 g	85. 508	99. 466	99. 258	86. 991	100. 095	97. 276		
<i>m</i> s g	11.640	11. 264	12. 351	19. 762	16. 788	19. 608		
土 粒 子 の 密 度 ρ _s g/cm³	2. 644	2. 644	2. 641	2. 623	2. 641	2. 642		
平 均 値 ρ _s g/cm³		2. 643			2. 635			
試料番号(深さ)	1P-7 (7.15	$5 \sim 7.45 \text{m}$		1P-8 (8.15	\sim 8.45m)			
ピ ク ノ メ ー タ ー No.	97	99	100	103	109	110		
(試料+蒸留水+ピクノメーター)の質量 m ь g	94. 690	95. 562	94. 613	103. 048	100. 464	97. 153		
$m{m}$ をはかったときの内容物の温度 T $^{f C}$	22	22	22	22	22	22		
T℃における蒸留水の密度 ρ _w (T)g/cm³	0. 99777	0. 99777	0. 99777	0. 99777	0. 99777	0. 99777		
温度T℃の蒸留水を満たしたときの 1) (蒸留水+ピクノメーター)質量 m 。g	90. 538	92. 120	91. 416	92. 209	91. 257	88. 966		
容 器 No.	63	71	151	55	76	70		
試 料 の (炉乾燥試料+容器)質量g	95. 145	100. 424	104. 891	104. 481	108. 530	106. 918		
炉乾燥質量 容 器 質 量 g	88. 493	94. 905	99. 767	87. 067	93. 725	93. 747		
<i>m</i> _s g	6. 652	5. 519	5. 124	17. 414	14. 805	13. 171		
土 粒 子 の 密 度 ρ _s g/cm³	2. 655	2. 651	2. 653	2. 643	2. 639	2. 637		
平 均 値 ρ _s g/cm³		2. 653			2.640			
性 打 声 佰								

特記事項

1) ピクノメーターの検定結果から求める。

$$\rho_{s} = \frac{m_{s}}{m_{s} + (m_{u} - m_{b})} \times \rho_{w}(T)$$

JIS A 1202 JGS 0 1 1 1

試 土 粒 子の密 度 験 (測定)

調査件名 坂出市再編新校(前期)整備事業に伴う地質調査業務

試験年月日 2025年 9月 19日

試 験 者 井坂 圭佑

			試		-	
試料番号(深さ)	1P-13 (13.	$15 \sim 13.45 \text{m}$		1P-14 (14.	15~14.42m)	
ピクノメーター No.	111	112	113	116	118	126
(試料+蒸留水+ピクノメーター)の質量 m b g	90. 417	90. 271	92. 634	100. 104	104. 173	103.727
m をはかったときの内容物の温度 T $^{\circ}$ C	22	22	22	22	22	22
T $^{\circ}$ Cにおける蒸留水の密度 $ ho_{w}(T)$ g/cm	0. 99777	0. 99777	0. 99777	0. 99777	0. 99777	0. 99777
温度 T C の蒸留水を満たしたときの (蒸留 Λ +ピクノメーター)質量 m_a g	88. 040	87. 719	90. 513	88. 625	90. 214	89. 431
容 器 No.	59	19	131	152	58	66
試 料 の (炉乾燥試料+容器)質量g	94. 289	94. 691	88. 938	118. 977	113. 632	108. 474
炉乾燥質量 容 器 質 量 g	89. 686	89. 703	84. 811	100. 522	91. 189	85. 498
<i>m</i> _s g	4. 603	4. 988	4. 127	18. 455	22. 443	22. 976
土 粒 子 の 密 度 ρ _s g/cm	2. 063	2. 043	2.053	2.640	2. 639	2.641
平 均 値 ρ _s g/cm	13	2.053			2.640	
試料番号(深さ)	1P-17 (17.	$15 \sim 17.45 \text{m}$		1P-18 (18.	$15 \sim 18.45 \text{m}$	
ピクノメーターNo.	127	129	130	2	4	32
(試料+蒸留水+ピクノメーター)の質量 m b g	97. 152	96. 233	98. 061	95. 099	97. 444	97. 344
m 。をはかったときの内容物の温度 T $^{\circ}$ C	22	22	22	22	22	22
$T^{\mathbf{C}}$ における蒸留水の密度 $ ho_{\mathbf{w}}(T)$ g/cm	0. 99777	0. 99777	0. 99777	0. 99777	0. 99777	0. 99777
温度 T \mathbb{C} の蒸留水を満たしたときの (蒸留水+ピクノメーター)質量 $m_{\mathfrak{s}}$ g	90. 200	88. 246	89. 398	91. 497	91. 267	92.448
容 器 No.	38	62	149	132	151	144
試 料 の (炉乾燥試料+容器)質量g	102. 938	115. 449	114. 385	95. 220	109.631	107. 113
炉乾燥質量 容 器 質 量 g	91.814	102. 679	100. 571	89. 467	99. 767	99. 258
<i>m</i> _s g	11. 124	12. 770	13.814	5. 753	9.864	7.855
土 粒 子 の 密 度 ρ _s g/cm	2. 660	2. 664	2.676	2. 669	2. 669	2.649
平 均 値 ρ _s g/cm	13	2.667			2.662	
試料番号(深さ)	1P-19 (19.	$15 \sim 19.45 \text{m}$		1P-22 (22.	$15 \sim 22.45 \text{m}$	
ピクノメーターNo.	34	42	43	52	53	60
(試料+蒸留水+ピクノメーター)の質量 m _b g	103. 028	98. 542	97. 160	100. 136	100. 567	103. 049
m 応はかったときの内容物の温度 T $^{\circ}$	22	22	22	22	22	22
T^{∞} における蒸留水の密度 $ ho_{w}(T)$ g/cm	0. 99777	0. 99777	0. 99777	0. 99777	0. 99777	0. 99777
温度 T \mathbb{C} の蒸留水を満たしたときの \mathbf{m}_{\circ} g \mathbf{m}_{\circ} g	94. 917	92. 501	91. 279	91. 403	90. 918	92. 933
容 器 No.	9	39	47	8	57	44
試 料 の (炉乾燥試料+容器)質量g	114. 253	101. 355	110. 019	113. 418	103. 139	117. 573
炉乾燥質量 容 器 質 量 g	101. 285	91.712	100. 643	99. 416	87. 698	101. 376
<i>m</i> s g	12. 968	9. 643	9. 376	14. 002	15. 441	16. 197
土 粒 子 の 密 度 ρ _s g/cm	2. 664	2. 671	2. 677	2. 652	2.660	2. 658
平 均 値 ρ _s g/cm	3	2. 671			2.657	
	•					

特記事項

1) ピクノメーターの検定結果から求める。

$$\rho_{s} = \frac{m_{s}}{m_{s} + (m_{a} - m_{b})} \times \rho_{w}(T)$$

JIS A 1202 JGS 0 1 1 1

試 土 粒 子の密 度 験 (測定)

調査件名 坂出市再編新校(前期)整備事業に伴う地質調査業務

試験年月日 2025年 9月 19日

試 験 者 井坂 圭佑

				江	映 有 廾	· 坂 主怕		
試 料 番	号 (深 さ)	1P-27 (27.	15~27.45m)		1P-30 (30.	15~30.45m)		
ピクノメ	ー タ ー No.	69	71	73	75	77	80	
(試料+蒸留水+と	ピクノメーター)の質量 m b g	103. 764	104. 017	103. 365	98. 518	95. 751	98. 039	
mをはかったと	きの内容物の温度 T $^{\circ}$ C	22	22	22	22	22	22	
<i>T</i> ℃における素	蒸留水の密度 ρ _w (T)g/cm³	0. 99777	0. 99777	0. 99777	0. 99777	0. 99777	0. 99777	
温度T℃の蒸留水を (蒸留水+ピクノ		92. 352	91. 531	92. 100	90. 837	89. 202	91. 029	
	容 器 No.	72	156	46	31	146	67	
試 料 の	(炉乾燥試料+容器)質量g	113. 384	119. 426	118. 029	111. 495	110. 520	97. 160	
炉乾燥質量	容器質量g	95. 231	99. 581	100. 088	99. 204	99. 999	85. 932	
	<i>m</i> ₅ g	18. 153	19. 845	17. 941	12. 291	10. 521	11. 228	
土 粒 子	の密度 ρ _s g/cm³	2. 687	2. 691	2. 681	2. 660	2. 643	2.656	
平 均	値 ρ _s g/cm³		2. 686			2.653		
試 料 番	号 (深 さ)	1P-31 (31.	15~31.45m)		1P-32 (32.	15~32.45m)		
ピクノメ	ー タ ー No.	83	84	88	97	99	100	
(試料+蒸留水+と	ピクノメーター)の質量 m b g	99. 166	101. 534	99. 664	95. 065	97. 852	96. 647	
mをはかったと	きの内容物の温度 T $^{\circ}$ C	22	22	22	22	22	22	
<i>T</i> ℃における素	蒸留水の密度 ρ _w (T)g/cm³	0. 99777	0. 99777	0. 99777	0. 99777	0. 99777	0. 99777	
温度T℃の蒸留水を (蒸留水+ピクノ		89. 525	91. 306	90. 879	90. 538	92. 120	91. 416	
	容 器 No.	73	161	41	4	35	158	
試 料 の	(炉乾燥試料+容器)質量g	111. 071	116. 245	113. 687	107. 252	111. 087	106. 968	
炉乾燥質量	容器質量g	95. 418	99. 715	99. 449	99. 967	101.867	98. 530	
	<i>m</i> _s g	15. 653	16. 530	14. 238	7. 285	9. 220	8. 438	
土 粒 子	の 密 度 $ ho_s$ g/cm 3	2. 598	2. 617	2. 605	2. 636	2. 637	2. 625	
平 均	値 ρ _s g/cm³		2. 607			2.633		
試 料 番	号 (深 さ)	1P-34 (34.	$15 \sim 34.45 \text{m}$		1P-38 (38.15∼38.45m)			
ピクノメ	ー タ ー No.	103	109	110	111	112	113	
(試料+蒸留水+と	ピクノメーター)の質量 m b g	96. 409	95. 823	94. 339	94. 873	94. 879	97. 751	
mをはかったと	きの内容物の温度 T $^{\circ}$ C	22	22	22	22	22	22	
<i>T</i> ℃における素	蒸留水の密度 ρ _w (T)g/cm³	0. 99777	0. 99777	0. 99777	0. 99777	0. 99777	0. 99777	
温度T℃の蒸留水を (蒸留水+ピクノ		92. 209	91. 257	88. 966	88. 040	87. 719	90. 513	
	容 器 No.	13	36	27	155	148	75	
試料の	(炉乾燥試料+容器)質量g	97. 694	93. 249	109. 879	112. 177	112. 956	106. 969	
炉乾燥質量	容器質量g	91. 005	85. 969	101. 302	101. 217	101. 479	95. 349	
	<i>m</i> _s g	6. 689	7. 280	8. 577	10. 960	11. 477	11. 620	
土 粒 子	の密度 ρ _s g/cm³	2. 681	2. 676	2. 671	2. 650	2. 653	2. 646	
平 均	値 ρ _s g/cm³		2. 676			2.650		
胜知市佰					1			

特記事項

1) ピクノメーターの検定結果から求める。

$$\rho_{s} = \frac{m_{s}}{m_{s} + (m_{s} - m_{b})} \times \rho_{w}(T)$$

JIS A 1203 J G S 0 1 2 1

土の含水比試験

調査件名 坂出市再編新校(前期)整備事業に伴う地質調査業務

試験年月日 2025年 9月 19日

試	験	者	井坂	圭佑
D-V	100	10	71 72	±.141

試料番号 (深さ)	1P-1 (1.15~	-1.45m)		1P−3 (3.15∼3.45m)			
容器 No.	410	305	375	534	528	508	
<i>m</i> a g	111.86	115. 83	114. 84	208. 07	195. 93	183. 96	
<i>m</i> ♭ g	104. 64	108. 50	107. 56	192. 86	179. 73	169. 26	
<i>m</i> ∘ g	45. 51	47. 19	45. 05	47. 27	46. 80	46. 59	
w %	12. 21	11.96	11.65	10. 45	12. 19	11. 98	
平均值 w %		11.9			11. 5		
特記事項							

試料番号 (深さ)	1P-4 (4.15~	-4.45m)		$1P-5 (5.15\sim5.45m)$			
容器 No.	456	383	400	394	366	509	
<i>m</i> ₃ g	174. 19	178. 33	187. 14	241. 32	211. 25	208. 42	
т ь g	153. 18	159. 50	164. 96	224. 35	193. 91	194. 28	
<i>m</i> ∘ g	45. 15	45. 92	44.81	46. 26	45. 58	46. 59	
w %	19. 45	16. 58	18. 46	9. 53	11. 69	9. 57	
平均值 w %		18. 2			10. 3		
特記事項							

試料番号 (深さ)	1P-7 (7.15~	~7.45m)		1P-8 (8.15∼8.45m)				
容器 No.	357	480	510	526	521	496		
m a g	146. 74	134. 31	134. 13	155. 14	178. 75	162. 11		
т ь g	141. 07	129.64	128. 84	141. 14	165. 04	147.87		
m . g	46. 04	46. 75	45. 12	46. 36	46.88	47. 19		
w %	5. 97	5. 63	6. 32	14. 77	11.60	14. 14		
平均值 w %		6.0			13. 5			
特記事項								

試料番号 (深さ)	1P-13 (13. 19	$5 \sim 13.45 \text{m}$		1P-14 (14.15~14.42m)			
容器 No.	89	19	76	114	194	97	
m a g	80. 33	90. 74	82. 57	148. 97	137.88	145.80	
<i>m</i> ♭ g	64. 14	69. 18	64. 88	136. 34	126. 14	133. 00	
<i>m</i> ∘ g	50. 23	50. 27	49. 24	49. 37	49.08	49.83	
w %	116. 39	114. 01	113. 11	14. 52	15. 23	15. 39	
平均值 w %		114. 5			15. 0		
特記事項							

 試料番号(深さ)	1P-17 (17. 15	$5\sim 17.45 \text{m}$		1P-18 (18.15~18.45m)			
容器 No.	646	704	616	711	716	728	
<i>m</i> _a g	61.67	61.74	57. 73	81.96	79. 84	90. 59	
<i>m</i> _b g	52. 49	52.67	49. 21	63. 75	62. 45	69. 47	
<i>m</i> ∘ g	30. 16	30. 11	28. 19	29. 81	29. 98	30. 17	
w %	41.11	40. 20	40. 53	53. 65	53. 56	53. 74	
平均值 w %		40.6			53. 7		
特記事項							

 $w = \frac{m_{\text{\tiny B}} - m_{\text{\tiny B}}}{m_{\text{\tiny B}} - m_{\text{\tiny C}}} \times 100$ $m_{\text{\tiny B}}$: (試料+容器)質量 $m_{\text{\tiny B}}$: (炉乾燥試料+容器)質量

m。:容器質量

JIS A 1203 J G S 0 1 2 1

m a g

平均值 w % 特記事項

%

土の含水比試験

調査件名 坂出市再編新校(前期)整備事業に伴う地質調査業務

試験年月日 2025年 9月 19日

試	験	者	井坂	圭佑
Pr/	例大	11	アナクス	土田

式料番号(深さ) │	1P-19 (19. 15	~19.45m)		1P-22 (22.15~22.45m)				
卒 器 No.	612	670	737	666	713	626		
<i>m</i> a g	68. 00	74. 60	73. 53	77. 49	75. 26	76. 03		
<i>т</i> ь g	61. 42	67. 51	65. 62	68. 56	66. 78	67. 27		
<i>m</i> ₀ g	28. 22	30. 14	30. 15	29. 71	30. 04	28. 57		
w %	19. 82	18. 97	22. 30	22. 99	23. 08	22. 64		
平均値 w %		20. 4			22. 9			
特記事項								
試料番号(深さ)	1P-27 (27. 15°	~27 /15m)		1P-30 (30.15	~30 45m)			
容 器 No.	166	90	144	629	653	676		
	144. 19	141. 41	142. 80	74. 42	73. 37	80. 39		
<i>m</i> ₃ g	122. 73	120. 97	121. 82	63. 42	62. 69	67. 67		
	49. 72	50. 31	49. 20	27. 73	29. 85	30. 14		
<i>m</i> ∘ g <i>w</i> %	29. 39	28. 93	28. 89	30. 82	32. 52	33. 89		
w /0 平均値 w // //	25. 55	29. 1	20.03	30.02	32. 4	55. 65		
特記事項		23. 1			52. 1			
10 HE 7 'A								
試料番号(深さ)	1P-31 (31. 15°	~31.45m)		1P-32 (32. 15	\sim 32.45m)			
容器 No.	101	30	117	628	607	714		
	131. 82	140. 09	128. 60	81. 34	90.06	85. 03		
<i>m</i> ₃ g					75. 86			
g g	117. 12	123. 59	114.09	69. 18	75.00	72.41		
		123. 59 49. 59	50. 02	69. 18 28. 14	28. 34	72. 41 29. 78		
т ь g	117. 12			-		29. 78		
т ь g т е g	117. 12 49. 89	49. 59	50.02	28. 14	28. 34			
ть g т. g w %	117. 12 49. 89	49. 59 22. 30	50.02	28. 14	28. 34 29. 88	29. 78		
m。 g m。 g w % 平均值w %	117. 12 49. 89	49. 59 22. 30 22. 3	50.02	28. 14	28. 34 29. 88 29. 7	29. 78		
m₀ g m₀ g w % 平均値w % 特記事項	117. 12 49. 89 21. 87	49. 59 22. 30 22. 3	50.02	28. 14 29. 63	28. 34 29. 88 29. 7	29. 78		
m。 g g g w % で 数値 w % を いっぱい で いっぱい がっかい まり 項 は がっぱい ない ない ない で 器 No.	117. 12 49. 89 21. 87 1P-34 (34. 15	49.59 22.30 22.3 ~34.45m)	50. 02 22. 65	28. 14 29. 63 1P-38 (38. 15	28. 34 29. 88 29. 7 ~38. 45m)	29. 78 29. 60		
m。 g m。 g w % 平均値w % 特記事項 試料番号(深さ) 容器 No. m。 g	117. 12 49. 89 21. 87 1P-34 (34. 154 542 91. 41	49.59 22.30 22.3 ~34.45m) 494 92.90	50. 02 22. 65 507 94. 96	28. 14 29. 63 1P-38 (38. 15 171 171. 06	28. 34 29. 88 29. 7 ~38. 45m) 54 164. 58	29. 78 29. 60 111 160. 46		
m。 g g w % % で 物値 w % が が が が が が が が が が が が が が が が が が	117. 12 49. 89 21. 87 1P-34 (34. 154) 542 91. 41 82. 20	49. 59 22. 30 22. 3 ~34. 45m) 494 92. 90 83. 63	50. 02 22. 65 507 94. 96 85. 51	28. 14 29. 63 1P-38 (38. 154 171 171. 06 142. 82	28. 34 29. 88 29. 7 ~38. 45m) 54 164. 58 138. 69	29. 78 29. 60 111 160. 46 134. 83		
m。 g g g w % % 平均値 w % 特記 事項	117. 12 49. 89 21. 87 1P-34 (34. 15-2) 542 91. 41 82. 20 45. 60	49.59 22.30 22.3 ~34.45m) 494 92.90 83.63 46.63	50. 02 22. 65 507 94. 96 85. 51 47. 04	28. 14 29. 63 1P-38 (38. 15 171 171. 06 142. 82 49. 35	28. 34 29. 88 29. 7 ~38. 45m) 54 164. 58 138. 69 49. 48	29. 78 29. 60 111 160. 46 134. 83 49. 91		
m。 g g w % % 平均値 w % 特記 事項 試料番号(深さ) 容器 No. m。 g g g	117. 12 49. 89 21. 87 1P-34 (34. 154) 542 91. 41 82. 20	49. 59 22. 30 22. 3 ~34. 45m) 494 92. 90 83. 63	50. 02 22. 65 507 94. 96 85. 51	28. 14 29. 63 1P-38 (38. 154 171 171. 06 142. 82	28. 34 29. 88 29. 7 ~38. 45m) 54 164. 58 138. 69	29. 78 29. 60 111 160. 46 134. 83		

						_
$w = \frac{m_{\text{a}} - m_{\text{b}}}{m_{\text{b}} - m_{\text{c}}} >$	100	<i>m</i> ₃ : <i>m</i> ₅ :	燥試		質量	

m。:容器質量

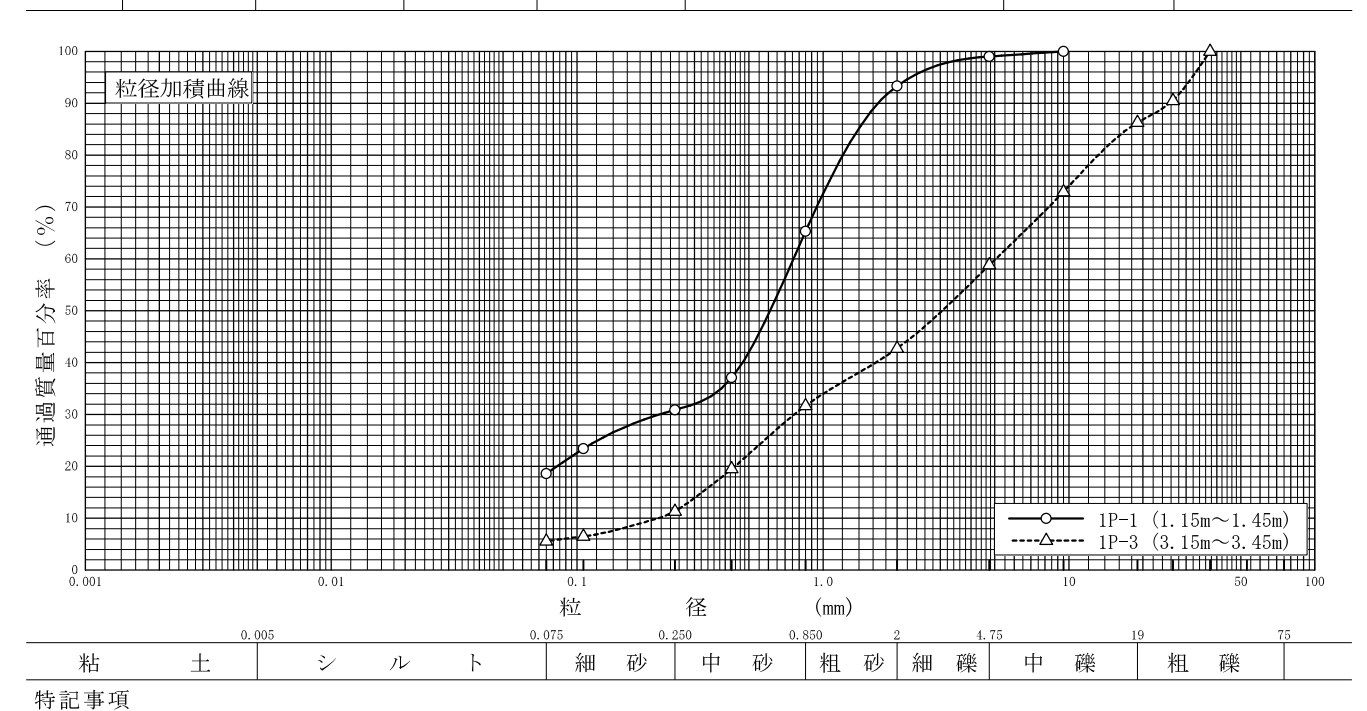
粒 度 試 \pm \mathcal{O} 験 (粒径加積曲線)

調査件名 坂出市再編新校(前期)整備事業に伴う地質調査業務

試験年月日 2025年 9月 25日

試 験 者 井坂 圭佑

										7	
試料番号	1P-1		1P - 3			試	料	番	号	1P-1	1P-3
(深 さ)	(1. 15∼1.	45m)	(3. 15∼3.	45m)		(深			さ)	$(1.15 \sim 1.45 \text{m})$	$(3.15\sim3.45\text{m})$
	粒 径 mm	通過質量百分率%	粒 径 mm	通過質量百分率%	粗		<u>{</u>	分	%	0.0	13.7
	75		75		中	碑	<u> </u>	分	%	1.0	27. 5
<i>ኤ</i>	53		53		細	碑	<u> </u>	分	%	5. 7	16. 1
	37. 5		37. 5	100.0	粗	砂	;	分	%	28. 0	11.0
る	26. 5		26. 5	90. 5	中	砂	>	分	%	34. 4	20. 4
. 2	19		19	86. 3	細	砂	;	分	%	12. 3	5. 7
٧١	9. 5	100.0	9. 5	72. 9	シ	ル	<u>۲</u>	分	%	10.6	F 6
٧,	4. 75	99. 0	4. 75	58. 8	粘	±	:	分	%	18.6	5. 6
	2	93. 3	2	42. 7	2mm	ふるレ	通過	質量	百分率 %	93. 3	42.7
分	0.850	65. 3	0.850	31. 7	425	μm <i>ኤ</i> ł	るい通	過質量	直分率 %	37. 1	19.5
	0. 425	37. 1	0. 425	19. 5	75 μ	ιmふる	い通道	過質量	百分率 %	18. 6	5. 6
析	0. 250	30. 9	0. 250	11. 3	最	大	粒	径	mm	9. 5	37. 5
	0. 106	23.4	0. 106	6. 5	60	%	粒	径	D 60 mm	0. 759	5. 05
	0. 075	18.6	0. 075	5. 6	50	%	粒	径	D_{50} mm	0.610	3.06
					30	%	粒	径	D 30 mm	0. 216	0.765
Sed-a					10	%	粒	径	D 10 mm	<u> </u>	0. 214
沈					均	等	係	数	U_{\circ}	_	23.6
降					曲	率	係	数	U_{\circ}'	-	0.542
					土;	粒 子	の密	度	$ ho_{ m s}$ g/cm 3	_	_
分					使月	目したか	分散斉	IJ			
析					溶液	複濃度,	溶液	烫添加	量	_	_
171					20	%	粒	径	D 20 mm	0.0829	0. 438



粒 度 (ふるい分析) 試 土 \mathcal{O}

調 査 件 名 坂出市再編新校(前期)整備事業に伴う地質調査業務

試験年月日 2025年 9月 25日

試料番号(深さ) 1P-1(1.15~1.45m)

試 験 者 井坂 圭佑

		全	Ī	武	料			2 m m &	るい通	鱼過試料(沈降分	析を行わ	ない場合)
	容器N	0.	41	0	305	375		容器N	о.			
含	m _a	g	111.8	6	115.83	114.84	含	$m_{\scriptscriptstyle 8}$	g			
水	m b	g	104. 6	4	108.50	107. 56	水	т ь	g			
/1/	m o	g	45. 5	1	47. 19	45.05		<i>m</i> ∘	g			
比	W	%	12. 2	1	11.96	11.65	比	W 1	%			
	平均值	w %		·	11.9			平均値	W 1 %		0.0)
(全	試料+3	容器)	質量		g		(2mm&	ふるい通道	過試料-	+容器)質量	g	114. 4
容	器(No.)質	重 量		g		容	器(No. 4)	10)質	重 量	g	45. 5
全	試 料	. 質	量	m	g	204.8	2 m m >	ふるい通	過試料	∤の質量 m₁	g	68. 9
全試	料の炉乾	燥質量	$m_s = \frac{1}{1}$	$\frac{m}{+w/10}$	g g	183. 0		るい通過 の炉乾燥	4	$m_{1s} = \frac{m_1}{1 + w_1/1}$	g g	68. 9
2 m m	ふるい残	: 図 分	(試料+容	器)質:	量 g	62. 1	全 討	料の帽	哲 榀 唇	賃量に対する		
	洗い後の		容器(No. 1	39)質	量 g	49.8				の 単 に 刈 す る	$\frac{m_{\rm s}-m_{\rm 0s}}{m_{\rm s}}$	0. 933
~/J\	DL V TQ V	/ n=v 1°1	炉 乾 燥	質 量	m ₀s g	12.3	21111110	・・・・・・ へ . YEE //	면 IP-V기기 V	ノ // 〒4 /木貝 里儿	1115	

2 mmふるい残留分 m_{0s} のふるい分析

	У / Д Ш .	75 III US -> +3 & + 75	<i>1</i> VI				
ふるい	容器 No.	(残留試料+容器)質量	容器質量	残留試料質量	加積残留試料質量	加積残留率	通過質量百分率P(d)
				m(d)	$\sum m(d)$	$\frac{\sum m(d)}{m_s} \times 100$	$\left(1 - \frac{\sum m(d)}{m_s}\right) \times 100$
mm		g	g	g	g	%	%
75							
53			,				
37. 5							
26. 5							
19							
9. 5		0.0	0.0	0.0	0.0	0.0	100. 0
4. 75		1.9	0.0	1.9	1. 9	1. 0	99. 0
2		10.4	0.0	10. 4	12. 3	6. 7	93. 3

2 mm ふるい通過分 m_1 。のふるい分析(沈降分析を行わない場合)

ふるい	容器No.	(残留試料+容器)質量	容器質量	残留試料質量	加積残留試料質量	加積残留率	加積通過率P	通過質量百分率P(d)
				m(d)	$\Sigma m(d)$	$\frac{\sum m(d)}{m_{1s}} \times 100$	$\left(1 - \frac{\sum m(d)}{m_{1s}}\right) \times 100$	$\left \frac{m_{\scriptscriptstyle \mathrm{S}} - m_{\scriptscriptstyle \mathrm{OS}}}{m_{\scriptscriptstyle \mathrm{S}}} imes P \right $
μ m		g	g	g	g	%	%	%
850		20. 7	0.0	20. 7	20. 7	30. 0	70.0	65. 3
425		20.8	0.0	20.8	41. 5	60. 2	39.8	37. 1
250		4. 6	0.0	4. 6	46. 1	66. 9	33. 1	30. 9
106		5. 5	0.0	5. 5	51. 6	74. 9	25. 1	23. 4
75		3. 6	0.0	3. 6	55. 2	80. 1	19. 9	18. 6

粒 度 (ふるい分析) 試 土 \mathcal{O}

調 査 件 名 坂出市再編新校(前期)整備事業に伴う地質調査業務

試験年月日 2025年 9月 25日

試料番号(深さ) 1P-3(3.15~3.45m)

試 験 者 井坂 圭佑

		全	試	料			2mmふ	るい通	追過試料(沈降分	析を行われ	ない場合)
	容器N	0.	534	528	508		容器No	э.			
含	<i>m</i> a	g	208.07	195. 93	183. 96	含	<i>m</i> ₈	g			
水	m b	g	192.86	179. 73	169. 26	水	т ь	g			
/1/	m_{\odot}	g	47. 27	46. 80	46. 59		<i>m</i> :	g			
比	W	%	10. 45	12. 19	11. 98	比	W_1	%			
	平均值	w %		11.5	·		平均值	w ₁ %		0.0)
(全	試料+彡	容器)	質量	g		(2mm⊰	ふるい通過	晶試料-	├容器)質量	g	113. 0
容	器(No.)質	重量	g		容	器(No. 53	34) 質	重	g	47. 3
全	試 料	. 質	量	m g	447. 3	2 m m >	ふるい通	過試彩	の質量 m ı	g	65. 7
全試	料の炉乾	燥質量	111 5	<u>m</u> w/100 g	401.2		るい通過 の炉乾燥	1	$m_{1s} = \frac{m_1}{1 + w_1/1}$	0 0 g	65. 7
2 m m	ふるい残	: 図 分	(試料+容器)	質量 g	276. 5	全計	料の后i	哲 榀 垕	賃量に対する		
	洗い後の		容器(No. 528)質 量 g	46.8				、単に A) , る 	$\frac{m_s - m_{0s}}{m_s}$	0.427
~/J\	DL V · IQ V	/ n=v 1°1	炉 乾 燥 質	量 m 0s g	229. 7	2111111		9 m-√1/-1 ∨	ノが 平山水貝 里儿	1115	

2 mmふるい残留分 m_{0s} のふるい分析

ふるい	容器 No.	(残留試料+容器)質量	容器質量	残留試料質量	加積残留試料質量	加積残留率	通過質量百分率P(d)
				m(d)	$\sum m(d)$	$\frac{\sum m(d)}{m_s} \times 100$	$\left(1 - \frac{\sum m(d)}{m_s}\right) \times 100$
mm		g	g	g	g	%	%
75							
53							
37. 5		0.0	0.0	0.0	0.0	0.0	100.0
26. 5		38. 2	0.0	38. 2	38. 2	9. 5	90. 5
19		16. 7	0.0	16. 7	54. 9	13. 7	86. 3
9. 5		54.0	0.0	54. 0	108. 9	27. 1	72. 9
4. 75		56. 5	0.0	56. 5	165. 4	41.2	58.8
2		64. 3	0.0	64. 3	229. 7	57. 3	42. 7

2 mm ふるい通過分 m_1 。のふるい分析(沈降分析を行わない場合)

	, veve	J III Is V X X Y X	77 VI (VUIT-)	O NI C 1145.00	· 30 日 /			
ふるい	容器 No.	(残留試料+容器)質量	容器質量	残留試料質量	加積残留試料質量	加積残留率	加積通過率P	通過質量百分率P(d)
				m(d)	$\Sigma m(d)$	$\frac{\sum m(d)}{m_{1s}} \times 100$	$\left \left(1 - \frac{\sum m(d)}{m_{1s}} \right) \times 100 \right $	
μ m		g	g	g	g	%	%	%
850		16. 9	0.0	16. 9	16. 9	25. 7	74. 3	31. 7
425		18.8	0.0	18.8	35. 7	54. 3	45. 7	19. 5
250		12.6	0.0	12.6	48. 3	73. 5	26. 5	11.3
106		7. 4	0.0	7.4	55. 7	84. 8	15. 2	6. 5
75		1.3	0.0	1.3	57. 0	86. 8	13. 2	5. 6

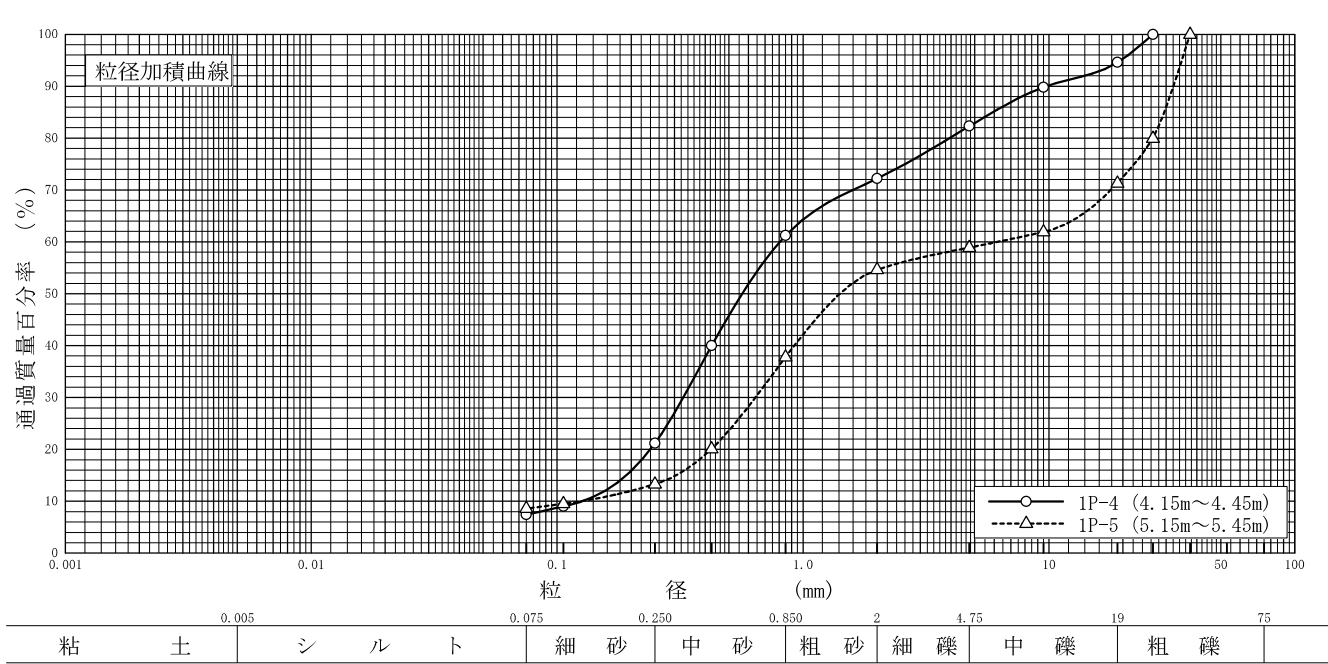
粒 度 試 験 (粒径加積曲線) 土 の

調査件名 坂出市再編新校(前期)整備事業に伴う地質調査業務

試験年月日 2025年 9月 25日

試 験 者 井坂 圭佑

								, ,			7170	
試料番号	1P - 4		1P - 5			試	料	番	号		1P-4	1P-5
(深 さ)	$(4.15 \sim 4.$	45m)	$(5.15\sim5.$	45m)		(深	ŧ		さ)		(4.15~4.45m)	$(5.15\sim5.45\text{m})$
	粒 径 mm	通過質量百分率%	粒 径 mm	通過質量百分率%	粗	碀	Ę	分		%	5. 4	28. 7
	75		75		中	硝	Ę	分		%	12. 3	12. 4
ふ	53		53		細	硝	 K	分		%	10. 1	4. 3
	37. 5		37. 5	100.0	粗	配); 	分		%	11.0	16.8
る	26. 5	100.0	26. 5	79. 9	中	配); 	分		%	40. 0	24. 5
9	19	94.6	19	71.3	細	配) 	分		%	13.8	4. 7
٧١	9. 5	89.8	9. 5	61. 9	シ	ル	<u>۱</u>	分		%	7 4	9.0
V .	4. 75	82. 3	4. 75	58. 9	粘	±	:	分		%	7.4	8.6
\wedge	2	72. 2	2	54. 6	2mm	ふるレ	`通過	質量	百分率	%	72. 2	54. 6
分	0.850	61.2	0.850	37.8	425	μm & 2	るい通	過質量	百分率	%	40. 0	20. 1
tre-	0. 425	40.0	0. 425	20. 1	75 μ	mふる	い通道	過質量	百分率	%	7. 4	8. 6
析	0. 250	21.2	0. 250	13. 3	最	大	粒	径		mm	26. 5	37. 5
	0. 106	9.0	0. 106	9. 5	60	%	粒	径	D_{-60}	mm	0.809	6. 19
	0.075	7.4	0.075	8. 6	50	%	粒	径	D_{50}	mm	0. 567	1.42
					30	%	粒	径	D_{-30}	mm	0. 326	0. 641
沈					10	%	粒	径	D_{-10}	mm	0. 126	0. 125
<i>(</i> /L					均	等	係	数	U_{\circ}		6. 42	49. 5
降					曲	率	係	数	U_{\circ}'		1.04	0. 531
					土;	粒子	の密	度	$ ho_{ m s}$ g	/cm³	_ 	<u> </u>
分					使用	目した。	分散剤	IJ			_	_
析					溶液	凌濃度,	溶液	添加	量		_ 	_
ገፆ ፤					20	%	粒	径	D_{-20}	mm	0. 239	0. 423



特記事項

粒 度 (ふるい分析) 試 土 \mathcal{O}

調 査 件 名 坂出市再編新校(前期)整備事業に伴う地質調査業務

試験年月日 2025年 9月 25日

試料番号(深さ) 1P-4(4.15~4.45m)

試 験 者 井坂 圭佑

		全		試	料			2 m m &	るい通	過試料(沈降分	分析を行われ	ない場合)
	容器	No.		456	383	400		容器No	o			
含	m _a	g	174	1. 19	178. 33	187. 14	含	m _a	g			
水	m	g	153	3. 18	159. 50	164. 96	」 水	m b	g			
710	m	g	45	5. 15	45. 92	44. 81	7,1	m c	g			
比	W	%	19	9. 45	16. 58	18. 46	比	W 1	%			
	平均值	I w %			18. 2	·		平均值,	v 1 %		0.0)
(全	試 料 +	容器)	質量		g		(2mm	ふるい通過	計料+	·容器)質量	g	123. 7
容	器(No.) ′	質 量		g		容	器(No. 45	6)質	量	g	45. 2
全	試	料 質	量	m	n g	403.8	2 m m -	ふるい通:	過試料	の質量 m i	g	78. 5
全試	料の炉草	乾燥質量	$m_s = -$	$\frac{m}{1+w}$	g	341.6		るい通過 の炉乾燥		$a_{1s} = \frac{m_1}{1 + w_1/2}$	100 g	78. 5
2 m m	ふるい	难 邸 分	(試料+	容器) 宜	質量 g	140. 7	. 夕封	粗の恒i	\$ 榀 啠	量に対する		
		双田刀の試料	容器(No	o. 383)/j	質量 g	45. 9				単に対する	$\frac{m_s - m_{0s}}{m_s}$	0.722
	106 4 10	V) p4 作f	炉 乾	燥質	量 m 0s g	94.8	2111111	いの、価値	1 m-4 m-1 V /	/ 近 和 床 貝 里 儿	111 s	

2 mmふるい残留分 m_{0s} のふるい分析

ふるい	容器 No.	(残留試料+容器)質量	容器質量	残留試料質量	加積残留試料質量	加積残留率	通過質量百分率P(d)
				m(d)	$\sum m(d)$	$\frac{\sum m(d)}{m_s} \times 100$	$\left(1 - \frac{\sum m(d)}{m_s}\right) \times 100$
mm		g	g	g	g	%	%
75							
53							
37. 5							
26. 5		0.0	0.0	0.0	0.0	0.0	100. 0
19		18.5	0.0	18.5	18. 5	5. 4	94. 6
9. 5		16. 2	0.0	16. 2	34. 7	10. 2	89. 8
4. 75		25. 7	0.0	25. 7	60. 4	17.7	82. 3
2		34.4	0.0	34. 4	94.8	27.8	72. 2

2 mm ふるい通過分 m_{1s} のふるい分析(沈降分析を行わない場合)

		リ III _{ls} ツぬるい	7771 (10614-)	77/1/5/1/14/2	V 700 🗆 /		I	
ふるい	容器No.	(残留試料+容器)質量	容器質量	残留試料質量	加積残留試料質量	加積残留率	加積通過率P	通過質量百分率 $P(d)$
				m(d)	$\Sigma m(d)$	$\frac{\sum m(d)}{m_{1s}} \times 100$	$\left \left(1 - \frac{\sum m(d)}{m_{1s}} \right) \times 100 \right $	$\frac{m_{\text{s}}-m_{\text{0s}}}{m_{\text{s}}} imes P$
μ m		g	g	g	g	%	%	%
850		11. 9	0.0	11.9	11. 9	15. 2	84.8	61. 2
425		23. 1	0.0	23. 1	35. 0	44. 6	55. 4	40. 0
250		20. 5	0.0	20. 5	55. 5	70. 7	29. 3	21. 2
106		13. 2	0.0	13. 2	68. 7	87. 5	12. 5	9. 0
75		1.8	0.0	1.8	70. 5	89.8	10. 2	7. 4

粒 度 (ふるい分析) 試 土 \mathcal{O}

調 査 件 名 坂出市再編新校(前期)整備事業に伴う地質調査業務

試験年月日 2025年 9月 25日

試料番号(深さ) 1P-5(5.15~5.45m)

試 験 者 井坂 圭佑

		全	試	料			2mms	るい通	過試料(沈降分	∤析を行わ;	ない場合)
	容器	No.	394	366	509		容器No	o.			
含	<i>m</i> a	g	241.32	211. 25	208. 42	含	<i>m</i> a	g			
水	m _b	g	224. 35	193. 91	194. 28] - 水	m b	g			
710	<i>m</i> c	g	46. 26	45. 58	46. 59	/10	m c	g			
比	W	%	9. 53	11.69	9. 57	比	W 1	%			
	平均值	w %		10. 3			平均值,	w 1 %		0.0)
(全	試料+	容器)	質量	g		(2mm	ふるい通過	計料+	容器)質量	g	147. 1
容	器(No.) /j	重量	g		容	器(No. 39)4)質	量	g	46. 3
全	試料	斗 質	量	<i>m</i> g	522. 6	2 m m -	ふるい通:	過試料	の質量 m i	g	100.8
全試	料の炉乾	燥質量	111 5	<u>m</u> <u>w</u> /100 g	473.8		るい通過 の炉乾燥		$n_{1s} = \frac{m_1}{1 + w_1/1}$	g 100	100.8
2 m m	ふるい死	生 ፡ ፡ ፡ ፡ ፡ ፡ · · · · · · · · · · · · ·	(試料+容器)質量 g	260. 6	夕 討	粗の恒i	装 榀 麿	量に対する		
	かるい2		容器(No. 36	6)質 量 g	45. 6				単に対りる	<u>m₅ — m</u> ₀₅	0.546
· · · · · · · · · · · · · · · · · · ·	. ()L V * 1反(ノ門作	炉乾燥質	〔量 <i>m</i> ₀₅ g	215. 0	4111111	いの / 田胆	2 m4 74 0>	<i>下</i> 14 / / / / / / / / / / / / / / / / / /	III s	

2 mmふるい残留分 m_{0s} のふるい分析

	1	/racasass 10 0 0 0 0 0 0 0 0 0 0 0 0 0 0 0 0 0	* *	72 CT 24 W EF E	## 42 MAAFIN 47 # 1 m 4	the fak rik fill de	マルビョエハギ かんか
ふるい	容器 No.	(残留試料+容器)質量	容器質量	残留試料質量	加積残留試料質量	加積残留率	通過質量百分率P(d)
				m(d)	$\sum m(d)$	$\frac{\sum m(d)}{m_s} \times 100$	$\left \left(1 - \frac{\sum m(d)}{m_s} \right) \times 100 \right $
mm		g	g	g	g	%	%
75							
53							
37. 5		0.0	0.0	0.0	0.0	0.0	100.0
26. 5		95. 4	0.0	95. 4	95. 4	20. 1	79. 9
19		40. 7	0.0	40.7	136. 1	28.7	71. 3
9. 5		44. 5	0.0	44. 5	180. 6	38. 1	61. 9
4. 75		13. 9	0.0	13. 9	194. 5	41.1	58. 9
2		20. 5	0.0	20. 5	215. 0	45.4	54.6

2 mm ふるい通過分 m_{1s} のふるい分析(沈降分析を行わない場合)

∠ IIIII√3* ′		リ III _{ls} いるい	JJ 7/1 (1/LP4-)	ひかして 11 42 (す	V '-977 🗆 /			
ふるい	容器No.	(残留試料+容器)質量	容器質量	残留試料質量	加積残留試料質量	加積残留率	加積通過率P	通過質量百分率P(d)
				m(d)	$\Sigma m(d)$	$\frac{\sum m(d)}{m_{1s}} \times 100$	$\left \left(1 - \frac{\sum m(d)}{m_{1s}} \right) \times 100 \right $	$\frac{m_{\text{\tiny S}}-m_{\text{\tiny OS}}}{m_{\text{\tiny S}}}\times P$
μ m		g	g	g	g	%	%	%
850		30. 9	0.0	30. 9	30. 9	30. 7	69. 3	37.8
425		32. 7	0.0	32. 7	63. 6	63. 1	36. 9	20. 1
250		12. 6	0.0	12. 6	76. 2	75. 6	24. 4	13. 3
106		7. 1	0.0	7. 1	83. 3	82. 6	17. 4	9. 5
75		1.6	0.0	1.6	84. 9	84. 2	15.8	8. 6
						,		

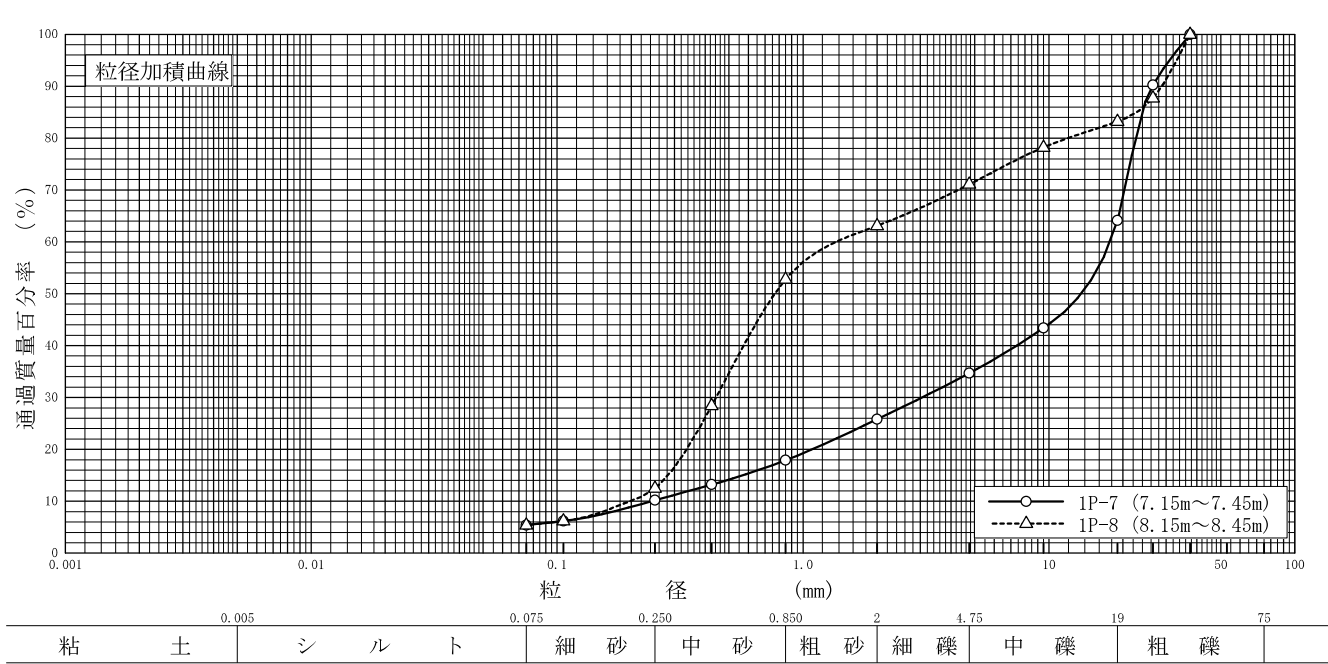
粒 度 試 \pm \mathcal{O} 験 (粒径加積曲線)

調査件名 坂出市再編新校(前期)整備事業に伴う地質調査業務

試験年月日 2025年 9月 25日

試 験 者 井坂 圭佑

										-	71 %	T
試料番号	1P - 7		1P - 8			試	料	番	号		1P-7	1P-8
(深 さ)	$(7.15 \sim 7.$	45m)	(8. 15∼8.	45m)		(深	ŧ		さ)		$(7.15 \sim 7.45 \text{m})$	(8. 15~8. 45m)
	粒 径 mm	通過質量百分率%	粒 径 mm	通過質量百分率%	粗		É	分		%	35. 9	16.8
	75		75		中		 Ř	分		%	29. 4	12. 1
ふ	53		53		細		 ₹	分		%	8. 9	8. 0
	37. 5	100.0	37. 5	100.0	粗	砂); 	分		%	7. 9	10. 3
る	26. 5	90. 2	26. 5	87. 7	中	配); 	分		%	7. 7	40. 3
2	19	64.1	19	83. 2	細	配) 	分		%	4.8	7. 1
٧١	9. 5	43.4	9. 5	78. 2	シ	ル	ト	分		%		A
٧.	4. 75	34. 7	4. 75	71. 1	粘	£	<u>.</u>	分		%	5. 4	5. 4
	2	25.8	2	63. 1	2mm	ふるレ	/通過	質量	百分率	%	25.8	63. 1
分	0.850	17. 9	0.850	52.8	425	μm ኤ·	るい通	過質量	百分率	%	13. 2	28. 4
	0. 425	13. 2	0. 425	28. 4	75 μ	mふる	い通道	B質量	:百分率	£ %	5. 4	5. 4
析	0. 250	10. 2	0. 250	12. 5	最	大	粒	径		mm	37. 5	37. 5
	0. 106	6. 2	0. 106	6. 2	60	%	粒	径	D_{-60}	mm	17. 7	1.36
	0.075	5. 4	0. 075	5. 4	50	%	粒	径	D 50	mm	13. 5	0.769
					30	%	粒	径	D_{-30}	mm	3. 05	0. 443
沈					10	%	粒	径	D_{-10}	mm	0. 242	0. 198
<i>IL</i>					均	等	係	数	U_{\circ}		73. 1	6. 87
降					曲	率	係	数	U_{\circ}'		2. 17	0. 729
					土;	粒子	の密	度	ρ _s ξ	g/cm³	<u> </u>	
分					使月	した。	分散剤	J				
析					溶液	凌濃度,	溶液	添加	量		_ 	<u> </u>
171					20	%	粒	径	D 20	mm	1.09	0. 336



特記事項

粒 度 (ふるい分析) 試 土 \mathcal{O}

調 査 件 名 坂出市再編新校(前期)整備事業に伴う地質調査業務

試験年月日 2025年 9月 25日

試料番号(深さ) 1P-7(7.15~7.45m)

試 験 者 井坂 圭佑

		全		試	料			2 m m &	るい通	過試料(沈降分	分析を行われ	ない場合)
	容器	No.	3	357	480	510		容器 No).			
含	m _a	g	146.	74	134. 31	134. 13	含	m _s	g			
水	m _b	g	141.	07	129.64	128. 84	水	m b	g			
711	<i>m</i> :	g	46.	04	46. 75	45. 12	/,(m 0	g			
比	W	%	5.	97	5, 63	6. 32	比	W 1	%			
	平均值	w %			6.0			平均値 v	v 1 %		0.0)
(全	試料+	容器)	質 量		g		(2mm∠	ふるい通過	試料+	容器)質量	g	88.6
容	器(No.)質	重量		g		容	器(No. 35	7)質	量	g	46.0
全	試 :	料 質	量	m	g	277. 3	2 m m .	ふるい通	過試料	の質量 m i	g	42.6
全試	料の炉草	5燥質量		$\frac{m}{1+w}$	g	261.6		るい通過の炉乾燥		$n_{1s} = \frac{m_1}{1 + w_1/2}$	100 g	42.6
9 m m	ふるい	建网公	(試料+3	容器)質	〔量 g	240.8	全 計	料の后首	對 榀 暦	量に対する		
	洗い後		容器(No.	480)質	〔量 g	46.8				単に対する	$\frac{m_s - m_{0s}}{m_s}$	0. 258
	10L V 1Q	V) Pr (197	炉乾燥	真質量	m 0s g	194. 0	2111111	この 4. 油値	1 11-4/17 47	// 平山水貝里儿	1118	

2 mmふるい残留分 mos のふるい分析

	ъ. //ч рад /	y 11103 - 10 Q .)	, h.i.				
ふるい	容器 No.	(残留試料+容器)質量	容器質量	残留試料質量	加積残留試料質量	加積残留率	通過質量百分率P(d)
				m(d)	$\sum m(d)$	$\frac{\sum m(d)}{m_s} \times 100$	$\left(1 - \frac{\sum m(d)}{m_s}\right) \times 100$
mm		g	g	g	g	%	%
75							
53							
37. 5		0.0	0.0	0. 0	0.0	0. 0	100. 0
26. 5		25. 7	0.0	25. 7	25. 7	9.8	90. 2
19		68. 2	0.0	68. 2	93. 9	35. 9	64. 1
9. 5		54. 2	0.0	54. 2	148. 1	56. 6	43. 4
4. 75		22.7	0.0	22. 7	170.8	65. 3	34. 7
2		23. 2	0.0	23. 2	194.0	74. 2	25. 8

2 mm ふるい通過分 m_{1s} のふるい分析(沈降分析を行わない場合)

		リ III ls いろいい (JJ 7/1 (1/LP4-)	77/12/11/12/14	V 700 LI /			
ふるい	容器No.	(残留試料+容器)質量	容器質量	残留試料質量	加積残留試料質量	加積残留率	加積通過率P	通過質量百分率P(d)
				m(d)	$\Sigma m(d)$	$\frac{\sum m(d)}{m_{1s}} \times 100$	$\left \left(1-\frac{\sum m(d)}{m_{1s}}\right)\times 100\right $	$\frac{m_{\text{\tiny S}}-m_{\text{\tiny OS}}}{m_{\text{\tiny S}}}\times P$
μ m		g	g	g	g	%	%	%
850		13. 1	0.0	13. 1	13. 1	30.8	69. 2	17. 9
425		7. 7	0.0	7. 7	20.8	48.8	51. 2	13. 2
250		5. 0	0.0	5. 0	25.8	60. 6	39. 4	10. 2
106		6. 6	0.0	6. 6	32. 4	76. 1	23. 9	6. 2
75		1. 3	0.0	1.3	33. 7	79. 1	20. 9	5. 4

粒 度 試 (ふるい分析) 土 \mathcal{O}

調 査 件 名 坂出市再編新校(前期)整備事業に伴う地質調査業務

試験年月日 2025年 9月 25日

試料番号(深さ) 1P-8(8.15~8.45m)

試 験 者 井坂 圭佑

		全		試	料			2 m m &	るい通	過試料(沈降分	分析を行わ;	ない場合)
	容器	No.	52	26	521	496		容器No).			
含	m _a	g	155.	14	178. 75	162. 11	含	<i>m</i> a	g			
水	m 6	g	141.	14	165.04	147.87	水	m b	g			
710	m :	g	46. 3	36	46.88	47. 19	/,(m c	g			
比	W	%	14.7	77	11.60	14. 14	比	W 1	%			
	平均值	Ĭ w %			13. 5			平均値 1	v 1 %		0.0)
(全	試料+	容器)	質量		g		(2mm∠	ふるい通過	試料+	·容器)質量	g	156. 7
容	器(No.) /j	重 量		g		容	器(No. 52	1)質	量	g	46. 9
全	試	料質	量	m	g	355.6	2 m m .	ふるい通:	過試料	の質量 m ı	g	109.8
全試	料の炉草	吃燥質量	$m_s = $	$\frac{m}{1+w/1}$	g g	313. 3		るい通過 の炉乾燥		$a_{1s} = \frac{m_1}{1 + w_1/2}$	100 g	109.8
9 m m	ふるい	建网公	(試料+容	器)質	量 g	162. 0	全 計	料の恒直	ち 榀 暦	量に対する		
	洗い後		容器(No.	526)質	·量 g	46. 4				単に対する	$\frac{m_s - m_{0s}}{m_s}$	0.631
	10L V 11Q	V) pr (141	炉 乾 燥	質量	m 0s g	115.6	2111111	いの / 通順	1111111111	/ 灯 和 / 水 貝 里 儿	111 s	

2 mmふるい残留分 m_{0s} のふるい分析

ふるい	容器 No.	(残留試料+容器)質量	容器質量	残留試料質量	加積残留試料質量	加積残留率	通過質量百分率P(d)
				m(d)	$\sum m(d)$	$\frac{\sum m(d)}{m_s} \times 100$	$\left(1 - \frac{\sum m(d)}{m_s}\right) \times 100$
mm		g	g	g	g	%	%
75							
53							
37. 5		0.0	0.0	0.0	0.0	0.0	100.0
26. 5		38. 5	0.0	38. 5	38. 5	12.3	87. 7
19		14.0	0.0	14. 0	52. 5	16.8	83. 2
9. 5		15.8	0.0	15. 8	68. 3	21.8	78. 2
4. 75		22. 1	0.0	22. 1	90. 4	28. 9	71. 1
2		25. 2	0.0	25. 2	115.6	36. 9	63. 1

2 mm ふるい通過分 m_1 のふるい分析(沈降分析を行わない場合)

	7 4 10100	J III Is V X X Y X	77 VI (VUIT-)	2 NI C 1145.92	· 30 日 /			
ふるい	容器 No.	(残留試料+容器)質量	容器質量	残留試料質量	加積残留試料質量	加積残留率	加積通過率P	通過質量百分率P(d)
				m(d)	$\Sigma m(d)$	$\frac{\sum m(d)}{m_{1s}} \times 100$	$\left \left(1-\frac{\sum m(d)}{m_{1s}}\right)\times 100\right $	
μ m		g	g	g	g	%	%	%
850		17. 9	0.0	17. 9	17. 9	16. 3	83. 7	52.8
425		42. 5	0.0	42. 5	60. 4	55. 0	45. 0	28. 4
250		27. 7	0.0	27. 7	88. 1	80. 2	19.8	12.5
106		10.8	0.0	10.8	98. 9	90. 1	9. 9	6. 2
75		1.5	0.0	1.5	100. 4	91.4	8. 6	5. 4

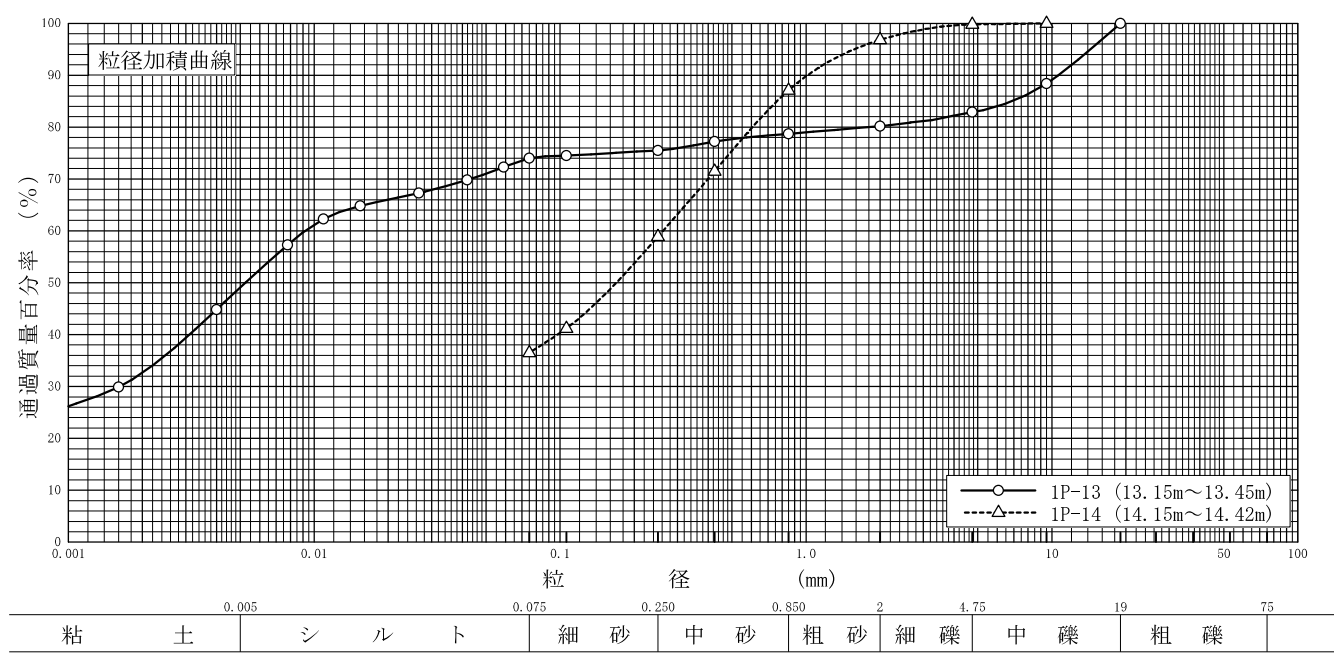
粒 度 試 \pm \mathcal{O} 験 (粒径加積曲線)

調査件名 坂出市再編新校(前期)整備事業に伴う地質調査業務

試験年月日 2025年 9月 25日

試 験 者 井坂 圭佑

											71 / 216	T
試料番号	1P-13		1P-14			試	料	番	号		1P-13	1P-14
(深 さ)	(13. 15~1	3.45m)	$(14.15 \sim 1)$	4.42m)		(沒	Ŕ		さ)		(13.15~13.45m)	(14. 15~14. 42m)
	粒 径 mm	通過質量百分率%	粒 径 mm	通過質量百分率%	粗	ē		分		%	0.0	0.0
	75		75		中	砲		分		%	17. 1	0. 2
ふ	53		53		細	砲		分		%	2. 7	3. 0
-	37. 5		37. 5		粗	ti	少	分		%	1. 5	9. 7
る	26. 5		26. 5		中	石	· · · · · · · · · · · · · · · · · · ·	分		%	3. 2	28. 2
. 2	19	100.0	19		細	石	少	分		%	1. 5	22.4
٧١	9. 5	88.4	9. 5	100.0	シ	ル	<u>۱</u>	分		%	25. 0	200 5
۷.	4. 75	82.9	4. 75	99.8	粘		Ŀ	分		%	49. 0	36. 5
	2	80. 2	2	96. 8	2mm	ふるい	・通過	質量	百分	率 %	80. 2	96. 8
分	0.850	78. 7	0.850	87. 1	425	μmኤ	るい通	過質量	百分	率 %	77. 2	71. 5
l se	0. 425	77.2	0. 425	71.5	75 μ	ιmふる	い通道	過質量	百分	率 %	74. 0	36. 5
析	0. 250	75. 5	0. 250	58. 9	最	大	粒	径		mm	19	9. 5
	0. 106	74. 5	0. 106	41.2	60	%	粒	径	D 60	mm	0. 00924	0. 262
	0. 075	74.0	0. 075	36. 5	50	%	粒	径	D 50	mm	0. 00524	0. 169
	0. 0590	72.3			30	%	粒	径	D 30	mm	0. 00161	_
ad-	0.0419	69.8			10	%	粒	径	D_{-10}	mm		_
沈	0.0266	67.3			均	等	係	数	U_{\circ}			_
降	0.0154	64.8			曲	率	係	数	U_{\circ}'		_	_
	0.0109	62.3			土	粒子	の密	度	$ ho_{ m s}$	$\rm g/cm^3$	2. 053	_
分	0.0078	57.3			使月	月した	分散剤	J			ヘキサメタ燐酸ナトリウム	
析	0.0040	44.8			溶液	返濃度	, 溶液	添加	量		20%, 10ml	_
171	0.0016	29.9			20	%	粒	径	D 20	mm	_	



粒 度 (ふるい分析) 試 土 \mathcal{O}

調 査 件 名 坂出市再編新校(前期)整備事業に伴う地質調査業務

試験年月日 2025年 9月 25日

試料番号(深さ) 1P-13(13.15~13.45m)

試 験 者 井坂 圭佑

	m .7 (1)	,,	11 10 (10.10	, 10. 10m/					
		全	試	料			2mmふ	るい通	通過試料(沈降分析を行わない場合)
	容器N	0.	89	19	76		容器 No).	
含	<i>m</i> _a	g	80. 33	90.74	82. 57	含	m _s	g	
水	т ь	g	64. 14	69. 18	64. 88	水	$m_{\scriptscriptstyle \mathrm{b}}$	g	
//	<i>m</i> 0	g	50. 23	50. 27	49. 24	//	m _o	g	
比	W	%	116. 39	114.01	113. 11	比	W 1	%	
	平均值	w %		114.5			平均値 n	v ₁ %	
(全	試料+3	容器)	質量	g		(2mm3	ふるい通過	試料-	+容器)質量 g
容	器(No.)質	重 量	g		容	器(No.) 貨	質 量 g
全	試 料	· 質	量 n	n g	103. 9	2 m m -	ふるい通i	過試彩	升の質量 <i>m</i> i g
全試	料の炉乾	燥質量	$m_s = \frac{m}{1+w}$	<u>1</u> /100 g	48. 4		るい通過 の炉乾燥9		$m_{1s} = \frac{m_1}{1 + w_1 / 100}$ g
9 m m	ふるい残	: 郊 厶	(試料+容器)	質量 g	59. 9	企 討	料の后	许 榀 应	質量に対する
	かるいな 洗い後の		容器(No. 19)	質量 g	50. 3				^{夏 重 に 対 す る} <u>ms − mos</u> の炉乾燥質量比 <u>ms</u>
w / / / / / / / / / / / / / / / / / / /	-{/L V * 1友 V.	ノ戸へ作	炉 乾 燥 質	量 m 0s g	9. 6	الاللام	らの v , 囲 胴	#\^+V	// // 光·· / / · · · · · · · · · · · · ·

2 mmふるい残留分 m_{0s} のふるい分析

ふるい	容器 No.	(残留試料+容器)質量	容器質量	残留試料質量	加積残留試料質量	加積残留率	通過質量百分率P(d)
				m(d)	$\sum m(d)$	$\frac{\sum m(d)}{m_s} \times 100$	$\left(1 - \frac{\sum m(d)}{m_s}\right) \times 100$
mm		g	g	g	g	%	%
75							
53							
37. 5							
26. 5							
19		0.0	0.0	0.0	0.0	0.0	100.0
9. 5		5. 6	0.0	5. 6	5. 6	11. 6	88. 4
4. 75		2. 7	0.0	2.7	8. 3	17. 1	82. 9
2		1.3	0.0	1.3	9. 6	19.8	80. 2

2 mmふるい通過分 m_{1s} のふるい分析(沈降分析を行わない場合)

ふるい	容器 No.	(残留試料+容器)質量	容器質量	残留試料質量	加積残留試料質量		加積通過率P	
				m (d)	$\Sigma m(d)$	$\frac{\sum m(d)}{m_{1s}} \times 100$	$\left \left(1 - \frac{\sum m(d)}{m_{1s}} \right) \times 100 \right $	$\frac{m_{\text{s}}-m_{\text{0s}}}{m_{\text{s}}}\times P$
μ m		g	g	g	g	%	%	%
850								
425								
250								
106								
75								

土 の 粒 度 試 験 (2mmふるい通過分分析)

調 査 件 名 坂出市再編新校(前期)整備事業に伴う地質調査業務

試験年月日 2025年 9月 25日

試料番号(深さ) 1P-13(13.15~13.45m)

試 験 者 井坂 圭佑

		2 m	ı ふ る い 追	通 遇 試	料	土 粒 子 の 密 度 ρ。 g/cm³	2. 053
	容器 No		623			塑 性 指 数 I,	125. 0
含	<i>m</i> a	g	29. 64			分散装置の容器 No.	1
水	m b	g	28.70			メスシリンダー No.	3
714	<i>m</i> .	g	28. 09			浮 ひ ょ う No.	4
比	W_1	%	154. 10			メニスカス補正値 <i>C</i> _n	0. 0005
	平均值 w	V1 %		154. 1		使用した分散剤、溶液濃度、溶液添加量	
(沈降	分析用試料	斗+容	器)質量	g	129.6	ヘキサメタ燐酸ナトリウム,20%,1	Om1
容	器(No. 14	0)	質 量	g	50. 4	全試料の炉乾燥質量に対する m _s -m _{0s}	0.000
沈降	分析用	試 料	質量 m	g	79. 2	2mmふるい通過試料の炉乾燥質量の比 ms	0.802
	分析用試料	i	$m_{1s} = \frac{m_1}{1 + w_1/16}$	g g	31. 2	$M = \frac{V}{m_{1s}} \frac{\rho_s}{\rho_s - \rho_w} \rho_w \times 100$	6213. 0

沈降分析

<u> </u>									
1	2	3	4	5	6	7	8	9	10
測定時刻 経過時	間 浮ひょ	うの読み	測定時	有効深さ		粒 径 d	補正係数	加積通過率P	通過質量百分率
t	小数部分		の水温	L	30 η	$\bigcirc \times \sqrt{\frac{L}{t}}$	F	M ×(3)+F)	$\frac{P(d)}{m_s - m_{0s}} \times P$
min	r	$r + C_n$	$^{\circ}$ C	mm	$\sqrt{g_{\scriptscriptstyle \rm R}(\rho_{\scriptscriptstyle \rm S}-\rho_{\scriptscriptstyle W})}$	mm		%	
1	0120	0125	25	133.8	0.0051	0.0590	0.0020	90. 1	72. 3
2	0115	0120	25	134. 7	0.0051	0.0419	0.0020	87. 0	69.8
5	0110	0115	25	135. 7	0.0051	0.0266	0.0020	83. 9	67.3
15	0105	0110	25	136. 7	0.0051	0.0154	0.0020	80.8	64.8
30	0100	0105	25	137. 6	0.0051	0.0109	0.0020	77.7	62.3
60	0090	0095	25	139. 5	0.0051	0.0078	0.0020	71.4	57. 3
240	0065	0070	25	144. 3	0.0051	0.0040	0.0020	55. 9	44.8
1440	0040	0045	24	149. 2	0.0051	0.0016	0.0015	37. 3	29. 9

ふるい分析(沈降分析を行う場合)

ふるい	容器No.	(残留試料+容器)質量	容器質量	残留試料質量	加積残留試料質量	加積残留率	加積通過率 <i>P</i>	通過質量百分率 $P(d)$
				$m^{(d)}$	$\Sigma m(d)$	$\frac{\sum m(d)}{m_{1s}} \times 100$	$\left \left(1 - \frac{\sum m (d)}{m_{1s}} \right) \times 100 \right $	$\frac{m_{\text{\tiny S}}-m_{\text{\tiny OS}}}{m_{\text{\tiny S}}}\times P$
μ m		g	g	g	g	%	%	%
850		0.6	0.0	0.6	0.6	1. 9	98. 1	78. 7
425		0.6	0.0	0.6	1. 2	3.8	96. 2	77. 2
250		0.6	0.0	0.6	1.8	5. 8	94. 2	75. 5
106		0. 4	0.0	0.4	2. 2	7. 1	92. 9	74. 5
75		0. 2	0.0	0.2	2. 4	7. 7	92. 3	74. 0

粒 度 (ふるい分析) 試 土 \mathcal{O}

調 査 件 名 坂出市再編新校(前期)整備事業に伴う地質調査業務

試験年月日 2025年 9月 25日

試料番号(深さ) 1P-14(14.15~14.42m)

試 験 者 井坂 圭佑

			全		弒		料			2 m m &	るい通	過試料(沈降分	分析を行わ;	ない場合)
	容器	No.			114		194	97		容器No	э.			
含	m _a		g	148	3. 97	13	37. 88	145.80	含	$m_{\scriptscriptstyle 8}$	g			
水	m b	:	g	136	5. 34	12	26. 14	133.00	水	$m_{ m b}$	g			
//<	m o		g	49	9. 37	4	49. 08	49.83	///	m	g			
比	W	(%	14	1. 52		15. 23	15. 39	比	W_1	%			
	平均值	w	%				15.0			平均值,	w ₁ %		0.0)
(全	試料+	容者	2000年)	質 量			g		(2mm⊰	ふるい通過	B試料+	-容器)質量	g	118. 9
容	器(No.)質	量			g		容	器(No. 54	16)貿	〔 量	g	47. 0
全	試	H 料	質	量	m	1	g	284.4	2 m m 🗸	ふるい通	過試料	·の質量 m	g	71. 9
全試	料の炉草	 た燥質	量	<i>m</i> ₃= -	1+ w		- g	247. 3		るい通過の炉乾燥	I	$m_{1s} = \frac{m_1}{1 + w_1/2}$	100 g	71. 9
2 m m	ふるい	能切		(試料+	容器)	質量	g	57.1	企 討	料の炬	故相应	〔量に対する		
	洗い後		.	容器(N	o. 194)	質量	g	49. 1				(単に刈りる)炉乾燥質量比	$\frac{m_s - m_{0s}}{m_s}$	0.968
	· 1/L V 11友	マン 記入	171	炉乾	燥質	量 <i>n</i>	10s g	8. 0	41111114	いの 4 油地	ያ ውላ ተተ ۷.	アド 私 床 貝 里 ル	III s	

2 mmふるい残留分 m_{0s} のふるい分析

	У / Д Ш .	7 1110s 12 43 82 4 75	7 V I				
ふるい	容器 No.	(残留試料+容器)質量	容器質量	残留試料質量	加積残留試料質量	加積残留率	通過質量百分率 $P(d)$
				m(d)	$\sum m(d)$	$\frac{\sum m(d)}{m_s} \times 100$	$\left(1 - \frac{\sum m(d)}{m_s}\right) \times 100$
mm		g	g	g	g	%	%
75							
53							
37. 5							
26. 5							
19							
9. 5		0.0	0.0	0.0	0.0	0.0	100. 0
4. 75		0.5	0.0	0.5	0. 5	0. 2	99.8
2		7. 5	0.0	7. 5	8. 0	3. 2	96.8

2 mm ふるい通過分 m_1 のふるい分析(沈降分析を行わない場合)

	, veve	J III Is V XXX V	77 VI (VUIT-)	2 NI C 1145.92	· 30 日 /			
ふるい	容器No.	(残留試料+容器)質量	容器質量	残留試料質量	加積残留試料質量	加積残留率	加積通過率P	通過質量百分率 $P(d)$
				m(d)	$\Sigma m(d)$	$\frac{\sum m(d)}{m_{1s}} \times 100$	$\left \left(1-\frac{\sum m(d)}{m_{1s}}\right)\times 100\right $	
μ m		g	g	g	g	%	%	%
850		7.2	0.0	7. 2	7. 2	10.0	90. 0	87. 1
425		11.6	0.0	11.6	18.8	26. 1	73. 9	71.5
250		9. 4	0.0	9. 4	28. 2	39. 2	60.8	58. 9
106		13. 1	0.0	13. 1	41.3	57. 4	42.6	41.2
75		3. 5	0.0	3. 5	44.8	62. 3	37. 7	36. 5

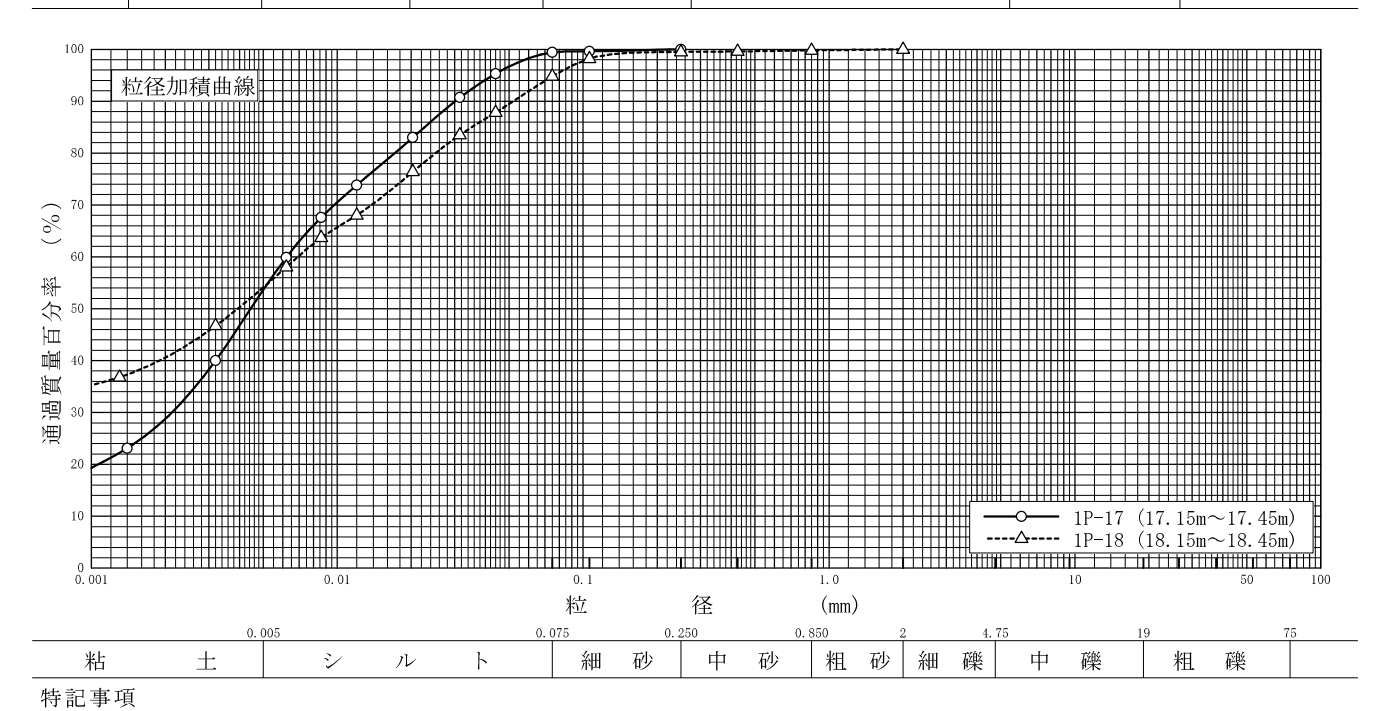
粒 度 試 験 (粒径加積曲線) 土 の

調査件名 坂出市再編新校(前期)整備事業に伴う地質調査業務

試験年月日 2025年 9月 25日

試 験 者 井坂 圭佑

									,, ,			71 //	T
試料番号	1P-17		1P-18			討	Ĵ	料	番	号		1P-17	1P-18
(深 さ)	(17. 15~1	7.45m)	(18. 15∼1	8.45m)		(深			さ)		$(17.15 \sim 17.45 \text{m})$	(18. 15~18. 45m)
	粒 径 mm	通過質量百分率%	粒 径 mm	通過質量百分率%	粗		礫		分		%	0.0	0.0
	75		75		中		礫		分		%	0.0	0.0
ふ	53		53		細		礫		分		%	0.0	0.0
	37. 5		37. 5		粗		砂		分		%	0.0	0.2
る	26. 5		26. 5		中		砂		分		%	0.0	0.3
ð	19		19		細		砂		分		%	0.6	4. 7
٧١	9. 5		9. 5		シ	ル		<u>۲</u>	分		%	45.8	40.7
٧.	4. 75		4. 75		粘		土		分		%	53. 6	54. 1
/\	2		2	100. 0	2mn	nふる	5 V Y	通過質	質量	百分	率 %	100. 0	100.0
分	0.850		0.850	99.8	425	5 μ m .	ふる	い通道	到質量	直百分	率 %	100.0	99. 6
l se	0. 425		0. 425	99. 6	75,	μms	る	い通過	質量	首子)	率 %	99. 4	94. 8
析	0. 250	100.0	0. 250	99. 5	最	大		粒	径		mm	0. 250	2
	0. 106	99.6	0. 106	98. 2	60	%		粒	径	D 60	mm	0. 00623	0. 00694
	0. 075	99.4	0.075	94. 8	50	%		粒	径	D 50	mm	0. 00445	0.00395
	0.0440	95. 3	0. 0440	87.8	30	%		粒	径	$D_{_{_{_{_{30}}}}}$	mm	0.00212	_
沈	0. 0315	90. 7	0. 0315	83. 5	10	%		粒	径	D_{-10}	mm	_	_
<i>i</i> /L	0. 0203	83. 0	0. 0203	76. 4	均	等		係	数	U_{\circ}			_
降	0.0120	73.8	0.0120	68. 0	曲	率		係	数	U_{\circ}'			_
	0.0086	67.6	0.0086	63. 7	土.	粒 -	子 (の密	度	$ ho_{ m s}$	$\mathrm{g/cm^3}$	2. 667	2. 662
分	0.0062	59. 9	0.0062	58. 0	使月	用し7	とら	散剤				ヘキサメタ燐酸ナトリウム	ヘキサメタ燐酸ナトリウム
析	0.0032	40.0	0.0032	46. 7	溶剂	夜濃月	隻,	溶液	添加	量		20%, 10ml	20%,10m1
וער	0.0014	23. 1	0.0013	36. 8	20	%		粒	径	D_{20}	mm	0.00106	_



土 の 粒 度 試 験 (2mmふるい通過分分析)

調 査 件 名 坂出市再編新校(前期)整備事業に伴う地質調査業務

試験年月日 2025年 9月 25日

試料番号(深さ) 1P-17(17.15~17.45m)

試 験 者 井坂 圭佑

		2 m	n ふ る い i	通		土 粒 子 の 密 度 ρ _s g/cm³	2. 667
	容器No) .	646	704	616	塑 性 指 数 I,	54. 5
含	<i>m</i> a	g	61.67	61.74	57. 73	分散装置の容器 No.	1
水	m 6	g	52.49	52. 67	49. 21	メスシリンダー No.	4
715	<i>m</i> .	g	30. 16	30. 11	28. 19	浮 ひ ょ う No.	91
比	W 1	%	41.11	40. 20	40. 53	メニスカス補正値 C_{m}	0. 0005
	平均值	v 1 %		40.6		使用した分散剤、溶液濃度、溶液添加量	
(沈降	分析用試	料+容	器)質量	g	122.3	ヘキサメタ燐酸ナトリウム,20%,1	Om1
容	器(No. 49)	質 量	g	49.5	全試料の炉乾燥質量に対する m _s -m _{0s}	1 000
沈 降	分析用	試料	質量 m	g	72.8	2mmふるい通過試料の炉乾燥質量の比 ms	1. 000
	分析用試	`` i	$m_{1s} = \frac{m_1}{1 + w_1/1}$	<u> </u>	51.8	$M = \frac{V}{m_{1s}} \frac{\rho_s}{\rho_s - \rho_w} \rho_w \times 100$	3074. 0

沈降分析

(D	2	3	4	(5)	6	7	8	9	10
測定時刻	経過時間	浮ひょ	うの読み	測定時	有効深さ		粒 径 d	補正係数	加積通過率P	通過質量百分率
	t	小数部分		の水温	L	30 η	$6\times\sqrt{\frac{L}{t}}$	F	$M \times (3 + F)$. — × P
	min	r	$r + C_n$	$^{\circ}\!\mathbb{C}$	mm	$\sqrt{g_{\scriptscriptstyle \rm R}(\rho_{\scriptscriptstyle m S}-\rho_{\scriptscriptstyle m W})}$	mm		%	<i>m</i> _s
	1	0285	0290	25	120.8	0.0040	0. 0440	0. 0020	95. 3	95. 3
	2	0270	0275	25	123. 9	0.0040	0. 0315	0.0020	90. 7	90. 7
	5	0245	0250	25	129. 1	0.0040	0. 0203	0. 0020	83.0	83. 0
	15	0215	0220	25	135. 3	0.0040	0.0120	0. 0020	73.8	73.8
	30	0195	0200	25	139. 5	0.0040	0.0086	0. 0020	67. 6	67. 6
	60	0170	0175	25	144. 7	0.0040	0.0062	0.0020	59. 9	59. 9
	240	0105	0110	25	158. 2	0.0040	0.0032	0. 0020	40.0	40.0
	1440	0055	0060	24	168.5	0.0041	0.0014	0.0015	23. 1	23. 1

ふるい分析(沈降分析を行う場合)

~20V.	77 701 (1/1	1年77月で11フ	物ロノ					
ふるい	容器No.	(残留試料+容器)質量	容器質量	残留試料質量	加積残留試料質量	加積残留率	加積通過率 <i>P</i>	通過質量百分率 $P(d)$
				$m^{(d)}$	$\Sigma m(d)$	$\frac{\sum m(d)}{m_{1s}} \times 100$	$\left \left(1 - \frac{\sum m (d)}{m_{1s}} \right) \times 100 \right $	$\left \frac{m_{\text{\tiny S}}-m_{\text{\tiny OS}}}{m_{\text{\tiny S}}}\times P\right $
μ m		g	g	g	g	%	%	%
850								
425								
250		0.0	0.0	0.0	0. 0	0. 0	100.0	100.0
106		0.2	0.0	0. 2	0. 2	0. 4	99. 6	99. 6
75		0. 1	0.0	0.1	0. 3	0.6	99. 4	99. 4

粒 度 試 土 (ふるい分析) \mathcal{O}

調 査 件 名 坂出市再編新校(前期)整備事業に伴う地質調査業務

試験年月日 2025年 9月 25日

試料番号(深さ) 1P-18(18.15~18.45m)

試 験 者 井坂 圭佑

		全		弒	料			2 m m &	るい通	過試料(沈降	分析を行わ	ない	場合)
	容器N	ο.		711	716	5 728		容器No	ο.				
含	<i>m</i> _a	g	81	. 96	79. 84	90. 59	含	m _a	g				
水	<i>m</i> _b	g	63	3. 75	62. 45	69.47	·- ·- 水	m ь	g				
/1/	<i>m</i> :	g	29	0.81	29. 98	30. 17		<i>m</i> c	g				
比	W	%	53	3. 65	53. 56	53. 74	比	W 1	%				
	平均值	w %			53. 7	7		平均值,	w ₁ %			'	
(全	試料+3	字器)	質量		g	136. 5	(2mm	ふるい通過	試料-	├容器)質量	g		
容	器(No. 23	3)質	重 量		g	49. 9	容	器(No.)質	重 量	g		
全	試 料	質	量	m	n g	86. 6	2 m m >	ふるい通:	過試彩	の質量 m	ı g		
全試	料の炉乾	燥質量	$m_s = -$	1+ w	s	56. 3		るい通過 の炉乾燥	1	$m_{1s} = \frac{m}{1 + w_{1}}$	g		
2 m m	ふるい残	- 20 分	(試料+	容器) 匀	質量 g	0.0	- 全 計	料の恒i	對 懝 層	賃量に対する			
	、洗い後の		容器(No	o.)′ှ	質量 g)炉乾燥質量比	<i>m</i> s − <i>m</i> 0s		
~> /],	() L () [X ()	, h-z (1-1	炉乾	燥質	量 m 0s g	0.0	Zinin		3 11-47-7 V	/ // 中山水貝里儿	211 0		

2 mmふるい残留分 m_{0s} のふるい分析

2 mmv3- 6	/ /// ш	77 III US *> *> - *> * 7.	ועי				
ふるい	容器 No.	(残留試料+容器)質量	容器質量	残留試料質量	加積残留試料質量	加積残留率	通過質量百分率P(d)
				m(d)	$\sum m(d)$	$\frac{\sum m(d)}{m_s} \times 100$	$\left(1 - \frac{\sum m(d)}{m_s}\right) \times 100$
mm		g	g	g	g	%	%
75							
53							
37. 5							
26. 5							
19							
9. 5							
4. 75							
2		0.0	0.0	0.0	0.0	0.0	100.0

2 mmふるい通過分 m_{1s} のふるい分析(沈降分析を行わない場合)

ふるい	容器No.	(残留試料+容器)質量	容器質量	残留試料質量	加積残留試料質量		加積通過率P	通過質量百分率P(d)
				m(d)	$\Sigma m(d)$	$\frac{\sum m(d)}{m_{1s}} \times 100$	$\left \left(1 - \frac{\sum m(d)}{m_{1s}} \right) \times 100 \right $	
μ m		g	g	g	g	%	%	%
850								
425								
250								
106								
75								
								

土 の 粒 度 試 験 (2mmふるい通過分分析)

調 査 件 名 坂出市再編新校(前期)整備事業に伴う地質調査業務

試験年月日 2025年 9月 25日

試料番号(深さ) 1P-18(18.15~18.45m)

試 験 者 井坂 圭佑

		2 m	n ふ る い i	通 遇 試 料		土 粒 子 の 密 度 ρ。 g/cm³	2. 662
	容器No).	711	716	728	塑 性 指 数 I,	42. 6
含	<i>m</i> a	g	81. 96	79.84	90. 59	分散装置の容器 No.	1
水	<i>m</i> ₀	g	63. 75	62. 45	69. 47	メスシリンダー No.	1
710	<i>m</i> .	g	29. 81	29. 98	30. 17	浮 ひ ょ う No.	91
比	W_1	%	53. 65	53. 56	53.74	メニスカス補正値 <i>C</i> _m	0.0005
	平均値 🛚	v 1 %		53. 7		使用した分散剤、溶液濃度、溶液添加量	
(沈降	分析用試料	科+容	器)質量	g	136.5	ヘキサメタ燐酸ナトリウム,20%,1	Om1
容	器(No. 23)	質 量	g	49. 9	全試料の炉乾燥質量に対する m _s -m _{0s}	1 000
沈降	分析用	試 料	質量 <i>m</i> 1	g	86.6	2mmふるい通過試料の炉乾燥質量の比 ms	1.000
	分析用試	i	$m_{1s} = \frac{m_1}{1 + w_1/1}$	00 g	56. 3	$M = \frac{V}{m_{1s}} \frac{\rho_s}{\rho_s - \rho_w} \rho_w \times 100$	2831. 4

沈降分析

	1)	2	3	4	5	6	7	8	9	10
測定時刻	経過時間	浮ひょ	うの読み	測定時	有効深さ		粒 径 d	補正係数	加積通過率P	通過質量百分率
	t	小数部分		の水温	L	30 η	$6\times\sqrt{\frac{L}{t}}$	F	$M \times (3 + F)$	— × P
	min	r	$r + C_n$	$^{\circ}\!\mathbb{C}$	mm	$\sqrt{g_{\scriptscriptstyle \rm R}(\rho_{\scriptscriptstyle m S}-\rho_{\scriptscriptstyle W})}$	mm		%	<i>m</i> _* **
	1	0285	0290	25	120.8	0.0040	0. 0440	0. 0020	87.8	87.8
	2	0270	0275	25	123. 9	0.0040	0. 0315	0.0020	83. 5	83. 5
	5	0245	0250	25	129. 1	0.0040	0. 0203	0. 0020	76. 4	76. 4
	15	0215	0220	25	135. 3	0.0040	0.0120	0. 0020	68. 0	68. 0
	30	0200	0205	25	138. 4	0.0040	0. 0086	0. 0020	63. 7	63. 7
	60	0180	0185	25	142.6	0.0040	0.0062	0.0020	58. 0	58. 0
	240	0140	0145	25	150. 9	0.0040	0.0032	0. 0020	46. 7	46. 7
	1440	0100	0105	27	159. 2	0.0040	0.0013	0.0025	36.8	36. 8

ふるい分析(沈降分析を行う場合)

~~~~.	77 701 (1/1	1年77月で11フ	物ロノ					
ふるい	容器No.	(残留試料+容器)質量	容器質量	残留試料質量	加積残留試料質量	加積残留率	加積通過率 <i>P</i>	通過質量百分率 $P(d)$
				m (d)	$\Sigma m(d)$	$\frac{\sum m(d)}{m_{1s}} \times 100$	$\left  \left( 1 - \frac{\sum m (d)}{m_{1s}} \right) \times 100 \right $	$\left \frac{m_{\text{\tiny S}}-m_{\text{\tiny OS}}}{m_{\text{\tiny S}}}\times P\right $
$\mu$ m		g	g	g	g	%	%	%
850		0. 1	0.0	0. 1	0. 1	0.2	99.8	99.8
425		0. 1	0.0	0. 1	0. 2	0. 4	99. 6	99. 6
250		0. 1	0.0	0. 1	0. 3	0. 5	99. 5	99. 5
106		0. 7	0.0	0. 7	1. 0	1.8	98. 2	98. 2
75		1.9	0.0	1. 9	2. 9	5. 2	94. 8	94. 8

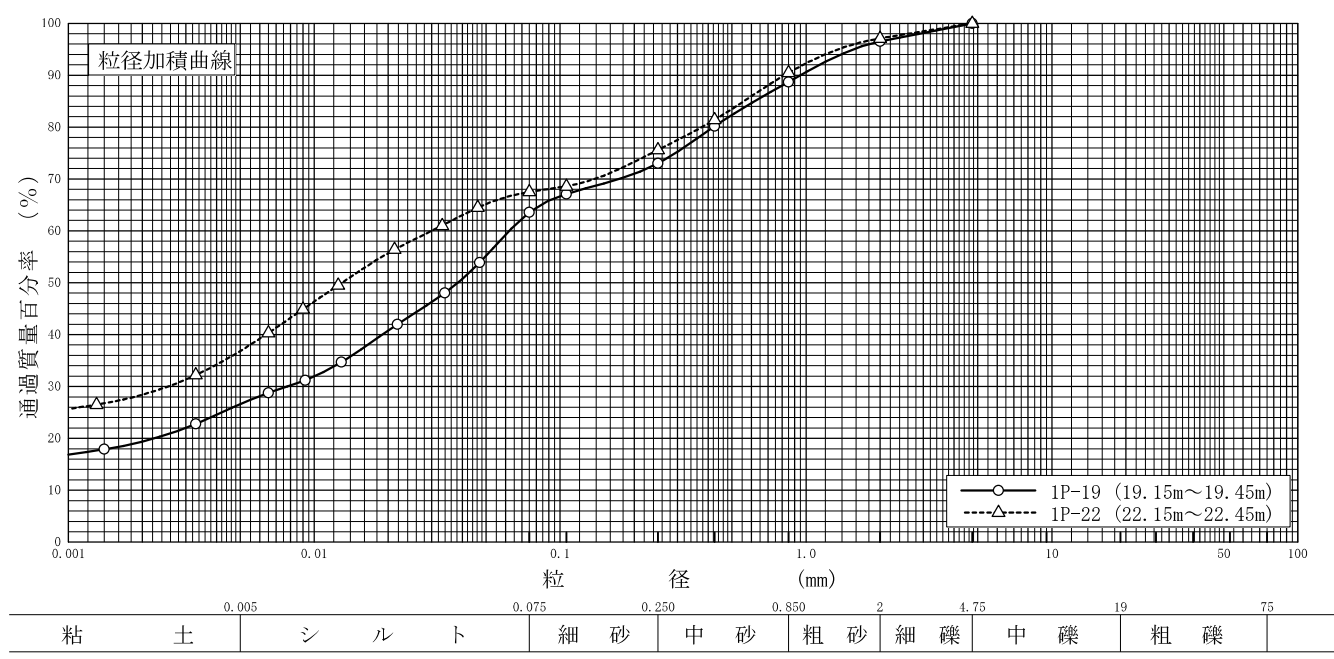
#### 粒 度 試 験 (粒径加積曲線) $\pm$ $\mathcal{O}$

調査件名 坂出市再編新校(前期)整備事業に伴う地質調査業務

試験年月日 2025年 9月 25日

試 験 者 井坂 圭佑

	T				_							7121 216	Т
試料番号	1P-19		1P-22			試		料	番	号		1P-19	1P-22
(深 さ)	(19. 15~1	9.45m)	(22. 15~2	2.45m)		(	深			さ)		(19.15~19.45m)	$(22.15\sim22.45\text{m})$
	粒 径 mm	通過質量百分率%	粒 径 mm	通過質量百分率%	粗		礫		分		%	0.0	0.0
	75		75		中		礫		分		%	0.0	0.0
ふ	53		53		細		礫		分		%	3. 5	2. 9
	37. 5		37. 5		粗		砂		分		%	7.8	6. 6
る	26. 5		26. 5		中		砂		分		%	15. 7	14. 9
9	19		19		細		砂		分		%	9. 4	8. 1
٧١	9. 5		9. 5		シ	ル		<u>۲</u>	分		%	37. 0	30. 7
٧.	4. 75	100.0	4. 75	100. 0	粘		土		分		%	26. 6	36.8
/\	2	96. 5	2	97. 1	2mm	ふる	٧٧	通過質	質量	百分	率 %	96. 5	97. 1
分	0.850	88. 7	0.850	90. 5	425	5 μ m 3	53	い通道	過質量	直百分:	率 %	80. 2	81. 4
l se	0. 425	80. 2	0. 425	81.4	75 /	иms	るい	ハ通過	質量	百分	率 %	63. 6	67. 5
析	0. 250	73.0	0. 250	75. 6	最	大		粒	径		mm	4. 75	4. 75
	0. 106	67.1	0. 106	68. 6	60	%		粒	径	D 60	mm	0. 0622	0. 0301
	0. 075	63.6	0. 075	67. 5	50	%		粒	径	D 50	mm	0. 0384	0.0130
	0.0471	53. 9	0. 0462	64. 5	30	%		粒	径	D 30	mm	0. 00777	0. 00255
Sel-s	0. 0339	48.0	0. 0331	61.0	10	%		粒	径	$D_{-10}$	mm	_	_
沈	0.0218	42.0	0. 0212	56. 4	均	等		係	数	$U_{\circ}$			_
降	0.0129	34. 7	0. 0125	49. 5	曲	率		係	数	$U_{\circ}'$		_	_
	0.0092	31.2	0.0090	44. 9	土	粒子	<u>-</u> (	の密	度	$ ho_{ m s}$	$\rm g/cm^3$	2. 671	2.657
分	0.0065	28.8	0. 0065	40. 3	使月	用した	: 分	散剤				ヘキサメタ燐酸ナトリウム	ヘキサメタ燐酸ナトリウム
析	0.0033	22.8	0.0033	32. 2	溶剂	夜濃月	ŧ,	溶液	添加	量		20%,10ml	20% , 10ml
וער	0.0014	17.9	0.0013	26. 5	20	%		粒	径	D 20	mm	0.00224	



#### 粒 度 (ふるい分析) 試 土 $\mathcal{O}$

調 査 件 名 坂出市再編新校(前期)整備事業に伴う地質調査業務

試験年月日 2025年 9月 25日

試料番号(深さ) 1P-19(19.15~19.45m)

試 験 者 井坂 圭佑

		全	試	料			2mmふる	い通	過試料(沈降/	分析を行わ	ない場合)
	容器	No.	612	670	737		容器 No.				
含	m _a	g	68. 00	74. 60	73. 53	含	<i>m</i> ₈	g			
水	<b>m</b> 6	g	61.42	67. 51	65. 62	] - 7k	<b>m</b> b	g			
711	<i>m</i> .	g	28. 22	30. 14	30. 15		<b>m</b> c	g			
比	W	%	19.82	18. 97	22. 30	比	<b>W</b> 1	%			
	平均值	w %		20.4			平均值 w	1 %			
(全	試料+	容器)	質 量	g		(2mm	ふるい通過詞	試料-	-容器)質量	g	
容	器(No.	) 質	重 量	g		容	器(No.	) 質	重量	g	
全	試 *	斗 質	量 n	n g	127.6	2 m m .	ふるい通過	試料	·の質量 m	g	
全試	料の炉乾	燥質量	$m_s = \frac{n}{1+w}$	<u>n</u> /100 g	106. 0		、るい通過 の炉乾燥質		$m_{1s} = \frac{m_1}{1 + w_1/2}$	g	
2 m m	ふるい死	生 ፡ ፡ ፡ ፡ ፡ · · · · · · · · · · · · · ·	(試料+容器)	質量 g	53. 7	<b>全計</b>	・料の炉散	据 煌	〔量に対する		
	かるい?		容器(No. 91 )	質量 g	50. 0				(単に対りる) )炉乾燥質量比	$\frac{m_s - m_{0s}}{m_s}$	
	10. 4.10. 4	/ノ IPV 作士	炉 乾 燥 質	量 <b>m</b> 0s g	3. 7	2111111	いって 田間中	~140	/ / ・・・・・・・・・・・・・・・・・・・・・・・・・・・・・・・・・・	III s	

### 2 mmふるい残留分 m_{0s} のふるい分析

		7, 1110s +> +3 & + 7,					
ふるい	容器 No.	(残留試料+容器)質量	容器質量	残留試料質量	加積残留試料質量	加積残留率	通過質量百分率 $P(d)$
				m(d)	$\Sigma m(d)$	$\frac{\sum m(d)}{m_s} \times 100$	$\left  \left( 1 - \frac{\sum m(d)}{m_s} \right) \times 100 \right $
mm		g	g	g	g	%	%
75							
53							
37. 5							
26. 5							
19							
9. 5							
4. 75		0.0	0.0	0. 0	0.0	0.0	100.0
2		3. 7	0.0	3. 7	3. 7	3. 5	96. 5

### 2 mmふるい通過分 $m_{1s}$ のふるい分析(沈降分析を行わない場合)

ふるい	容器No.	(残留試料+容器)質量	容器質量	残留試料質量	加積残留試料質量		加積通過率P	通過質量百分率P(d)
				m(d)	$\Sigma m(d)$	$\frac{\sum m(d)}{m_{1s}} \times 100$	$\left  \left( 1 - \frac{\sum m(d)}{m_{1s}} \right) \times 100 \right $	
$\mu$ m		g	g	g	g	%	%	%
850								
425								
250								
106								
75								<del></del>
								<b></b>

# 土 の 粒 度 試 験 (2mmふるい通過分分析)

調 査 件 名 坂出市再編新校(前期)整備事業に伴う地質調査業務

試験年月日 2025年 9月 25日

試料番号(深さ) 1P-19(19.15~19.45m)

試 験 者 井坂 圭佑

		2 mr	n ふ る い	通過試	料		土 粒 子 の 密 度 ρ。 g/cm³	2. 671
	容 器 No.						塑 性 指 数 I,	29. 4
含	<i>m</i> a	g					分散装置の容器 No.	1
水	<b>т</b> ь	g					メスシリンダー No.	2
710	<i>m</i> .	g					浮 ひ ょ う No.	91
比	$W_1$	%					メニスカス補正値 <i>C</i> _m	0.0005
	平均值 w	· 1 %		0.	0		使用した分散剤、溶液濃度、溶液添加量	
(沈降	分析用試料	<b>十容</b>	器)質量	g		114.3	ヘキサメタ燐酸ナトリウム,20%,1	Om1
容	器(No. 65	) /	質 量	g		50. 3	全試料の炉乾燥質量に対する m _s -m _{0s}	0.005
沈 降	分析用	試 料	質量 <b>m</b> 1	g		64. 0	2mmふるい通過試料の炉乾燥質量の比 ms	0. 965
	降分析用試料の $m_{1s} = \frac{m_1}{1+w_1/100}$ g 64.0						$M = \frac{V}{m_{1s}} \frac{\rho_s}{\rho_s - \rho_w} \rho_w \times 100$	2485. 8

### 沈降分析

	1)	2	3	4	5	6	7	8	9	10
測定時刻	経過時間	浮ひょ	うの読み	測定時	有効深さ		粒 径 d	補正係数	加積通過率P	通過質量百分率
	t	小数部分		の水温	L	30 η	$6\times\sqrt{\frac{L}{t}}$	F	$M \times (3 + F)$	$\frac{P(d)}{m_s - m_{0s}} \times P$
	min	r	$r + C_n$	$^{\circ}\!\mathbb{C}$	mm	$\sqrt{g_{\scriptscriptstyle \rm R}(\rho_{\scriptscriptstyle  m S}-\rho_{\scriptscriptstyle  m W})}$	mm		%	<i>m</i> _s
	1	0200	0205	25	138.4	0.0040	0.0471	0. 0020	55. 9	53. 9
	2	0175	0180	25	143. 6	0.0040	0. 0339	0.0020	49.7	48. 0
	5	0150	0155	25	148.8	0.0040	0. 0218	0. 0020	43.5	42. 0
	15	0120	0125	25	155. 0	0.0040	0.0129	0. 0020	36. 0	34. 7
	30	0105	0110	25	158. 2	0.0040	0.0092	0. 0020	32. 3	31.2
	60	0095	0100	25	160. 2	0.0040	0.0065	0.0020	29.8	28.8
	240	0070	0075	25	165. 4	0.0040	0.0033	0. 0020	23.6	22.8
	1440	0050	0055	25	169. 6	0.0040	0.0014	0.0020	18.6	17. 9

#### ふるい分析(沈降分析を行う場合)

~~~~.	77 77 (1/1	1年77月を117	物ロノ					
ふるい	容器No.	(残留試料+容器)質量	容器質量	残留試料質量	加積残留試料質量	加積残留率		通過質量百分率 $P(d)$
				m (d)	$\Sigma m(d)$	$\frac{\sum m(d)}{m_{1s}} \times 100$	$\left \left(1 - \frac{\sum m (d)}{m_{1s}} \right) \times 100 \right $	$\left \frac{m_{\text{\tiny S}}-m_{\text{\tiny OS}}}{m_{\text{\tiny S}}}\times P\right $
μ m		g	g	g	g	%	%	%
850		5. 2	0.0	5. 2	5. 2	8. 1	91. 9	88. 7
425		5. 6	0.0	5. 6	10.8	16. 9	83. 1	80. 2
250		4.8	0.0	4.8	15. 6	24. 4	75. 6	73. 0
106		3. 9	0.0	3. 9	19. 5	30. 5	69. 5	67. 1
75		2. 3	0.0	2. 3	21.8	34. 1	65. 9	63. 6

粒 度 (ふるい分析) 試 土 \mathcal{O}

調 査 件 名 坂出市再編新校(前期)整備事業に伴う地質調査業務

試験年月日 2025年 9月 25日

試料番号(深さ) 1P-22(22.15~22.45m)

試 験 者 井坂 圭佑

	ш . У (г	IC C /	11 00 (00.1)	9 22. 10m/				,, ,		r H	
		全	試	料			2mm &	るい通	過試料(沈降分析	うを行わ:	ない場合)
	容器N	o .	666	713	626		容器No).			
含	$m_{\scriptscriptstyle 3}$	g	77. 49	75. 26	76. 03	含	$m_{\scriptscriptstyle 8}$	g			
水	m _b	g	68. 56	66. 78	67. 27	水	$m_{\scriptscriptstyle \mathrm{b}}$	g			
///	m_{\odot}	g	29.71	30.04	28. 57		m_{\circ}	g			
比	W	%	22. 99	23. 08	22. 64	比	W 1	%			
	平均值	w %		22. 9			平均值v	v 1 %			
(全	試料+᠀	容器)	質量	g		(2mm	ふるい通過	試料-	- 容器) 質量	g	
容	器(No.) 乍	重 量	g		容	器(No.)質	重量	g	
全	試 料	質	量	n g	140. 5	2 m m -	ふるい通道	過試彩	·の質量 m i	g	
全試	料の炉乾	燥質量	$m_s = \frac{n}{1+w}$	m -/100 g	114. 3		るい通過 の炉乾燥		$m_{1s} = \frac{m_1}{1 + w_1/10}$	— 8 I	
9 m m	ふるい残	: 网 公	(試料+容器)	質量 g	53. 7	全 計	料の恒	古 榀 垕	〔量に対する		
	かるい3g 洗い後σ		容器(No. 22)	質量 g	50. 4				・単	$\frac{n_s - m_{0s}}{m_s}$	
	DL V · IQ V	/ PF /FT	炉 乾 燥 質	量 mos g	3.3	21111143	・・・・・・・・・・・・・・・・・・・・・・・・・・・・・・・・・・・・・	10417	ノ /y 平山/木貝 里 儿	1115	

2 mmふるい残留分 m_{0s} のふるい分析

	у , , , , , , , , , , , , , , , , , , ,	カ Mus マッ る る 、 人	, , ,				
ふるい	容器 No.	(残留試料+容器)質量	容器質量	残留試料質量	加積残留試料質量		通過質量百分率P(d)
				m(d)	$\sum m(d)$	$\frac{\sum m(d)}{m_s} \times 100$	$\left \left(1 - \frac{\sum m(d)}{m_s} \right) \times 100 \right $
mm		g	g	g	g	%	%
75							
53							
37. 5							
26. 5							
19							
9. 5							
4. 75		0.0	0.0	0.0	0.0	0. 0	100. 0
2		3. 3	0.0	3. 3	3. 3	2. 9	97. 1

2 mmふるい通過分 m_{1s} のふるい分析(沈降分析を行わない場合)

ふるい	容器 No.	(残留試料+容器)質量	容器質量	残留試料質量	加積残留試料質量		加積通過率P	
				m (d)	$\Sigma m(d)$	$\frac{\sum m(d)}{m_{1s}} \times 100$	$\left \left(1 - \frac{\sum m(d)}{m_{1s}} \right) \times 100 \right $	$\frac{m_{\text{s}}-m_{\text{0s}}}{m_{\text{s}}}\times P$
μ m		g	g	g	g	%	%	%
850								
425								
250								
106								
75								

土 の 粒 度 試 験 (2mmふるい通過分分析)

調 査 件 名 坂出市再編新校(前期)整備事業に伴う地質調査業務

試験年月日 2025年 9月 25日

試料番号(深さ) 1P-22(22.15~22.45m)

試 験 者 井坂 圭佑

	2	lmm ふ る	لا ۱۷	通 過 討	: 料		土 粒 子 の 密 度 ρ。 g/cm³	2.657
	容 器 No.						塑 性 指 数 I,	36. 4
含	<i>m</i> ₃ g	:					分散装置の容器 No.	1
水	<i>m</i> ₀ 8	:					メスシリンダー No.	3
///	<i>m</i> ∘ g						浮 ひ ょ う No.	91
比	W ₁ %	φ					メニスカス補正値 <i>C</i> _n	0.0005
	平均值 w1%	o o		0	. 0		使用した分散剤、溶液濃度、溶液添加量	
(沈降	分析用試料+	容器)質量		g		117.0	ヘキサメタ燐酸ナトリウム,20%,10)m1
容	器(No. 102)質 量		g		49.7	全試料の炉乾燥質量に対する m_s-m_{0s}	0.071
沈降	分析用試	料質量	m_1	g		67. 3	2mmふるい通過試料の炉乾燥質量の比 ms	0. 971
	分析用試料の 乾 燥 質 量	$m_{1s} = $	$m_1 - w_1/1$	<u> </u>		67. 3	$M = \frac{V}{m_{1s}} \frac{\rho_s}{\rho_s - \rho_w} \rho_w \times 100$	2371.3

沈降分析

(D	2	3	4	5	6	7	8	9	10
測定時刻	経過時間	浮ひょ	うの読み	測定時	有効深さ		粒 径 d	補正係数	加積通過率P	通過質量百分率
	t	小数部分		の水温	L	30 η	$\bigcirc \times \sqrt{\frac{L}{t}}$	F	M ×(3) +F)	$\frac{P(d)}{m_s - m_{0s}} \times P$
	min	r	$r + C_n$	$^{\circ}$ C	mm	$\sqrt{g_{\scriptscriptstyle \rm R}(\rho_{\scriptscriptstyle m S}-\rho_{\scriptscriptstyle W})}$	mm		%	m _s ~1
	1	0255	0260	25	127.0	0.0041	0. 0462	0. 0020	66. 4	64. 5
	2	0240	0245	25	130. 1	0.0041	0. 0331	0.0020	62.8	61.0
	5	0220	0225	25	134.3	0.0041	0. 0212	0.0020	58. 1	56. 4
	15	0190	0195	25	140.5	0.0041	0.0125	0.0020	51.0	49.5
	30	0170	0175	25	144. 7	0.0041	0.0090	0.0020	46. 2	44. 9
	60	0150	0155	25	148.8	0.0041	0.0065	0.0020	41.5	40.3
	240	0115	0120	25	156. 1	0.0041	0.0033	0.0020	33. 2	32. 2
	1440	0085	0090	27	162. 3	0.0040	0.0013	0.0025	27. 3	26. 5

ふるい分析(沈降分析を行う場合)

~~~~.	77 1/1 (1/L	1阵分別を11つ	物 ロノ					
ふるい	容器 No.	(残留試料+容器)質量	容器質量	残留試料質量	加積残留試料質量	加積残留率	加積通過率 <i>P</i>	通過質量百分率 $P(d)$
				$m^{(d)}$	$\Sigma m(d)$	$\frac{\sum m(d)}{m_{1s}} \times 100$	$\left(1 - \frac{\sum m(d)}{m_{1s}}\right) \times 100$	$\left \frac{m_{\text{\tiny S}}-m_{\text{\tiny OS}}}{m_{\text{\tiny S}}}\times P\right $
$\mu$ m		g	g	g	g	%	%	%
850		4. 6	0.0	4.6	4. 6	6.8	93. 2	90. 5
425		6. 3	0.0	6. 3	10. 9	16. 2	83.8	81. 4
250		4. 0	0.0	4.0	14. 9	22. 1	77. 9	75. 6
106		4.8	0.0	4.8	19. 7	29. 3	70. 7	68. 6
75		0.8	0.0	0.8	20. 5	30. 5	69. 5	67. 5

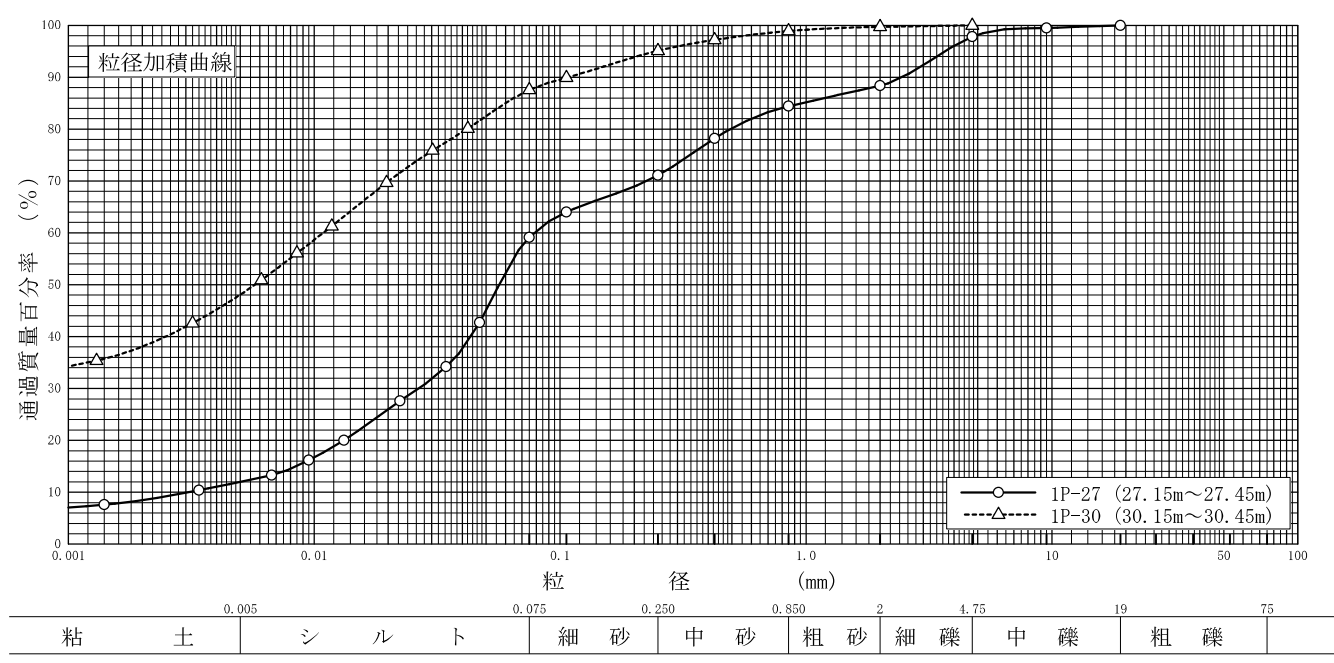
#### 粒 度 試 験 (粒径加積曲線) $\pm$ $\mathcal{O}$

調査件名 坂出市再編新校(前期)整備事業に伴う地質調査業務

試験年月日 2025年 9月 25日

試 験 者 井坂 圭佑

 試料番号	1P-27		1P-30			試	料	番			1P-27	1P-30
(深 さ)	$(27.15 \sim 2)$	7.45m)	$(30.15 \sim 3)$	0.45m)		(沒		<b>H</b>	さ)		$(27.15\sim27.45\text{m})$	$(30.15\sim30.45\text{m})$
	粒 径 mm	通過質量百分率%	粒 径 mm	通過質量百分率%	粗	碰	<b></b>	分		%	0.0	0.0
	75		75		中	 硝	 終	 分		 %	2. 2	0.0
Š	53		53		細	码	<b>长</b>	 分		%	9. 4	0. 3
∞,	37. 5		37. 5		粗	破	 少	分		%	4. 0	0.8
る	26. 5		26. 5		中	碩	 少	分		%	13.3	3.8
る	19	100.0	19		細	碩	 少	分		%	12.0	7. 5
٧١	9. 5	99. 5	9. 5		シ	ル	ト	分		%	47. 1	39. 6
٧,	4. 75	97.8	4. 75	100.0	粘	Ε	<u> </u>	分		%	12.0	48.0
/\	2	88. 4	2	99. 7	2mm	ふるい	/通溫	質量	百分	率 %	88.4	99. 7
分	0.850	84.4	0.850	98. 9	425	μm So	るい通	過質量	百分	率 %	78. 2	97. 2
I.e.	0. 425	78. 2	0. 425	97. 2	75 _L	ιmふる	い通	過質量	百分	率 %	59. 1	87.6
析	0. 250	71.1	0. 250	95. 1	最	大	粒	径		mm	19	4. 75
	0. 106	64.0	0. 106	89. 9	60	%	粒	径	D 60	mm	0. 0794	0.0109
	0. 075	59. 1	0. 075	87. 6	50	%	粒	径	D 50	mm	0. 0565	0. 00575
	0.0471	42.7	0. 0421	80. 1	30	%	粒	径	$D_{_{_{_{_{_{30}}}}}}$	mm	0. 0266	_
沈	0. 0344	34. 2	0. 0303	75. 9	10	%	粒	径	$D_{-10}$	mm	0. 00309	_
{∕L	0. 0223	27.6	0. 0197	69. 7	均	等	係	数	$U_{\circ}$		25. 7	_
降	0.0132	20.0	0.0118	61.3	曲	率	係	数	$U_{\circ}'$		2. 88	_
	0.0095	16. 2	0. 0085	56. 1	土.	粒子	の客	度	$\rho_{\mathrm{s}}$	$\rm g/cm^3$	2. 686	2. 653
分	0.0067	13. 3	0.0061	50. 9	使月	目した。	分散剤	1			ヘキサメタ燐酸ナトリウム	ヘキサメタ燐酸ナトリウム
析	0.0034	10. 4	0.0032	42. 6	溶液	友濃度	, 溶剂	复添加	量		20%,10ml	20% , 10m1
ועי	0.0014	7. 6	0.0013	35. 4	20	%	粒	径	$D_{_{_{_{_{_{20}}}}}}$	mm	0.0132	



特記事項

#### 粒 度 試 土 (ふるい分析) $\mathcal{O}$

調 査 件 名 坂出市再編新校(前期)整備事業に伴う地質調査業務

試験年月日 2025年 9月 25日

試料番号(深さ) 1P-27(27.15~27.45m)

試 験 者 井坂 圭佑

	m .7 (1)	,,	11 2. (2	<b>3 2</b> 10m/					W 1 //W -Z/11
		全	試	料			2 m m & -	るい通	通過試料(沈降分析を行わない場合)
	容器N	ο.	166	90	144		容器 No	).	
含	<i>m</i> _a	g	144. 19	141. 41	142. 80	含	$m_{\circ}$	g	
水	<b>т</b> ь	g	122. 73	120. 97	121.82	- - 水	$m_{^{\mathrm{b}}}$	g	
///	<i>m</i> 0	g	49.72	50. 31	49. 20	- //	$m_{\circ}$	g	
比	W	%	29. 39	28. 93	28. 89	比	<b>W</b> 1	%	
	平均值	w %		29. 1	·		平均值v	V 1 %	
(全	試料+	容器)	質 量	g		(2mm3	ふるい通過	試料-	+容器)質量 g
容	器(No.	) 乍	質 量	g		容	器(No.	)質	質 量 g
全	試 料	質	量 1	n g	279. 2	2 m m -	ふるい通言	過試彩	斗の質量 <b>m</b> ı g
全試	料の炉乾	燥質量	$m_s = \frac{n}{1+w}$	m -/100 g	216. 3		るい通過 の炉乾燥?	質量	$m_{18} = \frac{m_1}{1 + w_1 / 100}$ g
9 m m	ふるい残	: 网 公	(試料+容器)	質量 g	74. 3	全 計	割の后首	古相原	質量に対する
	かるい☆ 洗い後σ		容器(No. 144)	質量 g	49. 2				^{東 単 (こ 刈 ) ・}
	10.10.10.00	/ n=\ 1=T	炉 乾 燥 質	量 mos g	25. 1	2111111	いって, 田間	ሥላ <i>ተ</i> ተ∨	// // 〒1/休貝里儿

### 2 mmふるい残留分 m_{0s} のふるい分析

<u> </u>	у / / и и /	7 1110s •> •> - •> • 7.	<i>ו</i> ע ו				
ふるい	容器 No.	(残留試料+容器)質量	容器質量	残留試料質量	加積残留試料質量	加積残留率	通過質量百分率P(d)
				m(d)	$\sum m(d)$	$\frac{\sum m(d)}{m_{s}} \times 100$	$\left(1 - \frac{\sum m(d)}{m_s}\right) \times 100$
mm		g	g	g	g	%	%
75							
53							
37. 5							
26. 5							
19		0.0	0.0	0.0	0.0	0.0	100.0
9. 5		1. 1	0.0	1. 1	1. 1	0. 5	99. 5
4. 75		3.6	0.0	3.6	4. 7	2. 2	97.8
2		20. 4	0.0	20. 4	25. 1	11. 6	88. 4

### 2 mmふるい通過分 $m_{1s}$ のふるい分析(沈降分析を行わない場合)

ふるい	容器No.	(残留試料+容器)質量	容器質量	残留試料質量	加積残留試料質量		加積通過率P	通過質量百分率P(d)
				m(d)	$\Sigma m(d)$	$\frac{\sum m(d)}{m_{1s}} \times 100$	$\left  \left( 1 - \frac{\sum m(d)}{m_{1s}} \right) \times 100 \right $	
$\mu$ m		g	g	g	g	%	%	%
850								
425								
250								
106								
75								<del></del>
								<b></b>

JIS A 1204 JGS 0131

# 土 の 粒 度 試 験 (2mmふるい通過分分析)

調 査 件 名 坂出市再編新校(前期)整備事業に伴う地質調査業務

試験年月日 2025年 9月 25日

試料番号(深さ) 1P-27(27.15~27.45m)

試 験 者 井坂 圭佑

		2 mm	ふるい	通過試	料		土 粒 子 の 密 度 ρ _s g/cm³	2. 686
	容 器 No.						塑 性 指 数 1,	24. 4
含	<i>m</i> a	g			[		分散装置の容器 No.	1
水	<b>m</b> b	g			[		メスシリンダー No.	5
710	<b>m</b> 0	g					浮 ひ ょ う No.	91
比	$W_1$	%					メニスカス補正値 <i>C</i> m	0.0005
	平均值 w	. %		0.	0		使用した分散剤、溶液濃度、溶液添加量	
(沈降	分析用試料	十容	器)質量	g		124. 1	ヘキサメタ燐酸ナトリウム,20%,10	Om1
容	器(No. 90	) 1	質 量	g		50.3	全試料の炉乾燥質量に対する m。-mos	0.004
沈 降	分析用記	式 料	質量 m	g		73.8	2mmふるい通過試料の炉乾燥質量の比 ms	0.884
	分析用試料	1.	$m_{1s} = \frac{m_1}{1 + w_1/2}$	g		73. 8	$M = \frac{V}{m_{1s}} \frac{\rho_{s}}{\rho_{s} - \rho_{w}} \rho_{w} \times 100$	2148.5

### 沈降分析

(	D	2	3	4	5	6	7	8	9	10
測定時刻	経過時間	浮ひょ	うの読み	測定時	有効深さ		粒 径 d	補正係数	加積通過率P	通過質量百分率
	t	小数部分		の水温	L	30 η	$6\times\sqrt{\frac{L}{t}}$	F	M ×(3) +F)	$\frac{P(d)}{m_s - m_{0s}} \times P$
	min	$\Gamma$	$r + C_n$	$^{\circ}\!\mathbb{C}$	mm	$\sqrt{g_{\scriptscriptstyle \rm R}(\rho_{\scriptscriptstyle \rm S}-\rho_{\scriptscriptstyle W})}$	mm t		%	$m_s \sim 1$
	1	0200	0205	25	138.4	0.0040	0.0471	0.0020	48.3	42.7
	2	0155	0160	25	147.8	0.0040	0.0344	0.0020	38. 7	34. 2
	5	0120	0125	25	155. 0	0.0040	0. 0223	0.0020	31.2	27.6
	15	0080	0085	25	163. 4	0.0040	0.0132	0.0020	22.6	20.0
	30	0060	0065	25	167. 5	0.0040	0.0095	0.0020	18.3	16. 2
	60	0045	0050	25	170.6	0.0040	0.0067	0.0020	15.0	13.3
	240	0030	0035	25	173. 7	0.0040	0.0034	0.0020	11.8	10.4
	1440	0010	0015	27	177. 9	0.0039	0.0014	0.0025	8.6	7.6

#### ふろい分析(沈降分析を行う場合)

~ ~ ~ ~ ~ .	<b>ふる√.万切(仏暦万切で1) / 物口</b> /												
ふるい	容器No.	(残留試料+容器)質量	容器質量	残留試料質量	加積残留試料質量	加積残留率	加積通過率 <i>P</i>	通過質量百分率 $P(d)$					
				$m^{(d)}$	$\Sigma m(d)$	$\frac{\sum m(d)}{m_{1s}} \times 100$	$\left  \left( 1 - \frac{\sum m (d)}{m_{1s}} \right) \times 100 \right $	$\left \frac{m_{\text{\tiny S}}-m_{\text{\tiny OS}}}{m_{\text{\tiny S}}}\times P\right $					
$\mu$ m		g	g	g	g	%	%	%					
850		3. 3	0.0	3. 3	3. 3	4. 5	95. 5	84. 4					
425		5. 2	0.0	5. 2	8. 5	11. 5	88. 5	78. 2					
250		6. 0	0.0	6. 0	14. 5	19. 6	80. 4	71. 1					
106		5. 9	0.0	5. 9	20. 4	27. 6	72. 4	64. 0					
75		4.0	0.0	4.0	24. 4	33. 1	66. 9	59. 1					

#### 粒 度 試 土 (ふるい分析) $\mathcal{O}$

調 査 件 名 坂出市再編新校(前期)整備事業に伴う地質調査業務

試験年月日 2025年 9月 25日

試料番号(深さ) 1P-30(30.15~30.45m)

試 験 者 井坂 圭佑

	H • ( )	/							V. P. 71.2		
		全	試	料			2mmふる	い通	過試料(沈降分	分析を行わ	ない場合)
	容器N	o.	629	653	676		容器 No.				
含	<i>m</i> a	g	74. 42	73. 37	80.39	含	m _a	g			
水	mb	g	63. 42	62. 69	67.67	] /k	$m_{ m b}$	g			
///	<i>m</i> :	g	27. 73	29.85	30. 14	///	$m_{\circ}$	g			
比	W	%	30.82	32. 52	33. 89	比	<b>W</b> 1	%			
	平均值	w %		32. 4			平均值 w	₁ %			
(全)	試料+	容器)	質量	g		(2mm3	ふるい通過	試料-	-容器)質量	g	
容	器(No.	)質	重 量	g		容 器(No. )質 量 g					
全	試 料	. 質	量 n	1 g	140. 5	2 m m -	ふるい通過	試料	·の質量 m	g	
全試	料の炉乾	燥質量	$m_s = \frac{m}{1+w}$	<u>1</u> g	106. 1	$2$ mmふるい通過 $m_{1s} = \frac{m_1}{1+w_1/100}$ g					
2 m m	ふるい残	: 网 公	(試料+容器)	質量 g	49. 9	全 計	乳の后乾	: 榀 煌	〔量に対する		
	洗い後の		容器(No. 4 )	質量 g	49. 6				) 単に 刈りる	$\frac{m_s - m_{0s}}{m_s}$	
	1)L V ·  久 V.	/ PF 14	炉乾燥質	量 mos g	0.3	211111/3	いっつ 4、価値は	rv17 V	/ // 书//木貝里儿	1115	

### 2 mmふるい残留分 m_{0s} のふるい分析

	т // дд /	7 1110s -> +3 & + 7,	, p i				1
ふるい	容器 No.	(残留試料+容器)質量	容器質量	残留試料質量	加積残留試料質量	加積残留率	通過質量百分率P(d)
				m(d)	$\Sigma m(d)$	$\frac{\sum m(d)}{m_s} \times 100$	$\left  \left( 1 - \frac{\sum m(d)}{m_s} \right) \times 100 \right $
mm		g	g	g	g	%	%
75							
53							
37. 5							
26.5							
19							
9. 5							
4. 75		0.0	0.0	0.0	0.0	0.0	100.0
2		0.3	0.0	0. 3	0.3	0. 3	99. 7

### 2 mmふるい通過分 $m_{1s}$ のふるい分析(沈降分析を行わない場合)

ふるい	容器No.	(残留試料+容器)質量	容器質量	残留試料質量	加積残留試料質量		加積通過率P	通過質量百分率P(d)
				m(d)	$\Sigma m(d)$	$\frac{\sum m(d)}{m_{1s}} \times 100$	$\left  \left( 1 - \frac{\sum m(d)}{m_{1s}} \right) \times 100 \right $	
$\mu$ m		g	g	g	g	%	%	%
850								
425								
250								
106								
75								<del></del>
								<b></b>

# 土 の 粒 度 試 験 (2mmふるい通過分分析)

調 査 件 名 坂出市再編新校(前期)整備事業に伴う地質調査業務

試験年月日 2025年 9月 25日

試料番号(深さ) 1P-30(30.15~30.45m)

試 験 者 井坂 圭佑

	2	mm ふるい通	過試	料	土 粒 子 の 密 度 ρ。 g/cm³	2. 653
	容 器 No.				塑 性 指 数 I,	42. 7
含	<i>m</i> ₃ g				分散装置の容器 No.	1
水	<b>т</b> ь g				メスシリンダー No.	4
710	<i>m</i> ∘ g				浮 ひ ょ う No.	91
比	<b>W</b> ₁ %				メニスカス補正値 <i>C</i> _n	0. 0005
	平均值 w1%		0.0		使用した分散剤、溶液濃度、溶液添加量	
(沈降	分析用試料+	容器)質量	g	126. 9	ヘキサメタ燐酸ナトリウム,20%,1	Om1
容	器(No. 127	)質 量	g	50. 3	全試料の炉乾燥質量に対する m _s -m _{0s}	0.007
沈 降	分析用試制	斗質量 <b>m</b> ₁	g	76. 6	2mmふるい通過試料の炉乾燥質量の比 ms	0. 997
	分析用試料の 乾 燥 質 量	$m_{1s} = \frac{m_1}{1 + w_1/100}$	- g	76. 6	$M = \frac{V}{m_{1s}} \frac{\rho_s}{\rho_s - \rho_w} \rho_w \times 100$	2085. 3

### 沈降分析

(	D	2	3	4	(5)	6	7	8	9	10
測定時刻	経過時間	浮ひょ	うの読み	測定時	有効深さ		粒 径 d	補正係数	加積通過率P	通過質量百分率
	t	小数部分		の水温	L	30 η	$6\times\sqrt{\frac{L}{t}}$	F	$M \times (3 + F)$	. — × P
	min	r	$r + C_n$	$^{\circ}\!\mathbb{C}$	mm	$\sqrt{g_{\scriptscriptstyle \rm R}(\rho_{\scriptscriptstyle  m S}-\rho_{\scriptscriptstyle  m W})}$	mm		%	<i>m</i> _s
	1	0360	0365	25	105. 2	0.0041	0.0421	0. 0020	80.3	80. 1
	2	0340	0345	25	109. 3	0.0041	0. 0303	0. 0020	76. 1	75. 9
	5	0310	0315	25	115. 6	0. 0041	0.0197	0. 0020	69. 9	69. 7
	15	0270	0275	25	123. 9	0.0041	0.0118	0. 0020	61.5	61.3
	30	0245	0250	25	129. 1	0.0041	0. 0085	0. 0020	56. 3	56. 1
	60	0220	0225	25	134. 3	0.0041	0.0061	0. 0020	51.1	50. 9
	240	0180	0185	25	142.6	0.0041	0.0032	0. 0020	42.7	42.6
	1440	0140	0145	27	150. 9	0.0040	0.0013	0.0025	35. 5	35. 4

#### ふるい分析(沈降分析を行う場合)

~~~~.	かるい方列(仏陸方列を117場合)										
ふるい	容器 No.	(残留試料+容器)質量	容器質量	残留試料質量	加積残留試料質量	加積残留率	加積通過率 <i>P</i>	通過質量百分率 $P(d)$			
				m (d)	$\Sigma m(d)$	$\frac{\sum m(d)}{m_{1s}} \times 100$	$\left \left(1 - \frac{\sum m (d)}{m_{1s}} \right) \times 100 \right $	$\left \frac{m_{\text{\tiny S}}-m_{\text{\tiny OS}}}{m_{\text{\tiny S}}}\times P\right $			
μ m		g	g	g	g	%	%	%			
850		0.6	0.0	0.6	0.6	0.8	99. 2	98. 9			
425		1.3	0.0	1.3	1. 9	2. 5	97. 5	97. 2			
250		1.6	0.0	1.6	3. 5	4. 6	95. 4	95. 1			
106		4. 0	0.0	4.0	7. 5	9.8	90. 2	89. 9			
75		1.8	0.0	1.8	9. 3	12. 1	87. 9	87. 6			

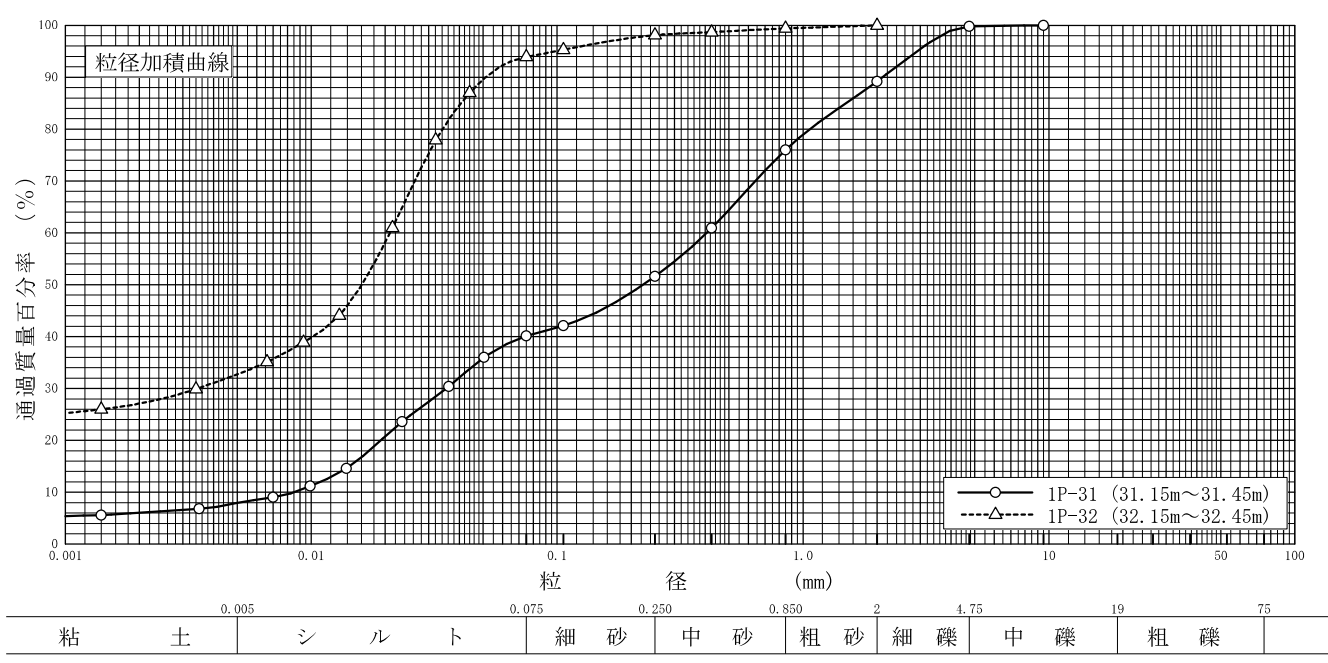
粒 度 試 験 (粒径加積曲線) 土 の

調査件名 坂出市再編新校(前期)整備事業に伴う地質調査業務

試験年月日 2025年 9月 25日

試 験 者 井坂 圭佑

試料番号	1P-31		1P-32			Ī	試	料	番	号		1P-31	1P-32
(深 さ)	(31.15~3	31.45m)	(32. 15∼3	32.45m)			(深	!		さ)		(31.15∼31.45m)	(32.15~32.45m)
	粒 径 mm	通過質量百分率%	粒 径 mm	通過質量百分率%	粗		礖	<u>{</u>	分		%	0.0	0.0
	75		75		中		礖	<u>{</u>	分		%	0. 2	0.0
ふ	53		53		細		碑	<u>{</u>	分		%	10. 6	0.0
	37. 5		37. 5		粗		砂	;	分		%	13. 2	0.6
る	26. 5		26. 5		中		砂	;	分		%	24. 4	1.3
2	19		19		細		砂	>	分		%	11.5	4.2
W	9. 5	100.0	9. 5		シ)	レ	ト	分		%	32. 2	61.2
۷.	4. 75	99.8	4. 75		粘		±	:	分		%	7. 9	32. 7
	2	89. 2	2	100.0	2mi	m &	るレ	通過	質量	百分	率 %	89. 2	100.0
分	0.850	76. 0	0.850	99. 4	42	5μm	ı Š-Ž	5い通	過質量	直百分	率 %	60. 9	98. 7
100	0. 425	60. 9	0. 425	98. 7	75	μ m .	ふる	い通道	過質量	首子)	率 %	40. 1	93. 9
析	0. 250	51.6	0. 250	98. 1	最		۲	粒	径		mm	9. 5	2
	0. 106	42. 1	0. 106	95. 3	60	9	6	粒	径	D 60	mm	0. 407	0. 0209
	0. 075	40. 1	0. 075	93. 9	50	0	6	粒	径	D 50	mm	0. 224	0.0161
	0. 0505	36. 0	0.0441	87. 0	30	9	6	粒	径	D 30	mm	0. 0354	0. 00345
ù -b	0. 0363	30. 4	0. 0321	77. 9	10	9	6	粒	径	D_{-10}	mm	0. 00852	<u> </u>
沈	0. 0234	23.6	0.0214	61.0	均	<u></u>	 	係	数	U_{\circ}		47.8	<u> </u>
降	0.0139	14.6	0.0130	44. 1	曲	<u> 2</u>	枢	係	数	U_{\circ}'		0. 361	<u> </u>
	0.0099	11.2	0.0093	38. 9	土.	粒	子	の密	度	$ ho_{ m s}$	g/cm ³	2. 607	2.633
分	0.0070	9.0	0.0066	35. 1	使	用し	たら	分散斉	J			ヘキサメタ燐酸ナトリウム	ヘキサメタ燐酸ナトリウム
析	0.0035	6.8	0.0034	29. 9	溶	液濃	度,	溶液	添加	量		20%,10ml	20% , 10ml
1771	0.0014	5. 6	0.0014	26. 0	20	9	6	粒	径	D_{20}	mm	0.0192	



特記事項

粒 度 (ふるい分析) 試 土 \mathcal{O}

調 査 件 名 坂出市再編新校(前期)整備事業に伴う地質調査業務

試験年月日 2025年 9月 25日

試料番号(深さ) 1P-31(31.15~31.45m)

試 験 者 井坂 圭佑

	<u> </u>	/							~ · · · · · · · ·		
		全	試	料			2mm & 3	るい通	直過試料(沈降タ	分析を行わ	ない場合)
	容器N	lo.	101	30	117		容器 No				
含	<i>m</i> a	g	131.82	140.09	128. 60	含	$m_{\scriptscriptstyle 8}$	g			
水	$m_{ m b}$	g	117. 12	123. 59	114. 09] 	m b	g			
710	m.	g	49.89	49. 59	50. 02	///	<i>m</i> c	g			
比	W	%	21.87	22. 30	22. 65	比	W 1	%			
	平均値	w %		22.3			平均值 w	71 %			·
(全	試料+:	容器)	質量	g		(2mm3	ふるい通過	試料-	├容器)質量	g	
容	器(No.) 乍	質量	g		容	器(No.)質	重量	g	
全	試 彩	上 質	量 n	1 g	251. 0	2 m m -	ふるい通道	過試料	トの質量 m i	g	
全試	料の炉乾	燥質量	$m_s = \frac{m}{1+w}$	<u>a</u> g	205. 2		るい通過 の炉乾燥質	<i>1</i> 質量	$m_{1s} = \frac{m_1}{1 + w_1/m_1}$		
2 m m	とるれび	自知公	(試料+容器)	質量 g	72. 0	全 計	料の炉	左榀度	5 景に対する		
	nmふるい残留分 容器(No. 101)質 量 水洗い後の試料				49. 9	全試料の炉乾燥質量に対する 2mmふるい通過試料の炉乾燥質量比 <u>m。</u> m。					
	10L V 11友 V	ノ p=\ 1º1	炉 乾 燥 質	量 m 0s g	22. 1	الاللاك	いつ 4 . 田 肥	m v 14 v	ノが 乳状貝 里儿	1118	

2 mmふるい残留分 m_{0s} のふるい分析

		/ancashul a ten col		en ceran lates e	Lucktonia Caro Indol CC III	La colo de constante	W. I. S. B V. + - V. A.
ふるい	容器 No.	(残留試料+容器)質量	容器質量	残留試料質量	加積残留試料質量		通過質量百分率P(d)
				$m^{(d)}$	$\Sigma m(d)$	$\frac{\sum m(d)}{m_s} \times 100$	$\left \left(1 - \frac{\sum m(d)}{m_s} \right) \times 100 \right $
mm		g	g	g	g	%	%
75							
53							
37. 5							
26. 5							
19							
9.5		0.0	0.0	0.0	0.0	0.0	100.0
4. 75		0. 5	0.0	0.5	0. 5	0. 2	99.8
2		21.6	0.0	21.6	22. 1	10.8	89. 2

2 mmふるい通過分 m_{1s} のふるい分析(沈降分析を行わない場合)

ふるい	容器 No.	(残留試料+容器)質量	容器質量	残留試料質量	加積残留試料質量		加積通過率P	
				m (d)	$\Sigma m(d)$	$\frac{\sum m(d)}{m_{1s}} \times 100$	$\left \left(1 - \frac{\sum m(d)}{m_{1s}} \right) \times 100 \right $	$\frac{m_{\text{s}}-m_{\text{0s}}}{m_{\text{s}}}\times P$
μ m		g	g	g	g	%	%	%
850								
425								
250								
106								
75								

土 の 粒 度 試 験 (2mmふるい通過分分析)

調 査 件 名 坂出市再編新校(前期)整備事業に伴う地質調査業務

試験年月日 2025年 9月 25日

試料番号(深さ) 1P-31(31.15~31.45m)

試 験 者 井坂 圭佑

		2 m	ı ふ る い 通	過試	料	土 粒 子 の 密 度 ρ。 g/cm³	2. 607
	容器 No					塑 性 指 数 $I_{\scriptscriptstyle 0}$	12. 0
含	<i>m</i> a	g				分散装置の容器 No.	1
水	<i>m</i> ₀	g				メスシリンダー No.	6
/1<	<i>m</i> .	g				浮 ひ ょ う No.	91
比	W_1	%				メニスカス補正値 <i>C</i> m	0. 0005
	平均値 и	7 ₁ %	·	0.0)	使用した分散剤、溶液濃度、溶液添加量	
(沈降	分析用試料	斗+容	器)質量	g	113.6	ヘキサメタ燐酸ナトリウム,20%,10	Om1
容	器(No. 30)	質 量	g	49.6	全試料の炉乾燥質量に対する m _s -m _{0s}	0.000
沈降	分析用	試 料	質量 m	g	64.0	2mmふるい通過試料の炉乾燥質量の比 ms	0. 892
	分析用試料	1	$m_{1s} = \frac{m_1}{1 + w_1/100}$	_ g	64. 0	$M = \frac{V}{m_{1s}} \frac{\rho_s}{\rho_s - \rho_w} \rho_w \times 100$	2522. 7

沈降分析

(D	2	3	4	5	6	7	8	9	10
測定時刻	経過時間	浮ひょ	うの読み	測定時	有効深さ		粒 径 d	補正係数	加積通過率P	通過質量百分率
	t	小数部分		の水温	L	30 η	$\bigcirc \times \sqrt{\frac{L}{t}}$	F	M ×(3) +F)	$\frac{P(d)}{m_s - m_{0s}} \times P$
	min	r	$r + C_n$	$^{\circ}$ C	mm	$\sqrt{g_{\scriptscriptstyle \rm R}(\rho_{\scriptscriptstyle m S}-\rho_{\scriptscriptstyle W})}$	mm		%	m_s ~ 1
	1	0135	0140	25	151.9	0.0041	0. 0505	0. 0020	40. 4	36.0
	2	0110	0115	25	157. 1	0.0041	0. 0363	0.0020	34. 1	30.4
	5	0080	0085	25	163.4	0.0041	0. 0234	0.0020	26. 5	23.6
	15	0040	0045	25	171.7	0.0041	0. 0139	0.0020	16. 4	14.6
	30	0025	0030	25	174.8	0.0041	0. 0099	0.0020	12.6	11.2
	60	0015	0020	25	176. 9	0.0041	0.0070	0.0020	10.1	9. 0
	240	0005	0010	25	178. 9	0.0041	0.0035	0.0020	7.6	6.8
	1440	-0005	0000	27	181.0	0.0040	0.0014	0.0025	6.3	5.6

ふるい分析(沈降分析を行う場合)

~~~~.	かるい 力削(仏暦力削を打) 万物 口)										
ふるい	容器 No.	(残留試料+容器)質量	容器質量	残留試料質量	加積残留試料質量	加積残留率	加積通過率 <i>P</i>	通過質量百分率 $P(d)$			
				m (d)	$\Sigma m(d)$	$\frac{\sum m(d)}{m_{1s}} \times 100$	$\left  \left( 1 - \frac{\sum m (d)}{m_{1s}} \right) \times 100 \right $	$\left \frac{m_{\text{\tiny S}}-m_{\text{\tiny OS}}}{m_{\text{\tiny S}}}\times P\right $			
$\mu$ m		g	g	g	g	%	%	%			
850		9. 5	0.0	9. 5	9. 5	14.8	85. 2	76. 0			
425		10.8	0.0	10.8	20. 3	31. 7	68. 3	60. 9			
250		6. 7	0.0	6. 7	27. 0	42. 2	57.8	51.6			
106		6.8	0.0	6.8	33. 8	52.8	47. 2	42. 1			
75		1. 4	0.0	1.4	35. 2	55. 0	45. 0	40. 1			

#### 粒 度 (ふるい分析) 試 土 $\mathcal{O}$

調 査 件 名 坂出市再編新校(前期)整備事業に伴う地質調査業務

試験年月日 2025年 9月 25日

試料番号(深さ) 1P-32(32.15~32.45m)

試 験 者 井坂 圭佑

		全		試	料			2mmふ	るい通	i過試料(沈降:	分析を行わ	ない場	合)
	容器N	o <b>.</b>	62	28	607	714		容器N	o.				
含	$m_{\scriptscriptstyle 3}$	g	81.3	34	90.06	85. 03	含	<i>m</i> a	g				
水	m _b	g	69. 1	18	75. 86	72.41	水	<b>т</b> ь	g				
/1/	$m_{\odot}$	g	28. 1	14	28. 34	29. 78	7,10	<i>m</i> :	g				
比	W	%	29. 6	53	29.88	29. 60	比	<b>W</b> ₁	%				
	平均值	w %		•	29. 7			平均値	<b>W</b> 1 %				
(全	試料+彡	容器)	質量		g	130. 1	(2mm	ふるい通道	過試料-	├容器)質量	g		
容	器(No. 18	33 ) 質	重量		g	50.0	容	器(No.	)質	重量	g		
全	試 料	· 質	量	m	g	80. 1	2 m m 3	ふるい通	過試料	の質量 m	ı g		
全試	料の炉乾	燥質量	$m_s = $	$\frac{m}{1+w/1}$	00 g	61.8		るい通過の炉乾燥	1	$m_{1s} = \frac{m_1}{1 + w_1/2}$	g		
2 m m	ふるい残	2日分	(試料+容	器)質:	量 g	0.0	全 試	料の恒	哲 憴 詹	賃量に対する			
	洗い後の		容器(No.	)質	量 g					) 炉乾燥質量比	$\frac{m_{s}-m_{0s}}{m_{s}}$		
->/](	) . K	- н- ч /[-]	炉 乾 燥	質 量	<i>m</i> ₀s g	0.0	2	2 · 101	22 Hr. 4 (L.) A	/ // Tu//K 貝 至 /L			

### 2 mmふるい残留分 m_{0s} のふるい分析

	у / / Д Ш /	75 III US -> +3 & + 75	<i>1</i> VI				
ふるい	容器 No.	(残留試料+容器)質量	容器質量	残留試料質量	加積残留試料質量	加積残留率	通過質量百分率 $P(d)$
				m(d)	$\sum m(d)$	$\frac{\sum m(d)}{m_s} \times 100$	$\left(1 - \frac{\sum m(d)}{m_s}\right) \times 100$
mm		g	g	g	g	%	%
75							
53			,				
37. 5							
26. 5							
19							
9. 5							
4. 75							
2		0.0	0.0	0.0	0.0	0. 0	100.0

### 2 mmふるい通過分 $m_{1s}$ のふるい分析(沈降分析を行わない場合)

ふるい	容器 No.	(残留試料+容器)質量	容器質量	残留試料質量	加積残留試料質量		加積通過率P	
				m (d)	$\Sigma m(d)$	$\frac{\sum m(d)}{m_{1s}} \times 100$	$\left  \left( 1 - \frac{\sum m(d)}{m_{1s}} \right) \times 100 \right $	$\frac{m_{\text{s}}-m_{\text{0s}}}{m_{\text{s}}}\times P$
$\mu$ m		g	g	g	g	%	%	%
850								
425								
250								
106								
75								

# 土 の 粒 度 試 験 (2mmふるい通過分分析)

調 査 件 名 坂出市再編新校(前期)整備事業に伴う地質調査業務

試験年月日 2025年 9月 25日

試料番号(深さ) 1P-32(32.15~32.45m)

試 験 者 井坂 圭佑

		2 m	n ふ る い i	通 遇 試 料		土 粒 子 の 密 度 ρ。 g/cm³	2. 633
	容器No	).	628	607	714	塑 性 指 数 I,	21. 1
含	<i>m</i> a	g	81. 34	90.06	85. 03	分散装置の容器 No.	1
水	<b>m</b> 6	g	69. 18	75. 86	72.41	メスシリンダー No.	7
710	<i>m</i> .	g	28. 14	28. 34	29.78	浮 ひ ょ う No.	91
比	$W_1$	%	29. 63	29. 88	29.60	メニスカス補正値 <i>C</i> _n	0. 0005
	平均值,	<b>v</b> 1 %		29. 7		使用した分散剤、溶液濃度、溶液添加量	
(沈降	分析用試	料+容	器)質量	g	130. 1	ヘキサメタ燐酸ナトリウム,20%,1	Om1
容	器(No. 18	3 )	質 量	g	50.0	全試料の炉乾燥質量に対する ms-mos	1 000
沈 降	分析用	試 料	質量 <i>m</i> 1	g	80.1	2mmふるい通過試料の炉乾燥質量の比 ms	1.000
	分析用試	1	$m_{1s} = \frac{m_1}{1 + w_1/1}$	g g	61.8	$M = \frac{V}{m_{1s}} \frac{\rho_s}{\rho_s - \rho_w} \rho_w \times 100$	2596. 6

#### 沈降分析

(	D	2	3	4	5	6	7	8	9	10
測定時刻	経過時間	浮ひょ	うの読み	測定時	有効深さ		粒 径 d	補正係数	加積通過率P	通過質量百分率
	t	小数部分		の水温	L	30 η	$\bigcirc \times \sqrt{\frac{L}{t}}$	F	M ×(3) +F)	$\frac{P(d)}{m_s - m_{0s}} \times P$
	min	r	$r + C_n$	$^{\circ}$ C	mm	$\sqrt{g_{\scriptscriptstyle \rm R}(\rho_{\scriptscriptstyle  m S}-\rho_{\scriptscriptstyle W})}$	mm		%	$m_s$ $\sim 1$
	1	0310	0315	25	115.6	0.0041	0. 0441	0. 0020	87. 0	87. 0
	2	0275	0280	25	122.8	0.0041	0. 0321	0.0020	77. 9	77. 9
	5	0210	0215	25	136.3	0.0041	0. 0214	0.0020	61.0	61.0
	15	0145	0150	25	149.8	0.0041	0.0130	0.0020	44. 1	44. 1
	30	0125	0130	25	154. 0	0.0041	0.0093	0.0020	38. 9	38. 9
	60	0110	0115	25	157. 1	0.0041	0. 0066	0.0020	35. 1	35. 1
	240	0090	0095	25	161.3	0.0041	0.0034	0.0020	29. 9	29. 9
	1440	0070	0075	27	165. 4	0.0040	0.0014	0. 0025	26. 0	26.0

#### ふろい分析(沈降分析を行う場合)

~~~~.	7) 171 (1/1	神力がを打力	物ロノ					
ふるい	容器 No.	(残留試料+容器)質量	容器質量	残留試料質量	加積残留試料質量	加積残留率		通過質量百分率 P(d)
				$m^{(d)}$	$\Sigma m(d)$	$\frac{\sum m(d)}{m_{1s}} \times 100$	$\left \left(1 - \frac{\sum m \left(d \right)}{m_{1s}} \right) \times 100 \right $	$\left \frac{m_{\text{\tiny S}}-m_{\text{\tiny OS}}}{m_{\text{\tiny S}}}\times P\right $
μ m		g	g	g	g	%	%	%
850		0. 4	0.0	0.4	0. 4	0.6	99. 4	99. 4
425		0. 4	0.0	0.4	0.8	1. 3	98. 7	98. 7
250		0. 4	0.0	0.4	1. 2	1. 9	98. 1	98. 1
106		1. 7	0.0	1. 7	2. 9	4. 7	95. 3	95. 3
75		0. 9	0.0	0.9	3.8	6. 1	93. 9	93. 9

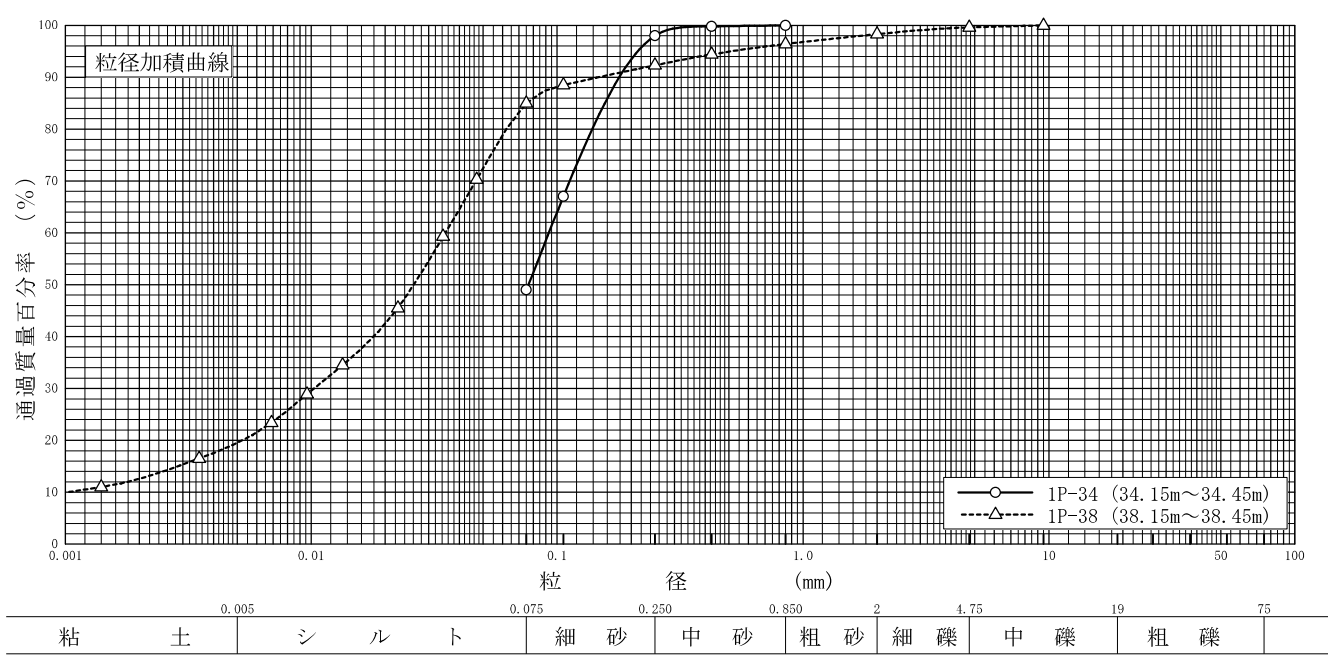
粒 度 試 \pm \mathcal{O} 験 (粒径加積曲線)

調査件名 坂出市再編新校(前期)整備事業に伴う地質調査業務

試験年月日 2025年 9月 25日

試 験 者 井坂 圭佑

											71 27	T .
試料番号	1P-34		1P - 38			試	料	番	号		1P - 34	1P-38
(深 さ)	(34. 15∼3	4.45m)	(38. 15∼3	8.45m)		(深	1		さ)		(34.15~34.45m)	(38, 15∼38, 45m)
	粒 径 mm	通過質量百分率%	粒 径 mm	通過質量百分率%	粗	礴	Ŕ	分		%	0.0	0.0
	75		75		中	礴	¥	分		%	0.0	0.4
ふ	53		53		細	礴	¥	分		%	0.0	1.3
-	37. 5		37. 5		粗	砂	>	分		%	0.0	1.9
る	26. 5		26. 5		中	积	>	分		%	2. 0	4. 1
3	19		19		細	积	>	分		%	49. 0	7.3
٧١	9. 5		9. 5	100.0	シ	ル	٢	分		%	40.0	65. 5
V .	4. 75		4. 75	99. 6	粘	±	:	分		%	49.0	19.5
^	2		2	98. 3	2mm	ふるレ	/通過	質量	百分率	≅ %	100.0	98. 3
分	0.850	100.0	0.850	96. 4	425	μm ኤż	るい通	過質量	百分率	ž %	99.8	94.4
	0. 425	99.8	0. 425	94. 4	75 μ	ιmふる	い通道	過質量	百分≅	を%	49. 0	85. 0
析	0. 250	98. 0	0. 250	92. 3	最	大	粒	径		mm	0.850	9. 5
	0. 106	67.0	0. 106	88. 5	60	%	粒	径	D_{-60}	mm	0. 0926	0. 0351
	0. 075	49.0	0. 075	85. 0	50	%	粒	径	D_{50}	mm	0.0765	0. 0262
			0.0471	70. 3	30	%	粒	径	D_{-30}	mm	_	0.0103
No.			0. 0344	59. 3	10	%	粒	径	D_{-10}	mm	_	0.00102
沈			0. 0225	45. 5	均	等	係	数	$U_{\scriptscriptstyle m c}$		<u>–</u>	34. 4
降			0.0134	34. 5	曲	率	係	数	U_{\circ}'		_	2. 96
			0.0096	28. 9	土;	粒 子	の密	度	$ ho_{ m s}$	$\mathrm{g/cm^3}$	_	2.650
分			0. 0069	23. 4	使月	月したク	分散剤	J				ヘキサメタ燐酸ナトリウム
析			0. 0035	16. 5	溶液	を濃度,	溶液	添加	量		-	20% , 10ml
171			0.0014	11.0	20	%	粒	径	D_{20}	mm	_	0.00524



特記事項

粒 度 (ふるい分析) 試 土 \mathcal{O}

調 査 件 名 坂出市再編新校(前期)整備事業に伴う地質調査業務

試験年月日 2025年 9月 25日

試料番号(深さ) 1P-34(34.15~34.45m)

試 験 者 井坂 圭佑

		全		試	料			2 m m &	るい通	i過試料(沈降5	分析を行われ	ない場合)
	容器N	o.		542	494	507		容器 No	э.	542	494	507
含	m _a	g	91	1.41	92. 90	94. 96	含	$m_{\scriptscriptstyle 8}$	g	91.41	92.90	94.96
水	m _b	g	82	2. 20	83. 63	85. 51	水	m ь	g	82. 20	83. 63	85. 51
710	<i>m</i> c	g	45	5. 60	46.63	47.04	/10	<i>m</i> ∘	g	45. 60	46. 63	3 47.04
比	W	%	25	5. 16	25. 05	24. 56	比	W 1	%	25. 16	25. 05	5 24. 56
	平均値	w %			24.9			平均値 1	w 1 %		24. 9)
(全	試料+:	容器)	質量		g	113.7	(2mm	ふるい通過	B試料+	├容器)質量	g	113. 7
容	器(No. 5	42) 恒	重 量		g	45.6	容	器(No. 54	12)貿	量	g	45. 6
全	試 彩	上質	量	m	g	68. 1	2 m m -	ふるい通	過試料	の質量 m i	g	68. 1
全試	料の炉乾	燥質量	$m_s = -$	1+ w/	/100 g	54. 5		るい通過の炉乾燥	I	$m_{1s} = \frac{m_1}{1 + w_1/2}$	100 g	54. 5
	ふるい残 洗い後0		(試料+ 容器(N	· 容器) 質 · · · · ·)質 · · · · · ·	重量 g 重量 g	0.0					<u>m₅− m₀₅</u> m₅	1.000
			炉乾	燥質量	d m 0s g	0.0						

2 mmふるい残留分 m_{0s} のふるい分析

	, , , , , , , , , , , , , , , , , , ,	5 1110s -> +3 & + 7,) V I				
ふるい	容器 No.	(残留試料+容器)質量	容器質量	残留試料質量	加積残留試料質量	加積残留率	通過質量百分率 $P(d)$
				m(d)	$\Sigma m(d)$	$\frac{\sum m(d)}{m_{s}} \times 100$	$\left(1 - \frac{\sum m(d)}{m_s}\right) \times 100$
mm		g	g	g	g	%	%
75							
53			,			,	
37. 5							
26. 5							
19							
9. 5							
4. 75			,			,	
2							

2 mm ふるい通過分 m_{ls} のふるい分析(沈降分析を行わない場合)

ふるい	容器No.	(残留試料+容器)質量	容器質量	残留試料質量	加積残留試料質量	加積残留率	加積通過率P	通過質量百分率 $P(d)$
				m(d)	$\Sigma m(d)$	$\frac{\sum m(d)}{m_{1s}} \times 100$	$\left \left(1-\frac{\sum m(d)}{m_{1s}}\right)\times 100\right $	$\left \frac{m_{\scriptscriptstyle \mathrm{S}} - m_{\scriptscriptstyle \mathrm{0s}}}{m_{\scriptscriptstyle \mathrm{S}}} imes P \right $
μ m		g	g	g	g	%	%	%
850		0.0	0.0	0.0	0.0	0.0	100.0	100.0
425		0. 1	0.0	0. 1	0. 1	0. 2	99.8	99.8
250		1.0	0.0	1.0	1. 1	2. 0	98. 0	98. 0
106		16. 9	0.0	16. 9	18. 0	33. 0	67.0	67. 0
75		9.8	0.0	9.8	27.8	51.0	49.0	49. 0

粒 度 試 土 (ふるい分析) \mathcal{O}

調 査 件 名 坂出市再編新校(前期)整備事業に伴う地質調査業務

試験年月日 2025年 9月 25日

試料番号(深さ) 1P-38(38.15~38.45m)

試 験 者 井坂 圭佑

	<u> </u>	/							V - 712		
		全	試	料			2mmふる	るい通	自過試料(沈降ケ	分析を行わ	ない場合)
	容器N	lo.	171	54	111		容器 No).			
含	<i>m</i> a	g	171.06	164. 58	160. 46	含	m _a	g			
水	$m_{ m b}$	g	142.82	138.69	134. 83] 	m b	g			
///	m.	g	49.35	49.48	49. 91	///	m_{\circ}	g			
比	W	%	30. 21	29.02	30. 18	比	W 1	%			
	平均値	w %		29.8	·		平均値 и	V 1 %			·
(全	試料+:	容器)	質量	g		(2mm3	ふるい通過	試料-	+容器)質量	g	
容	器(No.) 乍	質量	g		容	器(No.)質	重 量	g	
全	試 彩	上 質	量 n	1 g	347. 4	2 m m -	ふるい通道	過試彩	♪の質量 <i>m</i> □	g	
全試	全試料の炉乾燥質量 $m_s = \frac{m}{1+w/100}$ g 26						るい通過 の炉乾燥9	質量	$m_{1s} = \frac{m_1}{1 + w_1/2}$		
2 m m	ふるい残	自知公	(試料+容器)	質量 g	54. 0	全 計	割の信責	古相后	兵長に 対する		
	洗い後の		容器(No. 54)	質量 g	49. 5	* 全試料の炉乾燥質量に対する 5 2mmふるい通過試料の炉乾燥質量比 m。					
	1)L V 1 1/2 V	2 PM 19T	炉 乾 燥 質	量 m 0s g	4. 5	2000かのい. 通過八件の別 紀潔質 重比 1115					

2 mmふるい残留分 m_{0s} のふるい分析

ふるい	容器 No.	(残留試料+容器)質量	容器質量	残留試料質量	加積残留試料質量	加積残留率	通過質量百分率P(d)
				m(d)	$\sum m(d)$	$\frac{\sum m(d)}{m_s} \times 100$	$\left(1 - \frac{\sum m(d)}{m_s}\right) \times 100$
mm		g	g	g	g	%	%
75							
53							
37. 5							
26. 5							
19							
9. 5		0.0	0.0	0.0	0.0	0.0	100. 0
4. 75		1. 1	0.0	1. 1	1. 1	0.4	99. 6
2		3. 4	0.0	3. 4	4. 5	1. 7	98. 3

2 mmふるい通過分 m_{1s} のふるい分析(沈降分析を行わない場合)

ふるい	容器 No.	(残留試料+容器)質量	容器質量	残留試料質量	加積残留試料質量		加積通過率P	
				m (d)	$\Sigma m(d)$	$\frac{\sum m(d)}{m_{1s}} \times 100$	$\left \left(1 - \frac{\sum m(d)}{m_{1s}} \right) \times 100 \right $	$\frac{m_{\text{s}}-m_{\text{0s}}}{m_{\text{s}}}\times P$
μ m		g	g	g	g	%	%	%
850								
425								
250								
106								
75								

JIS A 1204 JGS 0131

土 の 粒 度 試 験 (2mmふるい通過分分析)

調 査 件 名 坂出市再編新校(前期)整備事業に伴う地質調査業務

試験年月日 2025年 9月 25日

試料番号(深さ) 1P-38(38.15~38.45m)

試 験 者 井坂 圭佑

		2 mm	ı ふるい j	通過試	料	土 粒 子 の 密 度 ρ。 g/cm³	2. 650
	容器 No.					塑 性 指 数 I,	27. 9
含	$m_{\scriptscriptstyle \mathrm{a}}$	g				分散装置の容器 No.	1
水	m ₀	g				メスシリンダー No.	8
710	m 0	g				浮 ひ ょ う No.	91
比	W 1	%				メニスカス補正値 <i>C</i> _m	0.0005
	平均值 w	1 %		0.0)	使用した分散剤、溶液濃度、溶液添加量	
(沈降	分析用試料	十容	器)質量	g	106.8	ヘキサメタ燐酸ナトリウム,20%,1	Om1
容	器(No. 26) !	質 量	g	49.8	全試料の炉乾燥質量に対する m_s-m_{0s}	0.000
沈 降	分析用記	式 料	質量 m	g	57.0	2mmふるい通過試料の炉乾燥質量の比 ms	0. 983
	分析用試料	1	$m_{1s} = \frac{m_1}{1 + w_1/1}$	g	57. 0	$M = \frac{V}{m_{1s}} \frac{\rho_s}{\rho_s - \rho_w} \rho_w \times 100$	2804. 3

沈降分析

(1)	2	3	4	5	6	7	8	9	10
測定時刻	経過時間	浮ひょ	うの読み	測定時	有効深さ		粒 径 d	補正係数	加積通過率P	通過質量百分率
	t	小数部分		の水温	L	30 η	1 (6)X 1 2 1		M ×(3) +F)	$\frac{P(d)}{m_s - m_{0s}} \times P$
	min	Γ	$r + C_n$	$^{\circ}\! \mathbb{C}$	mm	$\sqrt{g_{\scriptscriptstyle \rm R}(\rho_{\scriptscriptstyle m S}-\rho_{\scriptscriptstyle W})}$	mm		%	$m_s \sim 1$
	1	0230	0235	25	132. 2	0.0041	0.0471	0.0020	71. 5	70. 3
	2	0190	0195	25	140. 5	0.0041	0. 0344	0.0020	60. 3	59. 3
	5	0140	0145	25	150. 9	0.0041	0. 0225	0.0020	46. 3	45.5
	15	0100	0105	25	159. 2	0.0041	0.0134	0.0020	35. 1	34. 5
	30	0080	0085	25	163. 4	0.0041	0.0096	0.0020	29. 4	28. 9
	60	0060	0065	25	167. 5	0.0041	0.0069	0.0020	23.8	23. 4
	240	0035	0040	25	172.7	0.0041	0.0035	0.0020	16.8	16. 5
	1440	0010	0015	27	177. 9	0.0040	0.0014	0.0025	11.2	11.0

ふるい分析(沈降分析を行う場合)

ふる(・力利(仏暦力利を1) 7場百)										
ふるい	容器No.	(残留試料+容器)質量	容器質量	残留試料質量	加積残留試料質量	加積残留率		通過質量百分率 $P(d)$		
				m (d)	$\Sigma m(d)$	$\frac{\sum m(d)}{m_{1s}} \times 100$	$\left \left(1 - \frac{\sum m (d)}{m_{1s}} \right) \times 100 \right $	$\frac{m_{\text{\tiny S}}-m_{\text{\tiny OS}}}{m_{\text{\tiny S}}}\times P$		
μ m		g	g	g	g	%	%	%		
850		1. 1	0.0	1. 1	1. 1	1. 9	98. 1	96. 4		
425		1.2	0.0	1.2	2. 3	4. 0	96. 0	94. 4		
250		1.2	0.0	1.2	3. 5	6. 1	93. 9	92. 3		
106		2. 2	0.0	2. 2	5. 7	10. 0	90. 0	88. 5		
75		2. 0	0.0	2.0	7. 7	13. 5	86. 5	85. 0		

JIS A 1205 JGS 0141

土の液性限界・塑性限界試験(試験結果)

調査件名 坂出市再編新校(前期)整備事業に伴う地質調査業務

試験年月日 2025年 9月 24日

試 験 者 井坂 圭佑

試料番号	(深さ) 1P-13	$(13.15 \sim 13.45 \text{m})$	1)
液	性限界試験	塑性限界試験	液性限界 🐠 %
落下回数	含水比 w %	含水比 w %	258. 7
32	250. 0	134.0	塑性限界 🐠 %
27	256. 0	133.3	133. 7
21	265. 2	133.9	塑性指数 1,
16	274. 2		125. 0
11	284. 7		

試料番号(深さ) 1P-14 (14.15~14.42m)

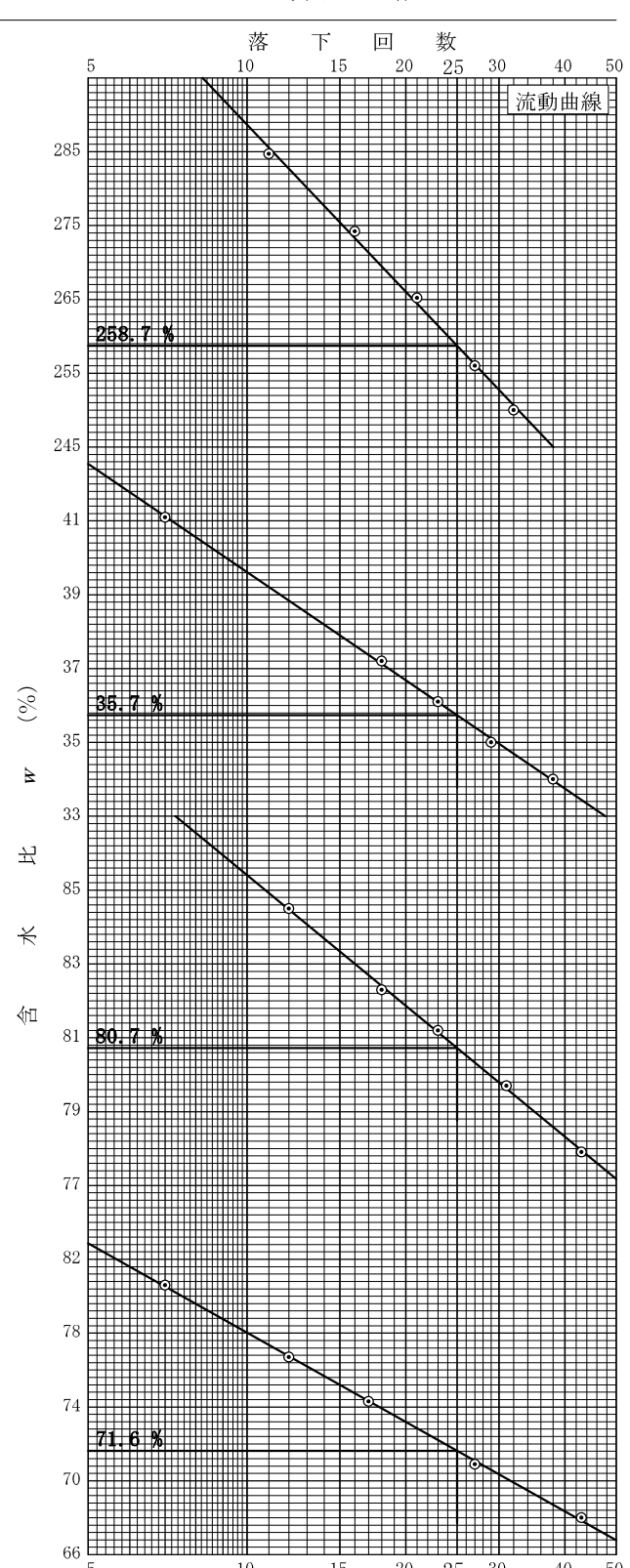
液化	生限界試験	塑性限界試験	液性限界 🐠 %
落下回数	含水比 w %	含水比 w %	35. 7
38	34.0	14. 1	塑性限界 🕢 %
29	35. 0	14.8	14. 6
23	36. 1	14.8	塑性指数 $I_{\scriptscriptstyle m p}$
18	37.2		21. 1
7	41.1		
	[

試料番号(深さ) 1P-17 (17.15~17.45m)

液	性限界試験	塑性限界試験	液性限界 🐠 %
落下回数	含水比 w %	含水比 😿 %	80. 7
43	77.9	25. 8	塑性限界 w, %
31	79.7	26.0	26. 2
23	81.2	26. 7	塑性指数 I,
18	82.3		54. 5
12	84. 5		

試料番号(深さ) 1P-18 (18.15~18.45m)

	生限界試験	塑性限界試験	液性限界 🐠 %
落下回数	含水比 😿 %	含水比 w %	71. 6
43	68. 0	29. 2	塑性限界 🕢 %
27	70. 9	28.6	29. 0
17	74. 3	29. 2	塑性指数 I,
12	76. 7		42. 6
7	80.6		



JIS A 1205 JGS 0141

特記事項

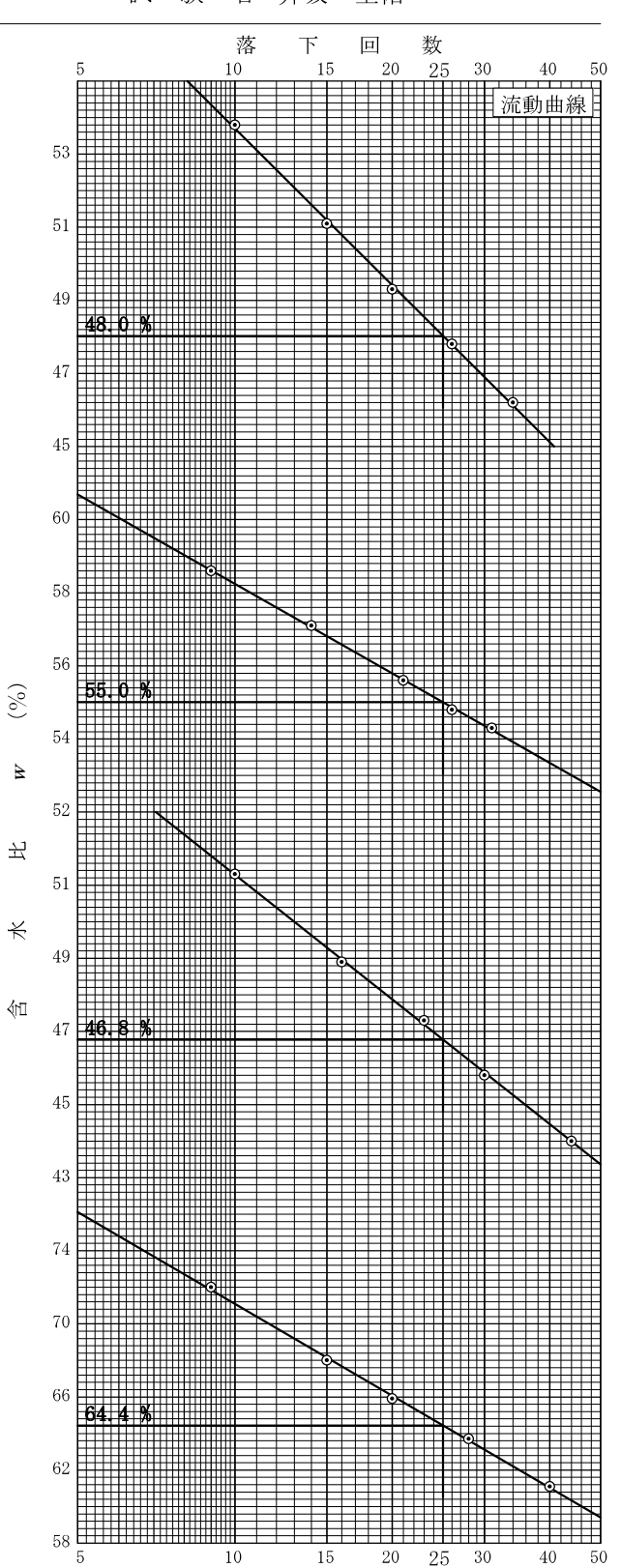
土の液性限界・塑性限界試験(試験結果)

調査件名 坂出市再編新校(前期)整備事業に伴う地質調査業務

試験年月日 2025年 9月 24日

試 験 者 井坂 圭佑

Pr / 11 IB: 7	(深さ)	1P-19	(19. 15~19. 45r	")
	性限界試験		(19.15~19.45f 塑性限界試験	n) 液性限界 w
落下回数	含水比	w %	含水比 w %	
		••		48.0 塑性限界 w ,%
34		46. 2	18. 0	
26		47. 8	18. 9	18.6
20	·	49. 3	18. 9	塑性指数 I,
15		51. 1		29. 4
10		53.8		
3 N Jol et 17	(New York		(`
試料番号			· I	
	性限界試験 		塑性限界試験	液性限界 w %
落下回数	含水比	w %	含水比 w %	55. 0
31		54. 3	18. 9	塑性限界 w,%
26		54.8	18.4	18.6
21		55.6	18. 5	塑性指数 I,
14		57. 1		36. 4
9		58.6		
1 to 104.45				
試料番号	(深さ)	1P-27	$(27.15\sim27.45r$	n)
	(深さ) 性限界試験		(27.15~27.45r 塑性限界試験	n) 液性限界 w ₁ %
			1	
液	性限界試験含水比	हे	塑性限界試験	液性限界 W1 %
落下回数	性限界試験 含水比	₹ w %	塑性限界試験 含水比 w %	液性限界 w % % 46.8
液 [,] 落下回数 44	含水比	w % 44.0	塑性限界試験 含水比 w % 22.4	液性限界 w _L % 46.8 塑性限界 w _p %
液 [,] 落下回数 44 30	含水比	w % 44. 0 45. 8	塑性限界試験 含水比 w % 22.4 22.1	液性限界 w ₁ % 46.8 塑性限界 w _p % 22.4
落下回数 44 30 23	含水比	w % 44.0 45.8 47.3	塑性限界試験 含水比 w % 22.4 22.1	液性限界 w _L % 46.8 塑性限界 w _p % 22.4 塑性指数 I _p
液 ² 落下回数 44 30 23 16	含水比	w % 44.0 45.8 47.3 48.9	塑性限界試験 含水比 w % 22.4 22.1	液性限界 w _L % 46.8 塑性限界 w _p % 22.4 塑性指数 I _p
液 ² 落下回数 44 30 23 16	含水比	w % 44.0 45.8 47.3 48.9	塑性限界試験 含水比 w % 22.4 22.1 22.7	液性限界 w _L % 46.8 塑性限界 w _p % 22.4 塑性指数 I _p 24.4
液· 落下回数 44 30 23 16 10	含水比	w % 44.0 45.8 47.3 48.9 51.3	塑性限界試験 含水比 w % 22.4 22.1 22.7	液性限界 w _L % 46.8 塑性限界 w _p % 22.4 塑性指数 I _p 24.4
液· 落下回数 44 30 23 16 10	性限界試験 含水比 (深さ)	w % 44.0 45.8 47.3 48.9 51.3	塑性限界試験 含水比 w % 22.4 22.1 22.7	液性限界 w _L % 46.8 塑性限界 w _p % 22.4 塑性指数 I _p 24.4
液 落下回数 44 30 23 16 10 試料番号	性限界試験 含水比 (深さ) 性限界試験 含水比	w % 44.0 45.8 47.3 48.9 51.3 1P−30	塑性限界試験 含水比 w % 22.4 22.1 22.7 (30.15~30.45r 塑性限界試験	液性限界 w _L % 46.8 塑性限界 w _p % 22.4 塑性指数 I _p 24.4
落下回数 44 30 23 16 10 試料番号 液	性限界試験 含水比 (深さ) 性限界試験 含水比	w % 44.0 45.8 47.3 48.9 51.3 1P−30 w %	塑性限界試験 含水比 w % 22.4 22.1 22.7 (30.15~30.45m 塑性限界試験 含水比 w %	液性限界 w ₁ % 46.8 塑性限界 w _p % 22.4 塑性指数 I _p 24.4 n) 液性限界 w ₁ % 64.4
落下回数 44 30 23 16 10 試料番号 液 落下回数	性限界試験 含水比 (深さ) 性限界試験 含水比	w % 44.0 45.8 47.3 48.9 51.3 1P−30 w % 61.1	塑性限界試験 含水比 w % 22.4 22.1 22.7 (30.15~30.45r 塑性限界試験 含水比 w % 21.5	液性限界 w1 % 46.8 塑性限界 wp % 22.4 型性指数 Ip 24.4 a 24.4 4 4 b 64.4 4 4 空性限界 wp %
落下回数 44 30 23 16 10 試料番号 液 落下回数 40 28	性限界試験 含水比 (深さ) 性限界試験 含水比	w % 44. 0 45. 8 47. 3 48. 9 51. 3 1P−30 w % 61. 1 63. 7	塑性限界試験 含水比 w % 22.4 22.1 22.7 (30.15~30.45r 塑性限界試験 含水比 w % 21.5 21.9	液性限界 w % 46.8 塑性限界 w % 22.4 塑性指数 I I 24.4 ***<



JIS A 1205 JGS 0141

特記事項

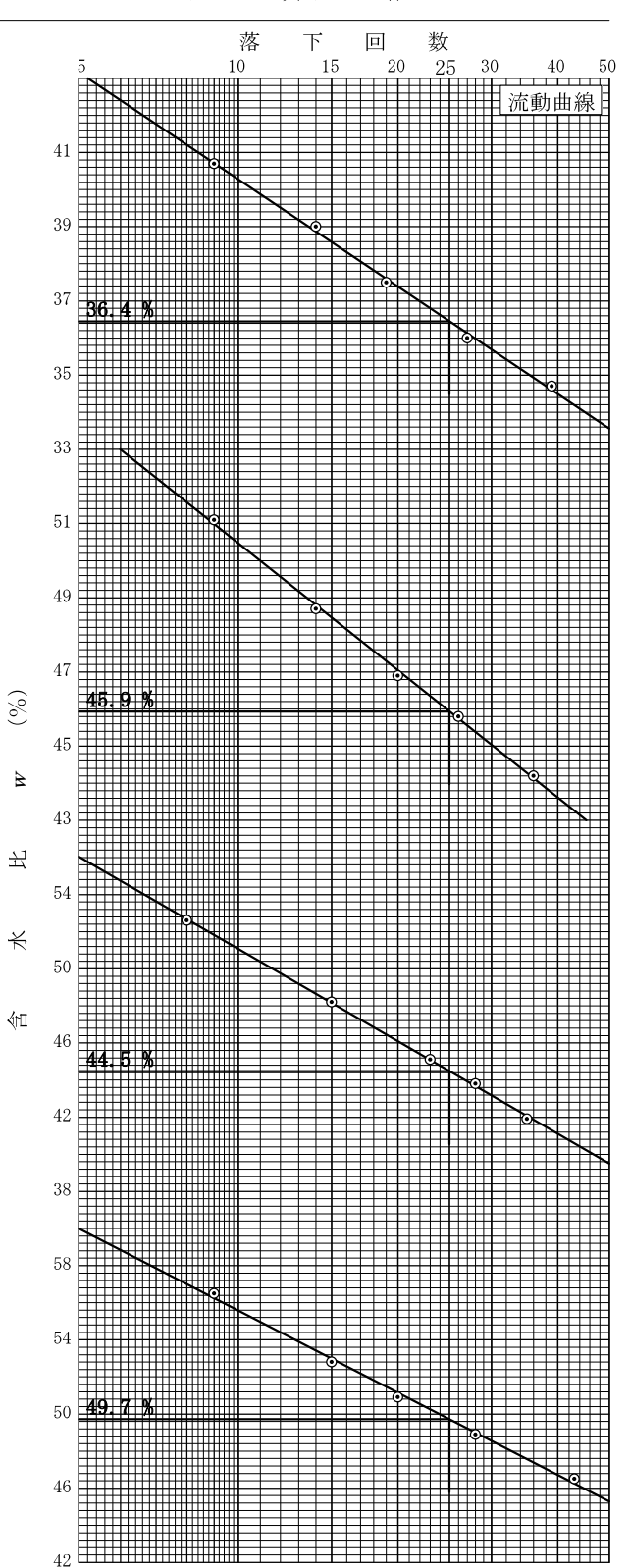
土の液性限界・塑性限界試験 (試験結果)

調査件名 坂出市再編新校(前期)整備事業に伴う地質調査業務

試験年月日 2025年 9月 24日

試 験 者 井坂 圭佑

試料番号	(深さ) 1P-31	$(31.15\sim31.45r$	n)
液(性限界試験	塑性限界試験	液性限界 🐠 %
落下回数	含水比 w %	含水比 w %	36. 4
39	34.7	24. 0	塑性限界 w , %
27	36. 0	24. 5	24. 4
19	37. 5	24. 6	塑性指数 I,
14	39. 0		12.0
9	40.7		
試料番号	(深さ) 1P-32	$(32.15\sim 32.45r$	n)
液	性限界試験	塑性限界試験	液性限界 🐠 %
落下回数	含水比 w %	含水比 w %	45. 9
36	44. 2	24. 7	塑性限界 🐠 %
26	45.8	25. 0	24.8
20	46.9	24. 6	塑性指数 I,
14	48.7		21.1
9	51.1		
試料番号	(深さ) 1P−34	(34. 15~34. 45r	n)
液	性限界試験	塑性限界試験	液性限界 w %
落下回数	含水比 w %	含水比 w %	44. 5
35	41.9	20.0	塑性限界 w, %
28	43.8	19.9	19.9
23	45.1	19.8	塑性指数 I,
15	48. 2		24. 6
8	52.6		
試料番号	(深さ) 1P-38	$(38.15\sim 38.45r$	n)
液	性限界試験	塑性限界試験	液性限界 w %
落下回数	含水比 w %	含水比 w %	49.7
43	46. 5	21.4	塑性限界 w, %
28	48. 9	21.8	21.8
20	50. 9	22. 1	塑性指数 I,
15	52.8		27. 9
9	56. 5		





地点名

No. 1

P L 値 1.16

地下水位面 0.80(m)

上載荷重

水の単位体積重量 10.0 (kN/m³) (注) 判定外 **1 地下水位より上(液状化の可能性は低い) $0.0 \, (kN/m^2)$

使用曲線 設計加速度 $\gamma = 5$ (%) $1.500 \, (m/s^2)$

**3 Fc~∠Nfグラフ範囲外(液状化の可能性は低い)

基準名

建築基礎構造設計指針 2019年

**4 全上載圧または有効上載圧が0.0以下となる層である
**5 Fc>35 Pc>10% Ip>15%により液状化判定しない

**2 τ d/σ'vが0.0以下である(液状化の可能性は低い)

判定方法 地表面設計用水平加速度と、実測N値

マグニチュード 7.5

]	Fc > 50%	6の取扱	il)	液状化の	判定外と	する				地表	表変位	(Dcy)	0.0	20 (m)		液划	代化の程	度 軽微						
in:							土 質	特	性						ula Arte	Seeker also	せん歯	振幅			液状	化の判定		
標	深さ	層厚	土層種類	N	値	判定深さ	湿潤重量	飽和重量	有上 裁压 σ' v	全上載圧	細含 粒有 土率	平均粒径	コーン貫入	周抵 面抗 摩擦	応算 力出 比法	液状化判定	低減係数	せ応 ん力 断	補正N値	液抵 状抗 化比	せ応 ん力 断比		判定	
(m)	(m)	(m)		0 50		(m)	(kN/m^3)	(kN/m³)	σ v (kN/m²)	(kN/m ²)	(%)	D50	(kN/m²)	(kN/m^2)				(kN/m ²)	Na	τ 1/σ'ν	τ d/σ'v	FL	0	
- 0	0.000				7																		1 1	1 1 1
	1. 300		砂質土			1. 300	16. 0		16. 3	21. 3	18. 6	0.610	0.00	0.00			0. 980	2. 1		0. 148	0. 127	1. 163		_p
	2. 300	1.000			3. 0	2. 300	16. 0	17. 0	23. 3	38. 3	18. 6	0.610	0.00	0.00			0. 965	3. 7		0. 157	0. 158	0. 997		(
	3. 300	1.000		1131111	14. 0	3. 300	19. 0	20.0	33. 3	58. 3	5. 6	3. 060	0.00	0.00			0. 951	5. 5		0. 196	0. 166	1. 181	1 1	
-	4. 300	1.000			9.0	4. 300	16. 0	17. 0	40. 3	75. 3	7. 4	0. 567	0.00	0.00			0. 936	7. 0		0. 187	0. 174	1. 076		
	5. 300	1.000			6.0	5. 300	16. 0	17. 0	47. 3	92. 3	8. 6 5. 4	1. 420	0.00	0.00			0. 920	8.5		0. 151	0. 179 0. 177	0.845	«	
	6. 300 7. 300		礫質土 礫質土	 	25. 0 24. 0	6. 300 7. 300	19. 0 19. 0	20.0	57. 3 67. 3	112. 3 132. 3	5. 4	13. 500 13. 500	0.00	0.00			0. 905 0. 891	10. 1 11. 7		0. 203 0. 177	0.177	1. 150 1. 015		
	8. 300	1.000		1111111	18. 0	8. 300	17. 0		75. 3	150. 3	5. 4	0. 769	0.00	0.00	-		0. 876	13. 1		0. 177	0.174	1. 556		
	9. 300	1.000		1114111	24. 0	9. 300	17. 0	18. 0	83. 3	168. 3	5. 4	0. 769	0.00	0.00			0. 860	14. 4	26. 78	0. 600	0. 173	3. 469	1 1	1
- 10	10. 300	1. 000			22. 0	10. 300	17. 0	18. 0	91.3	186. 3	5. 4	0. 769	0.00	0.00			0. 845	15. 7	23. 50	0. 366	0. 172	2. 129		
	11. 300	1. 000		111111	20. 0	11. 300	17. 0	18.0	99. 3	204. 3	5. 4	0. 769	0.00	0.00			0. 831	16. 9	20. 55	0. 251	0. 170	1. 477		
[12. 300	1.000	砂質土	1114111	21. 0	12. 300	17. 0	18.0	107. 3	222. 3	5. 4	0. 769	0.00	0.00	N値		0.816	18. 0	20. 75	0. 257	0. 168	1. 527		! 4 !
- [13. 300	1.000	粘性土		7. 0	13. 300	14. 0	15. 0	112. 3	237. 3	74.0	0.005	0.00	0.00	N値	しない	0.000	0.0	99. 90	0.600	0.000			
-	14. 300	1.000	砂質土		56. 0	14. 300	18.0	19. 0	121. 3	256. 3	36. 5	0. 169	0.00	0.00	N値		0. 785	20. 0	60. 50	0.600	0. 165	3. 634	ii	
-	15. 300	1.000	粘性土		15. 0	15. 300	16. 0	17. 0	128. 3	273. 3	99. 4	0.004	0.00	0.00	N値	しない	0.000	0.0	99. 90	0.600	0.000			
	16. 300	1.000	粘性土		12. 0	16. 300	16.0	17. 0	135. 3	290. 3	99. 4	0.004	0.00	0.00	N値	しない	0.000	0.0	99. 90	0.600	0.000			
	17. 300	1.000	粘性土	 	9. 0	17. 300	16. 0	17.0	142. 3	307. 3	99. 4	0.004	0.00	0.00		しない	0.000	0.0	99. 90	0.600	0.000		1 1	
	18. 300	1.000		4	5. 0	18. 300	15. 0	16.0	148. 3	323. 3	94. 8	0.004	0.00	0.00		しない	0.000	0.0		0.600	0.000			
	19. 300	1.000	粘性土	 • 	20.0	19. 300	16. 0	17. 0	155. 3	340. 3	63. 6	0. 038	0.00	0.00	N値	しない	0.000	0.0	99. 90	0.600	0.000			
- 20																								
																							ii	i i il
																							1 1	
				ПППП																				
																							1 1	
- 30																								

1

1. 設計条件

基準名 : 建築基礎構造設計指針 2019年

タイトル : No. 1

判定方法 : 設計震度と実測N値

液状化判定を行う範囲(m): 20.000水の単位体積重量(kN/m³): 10.0上載荷重(kN/m²): 0.0地下水位面(m): 0.800地表面設計水平加速度(m/s²): 1.500等価繰返し回数に関する補正係数: 0.650

2. 地層データ

			10 m z =	*
地層	深度	層厚	湿潤重量	飽和重量
番号	(m)	(m)	(kN/m^3)	(kN/m^3)
1	1. 300	1.300	16.00	17. 00
2	2. 300	1.000	16.00	17. 00
3	3. 300	1.000	19.00	20. 00
4	4. 300	1.000	16.00	17. 00
5	5. 300	1.000	16.00	17. 00
6	6. 300	1.000	19.00	20. 00
7	7. 300	1.000	19.00	20. 00
8	8. 300	1.000	17.00	18. 00
9	9. 300	1.000	17.00	18. 00
10	10. 300	1.000	17.00	18. 00
11	11. 300	1.000	17.00	18. 00
12	12. 300	1.000	17.00	18. 00
13	13. 300	1.000	14.00	15. 00
14	14. 300	1.000	18.00	19. 00
15	15. 300	1.000	16.00	17. 00
16	16. 300	1.000	16.00	17. 00
17	17. 300	1.000	16.00	17. 00
18	18. 300	1.000	15.00	16.00
19	19. 300	1.000	16.00	17. 00

測定深さ (m)	実測N値	細粒分含有率 Fc(%)	土層種類	平均粒径 D50(mm)	塑性指数 Ip	コーン貫入抵抗値 qc(kN/m²)
1. 300	2. 00	18. 60	砂質土	0. 610	0.00	0.00
2. 300	3. 00	18.60	砂質土	0. 610	0.00	0.00
3. 300	14. 00	5. 60	礫質土	3. 060	0.00	0.00
4. 300	9. 00	7. 40	砂質土	0. 567	0.00	0.00
5. 300	6. 00	8.60	砂質土	1. 420	0.00	0.00
6. 300	25. 00	5. 40	礫質土	13. 500	0.00	0.00
7. 300	24. 00	5. 40	礫質土	13. 500	0.00	0.00
8. 300	18. 00	5. 40	砂質土	0. 769	0.00	0.00
9. 300	24. 00	5. 40	砂質土	0. 769	0.00	0.00
10. 300	22. 00	5. 40	砂質土	0. 769	0.00	0.00
11. 300	20. 00	5. 40	砂質土	0. 769	0.00	0.00
12. 300	21. 00	5. 40	砂質土	0. 769	0.00	0.00
13. 300	7. 00	74. 00	粘性土	0. 005	125. 00	0.00
14. 300	56. 00	36.50	砂質土	0. 169	0.00	0.00
15. 300	15. 00	99.40	粘性土	0. 004	54. 50	0.00
16. 300	12. 00	99.40	粘性土	0. 004	54. 50	0.00
17. 300	9. 00	99.40	粘性土	0. 004	54. 50	0.00
18. 300	5. 00	94. 80	粘性土	0. 004	42. 60	0.00
19. 300	20. 00	63.60	粘性土	0. 038	29. 40	0.00

測定深さ (m)	周面摩擦抵抗 fs(kN/m²)	粘土分含有率 Pc(%)	τ Ι/σ' z	応力比算出法	液状化判定 の考慮	低減係数 γd
1. 300	0. 00	0.00	0. 148	N値	する	0. 9805

3

測定深さ (m)	周面摩擦抵抗 fs(kN/m²)	粘土分含有率 Pc(%)	τ Ι/σ' z	応力比算出法	液状化判定 の考慮	低減係数 γd
2. 300	0. 00	0.00	0. 157	N値	する	0. 9655
3. 300	0. 00	0.00	0. 196	N値	する	0. 9505
4. 300	0. 00	0.00	0. 187	N値	する	0. 9355
5. 300	0. 00	0.00	0. 151	N値	する	0. 9205
6. 300	0. 00	0.00	0. 203	N値	する	0. 9055
7. 300	0. 00	0.00	0. 177	N値	する	0. 8905
8. 300	0. 00	0.00	0. 271	N値	する	0. 8755
9. 300	0. 00	0.00	0.600	N値	する	0. 8605
10. 300	0. 00	0.00	0. 366	N値	する	0. 8455
11. 300	0. 00	0.00	0. 251	N値	する	0. 8305
12. 300	0. 00	0.00	0. 257	N値	する	0. 8155
13. 300	0. 00	49.00	0.600	N値	しない	0.0000
14. 300	0. 00	0.00	0.600	N値	する	0. 7855
15. 300	0. 00	53.60	0. 600	N値	しない	0.0000
16. 300	0. 00	53.60	0.600	N値	しない	0.0000
17. 300	0. 00	53.60	0. 600	N値	しない	0.0000
18. 300	0. 00	54. 10	0. 600	N値	しない	0.0000
19. 300	0. 00	26.60	0. 600	N値	しない	0.0000

3. 液状化判定

測定深さ (m)	液状化抵抗比の推定	N補正係数 CN	N補正係数 Csb	補正 N 値 Na	換算 N 値 N1
1. 300	N値を用いる	2. 477	0.000	12. 67	4. 95
2. 300	N値を用いる	2. 072	0.000	13. 94	6. 22
3. 300	N値を用いる	1. 733	0. 730	17. 70	24. 26
4. 300	N値を用いる	1. 575	0.000	17. 06	14. 18
5. 300	N値を用いる	1. 454	0.000	13. 04	8. 72
6. 300	N値を用いる	1. 321	0. 551	18. 21	33. 03
7. 300	N値を用いる	1. 219	0. 551	16. 13	29. 26
8. 300	N値を用いる	1. 152	0.000	21. 22	20. 74
9. 300	N値を用いる	1. 096	0.000	26. 78	26. 30
10. 300	N値を用いる	1. 047	0.000	23. 50	23. 02
11. 300	N値を用いる	1. 004	0.000	20. 55	20. 07
12. 300	N値を用いる	0. 965	0.000	20. 75	20. 27
13. 300	N値を用いる	0. 944	0.000	99. 90	6. 61
14. 300	N値を用いる	0. 908	0.000	60.50	50. 85
15. 300	N値を用いる	0. 883	0.000	99.90	13. 24
16. 300	N値を用いる	0. 860	0.000	99. 90	10. 32
17. 300	N値を用いる	0. 838	0.000	99. 90	7. 54
18. 300	N値を用いる	0. 821	0.000	99. 90	4. 11
19. 300	N値を用いる	0. 802	0.000	99. 90	16.05

測定深さ (m)	補正コーン 貫入抵抗値	F(Ic)	Ic	Qt	FR
1. 300	0.000	0. 00	0. 00	0.00	0.00
2. 300	0.000	0. 00	0. 00	0.00	0.00
3. 300	0.000	0. 00	0. 00	0.00	0.00
4. 300	0.000	0. 00	0. 00	0.00	0.00
5. 300	0.000	0. 00	0. 00	0. 00	0.00
6. 300	0.000	0. 00	0. 00	0.00	0.00
7. 300	0.000	0. 00	0. 00	0.00	0.00
8. 300	0.000	0. 00	0. 00	0.00	0.00
9. 300	0.000	0. 00	0. 00	0.00	0.00
10. 300	0.000	0. 00	0. 00	0.00	0.00
11. 300	0.000	0. 00	0. 00	0. 00	0.00
12. 300	0.000	0. 00	0. 00	0.00	0.00
13. 300	0.000	0. 00	0. 00	0.00	0.00
14. 300	0.000	0. 00	0. 00	0. 00	0.00
15. 300	0.000	0. 00	0. 00	0.00	0.00
16. 300	0.000	0. 00	0. 00	0.00	0.00
17. 300	0.000	0. 00	0. 00	0.00	0.00
18. 300	0.000	0. 00	0. 00	0.00	0.00
19. 300	0.000	0. 00	0. 00	0.00	0.00

測定深さ	液状化	深さ低減	全上載圧	有効上載圧	せん断	液状化
(m)	抵抗比	係数γd	(kN/m²)	(kN/m²)	応力比	抵抗率
1. 300	0. 148	0.980	21. 3	16.3	0. 127	

		r				
測定深さ	液状化	深さ低減	全上載圧	有効上載圧	せん断	液状化
(m)	抵抗比	係数γd	(kN/m ²)	(kN/m²)	応力比	抵抗率
2. 300	0. 157	0.965	38. 3	23. 3	0. 158	0. 997
3. 300	0. 196	0. 951	58. 3	33. 3	0. 166	1. 181
4. 300	0. 187	0.936	75. 3	40. 3	0. 174	1.076
5. 300	0. 151	0.920	92. 3	47. 3	0. 179	0.845
6. 300	0. 203	0.905	112. 3	57. 3	0. 177	1. 150
7. 300	0. 177	0.891	132. 3	67. 3	0. 174	1.015
8. 300	0. 271	0.876	150. 3	75. 3	0. 174	1.556
9. 300	0. 600	0.860	168. 3	83. 3	0. 173	3.469
10. 300	0. 366	0.845	186. 3	91.3	0. 172	2. 129
11. 300	0. 251	0.831	204. 3	99. 3	0. 170	1. 477
12. 300	0. 257	0.816	222. 3	107. 3	0. 168	1. 527
13. 300	0. 600	0.000	237. 3	112. 3	0. 000	
14. 300	0. 600	0. 785	256. 3	121.3	0. 165	3. 634
15. 300	0. 600	0.000	273. 3	128. 3	0. 000	
16. 300	0. 600	0.000	290. 3	135. 3	0. 000	
17. 300	0. 600	0.000	307. 3	142. 3	0. 000	
18. 300	0. 600	0.000	323. 3	148.3	0.000	
19. 300	0. 600	0.000	340. 3	155. 3	0.000	

4. PL値法

[PL値一覧表]

ケース名	PL値	液状化危険度
No. 1	1. 166	〇 低い

[No. 1

判定深さ (m)	計算深さ (m)	計算層厚 (m)	FL	F (1-FL)	W(Z)	ΔPL
1. 300	0.800~ 1.800	1. 000	1. 163	0.000	9. 350	0.000
2. 300	1.800~ 2.800	1. 000	0. 997	0. 003	8.850	0. 023
3. 300	2.800~ 3.800	1. 000	1. 181	0. 000	8. 350	0.000
4. 300	3.800~ 4.800	1. 000	1.076	0. 000	7. 850	0.000
5. 300	4.800~ 5.800	1. 000	0.845	0. 155	7. 350	1. 143
6. 300	5.800~ 6.800	1. 000	1. 150	0.000	6.850	0.000
7. 300	6.800~ 7.800	1. 000	1. 015	0.000	6.350	0.000
8. 300	7.800~ 8.800	1. 000	1.556	0.000	5.850	0.000
9. 300	8.800~ 9.800	1. 000	3.469	0.000	5. 350	0.000
10. 300	9.800~10.800	1. 000	2. 129	0.000	4. 850	0.000
11. 300	10.800~11.800	1. 000	1. 477	0.000	4. 350	0.000
12. 300	11.800~12.800	1. 000	1. 527	0.000	3.850	0.000
13. 300	**	1. 000	****	0.000	3. 350	0.000
14. 300	13.800~14.800	1. 000	3. 634	0.000	2. 850	0.000
15. 300	**	1. 000	****	0. 000	2. 350	0.000
16. 300	**	1. 000	****	0.000	1.850	0.000
17. 300	**	1. 000	****	0.000	1. 350	0.000
18. 300	**	1. 000	****	0.000	0.850	0.000
19. 300	**	1. 200	****	0.000	0. 350	0.000
			P L 値			1. 166

7

5. 液状化の程度

[地表変位(Dcy)]

ケース名	Dcy(m)	液状化の程度
No. 1	0. 020	軽微

[No. 1]

測定深さ (m)	計算層厚 (m)	FL	補正N値	せん断 応力比	γcy (%)	$\Delta { m Dcy} \ ({ m m})$	γcyグラフ (注)	水平地盤反力係数 の低減係数 β
1. 300	0.500	1.163	12. 674	0. 127				
2. 300	1.000	0.997	13. 935	0. 158	0. 586	0.006		0. 159
3. 300	1.000	1. 181	17. 704	0.166				
4. 300	1.000	1.076	17. 057	0. 174				
5. 300	1.000	0.845	13. 044	0. 179	1. 408	0.014		0. 141
6. 300	1.000	1. 150	18. 206	0. 177				
7. 300	1.000	1. 015	16. 127	0. 174				
8. 300	1.000	1. 556	21. 223	0. 174				
9. 300	1.000	3.469	26. 776	0. 173				
10. 300	1.000	2.129	23. 504	0. 172				
11. 300	1.000	1. 477	20. 550	0. 170				
12. 300	1.000	1. 527	20. 753	0. 168				
13. 300	1.000		99. 900	0.000				
14. 300	1.000	3.634	60. 496	0. 165				
15. 300	1.000		99. 900	0.000				
16. 300	1.000		99. 900	0.000				
17. 300	1.000		99. 900	0.000				
18. 300	1.000		99. 900	0.000				
19. 300	1.000		99. 900	0.000				
合 計						0.020		

(注) **1 τd/σv'が0.5以上である

**2 Na~ τ d/σ v'グラフの範囲外である

**3 FL≦1.0かつ補正N値0.0となる層がある

地点名

基準名

No. 1

PL値

11.04

地下水位面 0.80 (m)

水の単位体積重量 上載荷重

10.0 (kN/m^3) $0.0 \, (kN/m^2)$ (注) 判定外 **1 地下水位より上(液状化の可能性は低い)

建築基礎構造設計指針 2019年

使用曲線 $\gamma = 5$ (%) $2.000 \, (\text{m/s}^2)$ 設計加速度

**3 Fc~ Nfグラフ範囲外(液状化の可能性は低い) **4 全上載圧または有効上載圧が0.0以下となる層である

判定方法

地表面設計用水平加速度と、実測N値

**2 τ d/σ'vが0.0以下である(液状化の可能性は低い)

Fc>50%の取扱い

マグニチュード 7.5 **5 Fc>35 Pc>10% Ip>15%により液状化判定しない

液状化の判定外とする

0.081 (m) 地表変位(Dcy)

液状化の程度 小

	rc/50,	0074010	. •	1121/16	*> 1:17	L/I C ,	, D				×111.	仪 发 世	(DCy)	٠.	001 (111)	,	112.17	くしてノ作王	× 1						
4-86								土 質	特	性						- 応算	int= +.	せん関	折振幅			液状	代の判定		
標尺	深さ	層厚	土層種類	N	N 値	<u> </u>	判定深さ	湿潤重量	飽和重量	有上載 効圧	全上載圧	細含 粒有 土率	平均粒径	抵抗値	周 面 摩 擦	ル 力出 比法	液状化判定	低減係数	せ応 ん力 断	補 正 N 値	液抵 状抗 化比	せ応 ん力 断比		判 定	
(m)	(m)	(m)		0 50	0		(m)	(kN/m^3)	(kN/m³)	σ'v (kN/m²)	(kN/m²)	(%)	D50	入 (kN/m²)	(kN/m^2)				(kN/m²)	Na	τ 1/σ'ν	τ d/σ'v	FL	0 1	
- 0	0.000																								
ļ .	1. 300	1. 300	砂質土		$\underline{\underline{\forall}}$	2. 0	1. 300	16. 0	17. 0	16. 3	21. 3	18. 6	0.610	0.00	0.00	N値		0. 980	2.8	12. 67	0. 148	0. 170	0. 873		
-	2. 300	1.000	砂質土			3. 0	2. 300	16.0	17.0	23. 3	38. 3	18.6	0.610	0.00	0.00	N値		0.965	4. 9	13. 94	0. 157	0. 211	0.748	i i di	ii
-	3. 300	1.000	礫質土			14.0	3. 300	19. 0	20.0	33. 3	58. 3	5. 6	3.060	0.00	0.00	N値		0.951	7. 4	17. 70	0. 196	0. 221	0.886		
-	4. 300	1.000	砂質土			9. 0	4. 300	16. 0	17. 0	40.3	75. 3	7.4	0. 567	0.00	0.00	N値		0. 936	9. 3	17. 06	0. 187	0. 232	0.807	1]	1 1
F	5. 300	1.000	砂質土			6. 0	5. 300	16. 0	17. 0	47. 3	92. 3	8.6	1. 420	0.00	0.00	N値		0. 920	11. 3	13. 04	0. 151	0. 238	0. 633		
F	6. 300	1.000	礫質土			25. 0	6. 300	19. 0	20.0	57. 3	112. 3	5. 4	13. 500	0.00	0.00	N値		0. 905	13. 5	18. 21	0. 203	0. 235	0.862		
-	7. 300	1.000	礫質土	111 111		24. 0	7. 300	19. 0	20.0	67. 3	132. 3	5. 4	13. 500	0.00	0.00	N値		0.891	15. 6	16. 13	0. 177	0. 232	0. 761	1 1 1 1	1 1
-	8. 300	1.000	砂質土			18. 0	8. 300	17. 0	18. 0	75. 3	150. 3	5. 4	0.769	0.00	0.00	N値		0.876	17. 5	21. 22	0. 271	0. 232	1. 167		~
-	9. 300	1.000	砂質土			24. 0	9. 300	17. 0	18. 0	83. 3	168. 3	5. 4	0. 769	0.00	0.00	N値		0.860	19. 2	26. 78	0.600	0. 231	2. 602	iii	
- 10	10.300	1.000	砂質土	ШЙШ		22. 0	10. 300	17. 0	18. 0	91. 3	186. 3	5. 4	0.769	0.00	0.00	N値		0.845	20. 9	23. 50	0. 366	0. 229	1. 597		
-	11. 300	1.000	砂質土			20.0	11. 300	17. 0	18. 0	99. 3	204. 3	5. 4	0.769	0.00	0.00	N値		0.831	22. 5	20. 55	0. 251	0. 227	1. 108		<u>/</u>
-	12. 300	1.000	砂質土	1114111		21.0	12. 300	17. 0	18. 0	107. 3	222. 3	5. 4	0. 769	0.00	0.00	N値		0.816	24. 0	20. 75	0. 257	0. 224	1. 145		
-	13. 300	1.000	粘性土			7. 0	13. 300	14. 0	15. 0	112. 3	237. 3	74. 0	0.005	0.00	0.00	N値	しない	0.000	0.0	99. 90	0.600	0.000			
L	14. 300	1.000	砂質土			56. 0	14. 300	18. 0	19. 0	121. 3	256. 3	36. 5	0. 169	0.00	0.00	N値		0. 785	26. 7	60. 50	0.600	0. 220	2. 725		1 1
\vdash	15. 300	1.000	粘性土			15. 0	15. 300	16. 0	17. 0	128. 3	273. 3	99. 4	0.004	0.00	0.00	N値	しない	0.000	0.0	99. 90	0.600	0.000			
-	16. 300	1.000	粘性土			12. 0	16. 300	16. 0	17. 0	135. 3	290. 3	99. 4	0.004	0.00	0.00	N値	しない	0.000	0.0	99. 90	0.600	0.000			1 1
-	17. 300	1.000	粘性土	TI JIIII		9. 0	17. 300	16. 0	17. 0	142. 3	307. 3	99. 4	0.004	0.00	0.00	N値	しない	0.000	0.0	99. 90	0.600	0.000			
-	18. 300	1.000	粘性土			5. 0	18. 300	15. 0	16. 0	148. 3	323. 3	94.8	0.004	0.00	0.00	N値	しない	0.000	0.0	99. 90	0.600	0.000			
-	19. 300	1.000	粘性土			20. 0	19. 300	16. 0	17. 0	155. 3	340. 3	63. 6	0.038	0.00	0.00	N値	しない	0.000	0.0	99. 90	0.600	0.000			1 1
- 20																									
L				Inimi																					ii
L																									
L				ШШ																					1 1
L				1111111																					
-																									1 1
				liiiiii																					1 1
L																									
- 30				ШШ																					
																								\bot	

1

1. 設計条件

基準名 : 建築基礎構造設計指針 2019年

タイトル : No. 1

判定方法 : 設計震度と実測N値

液状化判定を行う範囲 (m): 20.000水の単位体積重量 (kN/m³): 10.0上載荷重 (kN/m²): 0.0地下水位面 (m): 0.800地表面設計水平加速度 (m/s²): 2.000等価繰返し回数に関する補正係数: 0.650

2. 地層データ

	\		70 W Z E	AL 1- Z F
地層番号	深度 (m)	層厚 (m)	湿潤重量 (kN/m³)	飽和重量 (kN/m³)
	` '	. ,		
1	1. 300	1. 300	16.00	17. 00
2	2. 300	1.000	16.00	17. 00
3	3. 300	1.000	19.00	20. 00
4	4. 300	1.000	16.00	17. 00
5	5. 300	1.000	16.00	17. 00
6	6. 300	1.000	19.00	20. 00
7	7. 300	1.000	19.00	20. 00
8	8. 300	1.000	17.00	18. 00
9	9. 300	1.000	17.00	18. 00
10	10. 300	1.000	17.00	18. 00
11	11. 300	1.000	17.00	18. 00
12	12. 300	1.000	17.00	18. 00
13	13. 300	1.000	14.00	15. 00
14	14. 300	1.000	18.00	19. 00
15	15. 300	1.000	16.00	17. 00
16	16. 300	1.000	16.00	17. 00
17	17. 300	1.000	16.00	17. 00
18	18. 300	1.000	15.00	16.00
19	19. 300	1.000	16.00	17. 00

測定深さ (m)	実測N値	細粒分含有率 Fc(%)	土層種類	平均粒径 D50(mm)	塑性指数 Ip	コーン貫入抵抗値 qc(kN/m²)
1. 300	2. 00	18. 60	砂質土	0. 610	0. 00	0.00
2. 300	3. 00	18.60	砂質土	0. 610	0.00	0.00
3. 300	14. 00	5. 60	礫質土	3. 060	0.00	0.00
4. 300	9. 00	7. 40	砂質土	0. 567	0. 00	0.00
5. 300	6. 00	8.60	砂質土	1. 420	0. 00	0. 00
6. 300	25. 00	5. 40	礫質土	13. 500	0.00	0.00
7. 300	24. 00	5. 40	礫質土	13. 500	0.00	0.00
8. 300	18. 00	5. 40	砂質土	0. 769	0. 00	0.00
9. 300	24. 00	5. 40	砂質土	0. 769	0.00	0.00
10. 300	22. 00	5. 40	砂質土	0. 769	0. 00	0.00
11. 300	20. 00	5. 40	砂質土	0. 769	0. 00	0.00
12. 300	21. 00	5. 40	砂質土	0. 769	0.00	0.00
13. 300	7. 00	74. 00	粘性土	0. 005	125. 00	0.00
14. 300	56.00	36.50	砂質土	0. 169	0. 00	0.00
15. 300	15. 00	99. 40	粘性土	0. 004	54. 50	0.00
16. 300	12. 00	99. 40	粘性土	0. 004	54. 50	0.00
17. 300	9. 00	99. 40	粘性土	0. 004	54. 50	0.00
18. 300	5. 00	94.80	粘性土	0. 004	42. 60	0.00
19. 300	20. 00	63.60	粘性土	0. 038	29. 40	0.00

測定深さ (m)	周面摩擦抵抗 fs(kN/m²)	粘土分含有率 Pc(%)	τ Ι/σ' z	応力比算出法	液状化判定 の考慮	低減係数 γd
1. 300	0. 00	0.00	0. 148	N値	する	0. 9805

3

					 115 11 .1	w
測定深さ	│周面摩擦抵抗 │ fs(kN/m²)	粘土分含有率 Pc(%)	τ I/σ' z	応力比算出法	液状化判定 の考慮	低減係数
					· ·	γd
2. 300	0. 00	0.00	0. 157	N値	する	0. 9655
3. 300	0. 00	0.00	0. 196	N値	する	0. 9505
4. 300	0. 00	0.00	0. 187	N値	する	0. 9355
5. 300	0. 00	0.00	0. 151	N値	する	0. 9205
6. 300	0. 00	0.00	0. 203	N値	する	0. 9055
7. 300	0. 00	0.00	0. 177	N値	する	0. 8905
8. 300	0. 00	0.00	0. 271	N値	する	0. 8755
9. 300	0. 00	0.00	0. 600	N値	する	0.8605
10. 300	0. 00	0.00	0. 366	N値	する	0. 8455
11. 300	0. 00	0.00	0. 251	N値	する	0. 8305
12. 300	0. 00	0.00	0. 257	N値	する	0. 8155
13. 300	0. 00	49.00	0.600	N値	しない	0.0000
14. 300	0. 00	0.00	0.600	N値	する	0. 7855
15. 300	0. 00	53.60	0. 600	N値	しない	0.0000
16. 300	0. 00	53.60	0. 600	N値	しない	0.0000
17. 300	0. 00	53.60	0. 600	N値	しない	0.0000
18. 300	0. 00	54. 10	0. 600	N値	しない	0.0000
19. 300	0. 00	26.60	0. 600	N値	しない	0. 0000

3. 液状化判定

測定深さ (m)	液状化抵抗比の推定	N補正係数 CN	N補正係数 Csb	補正N値 Na	換算 N 値 N1
1. 300	N値を用いる	2. 477	0.000	12. 67	4. 95
2. 300	N値を用いる	2. 072	0.000	13.94	6. 22
3. 300	N値を用いる	1. 733	0. 730	17. 70	24. 26
4. 300	N値を用いる	1. 575	0.000	17. 06	14. 18
5. 300	N値を用いる	1. 454	0.000	13.04	8. 72
6. 300	N値を用いる	1. 321	0. 551	18. 21	33. 03
7. 300	N値を用いる	1. 219	0. 551	16. 13	29. 26
8. 300	N値を用いる	1. 152	0.000	21. 22	20. 74
9. 300	N値を用いる	1. 096	0.000	26. 78	26. 30
10. 300	N値を用いる	1. 047	0.000	23. 50	23. 02
11. 300	N値を用いる	1. 004	0.000	20. 55	20. 07
12. 300	N値を用いる	0. 965	0.000	20. 75	20. 27
13. 300	N値を用いる	0. 944	0.000	99. 90	6. 61
14. 300	N値を用いる	0. 908	0.000	60.50	50. 85
15. 300	N値を用いる	0. 883	0.000	99.90	13. 24
16. 300	N値を用いる	0. 860	0.000	99. 90	10. 32
17. 300	N値を用いる	0. 838	0.000	99. 90	7. 54
18. 300	N値を用いる	0. 821	0.000	99. 90	4. 11
19. 300	N値を用いる	0. 802	0.000	99. 90	16. 05

測定深さ (m)	補正コーン 貫入抵抗値	F(Ic)	Ic	Qt	FR
1. 300	0.000	0. 00	0. 00	0.00	0.00
2. 300	0.000	0. 00	0. 00	0.00	0.00
3. 300	0.000	0. 00	0. 00	0.00	0.00
4. 300	0.000	0. 00	0. 00	0.00	0.00
5. 300	0.000	0. 00	0. 00	0.00	0.00
6. 300	0.000	0. 00	0. 00	0.00	0.00
7. 300	0.000	0. 00	0. 00	0.00	0.00
8. 300	0.000	0. 00	0. 00	0.00	0.00
9. 300	0.000	0. 00	0. 00	0.00	0.00
10. 300	0.000	0. 00	0. 00	0.00	0.00
11. 300	0.000	0. 00	0. 00	0. 00	0.00
12. 300	0.000	0. 00	0. 00	0.00	0.00
13. 300	0.000	0. 00	0. 00	0.00	0.00
14. 300	0.000	0. 00	0. 00	0. 00	0.00
15. 300	0.000	0. 00	0. 00	0.00	0.00
16. 300	0.000	0. 00	0. 00	0.00	0.00
17. 300	0.000	0. 00	0. 00	0. 00	0.00
18. 300	0.000	0. 00	0. 00	0.00	0.00
19. 300	0.000	0. 00	0. 00	0.00	0.00

測定深さ	液状化	深さ低減	全上載圧	有効上載圧	せん断	液状化
(m)	抵抗比	係数γd	(kN/m²)	(kN/m²)	応力比	抵抗率
1. 300	0. 148	0.980	21. 3	16.3	0. 170	

		Г	Г			
測定深さ	液状化	深さ低減	全上載圧	有効上載圧	せん断	液状化
(m)	抵抗比	係数γd	(kN/m ²)	(kN/m ²)	応力比	抵抗率
2. 300	0. 157	0.965	38. 3	23. 3	0. 211	0. 748
3. 300	0. 196	0. 951	58. 3	33. 3	0. 221	0.886
4. 300	0. 187	0.936	75. 3	40.3	0. 232	0.807
5. 300	0. 151	0.920	92. 3	47. 3	0. 238	0. 633
6. 300	0. 203	0.905	112. 3	57. 3	0. 235	0.862
7. 300	0. 177	0.891	132. 3	67. 3	0. 232	0. 761
8. 300	0. 271	0.876	150. 3	75. 3	0. 232	1. 167
9. 300	0. 600	0.860	168. 3	83. 3	0. 231	2. 602
10. 300	0. 366	0.845	186. 3	91.3	0. 229	1. 597
11. 300	0. 251	0.831	204. 3	99.3	0. 227	1. 108
12. 300	0. 257	0.816	222. 3	107. 3	0. 224	1. 145
13. 300	0. 600	0.000	237. 3	112. 3	0. 000	
14. 300	0. 600	0. 785	256. 3	121.3	0. 220	2. 725
15. 300	0. 600	0.000	273. 3	128. 3	0. 000	
16. 300	0. 600	0.000	290. 3	135. 3	0. 000	
17. 300	0. 600	0.000	307. 3	142. 3	0.000	
18. 300	0. 600	0.000	323. 3	148. 3	0.000	
19. 300	0. 600	0.000	340. 3	155.3	0. 000	

4. PL値法

[PL値一覧表]

ケース名	PL値	液状化危険度
No. 1	11. 043	△ 高い

[No. 1

判定深さ (m)	計算深さ (m)	計算層厚 (m)	FL	F (1-FL)	W(Z)	ΔΡΙ
1. 300	0.800~ 1.800	1. 000	0. 873	0. 127	9. 350	1. 191
2. 300	1.800~ 2.800	1. 000	0. 748	0. 252	8.850	2. 230
3. 300	2.800~ 3.800	1. 000	0.886	0. 114	8. 350	0. 952
4. 300	3.800~ 4.800	1. 000	0. 807	0. 193	7. 850	1. 514
5. 300	4.800~ 5.800	1. 000	0. 633	0. 367	7. 350	2. 695
6. 300	5.800~ 6.800	1. 000	0.862	0. 138	6.850	0. 944
7. 300	6.800~ 7.800	1. 000	0. 761	0. 239	6. 350	1. 517
8. 300	7.800~ 8.800	1. 000	1. 167	0. 000	5.850	0.000
9. 300	8.800~ 9.800	1. 000	2. 602	0.000	5. 350	0.000
10. 300	9.800~10.800	1. 000	1. 597	0.000	4. 850	0.000
11. 300	10.800~11.800	1. 000	1. 108	0.000	4. 350	0.000
12. 300	11.800~12.800	1. 000	1. 145	0.000	3.850	0.000
13. 300	**	1. 000	****	0. 000	3. 350	0.000
14. 300	13.800~14.800	1. 000	2. 725	0.000	2.850	0.000
15. 300	**	1. 000	****	0. 000	2. 350	0.000
16. 300	**	1. 000	****	0. 000	1.850	0.000
17. 300	**	1. 000	****	0.000	1. 350	0.000
18. 300	**	1. 000	****	0.000	0.850	0.000
19. 300	**	1. 200	****	0.000	0. 350	0.000
			P L 値			11. 043

7

5. 液状化の程度

[地表変位(Dcy)]

ケース名	Dcy(m)	液状化の程度
No. 1	0. 081	小

[No. 1]

測定深さ (m)	計算層厚 (m)	FL	補正N値	せん断 応力比	γcy (%)	ΔDcy (m)	γcyグラフ (注)	水平地盤反力係数 の低減係数 β
1. 300	0.500	0.873	12. 674	0. 170	1. 366	0.007		0. 135
2. 300	1.000	0.748	13. 935	0. 211	1. 588	0.016		0. 159
3. 300	1.000	0.886	17. 704	0. 221	0. 771	0.008		0. 257
4. 300	1.000	0.807	17. 057	0. 232	1. 008	0.010		0. 232
5. 300	1.000	0.633	13. 044	0. 238	2. 043	0.020		0. 141
6. 300	1.000	0.862	18. 206	0. 235	0.809	0.008		0. 275
7. 300	1.000	0.761	16. 127	0. 232	1. 219	0.012		0. 208
8. 300	1.000	1.167	21. 223	0. 232				
9. 300	1.000	2.602	26. 776	0. 231				
10. 300	1.000	1.597	23. 504	0. 229				
11. 300	1.000	1. 108	20. 550	0. 227				
12. 300	1.000	1. 145	20. 753	0. 224				
13. 300	1.000		99. 900	0.000				
14. 300	1.000	2. 725	60. 496	0. 220				
15. 300	1.000		99. 900	0.000				
16. 300	1.000		99. 900	0.000				
17. 300	1.000		99. 900	0.000				
18. 300	1.000		99. 900	0.000				
19. 300	1.000		99. 900	0.000				
合 計						0. 081		

(注) **1 τd/σv'が0.5以上である

**2 Na~τd/σv'グラフの範囲外である

**3 FL≦1.0かつ補正N値0.0となる層がある

地点名

基準名

No. 1

PL値

35. 15

地下水位面 0.80 (m)

水の単位体積重量 上載荷重

10.0 (kN/m^3)

 $0.0 \, (kN/m^2)$

(注) 判定外 **1 地下水位より上(液状化の可能性は低い) **2 τ d/σ'vが0.0以下である(液状化の可能性は低い)

建築基礎構造設計指針 2019年

使用曲線 $\gamma = 5$ (%) $3.500 \, (\text{m/s}^2)$ 設計加速度

**3 Fc~ Nfグラフ範囲外(液状化の可能性は低い) **4 全上載圧または有効上載圧が0.0以下となる層である

判定方法

地表面設計用水平加速度と、実測N値

マグニチュード 7.5

Fc>50%の取扱い

液状化の判定外とする

地表変位(Dcv) 0.154 (m) **5 Fc>35 Pc>10% Ip>15%により液状化判定しない

液状化の程度 中

1-ms							土 質	特	性						rin Adda	intr-+	せん関	折振幅			液状	代化の判定		
標尺	深さ	層厚	土層種類	N	値	判定深さ	湿潤重量	飽和重量	有上 載 効圧	全上載圧	細含 粒有 土率	平均粒径	抵抗値	周 面 摩 擦	応算 力出 比法	液状化判定	低減係数	せ応ん力断	補 正 N 値	液抵 状抗 化比	せ応力断比		判 気	Ē
(m)	(m)	(m)		0 50		(m)	(kN/m^3)	(kN/m³)	σ'v (kN/m²)	(kN/m²)	(%)	D50	入 (kN/m²)	(kN/m^2)				(kN/m²)	Na	τ 1/σ'ν	τ d/σ'v	FL	0	1
- 0	0.000																							
L	1. 300	1. 300	砂質土		2.0	1. 300	16.0	17. 0	16. 3	21. 3	18. 6	0.610	0.00	0.00	N値		0. 980	4.8	12. 67	0. 148	0. 297	0. 499		
L	2. 300	1.000	砂質土		3.0	2. 300	16.0	17. 0	23. 3	38. 3	18. 6	0.610	0.00	0.00	N値		0. 965	8.6	13. 94	0. 157	0.368	0. 427	1 1	1 1 1
-	3. 300	1.000	礫質土		14.0	3. 300	19. 0	20.0	33. 3	58. 3	5. 6	3. 060	0.00	0.00	N値		0. 951	12. 9	17. 70	0. 196	0. 386	0. 506	1	
-	4. 300	1.000	砂質土		9. 0	4. 300	16. 0	17. 0	40.3	75. 3	7. 4	0. 567	0.00	0.00	N値		0. 936	16. 4	17.06	0. 187	0. 406	0. 461	ı I	
-	5. 300	1.000	砂質土		6.0	5. 300	16.0	17. 0	47. 3	92. 3	8.6	1. 420	0.00	0.00	N値		0. 920	19. 7	13. 04	0. 151	0. 417	0.362]]	
-	6.300	1.000	礫質土		25. 0	6.300	19.0	20.0	57. 3	112. 3	5. 4	13. 500	0.00	0.00	N値		0. 905	23. 6	18. 21	0. 203	0.412	0. 493		
-	7. 300	1.000	礫質土	111 6111	24. 0	7. 300	19. 0	20.0	67.3	132. 3	5. 4	13. 500	0.00	0.00	N値		0.891	27. 3	16. 13	0. 177	0.406	0. 435	¦	1 1 1
-	8.300	1.000	砂質土		18.0	8. 300	17.0	18. 0	75. 3	150.3	5. 4	0.769	0.00	0.00	N値		0.876	30. 5	21. 22	0. 271	0.406	0.667	1	
-	9. 300	1.000	砂質土	<u> </u>	24.0	9. 300	17.0	18. 0	83. 3	168. 3	5. 4	0.769	0.00	0.00	N値		0.860	33. 6	26. 78	0.600	0.404	1. 487		
- 10	10.300	1.000	砂質土		22. 0	10. 300	17. 0	18. 0	91. 3	186. 3	5. 4	0.769	0.00	0.00	N値		0.845	36. 6	23. 50	0.366	0.401	0.913		
+	11. 300	1.000	砂質土		20.0	11. 300	17. 0	18. 0	99. 3	204. 3	5. 4	0.769	0.00	0.00	N値		0.831	39. 4	20. 55	0. 251	0.397	0.633	6	
-	12. 300	1.000	砂質土	1114111	21.0	12. 300	17. 0	18. 0	107. 3	222. 3	5. 4	0.769	0.00	0.00	N値		0.816	42. 1	20. 75	0. 257	0.392	0.654		1 1 1
-	13. 300	1.000	粘性土		7. 0	13. 300	14. 0	15. 0	112. 3	237. 3	74.0	0.005	0.00	0.00	N値	しない	0.000	0.0	99. 90	0.600	0.000			
-	14. 300	1.000	砂質土	 	56. 0	14. 300	18. 0	19. 0	121. 3	256. 3	36. 5	0. 169	0.00	0.00	N値		0. 785	46. 7	60. 50	0.600	0. 385	1. 557		
\vdash	15. 300	1.000	粘性土		15. 0	15. 300	16. 0	17. 0	128. 3	273. 3	99. 4	0.004	0.00	0.00	N値	しない	0.000	0.0	99. 90	0.600	0.000			
F	16. 300	1.000	粘性土	 ₩	12.0	16. 300	16. 0	17. 0	135. 3	290. 3	99. 4	0.004	0.00	0.00	N値	しない	0.000	0.0	99. 90	0.600	0.000			
-	17. 300	1.000	粘性土	 	9.0	17. 300	16. 0	17. 0	142. 3	307. 3	99. 4	0.004	0.00	0.00	N値	しない	0.000	0.0	99. 90	0.600	0.000		1 1	
-	18. 300		粘性土		5. 0	18. 300	15. 0	16. 0	148. 3	323. 3	94.8	0.004	0.00		N値	しない	0.000	0.0		0.600	0.000			
-	19. 300	1.000	粘性土	1119111	20.0	19. 300	16. 0	17. 0	155. 3	340. 3	63. 6	0. 038	0.00	0.00	N値	しない	0.000	0.0	99. 90	0.600	0.000			
- 20																								
F																							1 1	1 1 1
-																								
T				Інш																				1 1 1
																							1 1	1 1 1
-				liiiiii																			1 1	
- 30																								

1

1. 設計条件

基準名 : 建築基礎構造設計指針 2019年

タイトル : No.1

判定方法 : 設計震度と実測N値

液状化判定を行う範囲 (m): 20.000水の単位体積重量 (kN/m³): 10.0上載荷重 (kN/m²): 0.0地下水位面 (m): 0.800地表面設計水平加速度 (m/s²): 3.500等価繰返し回数に関する補正係数: 0.650

2. 地層データ

地層	深度	層厚	湿潤重量	飽和重量
番号	(m)	(m)	(k N /m³)	(kN/m^3)
1	1. 300	1.300	16.00	17. 00
2	2. 300	1.000	16.00	17. 00
3	3. 300	1.000	19.00	20. 00
4	4. 300	1.000	16.00	17. 00
5	5. 300	1.000	16.00	17. 00
6	6. 300	1.000	19.00	20. 00
7	7. 300	1.000	19.00	20. 00
8	8. 300	1.000	17.00	18. 00
9	9. 300	1.000	17.00	18. 00
10	10. 300	1.000	17.00	18. 00
11	11. 300	1.000	17.00	18. 00
12	12. 300	1.000	17.00	18. 00
13	13. 300	1.000	14.00	15. 00
14	14. 300	1.000	18.00	19.00
15	15. 300	1.000	16.00	17. 00
16	16. 300	1.000	16.00	17. 00
17	17. 300	1.000	16.00	17. 00
18	18. 300	1.000	15.00	16. 00
19	19. 300	1.000	16.00	17. 00

測定深さ	実測N値		土層種類		塑性指数	コーン貫入抵抗値
(m)		Fc (%)		D50 (mm)	Ip	qc(kN/m²)
1. 300	2. 00	18.60	砂質土	0. 610	0.00	0.00
2. 300	3. 00	18. 60	砂質土	0. 610	0.00	0.00
3. 300	14. 00	5. 60	礫質土	3. 060	0. 00	0.00
4. 300	9. 00	7. 40	砂質土	0. 567	0. 00	0. 00
5. 300	6. 00	8. 60	砂質土	1. 420	0. 00	0.00
6. 300	25. 00	5. 40	礫質土	13. 500	0.00	0.00
7. 300	24. 00	5. 40	礫質土	13. 500	0. 00	0.00
8. 300	18. 00	5. 40	砂質土	0. 769	0. 00	0.00
9. 300	24. 00	5. 40	砂質土	0. 769	0.00	0.00
10. 300	22. 00	5. 40	砂質土	0. 769	0. 00	0.00
11. 300	20. 00	5. 40	砂質土	0. 769	0. 00	0.00
12. 300	21. 00	5. 40	砂質土	0. 769	0. 00	0.00
13. 300	7. 00	74. 00	粘性土	0. 005	125. 00	0.00
14. 300	56.00	36.50	砂質土	0. 169	0. 00	0.00
15. 300	15. 00	99. 40	粘性土	0. 004	54. 50	0.00
16. 300	12. 00	99.40	粘性土	0. 004	54. 50	0.00
17. 300	9. 00	99.40	粘性土	0. 004	54. 50	0.00
18. 300	5. 00	94.80	粘性土	0. 004	42. 60	0.00
19. 300	20. 00	63.60	粘性土	0. 038	29. 40	0.00

測定深さ (m)	周面摩擦抵抗 fs(kN/m²)	粘土分含有率 Pc(%)	τ I/σ' z	応力比算出法	液状化判定 の考慮	低減係数 γd
1. 300	0. 00	0.00	0. 148	N値	する	0. 9805

3

測定深さ (m)	周面摩擦抵抗 fs(kN/m²)	粘土分含有率 Pc(%)	τΙ/σ' z	応力比算出法	液状化判定 の考慮	低減係数 γd
2. 300	0. 00	0.00	0. 157	N値	する	0. 9655
3. 300	0. 00	0.00	0. 196	N値	する	0. 9505
4. 300	0. 00	0.00	0. 187	N値	する	0. 9355
5. 300	0. 00	0.00	0. 151	N値	する	0. 9205
6. 300	0. 00	0.00	0. 203	N値	する	0. 9055
7. 300	0. 00	0.00	0. 177	N値	する	0. 8905
8. 300	0. 00	0.00	0. 271	N値	する	0. 8755
9. 300	0. 00	0.00	0. 600	N値	する	0. 8605
10. 300	0. 00	0.00	0. 366	N値	する	0. 8455
11. 300	0. 00	0.00	0. 251	N値	する	0. 8305
12. 300	0. 00	0.00	0. 257	N値	する	0. 8155
13. 300	0. 00	49.00	0. 600	N値	しない	0.0000
14. 300	0. 00	0.00	0. 600	N値	する	0. 7855
15. 300	0. 00	53.60	0. 600	N値	しない	0.0000
16. 300	0. 00	53.60	0. 600	N値	しない	0.0000
17. 300	0. 00	53.60	0. 600	N値	しない	0.0000
18. 300	0. 00	54. 10	0. 600	N値	しない	0.0000
19. 300	0. 00	26.60	0. 600	N値	しない	0. 0000

3. 液状化判定

測定深さ (m)	液状化抵抗比の推定	N補正係数 CN	N補正係数 Csb	補正N値 Na	換算 N 値 N1
1. 300	N値を用いる	2. 477	0.000	12. 67	4. 95
2. 300	N値を用いる	2. 072	0.000	13.94	6. 22
3. 300	N値を用いる	1. 733	0. 730	17. 70	24. 26
4. 300	N値を用いる	1. 575	0.000	17. 06	14. 18
5. 300	N値を用いる	1. 454	0.000	13.04	8. 72
6. 300	N値を用いる	1. 321	0. 551	18. 21	33. 03
7. 300	N値を用いる	1. 219	0. 551	16. 13	29. 26
8. 300	N値を用いる	1. 152	0.000	21. 22	20. 74
9. 300	N値を用いる	1. 096	0.000	26. 78	26. 30
10. 300	N値を用いる	1. 047	0.000	23. 50	23. 02
11. 300	N値を用いる	1. 004	0.000	20. 55	20. 07
12. 300	N値を用いる	0. 965	0.000	20. 75	20. 27
13. 300	N値を用いる	0. 944	0.000	99. 90	6. 61
14. 300	N値を用いる	0. 908	0.000	60.50	50. 85
15. 300	N値を用いる	0. 883	0.000	99.90	13. 24
16. 300	N値を用いる	0. 860	0.000	99. 90	10. 32
17. 300	N値を用いる	0. 838	0.000	99. 90	7. 54
18. 300	N値を用いる	0. 821	0.000	99. 90	4. 11
19. 300	N値を用いる	0. 802	0.000	99. 90	16. 05

測定深さ (m)	補正コーン 貫入抵抗値	F(Ic)	Ιc	Qt	FR
1. 300	0.000	0. 00	0. 00	0.00	0.00
2. 300	0.000	0. 00	0. 00	0.00	0.00
3. 300	0.000	0. 00	0. 00	0.00	0.00
4. 300	0.000	0. 00	0. 00	0.00	0.00
5. 300	0.000	0. 00	0. 00	0.00	0.00
6. 300	0.000	0. 00	0. 00	0.00	0.00
7. 300	0.000	0. 00	0. 00	0.00	0.00
8. 300	0.000	0. 00	0. 00	0.00	0.00
9. 300	0.000	0. 00	0. 00	0.00	0.00
10. 300	0.000	0. 00	0. 00	0.00	0.00
11. 300	0.000	0. 00	0. 00	0.00	0.00
12. 300	0.000	0. 00	0. 00	0.00	0.00
13. 300	0.000	0. 00	0. 00	0.00	0.00
14. 300	0.000	0. 00	0. 00	0. 00	0.00
15. 300	0.000	0. 00	0. 00	0.00	0.00
16. 300	0.000	0. 00	0. 00	0.00	0.00
17. 300	0.000	0. 00	0. 00	0. 00	0.00
18. 300	0.000	0. 00	0. 00	0.00	0.00
19. 300	0.000	0. 00	0. 00	0.00	0.00

測定深さ	液状化	深さ低減	全上載圧	有効上載圧	せん断	液状化
(m)	抵抗比	係数γd	(kN/m²)	(kN/m²)	応力比	抵抗率
1. 300	0. 148	0.980	21. 3	16.3	0. 297	

		I				
測定深さし (m)	液状化 抵抗比	深さ低減 係数γd	全上載圧 (kN/m²)	有効上載圧 (kN/m²)	せん断 応力比	液状化 抵抗率
2. 300	0. 157	0.965	38. 3	23. 3	0. 368	0. 427
3. 300	0. 196	0. 951	58. 3	33. 3	0. 386	0.506
4. 300	0. 187	0.936	75. 3	40. 3	0. 406	0.461
5. 300	0. 151	0.920	92. 3	47. 3	0. 417	0.362
6. 300	0. 203	0.905	112. 3	57. 3	0. 412	0.493
7. 300	0. 177	0.891	132. 3	67. 3	0. 406	0.435
8. 300	0. 271	0.876	150. 3	75. 3	0. 406	0.667
9. 300	0. 600	0.860	168. 3	83. 3	0. 404	1. 487
10. 300	0. 366	0.845	186. 3	91.3	0. 401	0. 913
11. 300	0. 251	0.831	204. 3	99. 3	0. 397	0.633
12. 300	0. 257	0.816	222. 3	107. 3	0. 392	0. 654
13. 300	0. 600	0.000	237. 3	112. 3	0. 000	
14. 300	0. 600	0. 785	256. 3	121. 3	0. 385	1. 557
15. 300	0. 600	0.000	273. 3	128. 3	0. 000	
16. 300	0. 600	0.000	290. 3	135. 3	0. 000	
17. 300	0. 600	0.000	307. 3	142. 3	0.000	
18. 300	0. 600	0.000	323. 3	148. 3	0. 000	
19. 300	0. 600	0.000	340. 3	155.3	0. 000	

4. PL値法

[PL値一覧表]

ケース名	PL值	液状化危険度
No. 1	35. 159	× 極めて高い

[No. 1

判定深さ (m)	計算深さ (m)	計算層厚 (m)	FL	F (1-FL)	W(Z)	ΔPL
1. 300	0.800~ 1.800	1. 000	0.499	0. 501	9. 350	4. 688
2. 300	1.800~ 2.800	1. 000	0. 427	0. 573	8. 850	5. 067
3. 300	2.800~ 3.800	1. 000	0. 506	0. 494	8. 350	4. 122
4. 300	3.800~ 4.800	1. 000	0. 461	0. 539	7. 850	4. 229
5. 300	4.800~ 5.800	1. 000	0.362	0. 638	7. 350	4. 690
6. 300	5.800~ 6.800	1. 000	0. 493	0. 507	6. 850	3. 475
7. 300	6.800~ 7.800	1. 000	0. 435	0. 565	6. 350	3. 588
8. 300	7.800~ 8.800	1. 000	0. 667	0. 333	5. 850	1. 948
9. 300	8.800~ 9.800	1. 000	1. 487	0. 000	5. 350	0. 000
10. 300	9.800~10.800	1. 000	0. 913	0. 087	4. 850	0. 424
11. 300	10.800~11.800	1. 000	0. 633	0. 367	4. 350	1. 596
12. 300	11.800~12.800	1. 000	0. 654	0. 346	3.850	1. 331
13. 300	**	1. 000	****	0. 000	3. 350	0. 000
14. 300	13.800~14.800	1. 000	1. 557	0.000	2. 850	0. 000
15. 300	**	1. 000	****	0. 000	2. 350	0. 000
16. 300	**	1. 000	****	0. 000	1.850	0.000
17. 300	**	1. 000	****	0. 000	1. 350	0. 000
18. 300	**	1. 000	****	0. 000	0.850	0. 000
19. 300	**	1. 200	****	0.000	0. 350	0.000
			P L 値			35. 159

7

5. 液状化の程度

[地表変位(Dcy)]

ケース名	Dcy(m)	液状化の程度
No. 1	0. 154	中

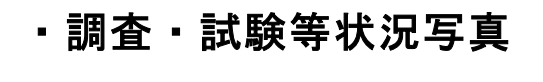
[No. 1]

測定深さ	計算層厚	FL	補正N値	せん断	γсу	ΔDcy	γ cyグラフ	水平地盤反力係数
(m)	(m)			応力比	(%)	(m)	(注)	の低減係数 β
1. 300	0.500	0.499	12. 674	0. 297	2. 430	0.012		0. 135
2. 300	1.000	0.427	13. 935	0.368	2. 206	0.022		0. 159
3. 300	1.000	0.506	17. 704	0.386	1. 425	0.014		0. 257
4. 300	1.000	0.461	17. 057	0.406	1. 563	0.016		0. 232
5. 300	1.000	0.362	13. 044	0.417	2. 463	0. 025		0. 141
6. 300	1.000	0.493	18. 206	0.412	1. 357	0.014		0. 275
7. 300	1.000	0.435	16. 127	0.406	1. 744	0.017		0. 208
8. 300	1.000	0.667	21. 223	0.406	0. 887	0.009		0. 421
9. 300	1.000	1.487	26. 776	0.404				
10. 300	1.000	0.913	23. 504	0. 401	0. 622	0.006		1.000
11. 300	1.000	0.633	20. 550	0. 397	0. 959	0.010		1.000
12. 300	1.000	0.654	20. 753	0.392	0. 929	0.009		1.000
13. 300	1.000		99. 900	0.000				
14. 300	1.000	1. 557	60. 496	0. 385				
15. 300	1.000		99. 900	0.000				
16. 300	1.000		99. 900	0.000				
17. 300	1.000		99. 900	0.000				
18. 300	1.000		99. 900	0.000				
19. 300	1.000		99. 900	0.000				
合 計						0. 154		

(注) **1 τd/σv'が0.5以上である

**2 Na~ τ d/σ v' グラフの範囲外である

**3 FL≦1.0かつ補正N値0.0となる層がある





ボーリング 施 エ 状 況

施 工 前 (遠 景)



現 地 状 況

ボーリング 施 エ 状 況

施工前



現 地 状 況

ボーリング 施 エ 状 況

機材搬入状況



ボーリング 施 エ 状 況

全 景



現 地 状 況

ボーリング 施 エ 状 況

全 景



現 地 状 況

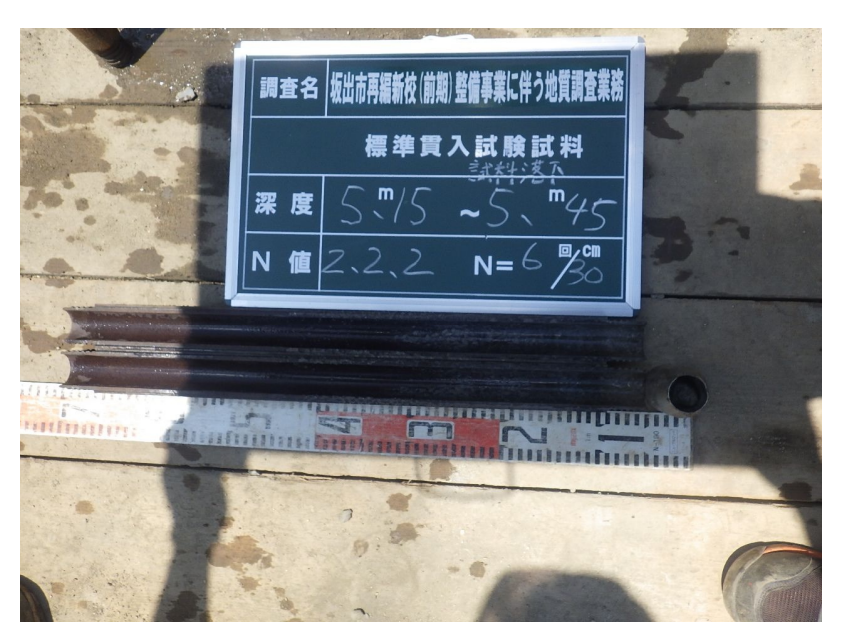
ボーリング 施 エ 状 況

掘進状況



ボーリング 施 エ 状 況

標準貫入試験実施増強



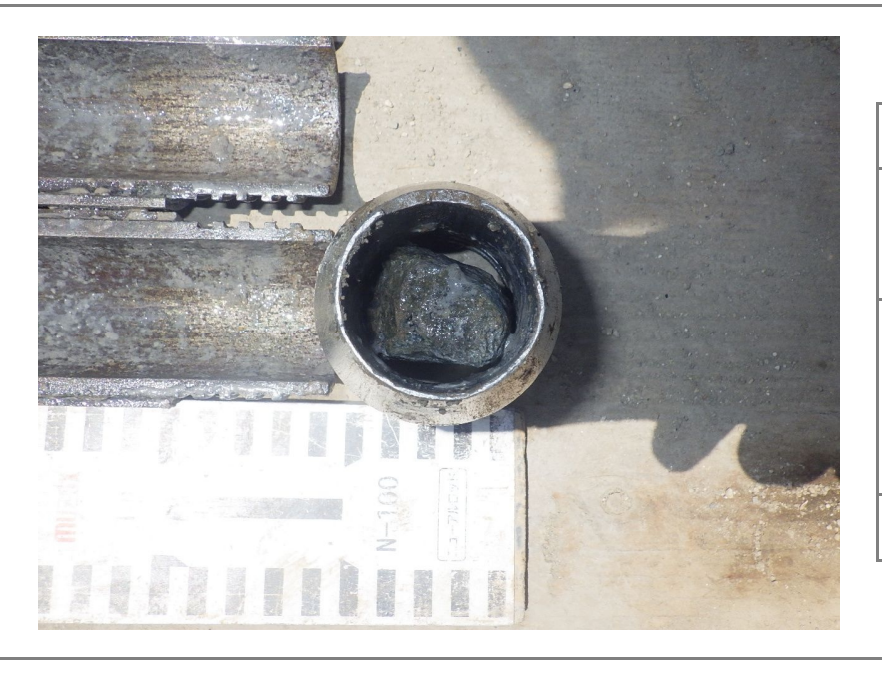
現 地 状 況

ボーリング 施 エ 状 況

標準貫入試験採取試料

(深度 5.15m~5.45m)

N=6回/30cm (試料落下)



現 地 状 況

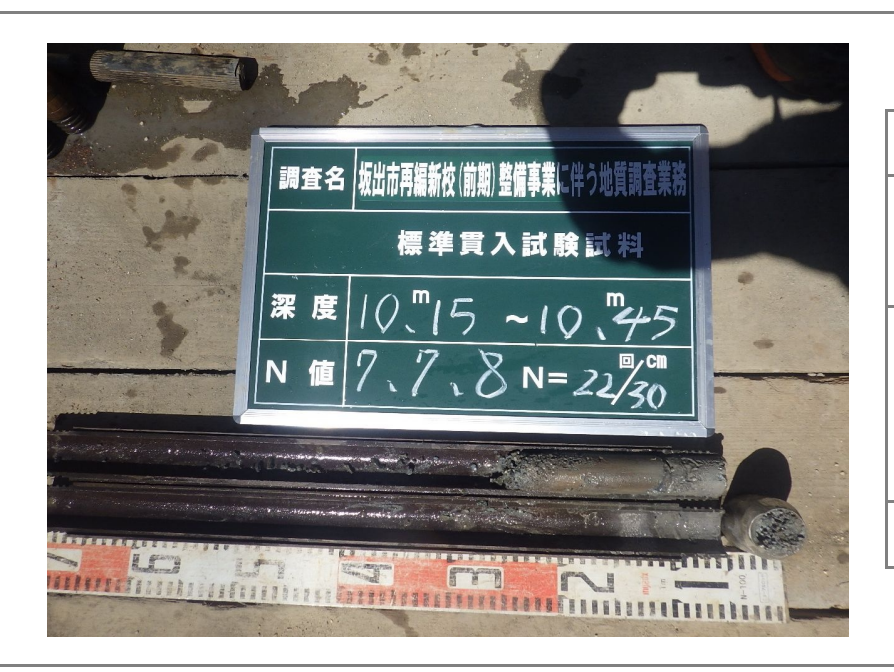
ボーリング 施 エ 状 況

標準貫入試験採取試料

(深度 5.15m~5.45m)

(試料拡大)

N=6回/30cm (試料落下)



ボーリング 施 エ 状 況

標準貫入試験採取試料 (深度 10.15m~10.45m)

 $N = 22 \square / 30 cm$



現 地 状 況

ボーリング 施 エ 状 況

標準貫入試験採取試料 (深度 10.15m~10.45m) (試 料 拡 大)

 $N = 22 \square / 30 cm$



現 地 状 況

ボーリング 施 エ 状 況

標準貫入試験採取試料 (深度 15.15m~15.45m)

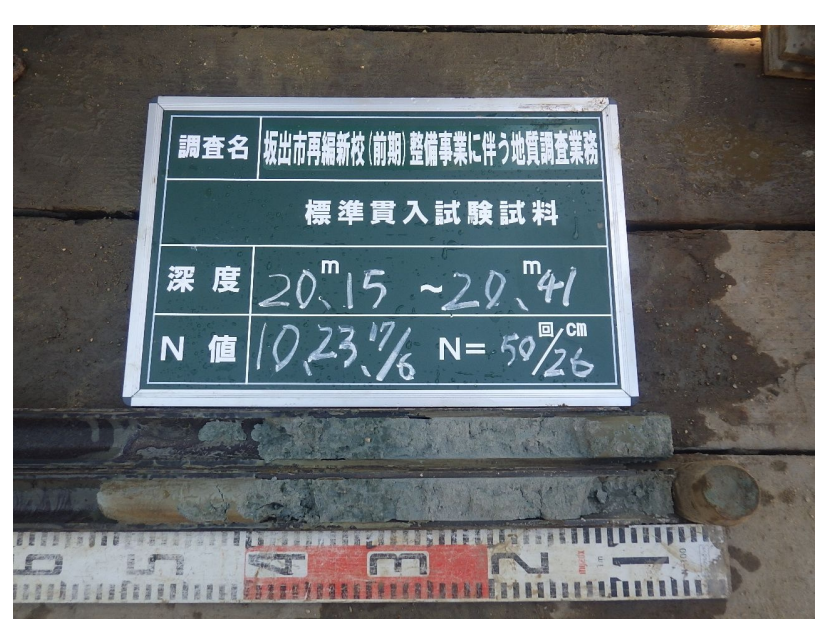
 $N = 15 \, \Box / 30 \, cm$



ボーリング 施 エ 状 況

標準貫入試験採取試料 (深度 15.15m~15.45m) (試 料 拡 大)

 $N = 15 \, \Box / 30 \, cm$



現 地 状 況

ボーリング 施 エ 状 況

標準貫入試験採取試料 (深度 20.15m~20.41m)

 $N = 50 \square / 26 cm$



現 地 状 況

ボーリング 施 エ 状 況

標準貫入試験採取試料 (深度 25.15m~25.45m)

 $N = 19 \, \square / 30 \, \text{cm}$



ボーリング 施 エ 状 況

標準貫入試験採取試料 (深度 25.15m~25.45m)

(試料拡大)

 $N = 19 \, \square / 30 \, \text{cm}$

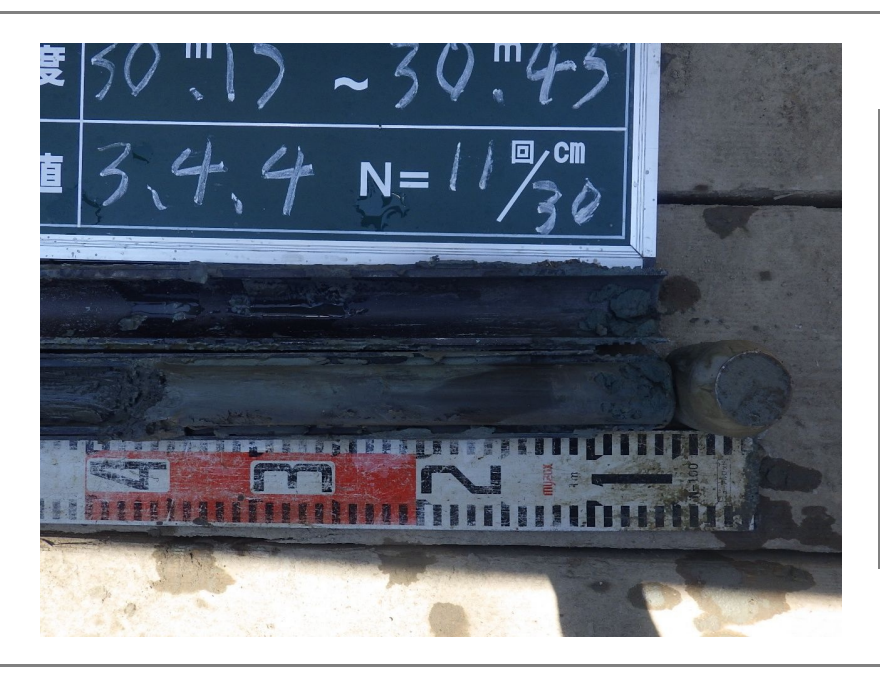


現 地 状 況

ボーリング 施 エ 状 況

標準貫入試験採取試料 (深度 30.15m~30.45m)

 $N = 11 \, \Box / 30 \, cm$



現 地 状 況

ボーリング 施 エ 状 況

標準貫入試験採取試料

(深度 30.15m~30.45m)

(試料拡大)

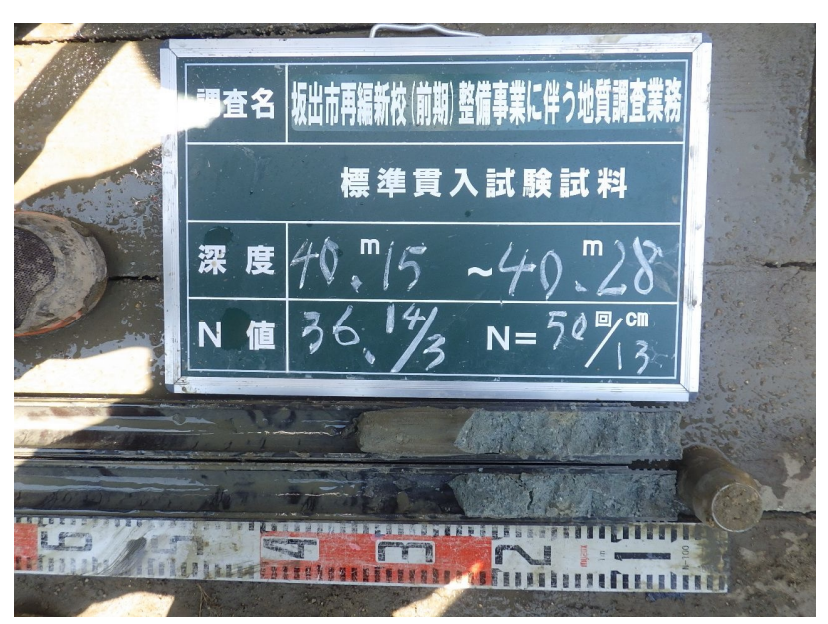
 $N = 11 \square / 30 cm$



ボーリング 施 エ 状 況

標準貫入試験採取試料 (深度 35.15m~35.40m)

 $N = 50 \, \Box / 25 \, cm$



現 地 状 況

ボーリング 施 エ 状 況

標準貫入試験採取試料 (深度 40.15m~40.28m)

 $N = 50 \, \Box / 13 \, cm$

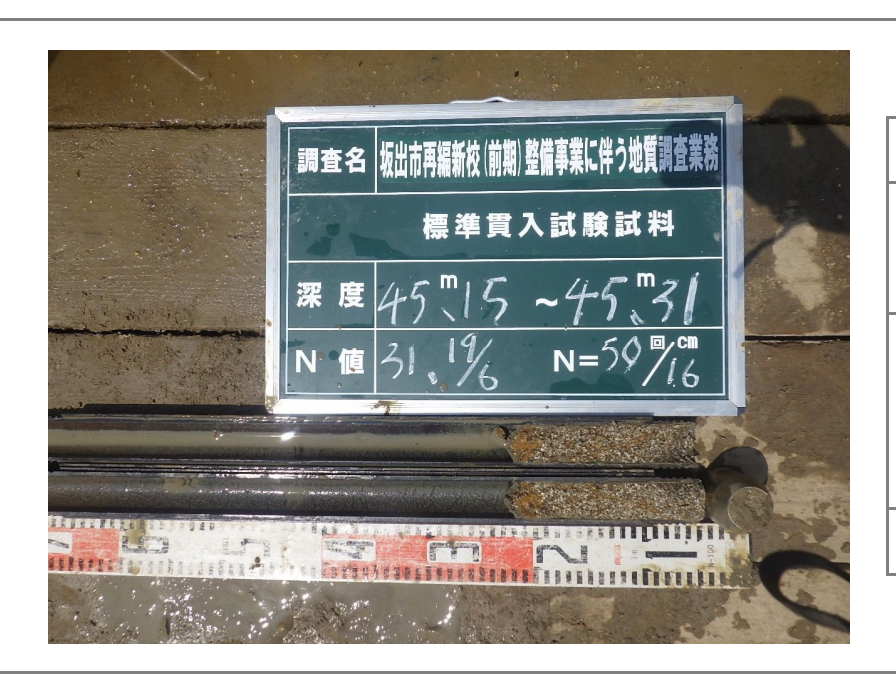


現 地 状 況

ボーリング 施 エ 状 況

標準貫入試験採取試料 (深度 40.15m~40.28m) (試 料 拡 大)

 $N = 50 \, \Box / 13 \, cm$



ボーリング 施 エ 状 況

標準貫入試験採取試料 (深度 45.15m~45.31m)

 $N = 50 \square / 16 cm$



現 地 状 況

ボーリング 施 エ 状 況

残尺状況

全 長=46.10m 残 尺= 1.10m 掘進長=45.00m

立会者 小松氏



現 地 状 況

ボーリング 施 エ 状 況

残尺状況 (黒板拡大)

全 長=46.10m 残 尺= 1.10m 掘進長=45.00m

立会者 小松氏



ボーリング 施 エ 状 況

残尺状況 (ロッド先端拡大)

全 長=46.10m <u>残 尺= 1.10m</u> 掘進長=45.00m

立会者 小松氏



現 地 状 況

ボーリング 施 エ 状 況

残尺状況 (地盤位置確認)

全 長=46.10m <u>残 尺= 1.10m</u> 掘進長=45.00m

立会者 小松氏



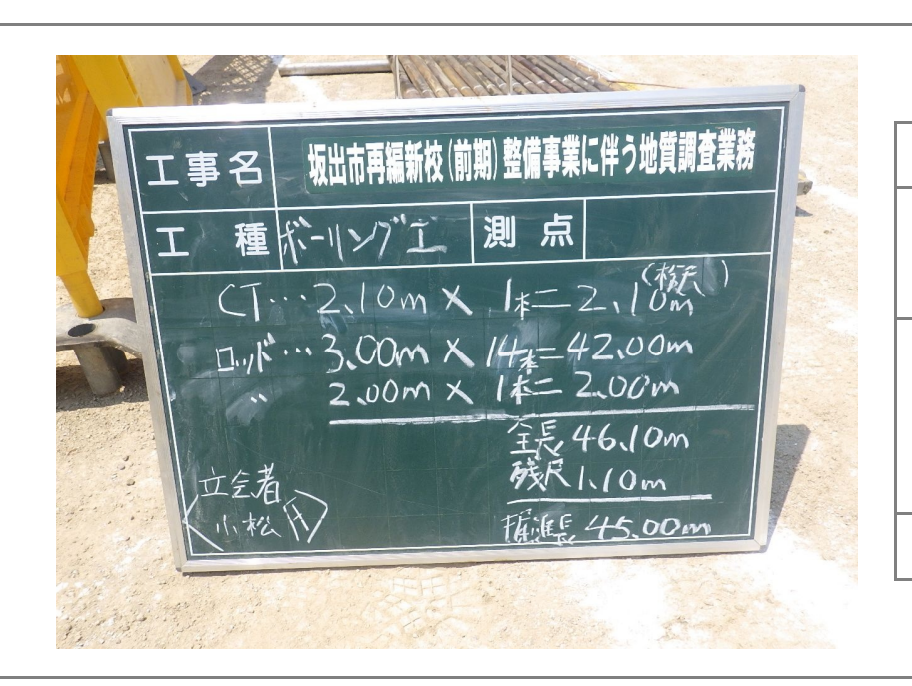
現 地 状 況

ボーリング 施 エ 状 況

検尺状況

全 長=46.10m <u>残 尺= 1.10m</u> 掘進長=45.00m

立会者 小松氏



ボーリング 施 エ 状 況

検尺状況 (黒板拡大)

全 長=46.10m 残 尺= 1.10m 掘進長=45.00m

立会者 小松氏



現 地 状 況

ボーリング 施 エ 状 況

検尺状況 (0.00m地点)

全 長=46.10m <u>残 尺= 1.10m</u> 掘進長=45.00m

立会者 小松氏



現 地 状 況

ボーリング 施 エ 状 況

検尺状況 (1.00m地点)

全 長=46.10m 残 尺= 1.10m 掘進長=45.00m

立会者 小松氏



ボーリング 施 エ 状 況

検尺状況 (2.00m地点)

全 長=46.10m <u>残 尺= 1.10m</u> 掘進長=45.00m

立会者 小松氏



現 地 状 況

ボーリング 施 エ 状 況

検尺状況 (3.00m地点)

全 長=46.10m 残 尺= 1.10m 掘進長=45.00m

立会者 小松氏



安 全 管 理

ボーリング 施 エ 状 況

調査孔閉塞状況



安 全 管 理

ボーリング 施 エ 状 況

機械撤去状況



安全管理

ボーリング 施 エ 状 況

施 工 後 (遠 景)



安 全 管 理

ボーリング 施 エ 状 況

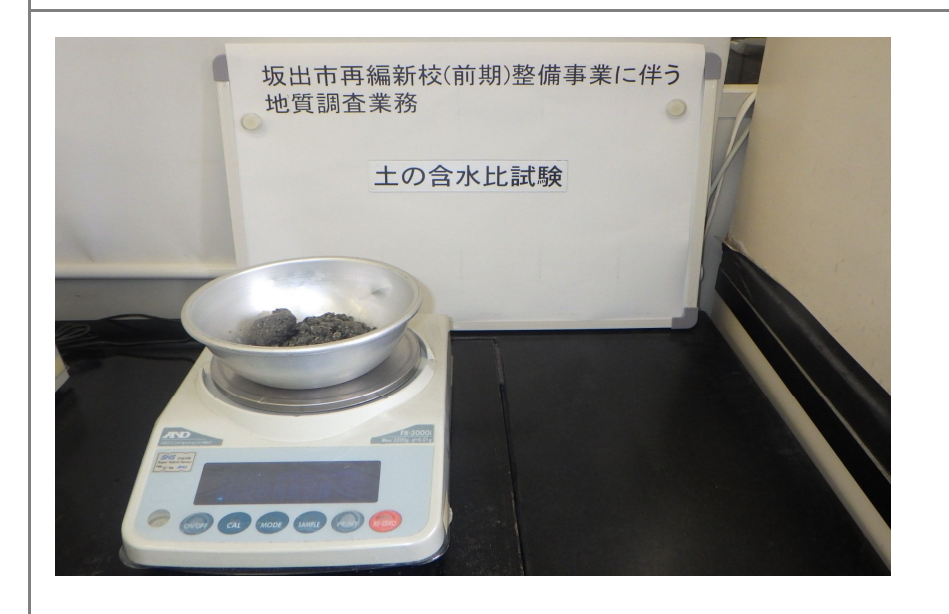
施 工 後 (近 景)



土質試験状況

試験名 土粒子の密度試験 (JIS A 1202)

試験実施状況



土質試験状況

試験名 土の含水比試験 (JIS A 1203)

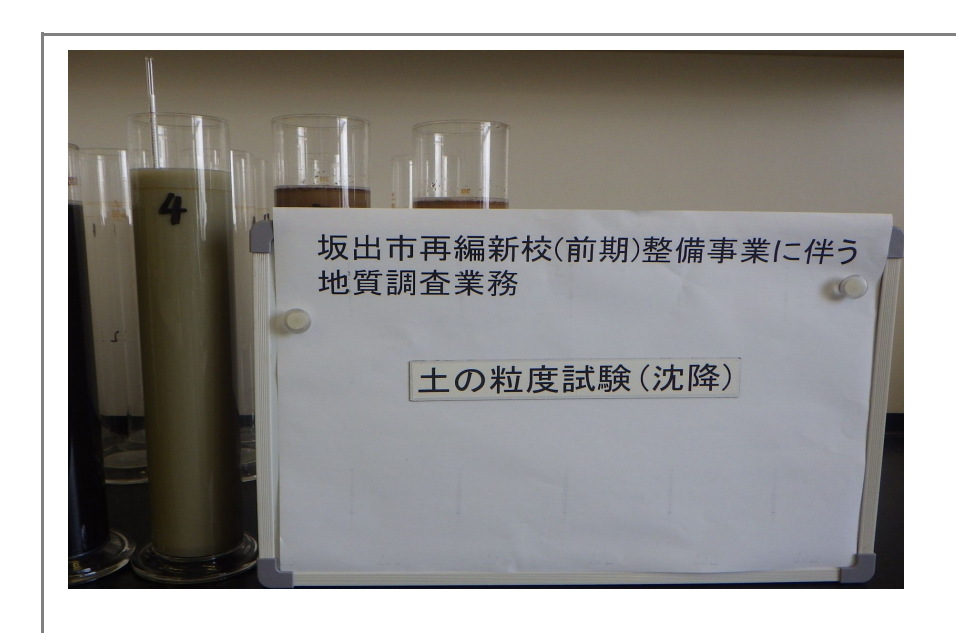
試験実施状況



土質試験状況

試験名 土の粒度試験 (JIS A 1204)

(ふるい分析) 試験実施状況 ϕ =2.00mm以上



土質試験状況

試験名 土の粒度試験 (JIS A 1204)

(沈降分析) 試験実施状況



土質試験状況

試験名

土の液性限界・塑性限界試験 (JIS A 1205)

> (液性限界) 試験実施状況



土質試験状況

試験名

土の液性限界・塑性限界試験 (JIS A 1205)

> (塑性限界) 試験実施状況

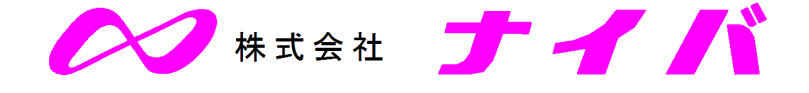


令和7年度

坂出市再編新校(前期)整備事業に伴う 地質調査業務

調查前報告

令和7年7月



目 次

1. 業務概要	
2. 作業組織	4
2.1 作業員名簿	4
2.2 現場連絡系統	4
3. 安全対策	5
4. 調査工程	

1. 業務概要

本業務の概要は、以下に示すとおりである。

(1) 業務名: 坂出市再編新校(前期)整備事業に伴う地質調査業務

(2) 業務場所:香川県坂出市室町1丁目地内(図-1.1~図-1.3 参照)

(3) 業務期間: 令和7年6月5日~令和7年10月31日(149日間)

(4) 業務目的:本業務は、当該敷地内に建設予定の建物の要求水準書の作成に必要な地盤 情報を得るために調査を行うものである。従ってボーリング調査により敷 地内の地盤構成と基礎設計支持力、沈下ならびにその施工に影響する範囲 内の地盤の特質を出来る限り詳細に調査することを目的とする。

(5) 業務内容:調査数量の概略を以下に示し、詳細を表-1.1~表-1.2に示す。

機械ボーリング (径 66mm) 1 箇所×50 m 標準貫入試験 1 箇所×50 回

水位測定 1回 土質試験(土粒子の密度試験) 6 試料 』(土の含水比試験) 6 試料 "(土の粒度試験(フルイ+沈降)) 3 試料 "(土の粒度試験(フルイ)) 3 試料 』(土の液性限界) 3 試料 "(土の塑性限界) 3 試料 調查孔閉塞 1 箇所 報告書作成 1 式 断面図作成 1式

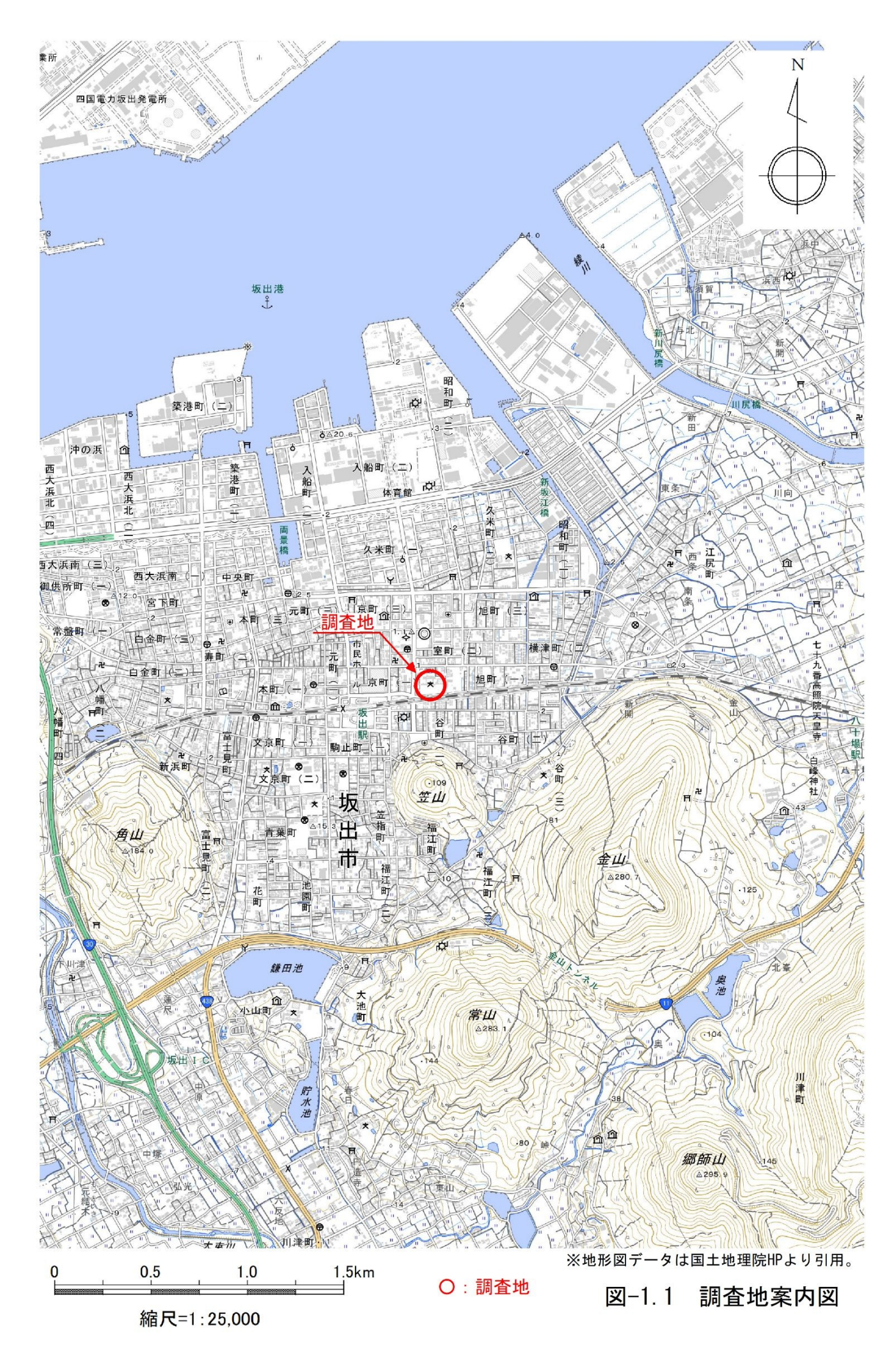
(6) 発注者: 坂出市

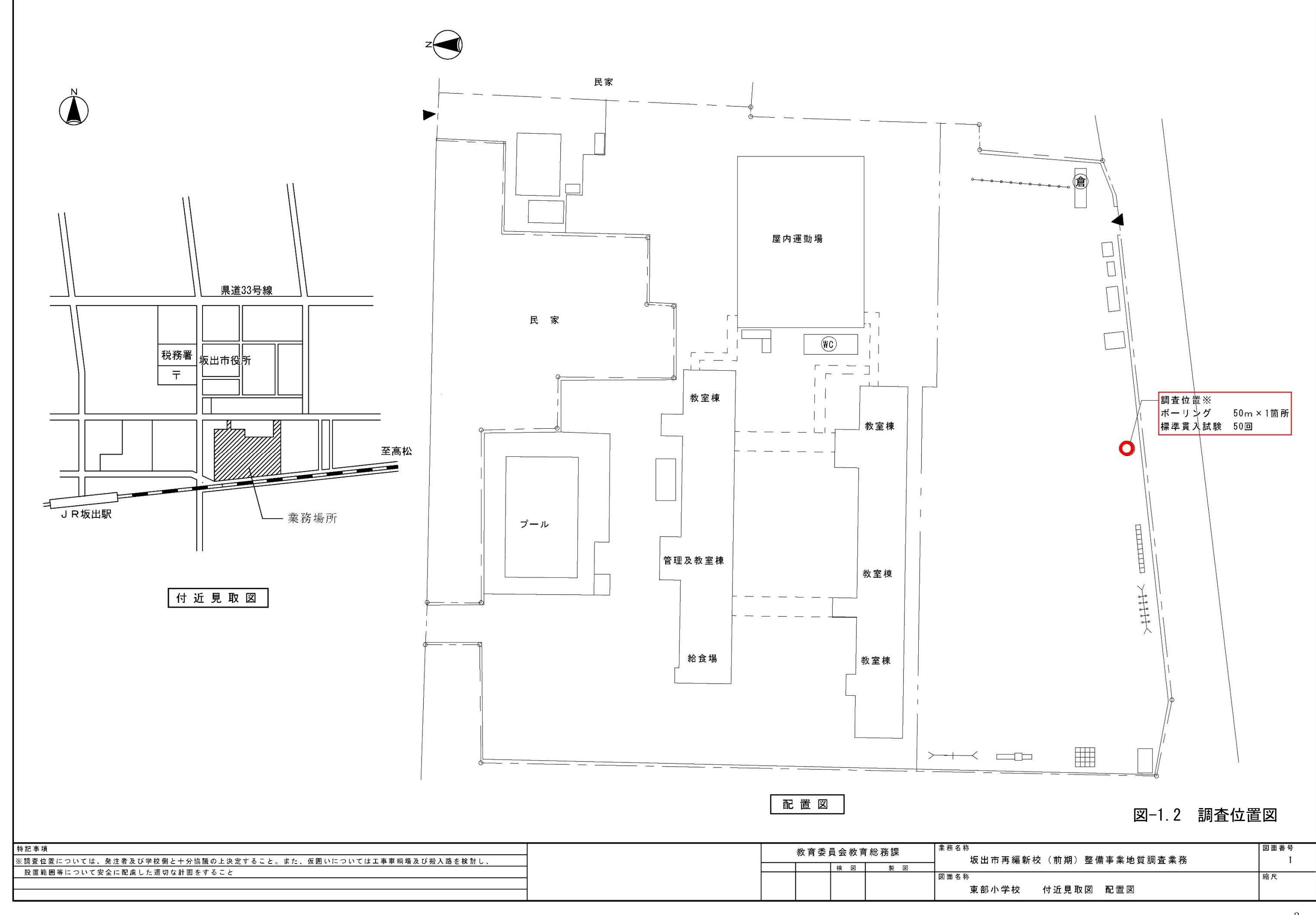
(7) 受 注 者:株式会社 ナイバ

〒760-0062 香川県高松市塩上町 1-3-6

TEL. 087-862-5121 FAX. 087-862-5120

管理技術者: 菅 秀哉(RCCM: 地質)





2. 作業組織

3.1 作業員名簿

作業員の名簿は表-2.1.1に示すとおりである。

氏 名 職種 電 話 菅 管理技術者 秀哉 090-3186-3324 担当技術者 北野 遼 080-2051-6828 ボーリング機長 濵松 洋成 090-3185-1322 ボーリング助手 岩瀬 大和 090-1576-0302

表-2.1.1 作業員名簿

3.2 現場連絡系統

現場連絡系統は図-2.2.1に示すとおりである。



図-2.2.1 現場連絡系統図

3. 安全対策

(1)一般事項

- 1) 労働安全衛生などに関する諸法規を遵守して、無事故、無災害で工期内に完遂するよう努める。
- 2) 工事着手にあたって、各現場責任者および作業従事者に作業内容の周知徹底を計る。
- 3) 作業終了後、ボーリング機長から当日の作業状況を報告させると共に、翌日の作業工程および安全作業等の注意を指示する。

(2)ボーリング

- 1) 資材および機材搬入に際して、荷を吊上げたり、特装車に載せる際は確実な固定を行い、荷崩れが生じないようにする。
- 2) ボーリング機械、櫓等の点検を怠らないよう留意する。
- 3) 作業に適した衣服を身につけ、ロッド等への巻き込み防止に努める。
- 4) 作業場は常に整理整頓を行い、工具類の落下を防止し、軽油、泥水等は飛散しないようにする。
- 5) 機械類に異常が生じた場合には、直ちにエンジンを止める。

(3)公衆災害防止

1) 監督職員との連絡を密にして、意志の疎通を図るとともに、付近の住民および地元関係者とのトラブルがないよう十分注意する。

(4)交通安全

朝夕の通勤等における交通事故防止対策として、

- 1) 車両の始業点検を実施し、規定内速度走行を遵守する。
- 2) シートベルトの完全着用を義務づけるとともに、周辺道路では地元車優先を心掛け、交通事故防止に努める。

(5) その他

- 1) 火気の使用、喫煙の吸殻処置には特に注意する。
- 2) 万一、労働災害、交通事故が発生した場合は、当社の責任と負担において、最前 の処置を行い、その結果を速やかに報告する。

次頁に緊急連絡体制(図-3.1)を示す。

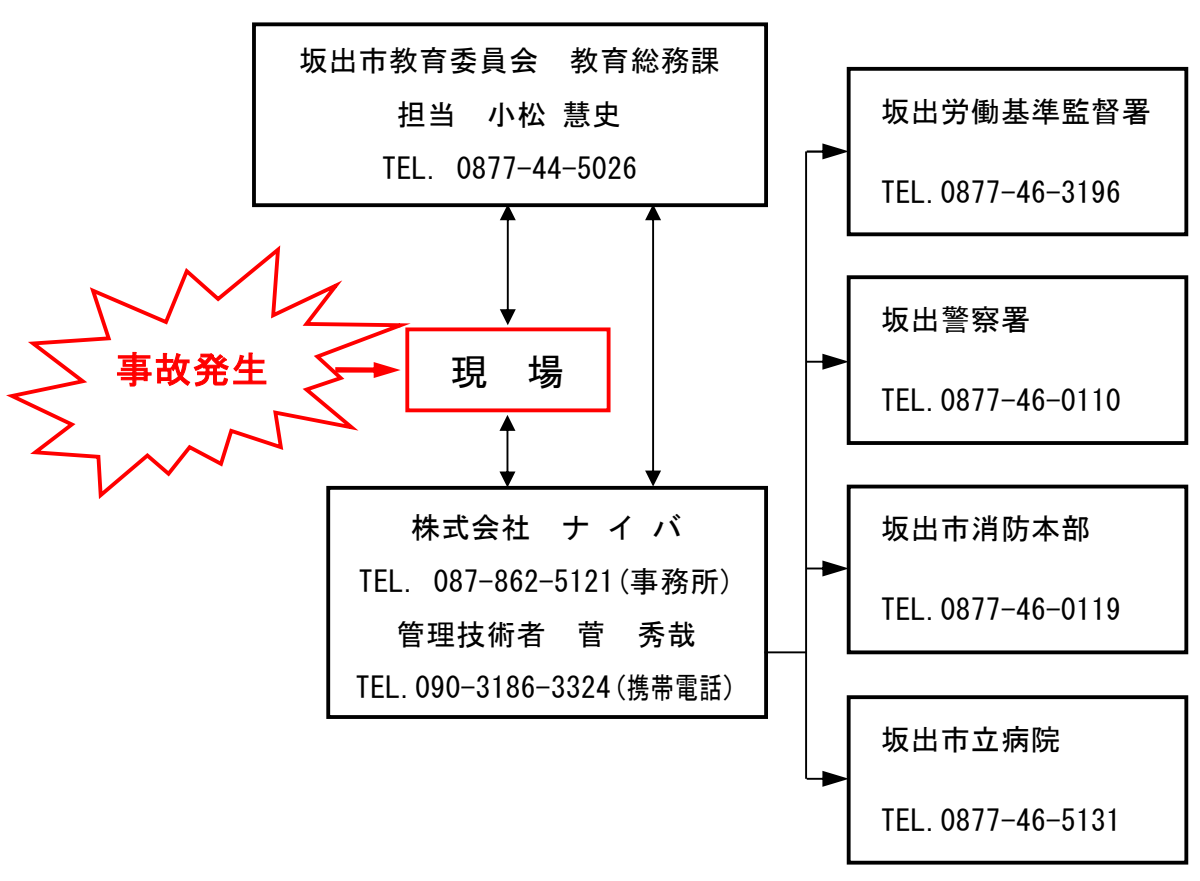


図-3.1 緊急連絡体制

4. 調査工程

本調査の工程は表-4.1に示すとおりである。

表-4.1 地質調査業務の工程表

工種	種別	細別		7月							8月													
上作里	作里 力リ	和力リ	20	21	22	23	24	25	26	27	28	29	30	31	1	2	3	4	5	6	7	8	9	10
準備工	現地下見																							
	No.1 (φ 66mm,L=50m)	仮設																						
"	"	掘進、標準貫入試験																						
"	"	掘進長検尺																						
"	"	撤去•舗装復旧																						

現地作業: 令和 7年 7月 22日~令和 7年 8月 5日 (16日間)

業務全体: 令和 7年 6月 5日~令和 7年 10月 31日 (149日間)

以上。



登録内容確認書 (業務実績)

株式会社ナイバ

御中

以下の内容は一般財団法人日本建設情報総合センターに業務実績として登録されていることを確認しました。 ※登録内容確認システムの利用(発注機関):利用していない

登録業務情報	
登録種別	契約登録
受付年月日	2025年06月19日
登録年月日	2025年06月19日
登録番号	4059653311
件名	坂出市再編新校(前期)整備事業に伴う地質調査業務
請負金額(税込)	4,763,000 円
履行期間	2025年06月05日 ~ 2025年10月31日
発注機関名	香川県坂出市
契約方式	指名競争入札方式(価格)
受注形態	単独業務
企業名	株式会社ナイバ

[※] 登録内容の詳細は「当該業務の登録履歴」および「業務実績データ(明細)」を参照してください。

本書発行年月日 2025年06月19日

登録種別	契約登録
件名	坂出市再編新校(前期)整備事業に伴う地質調査業務

当該業務の登録履歴

当該業務の登録履歴				
1 契約登録	2025年06月19日	Chac Add Vale vale vale vale	War vac vere vere	VEIC:

登録種別	契約登録	CIVE
件名	坂出市再編新校(前期)整備事業に伴う地質調査業務	CINCH

業務実績データ (明細)

業務実績デー	タ(契約データ)					
登録番号	THE MOLE WOLL WAS THE	4059653311				
テクリス登録義	務の有無	有り 主な業務の内容 地質調査業務				
件名	IL VOIC VOIC VOIC VOIC	坂出市再編新校(前期)整備事業に伴う地質調査業務				
請負金額(税込) Mac wale wale well were	4,763,000 円				
履行期間	IC vele yelle vele yelle vel	2025年06月05日 ~ 2025年10月31日				
発注機関情報	発注機関名	香川県坂出市				
	住所	郵便番号:762-0007 香川県 坂出市室町2丁目3番5号				
	TEL	0877-44-5026				
CIC INCIC SOL	実績内容確認年月日	2025年06月18日				
	実績内容確認担当者 所属部署名	教育総務課				
	実績内容確認担当者 氏名	小松慧史				
אכוב אכוב א	実績内容確認担当者 メールアドレス	s-komatsu@city.sakaide.lg.jp				
契約方式	VOIC NOT MOTO MOTO	指名競争入札方式(価格)				
受注形態	THE WOLL WILL WILL THEIR	単独業務				
請負者	企業名	株式会社ナイバ				
	企業名フリガナ	tan management of the second o				
	企業ID	00001910				
	建設コンサルタント登録番号	建 29 - 4902				
WCIC INCIDENT	地質調査業者登録番号	質 29 - 0403				
INCIC MEN	測量業者登録番号	(11) 04733				
DE JACIC	事業所名	株式会社ナイバ				
IC YOLC YOL	事業所住所	郵便番号:760-0062 香川県 高松市塩上町1丁目3-6				
	事業所TEL・FAX番号	TEL: 087-862-5121 • FAX: 087-862-5120				

業務実績データ(業務データ	
業務分野(01)	業務分野	土質及び基礎
CALLET INCIC INCIC	業務段階	地盤(土質)調査
LICACIONE MOICH	- WCIC INC	調査・計画
THEIR MICH	C TYCIC IN	ボーリング調査(一般、特殊)
ALIC ACIC MCIC	CIC INCIL	その他
業務対象地域(01)	起点住所	香川県坂出市
MOC INCIC!	終点住所	香川県坂出市
国土交通省登録	対象業務が	否か 対象業務ではない
技術者資格対象	VCI IVCI	CINCLE AND MACINAL MACINAL MACINAL MACINAL MACINAL
業務	ACAIT TA	act act vac

業務実績データ(技術者データ)	
技術者情報(1)	役割	管理 (主任) 技術者
MOL MOL MOL	所属企業ID	00001910
IC WOLL WOLL	所属企業名	株式会社ナイバ
WICHOIC WELL	技術者ID	8900251890
IL ACIC ACIC ACIC	氏名	菅秀哉
SACE MAC MEN	氏名フリガナ	カンシュウヤ

登録種別	契約登録	7
件名	坂出市再編新校(前期)整備事業に伴う地質調査業務	1

業務実績データ	(技術者データ)	
技術者情報(1)	生年月日	1973年03月07日
	従事期間	2025年06月05日 ~ 2025年10月31日
技術者情報(2)	役割	担当技術者
	所属企業ID	00001910
	所属企業名	株式会社ナイバ
	技術者ID	0330732627
	氏名	北野遼
	氏名フリガナ	キタノリョウ
	生年月日	1996年05月25日
	従事期間	2025年06月05日 ~ 2025年10月31日
	担当業務内容	土質及び基礎 地盤 (土質) 調査 調査・計画 ボーリング調査 (一般、特殊) その他
技術者情報(3)	役割	担当技術者
	所属企業ID	00001910
	所属企業名	株式会社ナイバ
	技術者ID	0330824477
	氏名	後藤寧音
	氏名フリガナ	ゴウトウネネ
	生年月日	2004年09月27日
	従事期間	2025年06月05日 ~ 2025年10月31日
	担当業務内容	土質及び基礎 地盤(土質)調査 調査・計画 ボーリング調査(一般、特殊) そ の他